

524
1983



ISSN—0182—1447

საქართველოს სსრ
აკადემიკობათა აკადემიის

ათაგე

СООБЩЕНИЯ

АКАДЕМИИ НАУК
ГРУЗИНСКОЙ ССР

BULLETIN

OF THE ACADEMY OF SCIENCES
OF THE GEORGIAN SSR

ტომი 111 თომ

№ 3

სექტემბერი 1983 სენტებრъ

თბილისი • TBILISI • TBILISI

983



524

1983

п. 111

№ 3

საქართველოს სსრ
აკადემიის აკადემიუ
მ ათაგენ

СООБЩЕНИЯ

АКАДЕМИИ НАУК
ГРУЗИНСКОЙ ССР

BULLETIN

OF THE ACADEMY OF SCIENCES
OF THE GEORGIAN SSR

(77)

ტომი 111 თომ

№ 3

სექტემბერი 1983 სენტებრЬ

თბილისი * ТБИЛИСИ * TBILISI

ქ. ვარეშის ს. ხ. საფ. სსრ
სახელმწიფო რესპუბლიკი.

ს პ რ ე დ ა რ ც ი მ გ მ დ ი ს

გ. ანდრონიქაშვილი, ა. ალაძე, ბ. ბიუაძე, ლ. გაბუნია (მთავარი რედაქტორის მთადგილი),
 თ. გამჭრელიძე, ი. გვერდიშვილი, ა. გუნია, ს. დურმიშიძე, ა. თავხელიძე, ვ. კუპრაძე
 (მთავარი რედაქტორის მთადგილი), ნ. ლანდია, გ. მღლიძეშვილი, ვ. რუსავა,
 ა. ფრანგიშვილი, ა. ცაგარელი, გ. ციცაშვილი, ა. ძიძეგური, შ. ძიძეგური,
 გ. ხარატიშვილი, ე. ხარაძე (მთავარი რედაქტორი), ნ. ჯავახიშვილი,
 ვ. ჯიბლაძე

РЕДАКЦИОННАЯ КОЛЛЕГИЯ

ე. ლ. Андronиқaшвили, А. М. Apakidze, A. B. Biцадзе, L. K. Gabunia (заместитель главного редактора), T. B. Gamkrelidze, I. G. Gverdцteli, A. L. Gunia,
 H. A. Djavahishvili, G. N. Djibladze, A. A. Dzidziguri, Sh. B. Dzidzigi-
 turi, C. B. Durniashvili, B. D. Kupradze (заместитель главного ре-
 дактора), H. A. Landia, G. A. Melikishvili, B. M. Okudzava,
 A. C. Prangishvili, A. N. Tavchelidze, E. K. Xaradze (главный
 редактор), G. B. Xaratiashvili, A. L. Tsagareli,
 G. B. Ciciashvili

პასუხისმგებელი მდივანი გ. მახარაძე
 Ответственный секретарь Г. Е. Махарадзе

გადაეცა ასაშეობად 2.9.1983; ხელმოწერილია დასაბეჭდად 23.11.1983; შეკვ.
 № 2742; ანაშეობის ზომა $7 \times 12\frac{3}{4}$; ქაღალდის ზომა 70×108; ფიზიკური ფურცე-
 ლი 14; სააღრიცვო-საგმომცემლო ფურცელი 18,5; ნაცემი ფურცელი 19,6;
 უ. 13303; ტირაჟი 1520; ფასი 1 მან 90 გა.

Сдано в набор 2.9.1983; подписано к печати 23.11.1983; зак. № 2742; размер
 набора $7 \times 12\frac{3}{4}$; размер бумаги 70×108; физический лист 14; уч. издатель-
 ский лист 18,5; печатный лист 19,6; У.Э 13303; тираж 1520;
 цена 1 руб. 90 коп.

* * *

საქ. სსრ მეცნ. აკადემიის სტამბა, თბილისი, 380060, კუტუზოვის ქ., 19
 Типография АН Груз. ССР, Тбилиси, 380060, ул. Кутузова, 19

გამომცემლობა „მეცნიერება“, თბილისი, 380060, კუტუზოვის ქ., 19
 Издательство «Мецнериеба», Тбилиси, 380060, ул. Кутузова, 19

შ 0 6 1 1 6 8 0

გათმისათიპა

* 6. დუ დუ წ ა ვ ა . მრავალგანზომილებიანი სინგულარული ინტეგრალური განტოლებების შესახებ. ძირითადი ოცნებები

467

* 7. ს უ ლ ა ბ ე რ ი ძ ე . მდგრადობის შესახებ პრატიფიცი პროგნოზისა და ფილტრაცის ერთ ამოცანაში

471

* 8. გ უ ნ ი ა . თითქმის-პერიოდულ უპრეციათა ფურიეს მუჯრივის კრებადობის შესახებ

475

დრიკადობის თეორია

* 9. გ ო რ გ ი ძ ე . ტრანსტროპული მრავალფენიანი ცილინდრული კოორდინატული პარალელების დრეკადი წონასწორობა

479

პიგმენტიკა

* 10. ბ ა შ ა ლ ე ი შ ვ ი ლ ი . გამამსხვილებელი სისტემის მათემატიკური მოდელის ერთი გამოყენების შესახებ

484

* 11. მ ე ტ რ ე ვ ე ლ ი . მრავალკრიტერიუმიანი ოპტიმიზაციის ამოცანებში პრადომინირებადი შეფასებების არსებობისათვის

487

ფიზიკა

* 12. კ ა შ ი ნ ი , მ. მ ა ქ ს ი მ თ ვ ი , ზ. ჩ ი ქ თ ვ ა ნ ი . ასიმპტოტური დაშლების შეკერვის ერთ-ერთი შეთონის შესახებ ფიზიკაში

492

* 13. ბ ი ნ ტ ვ ა , თ. დ ა ვ ა რ ა შ ვ ი ლ ი , ს. კ ი ნ ი კ თ ვ ი , მ. ს ა გ ი ნ უ რ ი , რ. ჩ ი ქ თ ვ ა ნ ი , ა. ზ ო ტ რ ვ ი . Pb_1-xSn_xSe მყარი ხსნარების საფუძველზე შექმნილი, ორმხრივ შემოსაზღვრული პეტერლაზერები

495

* 14. დ ა რ ბ ა ი ძ ე , ლ. ს ლ ე პ ჩ ე ნ კ ო , ი. თ ე ვ ზ ა ძ ე . KNO-თანაფარდობის დარღვევა და კორელაციული კომპონენტების დიდი რიცხვის ზღვარი

500

* 15. ჭ ა მ უ შ ა ძ ე , გ. ჭ ი რ ი რ ა ძ ე , გ. მ ი ხ ა ი ლ თ ვ ი , ე. ო მ ე ლ ი ა ნ თ ვ ს კ ი . უარყოფითი ფორმგამტარებლობა $GaAs: Cr, O$ -ის ბაზაზე დამზადებულ $p-i-n$ სტრუქტურებში

504

გეოზიზიკა

* 16. ა ლ ე ქ ს ი ძ ე , გ. ბ უ ა ჩ ი ძ ე , გ. გ უ გ უ წ ა ვ ა , კ. ჭ ი რ ი ა . თ. ჭ ე ლ ი ძ ე . კავკასიის სამგანზომილებიანი სტაციონარული გეოთერმული მოდელი

507

* 17. თ ა ვ ა რ თ ჭ ი ლ ა ძ ე , ი. შ ე ნ გ ე ლ ი ა . თავისუფალ ატმოსფეროში სინოტივის ვარტიკალური განაწილების მოდელირება

512

ზოგადი და პრაორგანული კიმია

* 18. ჭ ა ბ ი შ ვ ი ლ ი , მ. ლ ა ნ დ ი ი , ნ. კ ლ ა რ ჭ ე ი შ ვ ი ლ ი . თულიუმის პიროფოს-ფარები

515

* ვარსკვლავით აღნიშნული სათაური ეკუთვნის წერილის რეზიუმეს.

ორგანიზაციი ჩიმია

- * ქ. არეშიძე (საქ. სსრ მეცნ. აკად. აკადემიკოსი), გ. ჩივაძე, ს. ხახნელიძე
ქ. მოდიფიცირებული გუბმრინის შესწავლა ფენოლის დინობურობის
ალკილირების რეაქციაში

- * გ. პაპავა, ლ. ბერიძე, ნ. გელაშვილი, ნ. ღორგულიშვილი, ვ. ბე-
ლოგლაზოვი, ვ. ვაიშჩევი. ადამიანთანის კარდული გაცემის შემცვე-
ლი პოლიეთრების მექანიკური და ელექტრული თვისებების კალევა

519

523

აიზიდური ჩიმია

- * გ. ციციშვილი (საქ. სსრ მეცნ. აკად. აკადემიკოსი), თ. ანდრონიქაშვილი
ქ. (საქ. სსრ მეცნ. აკად. წევრ-კორსპონდენტი), ვ. ბერიძე ქ. ი. ი.
ზველების იანი. თერმოინერი დეტაქტორი ნახშირეანგის საფურცველზე
ალტარმომქმნელად გამოყენების შემთხვევაში

528

- * ვ. მინდინი, ს. მაჟმიშვილი. „სილიცუმის ორეანგი — ნახშირბადის“ სის-
ტემაში ურთიერთქმედების თერმოლინამიკური ანალიზი 1,01·105 პა (1ატ)
წევენისას

532

- * გ. გერაძე, ნ. ფირცხალავა, ვ. ჩუმაკი. ტურე მეტალების და ტეტრა-
ეთოლამინიუმის ბრნმდების სსნარების იონური მიგრაციის თერმოლინიმიკა
წყლის შემცველ შერეულ გამხსნელებში

535

- * გ. ბულევიშვილი, ვ. ჩუმაკი. ნიტროფენოლების იონური მიგრაციის აქტი-
ვაცის თერმოლინიმიკა ორმაგ შერეულ გამხსნელებში

540

გიოლოგია

- * ლ. ცირეკიძე. ფორამინიფერების ოკრიბის ურგონული ფაციესიდან

543

სამუნებლო მიმანიჭა

- * გ. შერაძე. სახსრულად ჩამაგრებული ლრეკადი ვერტიკალური საყრდენების მქო-
ნე ლეროს მდგრადობა საკუთარი წრნის მოქმედებისას

547

- * გ. შერაძე, მ. კობახიძე. ლრეკად ფურქზე და ყამირში ჩალრმავებული ფუნ-
დამენტის რხევის ექსპრესიმეტრული გამოკვლევა

551

- * ნ. აკვლედიანი, მ. დანიელაშვილი, შ. ჯაბუა, თ. უორულლაძე,
შ. სიხარულიძე, ი. ფინჩენკო, კ. ესაიაშვილი. რეინაბეტონის
ასაწყობმონოლითური ორმაგი სიმრუდის გარსის ნატურული გამოცდა

555

საგადოთა დამუგავება და გამდიდრება

- * ნ. სიხარულიძე, ბ. შეყლაშვილი, ე. ბახტაძე, ა. ფროლოვი,
კ. მჭედლიშვილი. მიკროდაქვული, ქიმიკურად მოდიფიცირებული კლი-
ნოტილოლითის მიღების საკითხის შესახებ

559

- * ი. ცინცაძე. ქვანახშირის შახტებში გაზის გამოყოფის მართვის საკითხისათვის

564

მეტალურგია

- * ფ. თავაძე (საქ. სსრ მეცნ. აკად. აკადემიკოსი), გ. ლანჩაძე, თ. ბაკია-
ძე, შ. მიროტაძე, ა. ბაკურაძე. უწყვეტი ჩამოსხმით მიღებული თუ-
ჭის ნამზადების სტრუქტურის გაუმჯობესება

568

- * გ. მუშკულიანი, დ. მაღლაკელიძე, ა. გაბისიანი, რ. მენაძე, ე.
ა. ლომაშვილი. 8-ტ სხმულის ჩამოსხმის ათვისება რუსთავის მეტალურ-
გულ ქარხანაში

571

- * ი. ბაირამაშვილი, ქ. ჭობავა, გ. კალანდაძე, გ. ლომიძე, შ. ლოლაძე, ი. სოლოვა, ქრისტალური ბორის ფხვნილის ულტრაბგერით დისპერგირება

576

განვანათმცოდნობა

- * ქ. ბანტაძე. ზოგადი გამოსახულება სინათლის განაწილებისათვის დეფორმაციის გასიმვის ფორმეტრიული მეთოდების გამოყენებისას

579

ჰიდროტიკიკა

- * ა. ჭანტურია. მთის ქანების ხევდრითი ღრეუადი წინაღობის კოეფიციენტის განსაზღვრა ჩეგრესული ანალზის მეთოდით ჰიდროტექნიკური გვრაბების დაწევითი ხერელების გამოცდების შედეგების შიხედვით

584

- * ღ. უფარაძე. მრავალცენტრიან კვეთებიან გვრაბებში არათანაბარი მოძრაობის დროს შეტყობის სიგრძის საანგარიშო შედეგები

587

ავტომატური გარმავა და გამოთვლითი ტიპები

- * კ. კახელაძე, გ. არუთინოვი, ა. ჭანაშვილი, ნ. ბულია. მრავალკომპონენტიანი თხევადი ნივთიერების ელემენტების პარამეტრების განსაზღვრის საკითხისათვის გამოთვლითი ტექნიკის საშუალებით

591

- * ნ. ცომაია. მოწესრიგებული გამორჩევის ალგორითმის შესახებ ასოციაციურ პარალელურ პროცესორში

596

- * რ. პეტრიაშვილი. ნაცმიან სევტებში ორკომპონენტიანი იზოტოპური ნარევის გაყოფის სტაციონარული პროცესის ოპტიმიზაციის ამოცანაში შესაძლებელი კრიტერიუმების შესახებ

600

მცენარეთა ფიზიკური

- * შ. ხოფერია, მ. გერგაია. პესტიციდებთან ერთად გამოყენებული აზოტოვანი სასუქების გავლენა ციტრუსოვანთა ზოგიერთ ფიზიოლოგიურ მაჩვენებლებზე და მოსავლიანობაზე

604

გენეტიკა და ლიქსიდა

3. ნასყიდაშვილი. საქართველოს ხორბლის (*T. aestivum*×*T. durum*) საქონათა-ზორისი ჰიბრიდების მეორე თაობაში ფორმათა შემცირების შესწავლის საკითხისათვის

605

ადამიანისა და ცხოველთა ფიზიოლოგია

- * ა. ბაკურაძე (საქ. სსრ მეცნ. აკადემიის წევრ-კორესპონდენტი) გ. ელიავა. ადამიანის მოძრაობითი რეაქციის ფარული პერიოდის ცვლილება სუნთქვის ფაზებთან დაკავშირებით

611

- * ღ. კვირკველია, ღ. კობიაშვილი, ნ. დუმბაძე. თავის ტვინის ქერქის ფუნქციური გამოთვევა ნოვოკაინის მოქმედებით

615

- * ა. ზირაქაძე. მაკე ცხოველის სარეგულაციო მექანიზმები ნაყოფის აღექვარური ოქსიგენაციის უზრუნველსაყოფად

619

ბიოგიმიზა

- * ხ. ალექსიძე, თ. ბახანაშვილი, მ. ბალავაძე, ნ. გოგვაძე. გლილის უჯრედებში გლუკორონის მჟავასთან კონიუგაციის გზით სეროტონინის ინაქტივაციის შესახებ

624



3. ჩუ ბინიძე, ს. მოლოდინაშვილი. ეთერზეთის რაოდენობრივი შემცველობის სეზონური დინამიკა საქართველოს სხვადასხვა რაიონში გავრცელებულ ამბროზიაში

625

ფიტოპათოლოგია

- *o. მინკე ვიჩი, მ. მიქაბერიძე. მუხის ნაცრის ზოგიერთი თავისებურების შესწავლა დაცვითი ლონისძიებების პროგნოზირების მიზნით

631

მნიშვნელობია

- *i. სიჭინავა, გ. შენგელია. Culex pipiens linnaeus, 1758 თაობათა რიცხვი და სიცოცხლის ხანგრძლივობა კოლხეთის დაბლობში

635

ჰისტოლოგია

- *g. სამსონიძე, ქ. ბარაძე. პანკრეასის ალღენითი რეაქციის ანალიზი ქსოვილოვან დონეზე დასხივების შემდეგ

640

მცხავრიშვილი მიყიცია

- *m. არველაძე. ზოგიერთი დეზინტოქსიკაციური საშუალებების მოქმედება ელექტროლიტურ და ცილოვან ცვლაზე მწვავე ალკოგოლური მოწამვლის შემთხვევებში

643

- *n. კოკიჩაშვილი. სქესობრივად მოუმწიფებელი ასაკის არაადაპტირებული და ადაპტირებული ვირთაგვების ჩინჩხის კუნთვებში მეცნ ჰიდროლაზების აქტივობის ცვლილება ერთფერადი ფიზიკური დატვირთვის შემდეგ

647

მნათმიცვირება

- *d. ეორეოლიანი, ო. მათე შვილი. სხვადასხვა ენის ფრაზეოლოგიურ ერთეულთა ურთიერთმიმართების პრობლემისათვის (ინგლისური და რუსული ენების მასალაზე)

562

- ლ. გოქსაძე, მ. გიგინე შვილი. არტიკლის საკითხის შესახებ თანამედროვე ინგლისურში

653

- ნ. ჩიბალაშვილი. რთული მეტონიმური ნომინატების სემასიოლოგიური კლასები

657

СОДЕРЖАНИЕ

МАТЕМАТИКА

Р. В. Дудучава. О многомерных сингулярных интергальных уравнениях. Основные теоремы	465
Т. Г. Сулаберидзе. Об устойчивости в одной задаче нелинейного прогноза и фильтрации	469
Н. Г. Гуния. О сходимости рядов Фурье почти-периодических функций	473

ТЕОРИЯ УПРУГОСТИ

Д. А. Горгидзе. Упругое равновесие транстронного многослойного цилиндрического координатного параллелепипеда	477
--	-----

КИБЕРНЕТИКА

Д. И. Башалейшили. Об одном применении математической модели укрупняющей системы	481
Д. Г. Метревели. О существовании недоминируемых оценок в многокритериальных задачах оптимизации	485

ФИЗИКА

А. П. Кашин, М. З. Максимов, З. Е. Чиковани. Об одном методе сращивания асимптотических разложений в физике	489
Л. П. Бычкова, О. И. Даварашвили, С. Г. Конников, М. И. Сагинури, Р. И. Чиковани, А. П. Шотов. Гетеролазеры с двухсторонним ограничением на основе твердых растворов $Pb_{1-x}Sn_xSe$	493
Я. З. Дарбандзе, Л. А. Слепченко, Ю. В. Тевзадзе. Нарушение KNO-скейлинга и предел большого числа коррелированных компонент	497
Т. Д. Камушадзе, Г. И. Кочорадзе, Г. Б. Михайлов, Э. М. Омельяновский. Отрицательная фотопроводимость в $p-i-n$ структурах на основе полуизолирующего $CaAs$: Cr, O	501

ГЕОФИЗИКА

М. А. Алексидзе, Г. И. Буачидзе, Г. Е. Гугунава, Д. К. Кирия, Т. Л. Челидзе. Стационарная трехмерная геотермическая модель Кавказа	505
--	-----

* Заглавие, отмеченное звездочкой, относится к резюме статьи.

К. А. Тавартиладзе, И. А. Шенгелия. Моделирование вертикального распределения влаги в свободной атмосфере	509
---	-----

ОБЩАЯ И НЕОРГАНИЧЕСКАЯ ХИМИЯ

Н. А. Джабишили, М. В. Ландия, Н. А. Кларджеишвили. Пирофосфаты Тулия	513
---	-----

ОРГАНИЧЕСКАЯ ХИМИЯ

Х. И. Арешидзе (академик АН ГССР), Г. О. Чивадзе, В. В. Хахнелидзе. Исследование модифицированного гумбрина в реакции алкилирования фенола дизобутиленом	517
--	-----

Г. Ш. Папава, Л. А. Беридзе, Н. С. Гелашвили, Н. С. Дохтуришвили, В. А. Белоглазов, В. С. Воищев. Исследование механических и диэлектрических свойств полизифиров с карбовыми группировками адамантана	521
--	-----

ФИЗИЧЕСКАЯ ХИМИЯ

Г. В. Цицишвили (академик АН ГССР), Т. Г. Андроникашвили (член-корреспондент АН ГССР), В. Г. Березкин, З. А. Гвелесиани. Термоионный детектор на основе окиси углерода в качестве пламяобразователя	525
---	-----

В. Ю. Миндин, С. М. Мазмишвили. Термодинамический анализ взаимодействий в системе «двуокись кремния—углерод» при $1,01 \cdot 10^5$ Па (1 ат)	529
--	-----

Г. Я. Гецадзе, Н. И. Пирцхалава, В. Л. Чумак. Термодинамика ионной миграции растворов бромидов щелочных металлов и тетраэтиламмония в смешанных растворителях, содержащих воду	533
--	-----

М. И. Булейшвили, В. Л. Чумак. Термодинамика активации ионной миграции нитрофенолов в двойных смешанных растворителях	537
---	-----

ГЕОЛОГИЯ

Л. Р. Цирекидзе. Фораминиферы из ургонской фации окрибы	541
---	-----

СТРОИТЕЛЬНАЯ МЕХАНИКА

Г. В. Шерадзе. Устойчивость шарнирно-опертого стержня с упругими вертикальными опорами, сжатого силами собственного веса	545
--	-----

З. И. Беродзе, М. О. Кобахидзе. Экспериментальное изучение колебаний фундаментов, расположенных на упругом основании и заглубленных в грунте	549
--	-----

Н. В. Ахвледiani, М. А. Даниелашивили, Ш. А. Джабуа, Т. П. Жоржоладзе, Ш. Р. Сихарулидзе, И. П. Финченко, Д. В. Эсанишвили. Натурные испытания сборно-монолитной железобетонной оболочки двоякой кривизны	553
---	-----

РАЗРАБОТКА МЕСТОРОЖДЕНИЙ И ОБОГАЩЕНИЕ

Н. Г. Сихарулидзе, Б. И. Шеклашвили, Э. И. Бахтадзе, А. В. Фролов, К. М. Мchedлишвили. К вопросу получения микроизмельченного химически модифицированного клиноптилолита	557
Ю. Д. Цинцадзе. К вопросу управления газовыделением в угольных шахтах	561

МЕТАЛЛУРГИЯ

Ф. Н. Тавадзе (академик АН ГССР), М. Д. Ланчава, Т. А. Бацикадзе, Ш. А. Миротадзе, А. И. Бакурадзе. Улучшение кристаллической структуры непрерывнолитых чугунных заготовок	565
З. А. Мушкудиани, Д. Л. Маглакелидзе, А. Г. Габисиани, Р. А. Менабде, А. Н. Ломашвили. Освоение разливки 8-т слитка на Руставском металлургическом заводе	569
И. А. Байрамашвили, Дж. Ш. Джобава, Г. И. Каландадзе, Г. П. Ломидзе, Ш. А. Лоладзе, Ю. А. Солоев. Ультразвуковое диспергирование порошка кристаллического бора	573

МАШИНОВЕДЕНИЕ

Д. А. Бахтадзе. Общее выражение для светораспределения при фотометрических методах измерения деформации	577
---	-----

ГИДРОТЕХНИКА

А. Г. Чантuria. Определение коэффициента удельного упругого отпора породы методом регрессионного анализа по результатам испытания напорных выработок гидротехнических туннелей	581
Л. П. Купарадзе. Результаты для расчета длины подпора в туннелях с коробовыми сечениями при неравномерном течении	585

АВТОМАТИЧЕСКОЕ УПРАВЛЕНИЕ И ВЫЧИСЛИТ. ТЕХНИКА

К. Г. Кахелидзе, Г. К. Арутюнов, А. И. Джанашвили, Н. П. Булия. К вопросу косвенного определения параметров элементов многокомпонентных жидких сред с применением средств ВТ	589
Н. В. Цомая. Об алгоритме упорядоченной выборки в ассоциативном параллельном процессоре	593
Р. А. Петриашвили. О возможных критериях в задаче оптимизации стационарного процесса разделения двухкомпонентной изотопной смеси в насадочных колоннах	597

ФИЗИОЛОГИЯ РАСТЕНИЙ

Ш. Л. Хоперия, М. С. Гергая. Влияние азотных удобрений, примененных совместно с пестицидами, на некоторые физиологические показатели и урожайность цитрусовых	601
---	-----

- * П. П. Наскидашвили. К вопросу изучения формообразования второго поколения межвидовых гибридов пшеницы (*T. aestivum* × *T. durum*) Грузии 606

ФИЗИОЛОГИЯ ЧЕЛОВЕКА И ЖИВОТНЫХ

- А. Н. Бакурадзе (член-корреспондент АН ГССР), Г. Г. Элиава. Изменение скрытого периода двигательной реакции в связи с фазами дыхания 609
- Л. Р. Квирквелия, Л. Н. Кобиашвили, Н. В. Думбадзе. Функциональное выключение коры головного мозга при действии новокaina 613
- А. Н. Зиракадзе. Материнские механизмы регуляции адекватной оксигенации плода 617

БИОХИМИЯ

- Н. Г. Алексидзе, Т. А. Баханашвили, М. В. Балавадзе, Н. О. Гогадзе. К вопросу инактивации серотонина в клетках глии конъюгацией с глюкуроновой кислотой 621
- * В. В. Чубинидзе, С. З. Молодинашвили. Сезонная динамика количественного содержания эфирных масел в амброзиях, произрастающих в разных районах Грузии 627

ФИТОПАТОЛОГИЯ

- И. И. Минкевич, М. С. Микаберидзе. Изучение некоторых особенностей развития мучнистой росы дуба с целью прогнозирования защитных мероприятий 629

ЭНТОМОЛОГИЯ

- Ш. Г. Сичинава, Г. Ю. Шенгелия. Число генераций и продолжительность жизни комаров *Culex pipiens linnaeus*, 1758 в Колхидской низменности 633

ГИСТОЛОГИЯ

- Г. Г. Самсонидзе, К. Н. Барабадзе. Анализ восстановительной реакции поджелудочной железы после облучения на тканевом уровне 637

ЭКСПЕРИМЕНТАЛЬНАЯ МЕДИЦИНА

- М. А. Арвеладзе. Действие некоторых дезинтоксикационных средств на водно-электролитный и белковый обмен при острой алкогольных интоксикациях 641
- М. С. Кокичашвили. Изменения активности кислых гидролаз в скелетных мышцах неадаптированных и адаптированных крыс неполовозрелого возраста после однократной физической нагрузки 645

ЯЗЫКОЗНАНИЕ

- Д. А. Жоржолани, О. М. Матёшвили. К проблеме межъязыковой соотнесенности фразеологических единиц (на материале английского и русского языков) 649
- * Л. С. Гоксадзе, М. А. Гигинейшвили. К вопросу об артикле в современном английском языке 655
- * Н. Н. Чибалашвили. Семасиологические классы сложных метонимических номинатов 660

C O N T E N T S

MATHEMATICS

R. V. Duduchava. On multidimensional singular integral equations. Principal theorems	467
T. G. Sulaberidze. On the stability in one problem of nonlinear prognosis and filtrations	472
N. G. Gunia. On the convergence of Fourier series of almost periodic functions	475

THEORY OF ELASTICITY

D. A. Gorgidze. On the elastic equilibrium of a transotropic multilayer cylindrical coordinate parallelepiped	480
---	-----

CYBERNETICS

D. I. Bashaleishvili. On one application of a mathematical model of a coarsening system	484
J. G. Metreveli. On the existence of nondominated points in multicriteria optimization problems	487

PHYSICS

A. P. Kashin, M. Z. Maksimov, Z. E. Chikovani. On one method of matched asymptotic expansions in physics	492
L. P. Bychkova, O. I. Davarashvili, S. G. Konnikov, M. I. Saginuri, R. I. Chikovani, A. P. Shotov. Heterolasers with double-sided confinement based on $Pb_{1-x}Sn_xSe$ solid solutions	496
Ya. Z. Darbaidze, L. A. Slepchenko, Yu. V. Tevzadze. KNO-scaling disturbance and the limit of a large number of correlated components	500
T. D. Kamushadze, G. I. Kochoradze, G. B. Mikhailov, E. M. Omelianovski. Negative photoconductivity in $p-i-n$ structures based on semi-insulating GaAs: Cr, O	504

GEOPHYSICS

M. A. Aleksidze, G. I. Buachidze, G. E. Gugunava, D. K. Kiria, T. L. Chelidze. A threedimensional stationary geothermal model of the Caucasus	508
K. A. Tavartkiladze, I. A. Shengelia. Modelling of the vertical distribution of humidity in the free atmosphere	512

GENERAL AND INORGANIC CHEMISTRY

N. A. Jabishvili, M. V. Landia, N. A. Klarjeishvili. Thulium pyrophosphates	515
---	-----

ORGANIC CHEMISTRY

Ch. I. Areshidze, G. O. Chivadze, V. V. Khakhnelidze. Study of modified gumbrine in the reaction of phenol alkylation by diisobutylene	519
--	-----

G. Sh. Papava, L. A. Beridze, N. S. Gelashvili, N. S. Dokhturi-shvili, V. A. Beloglazov, V. S. Voishchhev. A study of the mechanical and electric properties of polyesters containing cardo-groups of adamantane

524

PHYSICAL CHEMISTRY

- G. V. Tsitsishvili, T. G. Andronikashvili, V. G. Berezkin, Z. A. Gvelesiani. Thermoionic detector on the basis of carbon monoxide as a flame-forming agent in gas chromatography 528
- V. Yu. Mindin, S. M. Masmishvili. Thermodynamic analysis of interactions in the system silicon dioxide-carbon at $1.01 \cdot 10^5$ Pa (1 atm) 532
- G. I. Getsadze, N. I. Pirtskhalava, V. L. Chumak. Thermodynamics of ionic migration of alkali metals and tetraethylammonium bromides in mixed solvents containing waters 536
- M. I. Buleishvili, V. L. Chumak. Thermodynamics of the activation of ionic migration of nitrophenols in double mixed solvents 540

GEOLOGY

- L. R. Tsirekidze. Foraminifers from the Urgonian of Okriba

543

STRUCTURAL MECHANICS

- G. V. Sheradze. Stability of a hinge-supported column with elastic vertical supports compressed by the forces of dead weight 547
- Z. I. Berodze, M. O. Kobakhidze. Experimental study of oscillations of elastic foundations placed deep in the ground 552
- N. V. Akhvlediani, M. A. Danielashvili, Sh. A. Jabua, T. P. Zhorzholidze, Sh. P. Sikharulidze, I. P. Finchenko, D. V. Esaiashvili. Full-scale tests of a built-up monolithic reinforced-concrete shell of double curvature 556

EXPLOITATION OF DEPOSITS AND CONCENTRATION

- N. G. Sikharulidze, B. I. Sheklashvili, E. I. Bakhtadze, A. V. Frolov, K. M. Mchedlishvili. Towards the production of microcrushed chemically modified zeolite 560
- I. D. Tsintsadze. Concerning the control of gassing in coal mines 564

METALLURGY

- F. N. Tavadze, M. D. Lanchava, T. A. Batsikadze, Sh. A. Miro-tadze, A. I. Bakuradze. Improvement of the crystalline structure of continuously cast grey-iron billets 568
- Z. A. Mushkudiani, D. L. Maglakelidze, A. G. Gabisiani, R. A. Menabde, A. N. Lomashvili. Teeming of 8-ton ingots at Rustavi steel-works 571
- I. A. Bairamashvili, D. Sh. Jobava, G. I. Kalanadze, G. P. Lomidze, Sh. A. Loladze, Yu. I. Soloev. Ultrasonic dispersion of crystalline boron powder 576

MACHINE BUILDING SCIENCE

- J. A. Bakhtadze. General expression of light distribution at the application of photometric methods of deformation measuring

579

HYDRAULIC ENGINEERING

- A. G. Chanturia. Determination of specific elastic strength coefficient by the method of regression analysis according to the results of pressure excavations of hydrotechnical tunnels 584

- L. P. Kuparadze. Results for calculating the length of headrace at irregular flow in box-section tunnels 587

AUTOMATIC CONTROL AND COMPUTER ENGINEERING

- K. G. Kakhetadze, G. K. Arutyunov, A. I. Janashvili, N. P. Bulia. Towards indirect determination of the parameters of elements of multicomponent media with the help of computer facilities 592

- N. V. Tsomaia. Concerning an ordered sampling algorithm in an associative parallel processor 596

- R. A. Petriashvili. On the possible criteria in an optimization problem of a stationary process of binary isotope mixture separation in packed columns 600

PLANT PHYSIOLOGY

- Sh. L. Khoperia, M. S. Gergaia. The effect of nitrogen fertilizers used in combination with pesticides on some physiological indices and cropping capacity of citrus plants 604

GENETICS AND SELECTION

- P. P. Naskidashvili. Towards the study of the formation of the second generation of interspecific hybrids of Georgian wheat *T. aestivum* \times *T. durum* 607

HUMAN AND ANIMAL PHYSIOLOGY

- A. N. Bakuradze, G. G. Eliava. Changes in the latent period of the human motor reaction in relation to the respiration phases 612

- L. R. Kvirkvelia, L. N. Kobiashvili, N. V. Dumbadze. Functional blockade of the neocortex induced by the action of procaine 616

- A. N. Zirakadze. Maternal mechanisms regulating adequate oxygenation of the fetus 620

BIOCHEMISTRY

- N. G. Aleksidze, T. A. Bakhanashvili, M. V. Balavadze, N. O. Gogvadze. On the inactivation of serotonin in glial cells by glucuronic acid conjugation 624

- V. V. Chubinidze, S. Z. Molodinashvili. Seasonal dynamics of quantitative content of essential oils in Ambrosias (*Ambrosia artemisiifolia* L.) growing in different parts of Georgia 627

PHYTOPATHOLOGY

- I. I. Minkevich, M. S. Mikaberidze. A study of some peculiarities of development of the powdery mildew of oak with a view to forecasting protective measures 631

ENTOMOLOGY



- Sh. G. Sichinava, G. Yu. Shengelia. The number of generations and the length of life of *Culex pipiens* Linnaeus, 1758 in the Kolkheti lowland 635

HISTOLOGY

- G. G. Samsonidze, K. N. Barabadze. Analysis of the restorative reaction of the pancreas after irradiation at tissue level 640

EXPERIMENTAL MEDICINE

- M. A. Arveladze. The influence of disintoxicational therapy on some indices of water-electrolytic and protein exchange during acute alcohol intoxication 643
- M. S. Kokichashvili. Changes of acid hydrolase activity in skeletal muscles of adapted and non-adapted preadolescence rats after physical exercise 648

LINGUISTICS

- D. A. Zhorzhiani, O. M. Mateshvili. The problem of interlingual correlation of phraseological units (on the material of English and Russian languages) 652
- L. S. Goksaladze, M. A. Gigineishvili. Some points of article usage in present-day English 656
- N. N. Chibalashvili. Semasiological classes of complex metonymical nominata 660

УДК 513.88: 517.948.3

МАТЕМАТИКА

Р. В. ДУДУЧАВА

О МНОГОМЕРНЫХ СИНГУЛЯРНЫХ ИНТЕГРАЛЬНЫХ УРАВНЕНИЯХ ОСНОВНЫЕ ТЕОРЕМЫ

(Представлено членом-корреспондентом Академии Б. В. Хведелидзе 13.11.1981)

Пусть $M = \mathbb{R}^{n+} = \mathbb{R}^+ \times \mathbb{R}^{n-1}$, $\mathbb{R}^+ = [0, \infty)$, $\mathbb{R} = (-\infty, \infty)$ либо $M \subset \mathbb{R}^n$ представляет собой компактную область, граница которой ∂M -гладкая поверхность Ляпунова; рассмотрим систему сингулярных интегральных уравнений

$$A_M \varphi(x) = c(x) \varphi(x) + \int_M \frac{\Omega(x, x-y)}{|x-y|^n} \varphi(y) dy \equiv f(x), \quad (1)$$

где $c(x)$ — непрерывная матрица-функция порядка N на $M \cup \partial M$, имеющая предел $c_\infty = \lim c(x)$ при $M = \mathbb{R}^{n+}$ и $|x| \rightarrow \infty$; от характеристики $\Omega(x, \xi)$ потребуем, чтобы оператор A_M был ограничен в векторном пространстве

$$L_p^N(M) = \left\{ \varphi = (\varphi_1, \dots, \varphi_N) : \varphi_k \in L_p(M); \|\varphi\|^p \stackrel{\text{def}}{=} \sum_{i=1}^N \|\varphi_i\|^p \right\} \text{ и соответсвтвенно}$$

ющий оператор $W_{a_x}^0$, определенный в [1], непрерывно зависел от параметра $x \in M$ (в операторной норме пространства $L_p^N(M)$, в случае $M = \mathbb{R}^n$; дополнительно потребуем, чтобы $W_{a_x}^0$ имел предел (опять в операторной норме) при $|x| \rightarrow \infty$. Условия, обеспечивающие наши требования, легко получить из теоремы 1 (см. [1]) и из аналогичных теорем (см. [2]).

Уравнение (1) запишем в виде

$$A_M \varphi(x) = \kappa_M(x)(W_{a,-}^0 \kappa_M \varphi)(x) = \kappa_M(x) f(x).$$

где $\chi_M(x)$ — характеристическая функция области $M \subset \mathbb{R}^n$, а символ $a_x(\xi) = \langle (a_x)_{ib}(\xi) \rangle_{i,b=1}^N$ определяется равенством

$$a_x(\xi) = c(x) + \int_{\mathbb{D}^n} e^{i\xi \cdot \eta} |\eta|^{-n} \Omega(x, \eta) d\eta$$

Неравенство ($1 \leq p \leq \infty$; x_0 — константа)

$$\max_{i \in k} \sup_{\xi} |(a_x)_{ik}(\xi)| \leq \gamma_p \|W_{a_x}^0\|_{L_p}(\mathbb{R}^n)$$

обеспечивает непрерывную зависимость символа от $x \in M$ и существование предела $a_n(\xi) = \lim a_n(\xi)$ при $M = \mathbb{R}^{n+1}, |x| \rightarrow \infty$.

Пусть σ_x — аффинное преобразование $\sigma_x : \mathbb{R}^n \rightarrow \mathbb{R}^n$, переводящее единичный вектор $e_i = (1, 0, \dots, 0)$ во внутреннюю нормаль к ∂M в точке $x \in \partial M$; пусть $\sigma_x^* a_\infty(\xi) \equiv a_\infty(g_x \cdot \xi)$.

Используя обозначения и вспомогательные предложения из [1], сформулируем основные теоремы (доказательства см. в препринтах автора [3]).



Теорема 1. Пусть $a_x(\xi) \in (HC^{m+2})^{N \times N}(\mathbb{R}^n)$ для всех $x \in M$.

Для нетеровости уравнения (1) в векторном пространстве $L_p^N(M)$ ($1 < p < \infty$) необходимо, чтобы $\inf |\det a_x(\theta)| > 0$ ($x \in M, \theta \in S^{n-1}$).

Теорема 2. Пусть символ $a_x(\xi) \in (HC^{m+2})^{N \times N}(\mathbb{R}^n)$ уравнения (1) эллиптичен $\inf |\det a_x(\theta)| > 0$ ($x \in M, \theta \in S^{n-1}$) и $\kappa_N(\theta', x) \leq \dots \leq \kappa_1(\theta', x)$ — частные p -индексы функции $\sigma_x^* a_x(\theta)$ ($1 < p < \infty$; см. Лемму 1 из [1]).

Уравнение (1) нетерово в пространстве $L_p^N(M)$ тогда и только тогда, когда

$$\operatorname{Re} \delta_j(\sigma_x^* a_x) \neq -\frac{1}{p} \text{ для всех } j = 1, 2, \dots, N, x \in \partial M \quad (2)$$

и

$$\kappa_1(\theta, x) = \dots = \kappa_N(\theta, x) = 0 \quad (x \in \partial M, \theta \in S^{n-2}) \quad (3)$$

(в случае $M = \mathbb{R}^{n+}$ уравнение разрешимо безусловно и однозначно).

Если (2) выполнено, но не выполнено (3) и $\kappa_j(\theta', x) \geq 0$ ($x \in \partial M, j = 1, 2, \dots, N; \theta' \in S^{n-2}$), уравнение (1) имеет левый регуляризатор, а для разрешимости правая часть $f(x)$ должна удовлетворять бесконечному числу условий разрешимости (в случае $M = \mathbb{R}^{n+}$ решение уравнения единственное).

Если (2) выполнено, но (3) не выполнено и $\kappa_j(\theta', x) \leq 0$ ($j = 1, 2, \dots, N; \theta' \in S^{n-2}; x \in \partial M$), уравнение (1) имеет правый регуляризатор, а однородное уравнение $f(x) = 0$ имеет бесконечное число решений (в случае $M = \mathbb{R}^{n+}$ оно безусловно разрешимо для всех правых частей).

Замечание 1. В случае $N = 1$ (скалярное уравнение) и нетеровости уравнения (1) в $L_p(M)$ его индекс равен нулю.

Через $H_0^{sp}(M)$ обозначим замыкание множества бесконечно дифференцируемых функций $\varphi(x)$ с компактными носителями $\operatorname{supp} \varphi \subset M$ по норме

$$\|\varphi\|_{sp} = \left(\int_{\mathbb{R}^n} (\mathfrak{F}^{-1} (1 + |\xi|^2)^{s/2} \mathfrak{F} \varphi)(t) |t|^p dt \right)^{1/p},$$

$$1 < p < \infty, -\infty < s < \infty,$$

где \mathfrak{F} и \mathfrak{F}^{-1} — операторы (преобразования) Фурье—Планшереля; пусть $H^{sp}(M)$ — фактор-пространство $H^{sp}(M) = H_0^{sp}(\mathbb{R}^n) / H^{sp}(\mathbb{R}^n \setminus M \cup \partial M)$ (подробные сведения об этих пространствах, называемых пространствами Соболева—Слободецкого, см. в [3—5]). Пусть $(H_0^{sp})^N(M)$ и $(H^{sp})^N(M)$ — векторные пространства.

Рассмотрим уравнение (1) в следующих предположениях: замыкание $M \cup \partial M$ области M компактно в \mathbb{R}^n и граница ∂M C^∞ -гладкая; матрицы-функции $c(x)$ и $\Omega(x, \xi)$ достаточно гладкие по переменной $x \in M$ и оператор $W_{a_x}^0$ непрерывно зависит от параметра x (по норме операторов в пространстве Соболева—Слободецкого $(H^{sp})^N(\mathbb{R}^n)$; см. [2] и [3]); вектор-функция $f(x)$ принадлежит векторному пространству $(H^{sp})^N(M)$ и решение $\varphi(x)$ системы (1) ищется в векторном пространстве $(H_0^{sp})^N(M)$.

Теоремы 1 и 2 полностью сохраняют силу при указанной постановке задачи, если только в определении чисел δ_j (см. [1], неравенства (3)), а также в условии (2) число $1/p$ заменить на $1/p - s$ (эти замены могут повлечь за собой изменение частных индексов $\kappa_j(\theta', x)$).

Следует отметить, что метод сведения исследования системы сингулярных интегральных уравнений (1) к исследованию скалярного



уравнения $N=1$ (см. [5]), используемый нами (см. [3]), был предложен, по существу, Н. П. Векуа для исследования систем одномерных сингулярных интегральных уравнений (см. [6]).

Теоремы 1 и 2 сформулированы в [5], но в доказательствах там допущены ошибки; мы избрали другой путь доказательства основных утверждений.

В случае $p=2, s=0$ эти теоремы доказаны в [7] другим способом.

Границные задачи для псевдодифференциальных уравнений в пространствах Соболева—Слободецкого $H^{s2}(M)$ (т. е. $p=2, N=1$) исследованы в [8], а в случае пространств $H^{sp}(M)$, но непрерывности символа на бесконечности $\delta_j(\sigma_x^* a_x) \equiv 0$ —в [9] (см. также [10]).

Следует отметить, что в случае компактного многообразия M без границы $\partial M = \emptyset$ эллиптичность символа оказывается как необходимым, так и достаточным условием нетеровости уравнения (1) и условия (2)—(3) при этом отсутствуют (см. [2, 7, 11, 12]).

Академия наук Грузинской ССР
Тбилисский математический институт
им. А. М. Размадзе

(Поступило 25.12.1981)

გათვალისწინებული მუნიციპალიტეტი

რ. დუდუხავა

მრავალგანზომილებიანი სინგულარული ინტეგრალური
განტოლებების შესახებ. ძირითადი თეორემები

რეზიუმე

მოყვანილია (1) სახის სინგულარულ ინტეგრალურ განტოლებათა სისტემის ნეტერისეულობის აუცილებელი და საკმარისი პირობები ვექტორულ $L_p^N(\mathbb{R}^{n+})$ სივრცეებში და ვექტორულ სობოლევ — სლობოლეციის სივრცეებში ($H_0^{sp})^N(M) \rightarrow H^{sp}(M)$, როდესაც M წარმოადგენს კომპაქტურ არეს ევკლიდეს \mathbb{R}^n სივრცეში; დამტკიცებები მოყვანილია ავტორის პრეპრინტში [3].

MATHEMATICS

R. V. DUDUCHAVA

ON MULTIDIMENSIONAL SINGULAR INTEGRAL EQUATIONS. PRINCIPAL THEOREMS

Summary

Theorems on the necessary and sufficient conditions for the system (1) of singular integral equations to have Fredholm properties in the vector space $L_p^N(\mathbb{R}^{n+})$ and in the vector Sobolev-Slobodeckii spaces $(H_0^{sp})^N(M) \rightarrow (H^{sp})^N(M)$ are presented, when M is a compact area in the euclidean space \mathbb{R}^n ; proofs are published in the preprint [5].

ლიტერატურა — ЛИТЕРАТУРА — REFERENCES

1. Р. В. Дудучава. Сообщения АН ГССР, 109, № 2, 1982, 241—244.
2. S. G. Michlin, Z. Prossdorf. Singulare Integraloperatoren, Akademie Verlag, Berlin, 1980.



3. R. V. Duduchava. On multidimensional singular integral operators, I: The half-space case, II. The case of compact manifolds, Preprint №. 621-622, TH Darmstadt, BRD September 1981, 1-47, 1-26.
4. R. A. Adams. Sobolev Spaces, Academic Press, 1955.
5. E. Schamir. Transactions AMS, 1967, 107-124.
6. Н. П. Векуа. Системы сингулярных интегральных уравнений. М., 1973.
7. И. Б. Симоненко, Изв. АН СССР, сер. матем., 29, 1965, 567—586, 757—782.
8. Г. И. Эскин. Краевые задачи для эллиптических псевдодифференциальных уравнений. М., 1973.
9. В. С. Рабинович. Матем. сб., 89, № 1, 1972, 46—60.
10. L. Boutet de Monvel. Acta Mathem., 126, 1-2, 1971, 11-51.
11. С. Г. Михлин. Многомерные сингулярные интегральные уравнения. М., 1962.
12. В. Д. Купрадзе, Т. Г. Гегелия, М. О. Башалейшили, Т. В. Бурчукадзе. Трехмерные задачи математической теории упругости и термоупругости. М., 1976.

Т. Г. СУЛАБЕРИДЗЕ

ОБ УСТОЙЧИВОСТИ В ОДНОЙ ЗАДАЧЕ НЕЛИНЕЙНОГО ПРОГНОЗА И ФИЛЬТРАЦИИ

(Представлено членом-корреспондентом Академии И. Т. Кигурадзе 30.12.1982)

Пусть дана система вещественных случайных величин $\zeta, \xi_t, t \in T$ (T —некоторое множество действительных чисел), такая что $\zeta = \varphi(\eta)$, $\xi_t = \varphi_t(\eta_t)$, $t \in T$ —гауссовская система случайных величин с параметрами $(0,1)$, а $\varphi(\cdot)$, $\varphi_t(\cdot)$, $t \in T$ —вещественные борелевские функции, определенные на всей действительной прямой, причем

$$\int_{-\infty}^{\infty} \varphi^2(x) d\Phi(x) < \infty, \quad \text{где } \Phi(x) = (1/\sqrt{2\pi}) \cdot \int_{-\infty}^x \exp(-t^2/2) dt.$$

Совокупность функций, удовлетворяющих последнему условию, образует гильбертово пространство, которое обозначим через $L_2(d\Phi)$.

В работе [1] была поставлена и решена задача в среднеквадратическом (ср. кв.) смысле наилучшей оценки величины ζ в двух случаях: а) по значениям величин $\eta_t, t \in T$; б) по значениям величин $\xi_t, t \in T$; однако, в этом случае дополнительно требовалась взаимнооднозначность функций $\varphi_t(x)$ по x . Решена была также задача вычисления соответствующей ср. кв. погрешности $\tilde{D} = \{M(\zeta - \tilde{\zeta})^2\}^{1/2}$ наилучшей оценки $\tilde{\zeta}$ (M —мат. ожидание).

В обоих вышеуказанных случаях выражение для наилучшей оценки имеет вид

$$\tilde{\zeta} = \int_{-\infty}^{\infty} \varphi(\sigma_{\min} \cdot x + \bar{\eta}) d\Phi(x), \quad (1)$$

где $\bar{\eta}$ —в случае а) обозначает в ср. кв. смысле наилучшую оценку величины η по значениям величин $\eta_t, t \in T$, а в случае б) обозначает наилучшую в ср. кв. смысле линейную оценку величины η по значениям величин $\varphi_t^{-1}(\xi_t), t \in T$, где $\varphi_t^{-1}(\cdot)$, $t \in T$ —обратные функции для $\varphi_t(\cdot)$, $t \in T$. Соответственно, $\sigma_{\min}^2 = M(\eta - \bar{\eta})^2$.

В данной работе мы изучим вопрос об устойчивости нелинейной оценки $\tilde{\zeta}$. Устойчивость будет пониматься в смысле непрерывного отображения одного метрического пространства, скажем (X, ρ_1) , в другое метрическое пространство, скажем (Y, ρ_2) . Везде ниже через $\varphi^*(\cdot)$ будем обозначать некоторое «искажение» функции $\varphi(\cdot)$ и рассмотрим разные метрические пространства (X, ρ_1) и (Y, ρ_2) .



В качестве (X, ρ_1) рассматриваем следующие пространства:

1) $X = L_2(d\Phi)$; так что для любых $\varphi_1, \varphi_2 \in L_2(d\Phi)$ имеем

$$\rho_1(\varphi_1, \varphi_2) = \left\{ \int_{-\infty}^{\infty} [\varphi_1(x) - \varphi_2(x)]^2 d\Phi(x) \right\}^{1/2}. \quad (2)$$

2) $X = M(R)$ — пространство классов эквивалентности всех измеримых ограниченных функций, заданных на действительной прямой R [2]; так что для любых $\varphi_1, \varphi_2 \in M(R)$ имеем

$$\rho_1(\varphi_1, \varphi_2) = \min_N \left[\sup_{x \in R \setminus N} |\varphi_1(x) - \varphi_2(x)| \right], \quad (3)$$

где $N \subset R$ — произвольное нульмерное (по мере Лебега) множество.

В качестве (Y, ρ_2) будем рассматривать следующие пространства:

1) $Y = H$ — пространство всех случайных величин второго порядка, заданных на том же вероятностном пространстве, что и система $\zeta, \xi_t, t \in T$; так что для любых $\zeta_1, \zeta_2 \in H$ имеем

$$\rho_2(\zeta_1, \zeta_2) = \{M(\zeta_1 - \zeta_2)^2\}^{1/2}. \quad (4)$$

2) $Y = S$ — пространство классов эквивалентности почти везде конечных случайных величин, заданных на том же вероятностном пространстве, что и система $\zeta, \xi_t, t \in T$; так что для любых $\zeta_1, \zeta_2 \in S$ имеем [3]

$$\rho_2(\zeta_1, \zeta_2) = M \frac{|\zeta_1 - \zeta_2|}{1 + |\zeta_1 - \zeta_2|}. \quad (5)$$

Справедлива следующая

Теорема 1. Если пара метрик (ρ_1, ρ_2) определяется соответственно формулами ((2), (4)), ((3), (4)), ((3), (5)) и ((2), (5)), то для таких пар выполняются, соответственно, следующие неравенства:

$$\rho_2(\tilde{\zeta}, \tilde{\zeta}^*) \leq \frac{1}{\sigma_{\min}} \cdot \rho_1(\varphi, \varphi^*), \quad (6)$$

$$\rho_2(\tilde{\zeta}, \tilde{\zeta}^*) \leq \rho_1(\varphi, \varphi^*), \quad (7)$$

$$\rho_2(\tilde{\zeta}, \tilde{\zeta}^*) \leq \frac{\rho_1(\varphi, \varphi^*)}{1 + \rho_1(\varphi, \varphi^*)}, \quad (8)$$

$$\rho_2(\tilde{\zeta}, \tilde{\zeta}^*) \leq \frac{(1/\sigma_{\min}) \cdot \rho_1(\varphi, \varphi^*)}{1 + (1/\sigma_{\min}) \cdot \rho_1(\varphi, \varphi^*)}, \quad (9)$$

где $\tilde{\zeta}^*$ задается через выражение (1), в котором вместо φ подставлено „искаженное“ φ^* .

Как видно из этой теоремы, нелинейная оценка $\tilde{\zeta}$ устойчива относительно пар метрик ((2), (4)), ((3), (4)), ((3), (5)) и ((2), (5)), соответственно.

Замечание 1. Если обозначить $\tilde{D}_*^2 = M(\tilde{\zeta}^* - \varphi^*(\eta))^2$, то легко получить, что

$$|\tilde{D}_* - \tilde{D}| \leq \{M(\tilde{\zeta}^* - \tilde{\zeta})^2\}^{1/2} + \{M(\zeta - \varphi^*(\eta))^2\}^{1/2}.$$

Исходя из теоремы 1, соответствующим подбором φ^* можно сделать разность $|\tilde{D}_* - \tilde{D}|$ сколь угодно малой.

Замечание 2. Легко убедиться, что из устойчивости $\tilde{\zeta}$ относительно пары метрик ((2), (4)) следует устойчивость относительно па-

ры ((3), (4)), из устойчивости относительно пары ((2), (5)), следует устойчивость относительно ((3), (5)), из устойчивости относительно ((2), (4)) следует устойчивость относительно ((2), (5)), из устойчивости относительно ((3), (4)) следует устойчивость относительно ((3), (5)), а из устойчивости относительно ((2), (4)) следует устойчивость относительно ((3), (5)). Однако нужно отметить, что полученные выше неравенства (6)–(9) имеют самостоятельное значение.

Теперь отдельно рассмотрим случай, когда $X=Y=H$ и $\rho_1=\rho_2=\rho$, т. е. для любых $\zeta_1, \zeta_2 \in H - \rho(\zeta_1, \zeta_2)$ определено через (4). Нас будет интересовать вопрос устойчивости $\tilde{\zeta}$ относительно пары (ρ, ρ) в случае „искажения“ линейной оценки $\bar{\eta}$. Пусть $\bar{\eta}_\tau, \tau \in I$ (I —некоторое множество действительных чисел) гауссовская система случайных величин, принадлежащих к замкнутой линейной оболочке (в смысле ср. кв. сходимости) случайных величин $\eta_t, t \in T$ и пусть при $\tau \rightarrow \tau_0 (\tau_0 \in I)$ имеем $\rho^2(\bar{\eta}_\tau, \bar{\eta}) = M(\bar{\eta}_\tau - \bar{\eta})^2 \rightarrow 0$. Введем обозначения: $\tilde{\sigma}_\tau^2 = M\bar{\eta}_\tau^2$ и $\sigma_\tau^2 = M(\bar{\eta}_\tau - \eta)^2$, $\tau \in I$. Поскольку $\bar{\eta}_\tau$ сходится в ср. кв. смысле к $\bar{\eta}$ при $\tau \rightarrow \tau_0$, то отсюда получается, что $\tilde{\sigma}_\tau^2 \rightarrow \sigma^2$ при $\tau \rightarrow \tau_0$, где $\sigma^2 = M\bar{\eta}^2 = 1 - \sigma_{\min}^2$, к тому же из равенства $\sigma_\tau^2 - \sigma_{\min}^2 = M(\bar{\eta}_\tau - \bar{\eta})^2, \tau \in I$ (это равенство легко проверяется) имеем $\sigma_\tau^2 \rightarrow \sigma_{\min}^2$ при $\tau \rightarrow \tau_0$. Обозначим через $\tilde{\zeta}_\tau, \tau \in I$ нелинейную оценку, вычисленную по формуле (1), где вместо $\bar{\eta}$ подставлено „искаженное“ $\bar{\eta}_\tau, \tau \in I$.

Теорема 2. Если $\tilde{\sigma}_\tau^2 > 0$ при любом $\tau \in I$, то тогда из сходимости $M(\bar{\eta}_\tau - \bar{\eta})^2 \rightarrow 0$ при $\tau \rightarrow \tau_0$, вытекает сходимость $M(\tilde{\zeta}_\tau - \tilde{\zeta})^2 \rightarrow 0$ при $\tau \rightarrow \tau_0$.

Утверждение теоремы 2 означает, что $\tilde{\zeta}$ устойчива (в случае «искажений» $\bar{\eta}_\tau, \tau \in I$ линейной оценки $\bar{\eta}$) относительно пары метрик (ρ, ρ) .

Аналогично замечанию 1 и здесь имеем $\tilde{D}_\tau \rightarrow \tilde{D}$ при $\tau \rightarrow \tau_0$, где $\tilde{D}_\tau = \{M(\tilde{\zeta}_\tau - \zeta)^2\}^{1/2}$.

Следствие. Из теорем 1 и 2 можно заключить, что нелинейная оценка $\tilde{\zeta}$ устойчива и в случае одновременных «искажений» преобразования φ и линейной оценки $\bar{\eta}$, при условии $\varphi^* \in L_2(d\Phi)$.

Академия наук Грузинской ССР
Институт кибернетики

(Поступило 31.12.1982)

გათვალისწინებული მუნიციპალიტეტის მინისტრის მიერ გამოყენების შემთხვევაში

თ. სოლაგორიძე

მდგრადი კულტურის და სამართლის მინისტრის მიერ გამოყენების შემთხვევაში

რეზიუმე

ნაშრომში განხილულია არაშროფივად გარდაქმნილ გაუსის შემთხვევით სი-
დიდეთა სისტემისათვის (1) ფორმულით მოცემული საშუალო კვადრატული აზ-
რით საუკეთესო $\tilde{\zeta}$ შეფასების მდგრადობის საკითხები და $\bar{\eta}$ -ს სხვადასხვა
„დამახინების“ შემთხვევაში.

T. G. SULABERIDZE

 ON THE STABILITY IN ONE PROBLEM OF NONLINEAR
 PROGNOSIS AND FILTRATION

Summary

Problems of stability—in the mean-square sense—of the best estimation $\tilde{\zeta}$ defined by the formula (1) are discussed for the system of non-linearly transformed Gaussian random variables in the case of different “distortions” of φ and $\bar{\eta}$.

ՊՈՅԱՐԱԾՆԱ — ЛИТЕРАТУРА — REFERENCES

1. З. А. Пиранашвили, Т. Г. Сулябериձ զ. Сообщения АН ГССР, 91, № 2, 1978.
2. Н. Данфорդ, Дж. Т. Шварц. Линейные операторы. М., 1962.
3. М. Лозев. Теория вероятностей. М., 1962.

Н. Г. ГУНИЯ

О СХОДИМОСТИ РЯДОВ ФУРЬЕ ПОЧТИ-ПЕРИОДИЧЕСКИХ ФУНКЦИЙ

(Представлено членом-корреспондентом Академии Б. В. Хведелидзе 25.11.1982)

Пусть S^p , $p \geq 1$ —множество измеримых функций, определенных на $R = (-\infty, +\infty)$ и удовлетворяющих условию

$$D_{S^p}(f) = \sup_{a \in R} \left(\int_a^{a+1} |f(x)|^p dx \right)^{1/p} < \infty.$$

Мы будем рассматривать функции из S^p почти-периодические в смысле Степанова (S^p -п. п. функции) и почти-периодические функции Бора.

Справедливы следующие теоремы:

Теорема 1. Пусть f —такая S^1 -п. п. функция, что функция $|f| \lg^+ |f| \lg^+ \lg^+ |f|$ интегрируема на каждом конечном интервале и ее ряд Фурье имеет вид

$$\sum_k c_{\lambda_k}(f) \exp \{i\lambda_k x\}, \quad (1)$$

где $(\lambda_k)_{k \in \mathbb{Z}}$ —бесконечная в обе стороны последовательность, удовлетворяющая условиям

$$\lambda_0 = 0, \lambda_{k+1} > \lambda_k (k \in \mathbb{Z}) \text{ и } \lim_{|k| \rightarrow +\infty} |\lambda_k| = +\infty. \quad (2)$$

Тогда

$$\lim_{|\omega| \rightarrow +\infty} \sum_{|\lambda_k| \leq \omega} c_{\lambda_k}(f) \exp \{i\lambda_k x\} = f(x) \quad (3)$$

почти всюду на R тогда и только тогда, когда

$$\lim_{|\omega| \rightarrow +\infty} \sup_{0 < h \leq 1} \left| \sum_{\omega \leq \lambda_n \leq \omega + h} c_{\lambda_n}(f) \right| = 0. \quad (4)$$

Теорема 2. Существуют такая возрастающая последовательность положительных рациональных чисел $(\lambda_k)_{k \geq 1}$, $\lambda_k \uparrow +\infty$, и такая почти-периодическая функция Бора $f \in \text{Lip}$ (1), что

$$f \sim \sum_{k \geq 1} c_{\lambda_k}(f) \exp \{i\lambda_k x\},$$

а предел

$$\lim_{\omega \rightarrow +\infty} \sum_{|\lambda_k| \leq \omega} c_{\lambda_k}(f) \exp \{i\lambda_k y\}$$

не существует ни в одной точке из R .

Для 2π -периодической функции $f \in L \cdot \lg^+ L \cdot \lg^+ \lg^+ L$ из теоремы 1 следует теорема Шелина [1], что является усилением теоремы Карлесона — Ханта ([2, 3]).

Наше доказательство теоремы 1 опирается на теорему Шелина и на теорему о равносходимости из теории общих тригонометрических интегралов ([4], с. 436). Используются также следующие утверждения.

1. Пусть f — почти-периодическая функция Бора, ряд Фурье которой имеет вид (1), а последовательность $(\lambda_k)_{k \in \mathbb{Z}}$ удовлетворяет условию (2). Тогда если для некоторого $x \in R$ существует предел

$$\lim_{\omega \rightarrow +\infty} \sum_{|\lambda_k| \leq \omega} c_{\lambda_k}(f) \exp \{i\lambda_k x\},$$

то значение этого предела равно $f(x_0)$.

2. Пусть S^p -п. п. функция f , с рядом Фурье

$$f \sim \sum c_\lambda(f) \exp \{i\lambda x\},$$

имеет множество показателей, Фурье которого $\{\lambda \in R : c_\lambda(f) \neq 0\}$ имеет пустое пересечение с некоторым интервалом $[-\alpha, \alpha]$, $\alpha > 0$.

Тогда неопределенный интеграл $F(x) = \int_0^x f(u) du$ — почти-периодическая функция Бора и

$$c_\lambda(F) = \frac{1}{i\lambda} c_\lambda(f), \quad \lambda \neq 0.$$

Это обобщение теоремы Фавара ([5], с. 89), на случай S^p -п. п. функций.

В связи с последним утверждением отметим, что справедливо также и следующее обобщение теоремы Боля и Бора (см. [5], с. 29, ср. с теоремой на с. 206 там же).

Пусть f — S^p -п. п. функция. Для того чтобы ее неопределенный интеграл $F(x) = \int_0^x f(u) du$ был п. п. функцией Бора, необходимо и достаточно, чтобы $D_{S^p}(F) < \infty$.

6. გუნია

თითქმის-პრიოდულ ფუნქციათა ფურიეს მატრიცის პრეგადობის
შესახებ

რეზიუმე

მოყვანილია კარლესონ — ჰანტის [2, 3] და შიოლინის [1] ცნობილი თეორემის შემდეგი განვითარება:

თეორემა: ვთქვათ f არის S^1 -თითქმის-პერიოდული ფუნქცია, რომლისთვისაც $|f| \lg^+ |f| \lg^+ \lg^+ |f|$ როგორც ინტეგრებადია, აქვს (1) ფურიეს მწერივი, სადაც $(\lambda_k)_{k \in \mathbb{Z}}$ მიმდევრობა აქმაყოფილებს (2) პირობებს.

მაშინ (4) პირობა აუცილებელი და საკმარისია იმისათვის, რომ (3) ტოლობას ადგილი ჰქონდეს თითქმის ყველა $x \in R = (-\infty, +\infty)$ რიცხვისათვის.

არსებობს რაციონალურ რიცხვთა $\lambda_0 = <\lambda_1 < \lambda_2 < \dots > \infty$ მიმდევრობა და ბორის თითქმის პერიოდული $f \in \text{Lip}(1)$ ფუნქცია $\sum_{k=0}^{\infty} c_{\lambda_k} \exp\{i\lambda_k x\}$ ფურიეს წერტილზე. რომელიც განშლადია ყოველ $x \in R$ წერტილზე.

MATHEMATICS

N. G. GUNIA

ON THE CONVERGENCE OF FOURIER SERIES OF ALMOST-PERIODIC FUNCTIONS

S u m m a r y

The following generalization of the well-known theorem of Carleson-Hunt [2—3] and Sjolin [1] is stated:

Theorem 1. Let f be a Stepanov S^1 -almost-periodic function, for which the function $|f| \lg^+ |f| \lg^+ \lg^+ |f|$ is locally integrable and its Fourier series is (1), where the sequence $(\lambda_k)_{k \in \mathbb{Z}}$ satisfies the conditions (2).

Then (4) is the necessary and sufficient condition for the validity of the equality (3) for almost every $x \in R = (-\infty, +\infty)$.

There exists a sequence of rational numbers $\lambda_0 = 0 < \lambda_1 < \lambda_2 < \dots > +\infty$ and a Bohr almost-periodic function $f \in \text{Lip}(1)$ with the Fourier series

$\sum_{k=0}^{\infty} c_{\lambda_k} \exp\{i\lambda_k x\}$ which is divergent for every $x \in R$



ЛІТЕРАТУРА — REFERENCES

1. P. Sjölin. Ark. mat. 9, № 1, 1971, 65-90.
2. L. Carleson. Acta Math. 116, 1966, 135-157.
3. R. A. Hunt. Proc. Conf. on Orthogonal Expansions and their Continuous Analogues. Edwardsville, Ill. 1967. Southern Ill. Univ. Press, Carbondale, Ill., 1968, 235-255.
4. Л. Зигмунд. Тригонометрические ряды, 2. М., 1965.
5. Б. М. Левитан. Почти периодические функции. М., 1953.

ТЕОРИЯ УПРУГОСТИ

Д. А. ГОРГИДЗЕ

УПРУГОЕ РАВНОВЕСИЕ ТРАНСТРОПНОГО МНОГОСЛОЙНОГО ЦИЛИНДРИЧЕСКОГО КООРДИНАТНОГО ПАРАЛЛЕЛЕПИПЕДА

(Представлено членом-корреспондентом Академии Б. В. Хведелидзе 28.1.1983)

В настоящей работе находится упругое равновесие транстропного (трансверсально-изотропного) многослойного цилиндрического координатного параллелепипеда $r_0 \leq r \leq r_1$, $0 \leq \alpha \leq \alpha_1$, $z_0 \leq z \leq z_1$ в круговой цилиндрической системе координат r , α , z ; плоскостью изотропии является $z = \text{const}$ [1]. При этом на граничных поверхностях будут выполняться следующие условия.

При $z = z_i$:

$$\delta_1 N_z + \gamma_1 w = f_{11}^Y, \quad \delta_2 \Gamma_{ra}(S_{zr}, S_{za}) + \gamma_2 \Gamma_{ra}(u, v) = f_{12}^{Y+1}, \quad \delta_2 \Gamma_{ra}^*(S_{za}, S_{zr}) + \gamma_2 \Gamma_{ra}^*(u, v) = f_{13}^{Y+1}. \quad (1)$$

При

$$\alpha = 0, \quad \alpha_1: \quad \delta_1 N_a + \gamma_1 v = 0, \quad \delta_1 w + \gamma_1 S_{az} = 0, \quad \delta_1 u + \gamma_1 S_{ar} = 0. \quad (2)$$

При

$$r = r_i: \quad \delta_1 K + \gamma_1 u = 0, \quad \delta_1 v + \gamma_1 S_{rz} = 0, \quad \delta_1 w + \gamma_1 B = 0. \quad (3)$$

В равенствах (1), (2), (3) $\delta_p \cdot \gamma_p = 0$, $\delta_p + \gamma_p = 1$, причем в (1) и (3) $i=0$ или 1 , в (1) $p=1,2$, а во (2) и (3) $p=1$. На контактных поверхностях $z=\text{const}$, между l -м и $l+1$ -м слоями выполняются следующие условия:

$$w^l - w^{l+1} = f_1^{(1)}, \quad N_z^l - N_z^{l+1} = f_2^{(0)}, \quad \Gamma_{ra}[(u^l - u^{l+1}), (v^l - v^{l+1})] = f_3^{(2)}, \quad \Gamma_{ra}^*[(v^l - v^{l+1}), (u^l - u^{l+1})] = f_4^{(2)}, \quad (4a)$$

$$\Gamma_{ra}[(S_{zr}^l - S_{zr}^{l+1}), (S_{za}^l - S_{za}^{l+1})] = f_5^{(1)}, \quad \Gamma_{ra}^*[(S_{za}^l - S_{za}^{l+1}), (S_{zr}^l - S_{zr}^{l+1})] = f_6^{(1)};$$

$$w^l - w^{l+1} = f_1^{(1)}, \quad N_z^l - N_z^{l+1} = f_2^{(0)}, \quad \Gamma_{ra}(S_{zr}^l - S_{za}^l) = f_3^{(1)}, \quad \Gamma_{ra}(S_{zr}^{l+1} - S_{za}^{l+1}) = f_4^{(1)}, \quad (4b)$$

$$\Gamma_{ra}^*(S_{za}^l, S_{zr}^l) = f_5^{(1)}, \quad \Gamma_{ra}^*(S_{za}^{l+1}, S_{zr}^{l+1}) = f_6^{(1)};$$

u , v , w — компоненты вектора смещения вдоль координатных линий; r , α , z ; N_r , N_a , N_z , и S_{ra} , S_{az} , S_{zr} — нормальные и касательные напряжения;

$$K = \frac{1}{r} \frac{\partial(ru)}{\partial r} + \frac{1}{r} \frac{\partial v}{\partial \alpha}, \quad B = \frac{1}{r} \frac{\partial(rv)}{\partial r} - \frac{1}{r} \frac{\partial u}{\partial \alpha},$$

$$\Gamma_1(\psi_1, \psi_2) = \frac{1}{r} \left[\frac{\partial(r\psi_1)}{\partial r} + \frac{\partial \psi_2}{\partial \alpha} \right],$$

$$\Gamma_2(\psi_2, \psi_1) = \frac{1}{r} \left[\frac{\partial(r\psi_2)}{\partial r} - \frac{\partial \psi_1}{\partial \alpha} \right].$$

Заданные на границе $z = z_i$ или на контактной поверхности $z = \text{const}$ S_{zr} и S_{za} (u , v) однозначно определяют на ней $\Gamma_1(S_{zr}, S_{za})$ и $\Gamma_2(S_{za}, S_{zr})$.

$[\Gamma_1(u, v)$ и $\Gamma_2(v, u)]$ и наоборот. $f_{ij}^{(k)} = f_{ij}^{(k)}(r, \alpha)$ и $f_j^{(k)} = f_j^{(k)}(r, \alpha)$ —заданные на граничных и контактных поверхностях функции, которые вместе со своими производными по k -й порядок разлагаются в равномерно и абсолютно сходящиеся ряды Фурье по произведениям функций Бесселя и тригонометрических функций.

Из работы [2] следует, что

$$w = -b_1 \frac{\partial^3 \varphi}{\partial z^3}. \quad (5.a)$$

$$u = b_2 \frac{1}{r} \frac{\partial \Phi}{\partial \alpha} - c_{11} \Delta_2 \frac{\partial \Phi}{\partial r} - b_3 \frac{\partial^3 \varphi}{\partial z^2 \partial r}, \quad (5.b)$$

$$v = -b_2 \frac{\partial \Phi}{\partial r} - c_{11} \frac{1}{r} \Delta_2 \frac{\partial \varphi}{\partial \alpha} - b_3 \frac{\partial^3 \varphi}{\partial z^2 \partial \alpha}, \quad (5.b)$$

где $\varphi(r, \alpha, z)$ и $\Phi(r, \alpha, z)$ удовлетворяют уравнениям

$$b_4 \Delta_2 \Phi + \frac{\partial^2}{\partial z^2} \Phi = 0.$$

$$b_5 \Delta_2 \Delta_2 \varphi + b_6 \Delta_2 \frac{\partial^2 \varphi}{\partial z^2} + b_7 \frac{\partial^4 \varphi}{\partial z^4} = 0.$$

Здесь

$b_1 = c_{13} + c_{44}$, $2c_{44}b_2 = c_{11} - c_{12}$, $c_{44}b_3 = c_{11}c_{33} - (c_{13} + c_{44})^2$, $2c_{44}b_4 = c_{11} - c_{12}$, $b_5 = c_{11}c_{44}$, $b_6 = c_{11}c_{33} - c_{13}^2 - 2c_{13}c_{44}$, $b_7 = c_{33}c_{44}$, c_{ij} —упругие постоянные, причем

$$c_{44} > 0, c_{11} > 0, c_{11} > c_{12}, c_{33}(c_{11} + c_{12}) > 2c_{13}^2, \Delta_2 = \frac{\partial^2}{\partial r^2} + \frac{\partial}{r \partial r} + \frac{1}{r^2} \frac{\partial^2}{\partial \alpha^2}.$$

Найдем упругое равновесие транстропного цилиндрического параллелепипеда с граничными условиями (1), (2), (3) при $\gamma_p = 0$. В этом случае

$$\begin{aligned} \Phi = & \sum_{m=0}^{\infty} \sum_{n=1}^{\infty} (A_1 e^{n\beta_5 z} + A_2 e^{-n\beta_5 z}) \left[\frac{d}{dr} N_m(n_1 r_0) J_m(n_1 r) - \right. \\ & \left. - \frac{d}{dr} J_m(n_1 r_0) N_m(n_1 r) \right] \cos(m\alpha), \\ \Psi = & \sum_{m=0}^{\infty} \sum_{n=1}^{\infty} (A_3 e^{n\beta_1 z} + A_4 e^{n\beta_2 z} + A_5 e^{n\beta_3 z} + A_6 e^{n\beta_4 z}) [N_m(n_2 r_0) J_m(n_2 r) - \\ & - J_m(n_2 r_0) N_m(n_2 r)] \sin(m\alpha). \end{aligned} \quad (6)$$

$J_m(n r)$ и $N_m(n r)$ —функции Бесселя первого и второго рода [3]; $m = \frac{\pi \bar{m}}{\alpha_1}$, $\bar{m} = 0, 1, 2, 3, \dots$; n_1 —корень номера \bar{n} ($\bar{n} = 1, 2, 3, \dots$) уравнения $\frac{d}{dr} N_m(n_1 r_0) = 0$; n_2 —корень норма \bar{n} уравнения $\frac{d}{dr} J_m(n_1 r_1) = \frac{d}{dr} J_m(n_1 r_0) \frac{d}{dr} N_m(n_1 r_1) = 0$.

$N_m(n_2 r_0) J_m(n_2 r_1) - J_m(n_2 r_0) N_m(n_2 r_1) = 0$; $\beta_5 = \sqrt{b_4}$; $\beta_1, \beta_2, \beta_3, \beta_4$ — корни уравнения $b_7\beta^4 - b_6\beta^2 + b_5 = 0$, дискриминант которого для определенности считаем больше нуля; $A_a = A_a(m, n)$ — некоторые постоянные ($a = 1, 2, 3, \dots, 6$)

Компоненты u, v, w легко определяются из (5а), (5б), (5в) с учетом (6).

Имея формулы для u, v, w составим при $z = z_i$ выражения для $N_z, \Gamma_{ra}(S_{zz}, S_{za}), \Gamma_{ra}^*(S_{za}, S_{zz})$ и приравням их к функциям $f_{11}(r, \alpha), f_{12}^{(1)}(r, \alpha), f_{13}^{(1)}(r, \alpha)$, разложенным с учетом (2), (3) при $\gamma_p = 0$, в ряд Фурье. В результате относительно постоянных $A_a(m, n)$ получим бесконечную систему линейных алгебраических уравнений с квазидиагональной матрицей Λ с диагональными блоками Λ_s шестого порядка ($s = 1, 2, 3, \dots$). Непосредственной проверкой убеждаемся, что $\det \Lambda_s \neq 0$ ($\det \Lambda_s \neq 0$ при $s \rightarrow \infty$).

После определения постоянных A_a становится ясно, что ряды для u, v, w сходятся экспоненциально.

Перейдем теперь к L-слойному цилиндрическому параллелепипеду. Упругое равновесие такого тела, например, с граничными условиями (1), (2), (3), при $\gamma_p = 0$ и с контактными условиями (4а) выражается формулами для u, v, w , полученными в первом пункте с той лишь разницей, что u, v, w, A_a заменяются на u^l, v^l, w^l и A_a^l , где $l = 1, 2, \dots, L$.

Постоянные $A_a^l = A_a^l(m, n, l)$ определяются опять же из бесконечной системы с квазидиагональной матрицей, состоящей из диагональных блоков $\widetilde{\Lambda}_s$ $6L$ -порядка ($\det \widetilde{\Lambda}_s \neq 0$). Совершенно аналогично находится упругое равновесие многослойного цилиндрического параллелепипеда с граничными условиями (1), (2), (3) и контактными условиями (4).

Рассмотренный метод решения гранично-контактных задач для многослойного цилиндрического параллелепипеда можно распространить на решения задач об упругом равновесии многослойного транстропного цилиндра, многослойного транстропного цилиндрического сектора, многослойного бесконечного транстропного слоя и т. д.

Тбилисский государственный университет

Институт прикладной математики

им. И. Н. Векуа

(Поступило 11.2.1983)

დრეკალების თაორია

დ. გორგიძე

ტრანსტროპული მრავალფენიანი ცილინდრული კოორდინატული
პარალელური კონტაქტი უმცირესი უმცირესი უმცირესი

რეზიუმე

ნაშრომში ტრანსტროპული მრავალფენიანი ცილინდრული კოორდინატული პარალელური კონტაქტი სასაზღვრო და სასაზღვრო-საკონტაქტო ამოცანა.

D. A. GORGIDZE

ON THE ELASTIC EQUILIBRIUM OF A TRANSTROPIC MULTILAYER CYLINDRICAL COORDINATE PARALLELEPIPED

Summary

Some boundary and boundary-contact problems are solved for the trans-tropic multilayer cylindrical coordinate parallelepiped.

©06062006 — ЛИТЕРАТУРА — REFERENCES

1. С. Г. Лехницкий. Теория упругости анизотропных тел. М., 1977.
2. Н. Г. Хомасуридзе, Д. А. Горгидзе. Труды ГПИ, Математика, № 3 (260), 1983.
3. Г. Бейтмен, А. Эрдейи. Высшие трансцендентные функции, т. 2. М., 1965.



КИБЕРНЕТИКА

Д. И. БАШАЛЕИШВИЛИ

ОБ ОДНОМ ПРИМЕНЕНИИ МАТЕМАТИЧЕСКОЙ МОДЕЛИ УКРУПНЯЮЩЕЙ СИСТЕМЫ

(Представлено академиком В. В. Чавчанидзе 24.6.1982)

Технологическая схема агломерационных фабрик обычно содержит барабан-окомкователь. В нем подвергается окомкованию исходная шихта. Укрупнение частиц (комочеков) шихты происходит увлажнением и созданием специальных условий (вращение барабана, бугристая поверхность стенки и др.). Установлено, что оптимальные условия протекания процесса спекания в основном связаны с гранулометрическим составом шихты, поступающей на вход агломашины [1].

Барабан-окомкователь можно представить укрупняющей системой, математическая модель которой в статике имеет вид [2]

$$\varphi(x) = \int_0^x K(x-y, y) f(y) dy, \quad x > 0, \quad (1)$$

где $f(y)$ и $\varphi(x)$ — плотности распределения массы по размерам частиц входного и выходного потоков соответственно, а $K(x-y, y)$ — характеристика неоднородной укрупняющей системы. В случае однородной укрупняющей системы $K(x-y, y) = K(x-y)$.

В общем случае функция $K(x-y, y)$ зависит от параметров расхода воды Q_b в окомкователе, степени заполнения и скорости вращения барабана, времени протекания процесса окомкования, а также физико-химических свойств исходной шихты.

Для однородной и неоднородной укрупняющих систем алгебраические модели, которые получаются из выражения (1), имеют вид соответственно [3]

$$\gamma_n = \beta_n + \sum_{m=0}^{n-1} C_n^m \alpha_{n-m} \beta_m, \quad n = 1, 2, \dots, \quad (2)$$

$$\tau_n = \beta_n + \sum_{m=0}^{n-1} C_n^m \int_0^\infty y^m \alpha_{n-m}(y) f(y) dy, \quad n = 1, 2, \dots, \quad (3)$$

где

$$\begin{aligned} \beta_n &= \int_0^\infty x^n f(x) dx, \quad \gamma_n = \int_0^\infty x^n \varphi(x) dx, \quad \alpha_n = \int_0^\infty x^n K(x) dx, \\ \alpha_n(y) &= \int_0^\infty x^n K(x, y) dx. \end{aligned}$$

Из выражений (2) и (3) при $n=1$ имеем соответственно

$$\gamma_1 = \beta_1 + \alpha_1, \quad (4)$$

$$\gamma_1 = \beta_1 + \int_0^{\infty} \alpha_1(y) f(y) dy, \quad (5)$$

где α_1 и интеграл — приращения среднего размера, получаемые действием однородной и неоднородной укрупняющих систем соответственно на распределение (со средним размером β_1) частиц входного потока. Как видно из выражений (4) и (5), в первом случае среднее приращение не зависит, а во втором случае зависит от гранулометрического состава $f(y)$ исходной шихты. Указанные приращения зависят также от перечисленных выше параметров c , т. е. $\gamma_1 - \beta_1 = \Psi_1(c)$, так как они определяются через $K(x)$ или $K(x-y, y)$. Из компонентов вектора с следует выделить влажность шихты Q_b/Q_w , так как расход воды Q_b обычно используется в виде управляющего воздействия при создании систем автоматического управления, где Q_w — расход исходной шихты и $Q_b < Q_w$ [4].

Из физических соображений и эмпирических данных видно, что средний размер растет с увеличением влажности при изменении ее до определенного значения. Следовательно, в случае однородной укрупняющей системы (случай выражения (4)) приращение среднего размера можно представить следующим полиномом:

$$\gamma_1 - \beta_1 = d_0 + d_1 \frac{Q_b}{Q_w} + d_2 \left(\frac{Q_b}{Q_w} \right)^2, \quad (6)$$

где $d_0 = d\varphi_0$, φ_0 — влажность исходной шихты; d — коэффициент пропорциональности. В силу сказанного выше коэффициенты d_1 и d_2 не зависят от гранулометрического состава входной шихты. Возможен случай $d_2 = 0$ и случай полинома более высокой степени, чем 2. Выбор полинома в виде аппроксимирующей функции обусловлен физическими соображениями и его линейностью относительно коэффициентов, так как в данном случае существуют хорошо разработанные методы определения коэффициентов.

Интеграл в выражении (5) (случай неоднородной укрупняющей системы), т. е. приращение среднего размера, очевидно, зависит от влажности. Функция $f(y)$ не зависит от расхода воды в окомкователе. Следовательно, от влажности Q_b/Q_w зависит подынтегральная функция $\alpha_1(y)$. Таким образом, имеем $\alpha_1(y) = \alpha_1^*(Q_b/Q_w, y)$.

При подаче на вход потока одинаковых частиц с размером y средний размер частиц на выходе окомкователя $\alpha_1^*(y, Q_b/Q_w)$ растет не только с увеличением влажности, но и с увеличением y . Следовательно, возможно представить функцию $\alpha_1(y)$ полиномом

$$\alpha_1^*(Q_b/Q_w, y) = b_0 + b_1 \frac{Q_b}{Q_w} + b_2 y + b_{11} \left(\frac{Q_b}{Q_w} \right)^2 + b_{12} y \frac{Q_b}{Q_w} + b_{22} y^2. \quad (7)$$

Если мы задаемся целью, чтобы коэффициент b_1 не зависел от размера исходных частиц y , то функция $\alpha_1(y)$ не может быть представлена полиномом первой степени. Действительно, допустим про-

тивное — справедливо представление $\alpha_1(y) = b_0 + b_1 \frac{Q_b}{Q_w} + b_2 y$. Тогда при $\frac{Q_b}{Q_w} = 0$ функция $\alpha_1(y)$ должна равняться b_0 , если исходная шихта содержит влагу, или должна равняться нулю, если ее не содержит ($b_0 = 0$).



Отсюда следует, что $b_2 = 0$. По условию b_1 не зависит от y и, следовательно, $\alpha_1(y)$ не зависит от y , чего не может быть для неоднородной системы.

Если поставить выражение (7) в (5), то получим

$$\gamma_1 - \beta_1 = b_0 + b_1 \frac{Q_b}{Q_{ш}} + b_2 \beta_1 + b_{11} \left(\frac{Q_b}{Q_{ш}} \right)^2 + b_{11} \beta_1 \frac{Q_b}{Q_{ш}} + b_{22} \beta_2. \quad (8)$$

Так как без влажности не может быть приращения среднего размера, то в выражении (8) $b_0 = b_2 = b_{22} = 0$ (предполагается, что исходная шихта не содержит влаги, в противном случае $b_0 = b_{22} \neq 0$), и окончательно получим

$$\gamma_1 = \beta_1 + (b_1 + \beta_1 b_{12}) \frac{Q_b}{Q_{ш}} + b_{11} \left(\frac{Q_b}{Q_{ш}} \right)^2. \quad (9)$$

Таким образом, в случае неоднородной укрупняющей системы среднее приращение $\gamma_1 - \beta_1$ зависит не только от влажности, но и от грансостава (среднего размера β_1) исходной шихты (в случае полинома третьей степени коэффициент при $Q_b/Q_{ш}$ имеет вид $b_1 + \beta_1 b_{12} + \beta_2 b_{122}$).

Следует отметить, что в выражении (9) коэффициенты b_1 , b_{11} и b_{12} не зависят от грансостава исходной шихты, а зависят от других свойств шихты, характеризующих ее способность к окомкованию. Очевидно, что реальные окомкователи представляются неоднородными, а не однородными укрупняющими системами, и, следовательно, алгебраическая модель (9) предпочтительнее, чем (6).

Аналогичным образом можно включить в выражение $a_1(y)$, кроме влажности, и другие главные контролируемые или управляющие факторы (если они существуют), что, естественно, приведет к сложному виду выражения (9), и, следовательно, к усложнению решаемых с помощью него задач. Не исключено, что в некоторых случаях такое обобщение приведет к значительному улучшению процесса.

После получения модели (9) перейдем к задачам идентификации и управления.

Задача идентификации (определение оценки функции Ψ_1) окомкователя может быть решена заданием оценочной функции (полинома (9)) с точностью до вектора неизвестных коэффициентов и заключается в определении этих коэффициентов (точнее их оценок) по экспериментальным данным «входа» и «выхода». Эти оценки могут быть получены методом наименьших квадратов или другими методами [3, 5—8] с помощью данных, полученных на действующей установке.

Выражение (9) может быть использовано для определения управляющего воздействия Q_b . Действительно, при $b_{11}=0$ и при заданном (желаемом) $\gamma_1 = \gamma_1^3$ имеем

$$Q_b = \frac{\gamma_1^3 - \beta_1}{b_1 + \beta_1 b_{12}} Q_{ш}. \quad (10)$$

При $b_{11} \neq 0$ и $\gamma_1 = \gamma_1^3$ решение уравнения (9) дает два корня

$$Q_{b1,2} = \frac{-(b_1 + \beta_1 b_{12}) \pm \sqrt{(b_1 + \beta_1 b_{12})^2 + 4b_{11}(\gamma_1^3 - \beta_1)}}{2b_{11}} Q_{ш}. \quad (11)$$

Алгоритм управления совпадает с первым корнем. Действительно, когда нет приращения, т. е. $\gamma_1 - \beta_1 = 0$, тогда Q_b должна равняться нулю, а последнее возможно только в том случае, когда перед квадратным корнем имеется знак плюс.

В общем случае решение уравнения $\gamma_1^3 - \beta_1 = \Psi_1(Q_b/Q_{ш})$, а именно, $Q_b = \Psi^{-1}(\gamma_1^3 - \beta_1) Q_{ш}$,

будет алгоритмом управления расходом воды.

Данная работа обусловлена появлением на аглофабриках датчика, определяющего средний размер частиц шихты [9, 10]. Внедрение системы автоматического регулирования, построенной на базе указанного датчика, позволило значительно увеличить производительность агломашин и улучшить качество агломерата [11].

Указанные выше методы идентификации и алгоритмы управления (10), (11) и (12) могут быть применены при создании АСУ ТП с ЭВМ, выполняющей функции непосредственного цифрового управления [12], при создании новых или при усовершенствовании действующих систем автоматического регулирования.

Тбилисский государственный университет

(Поступило 25.6.1982)

გიგინეტიკა

დ. გაულიერვალი

გამამსხვილებელი სისტემის მათემატიკური მოდელის ერთი
გამოყენების შესახებ

რეზიუმე

ავტომატიკური გამამსხვილებელი სისტემის ალგებრული მოდელები. მათ საფუძველზე და მართვის ზემოქმედების — დამგუნდავებელში წყლის ხარჯის — გათვალისწინებით მიღებულია მათემატიკური მოდელები, რომლებიც ამყარებენ კავშირს შესავალსა და გამოსავალზე გრანულეტრიულ შედგენილობებსა და კაზმის სინესტეს შორის. მოცემულია მართვის ალგორითმები.

CYBERNETICS

D. I. BASHALEISHVILI

ON ONE APPLICATION OF A MATHEMATICAL MODEL OF A COARSENING SYSTEM

Summary

Algebraic models of a coarsening system have been built. On the basis or the proposed models and with account of the control action, i. e. the consumption of water in the pelletizer, mathematical models have been derived establishing the relationship between the input and output granulometric compositions and the moisture content of the burden. The resulting mathematical models permit to determine the control action at the prescribed value of the average particle size of the output burden.

ლიტერატურა — REFERENCES

1. J. Ропе в а е. "Hutnik", ГССР, 1971, v. 4.
2. Д. И. Башалейшвили. Сообщения АН ГССР, 78, № 3, 1975.
3. Д. И. Башалейшвили. Труды ТГУ, 212, Кибернетика, Прикладная математика, 2. 1980.
4. А. Д. Ищенко. Статические и динамические свойства агломерационного процесса. М., 1972.
5. Дж. Себер. Линейный регрессионный анализ. М., 1980.
6. Сб. «Основы управления технологическими процессами», Под редакцией Н. С. Райбмана. М., 1978.
7. И. И. Перельман. Оперативная идентификация объектов управления. М., 1982.
8. В. В. Налимов, Н. А. Чернова. Статистические методы планирования экспериментов. М., 1965.
9. А. В. Дримбо и др. Автоматизация металлургического производства, № 8, 1979.
10. А. В. Дримбо и др. Бюллетень НТИ ЧМ, № 11, 1978.
11. К. И. Котов, М. А. Шершевср. Промышленные системы автоматизации металлургических агрегатов. М., 1980.
12. С. П. Стефани. Основы построения АСУ ТП. М., 1982.

Д. Г. МЕТРЕВЕЛИ

О СУЩЕСТВОВАНИИ НЕДОМИНИРУЕМЫХ ОЦЕНОК В МНОГОКРИТЕРИАЛЬНЫХ ЗАДАЧАХ ОПТИМИЗАЦИИ

(Представлено членом-корреспондентом Академии В. К. Чичинадзе 25.6.1982)

К настоящему времени довольно широкую известность получили исследования бинарных отношений, задаваемых выпуклым конусом $\Lambda \subset R^n$, [1—7], причем подавляющее большинство их посвящено выведению необходимых и достаточных условий недоминируемости (Λ -экстремальности) векторной оценки [1—7].

При создании теории многокритериальной оптимизации относительно конуса весьма важной является проблема существования Λ -экстремальных точек. Предлагаемая работа посвящена именно этому вопросу.

Однако прежде приведем соответствующие определения и результаты, необходимые для дальнейшего изложения.

Подмножество $\Lambda \subset R^n$ называется конусом, если оно замкнуто относительно умножения на неотрицательные числа, если кроме того Λ — выпуклое множество, то Λ — выпуклый конус. Выпуклый конус Λ называется острым, если $\Lambda \cap (-\Lambda) = \{0\}$. Конус Λ будем называть открытым, если множество $\Lambda \setminus \{0\}$ открыто.

Следующие необходимые и достаточные условия Λ -экстремальности являются аналогом условий, приведенных в работе [1] для многоугольных конусов.

Теорема. Пусть Λ и Λ^ — соответственно выпуклый и двойственный ему конусы, причем $\text{Int } \Lambda^* \neq \emptyset$. Для Λ -экстремальности z^0 необходимо и достаточно существование такого вектора $a \in R^n$, что z^0 есть решение задачи*

$$\max_{z \in a - \Lambda, z \in Z} (d^*, z),$$

где

$$d^* \in \text{Int } \Lambda^*.$$

На основе этих условий можно построить алгоритм отыскания различных Λ -экстремальных точек, в частности и оптимальных по Парето (в последнем случае в качестве конуса, относительно которого определяются Λ -экстремальные точки, берется соответствующий ортант из R^n).

Обратимся теперь к вопросу существования Λ -экстремальных точек. Ниже будут приведены условия существования Λ -экстремальных точек для следующих трех классов конусов:



- для острого конуса,
- для выпуклого конуса с непустой внутренностью соответствующего двойственного конуса,
- для открытого острого конуса.

Отметим, что выпуклый конус с непустой внутренностью соответствующего двойственного конуса является в то же время и острым конусом. Поэтому класс острых конусов включает в себя класс выпуклых конусов с непустой внутренностью соответствующего двойственного конуса. Далее очевидно, что класс открытых, острых конусов содержится в классе острых конусов, однако подобные включения для класса выпуклых конусов с непустой внутренностью соответствующего двойственного конуса и для класса открытых острых конусов не верны.

Определение. Множество Z называется слабо Λ -компактным (в отличие от определения Λ -компактности, приводимом в работе [7]), если существует точка $\alpha \in R^n$ такая, что множество $(\alpha - \Lambda) \cap Z$ -компактно.

Утверждение 1. Для существования Λ -экстремальной точки необходимо, чтобы множество Z было слабо Λ -компактным.

Утверждение 2. Пусть Λ — острый конус. Для существования Λ -экстремальной точки достаточно, чтобы множество Z было слабо Λ -компактным.

Согласно утверждениям 1 и 2, справедливы следующие условия существования Λ -экстремальных точек.

Утверждение 3. Пусть Λ — острый конус. Для существования Λ -экстремальной точки необходимо и достаточно, чтобы множество Z было слабо Λ -компактным.

Следует заметить, что приведенная выше теорема о необходимых и достаточных условиях Λ -экстремальности векторной оценки позволяет непосредственно получить те же достаточные условия существования Λ -экстремальной оценки для выпуклого конуса с непустой внутренностью соответствующего двойственного конуса.

Утверждение 4. Пусть Λ и Λ^* — соответственно выпуклый и двойственный ему конусы и $\text{Int } \Lambda^* \neq \emptyset$. Для существования Λ -экстремальной точки достаточно, чтобы множество Z было слабо Λ -компактным.

Для случая, когда конус Λ -открытый, условие слабой Λ -компактности можно заменить более слабым.

Утверждение 5. Λ — открытый острый конус в R^n . Для существования Λ -экстремальной точки достаточно выполнения условия

$$\partial(Z + \Lambda) \neq \emptyset. \quad (I)$$

Необходимые условия справедливы для острых конусов и задаются в следующем виде.

Утверждение 6. Пусть Λ — открытый острый конус в R^n . Для существования Λ -экстремальной точки необходимо выполнение условия (1).

В силу утверждений 5, 6 справедливы следующие условия существования Λ -экстремальных точек для открытых конусов.

Утверждение 7. Пусть Λ — открытый острый конус в R^n .

Для существования Л-экстремальной точки необходимо и достаточно выполнение условия (1).

Академия наук Грузинской ССР
Вычислительный центр
им. Н. И. Мусхелишвили

(Поступило 25.6.1982)

პიგვერნიტიკა

ქ. მთხოველი

მრავალკრიტერიუმიანი ოპტიმიზაციის აპლიკაციები
არადომინირებაზე უფასასი გადასამართვის არსებობისათვის

რეზიუმე

მრავალკრიტერიუმიანი ოპტიმიზაციის თეორიის შექმნისას დიდი მნიშვნელობა აქვს არადომინირებაზე უფასასებების არსებობის პრობლემას. სამუშაოში განხილულია ეს პრობლემა ორი კლასის კონუსებისათვის — ბასრი და ბასრი ღია კონუსებისათვის.

ორივე შემთხვევაში დამტკიცებულია არსებობის აუცილებელი და საქმისი პირობები.

CYBERNETICS

J. G. METREVELI

ON THE EXISTENCE OF NONDOMINATED POINTS IN MULTICRITERIA OPTIMIZATION PROBLEMS

S u m m a r y

To build a theory of existence of nondominated points is an important problem in multicriteria optimization with cone ordering. In this paper the problem of existence of nondominated points is considered for two classes of cones: acute, and open acute. In both cases the necessary and sufficient conditions for the existence of nondominated points are proved.

ლიტერატურა — REFERENCES

1. Д. Г. Метревели. Сообщения АН ГССР, 84, № 3, 1976.
2. Д. Г. Метревели. Сообщения АН ГССР, 83, № 3, 1976.
3. И. М. Макаров, Т. М. Виноградская. ДАН СССР, 245, № 2, 1979.
4. Д. Т. Дочев, Д. И. Петров. ВТУ им. Анг. Кынчева, научные труды, т. 23, сер. 9, 1981, 122—129.
5. И. Г. Иванов, ВТУ им. Анг. Кынчева, научные труды, т. 23, сер. 9, 1981, 142—155.
6. P. L. Yu. Jota, vol. 14, № 3, 1974, 319-377.
7. R. Hartley. J. SIAM Applied Mathematics, vol. 34, № 1, 1978, p. 211-222.

А. П. КАШИН, М. З. МАКСИМОВ, З. Е. ЧИКОВАНИ

ОБ ОДНОМ МЕТОДЕ СРАЩИВАНИЯ АСИМПТОТИЧЕСКИХ РАЗЛОЖЕНИЙ В ФИЗИКЕ

(Представлено членом-корреспондентом Академии Р. Г. Салуквадзе 22.1.1982)

В последние десятилетия в различных областях прикладной математики и теоретической физики разрабатываются так называемые нелинейные преобразования и методы сращивания асимптотических разложений [1]. Примером нелинейных преобразований являются аппроксиманты Паде (АП), которые, как правило, содержат в себе точные асимптотики аппроксимируемой функции либо в нуле, либо на бесконечности. Во многих же случаях желательно сохранить обе эти асимптотики. В связи с этим представляет интерес осуществить количественные оценки функции $F(z)$ по ее асимптотическому поведению при $z \rightarrow 0$ и $z \rightarrow \infty$. Обычно эти асимптотики находятся сравнительно легко и если

$$F(z)_{z \rightarrow 0} \rightarrow F_0(z) = F_0^{(0)}(z) [1 + \delta_0^{(1)}(z) + \dots]; \quad (1)$$

$$F(z)_{z \rightarrow \infty} \rightarrow F_\infty(z) = F_\infty^{(0)}(z) [1 + \delta_\infty^{(1)}(z) + \dots], \quad (2)$$

то по аналогии с АП при $z \rightarrow 0$ $F(z)$ можно представить в виде

$$F(z) \approx F_0(z) \frac{1}{1 + \eta(z)}, \quad (3)$$

$$\eta(z)_{z \rightarrow 0} \sim z^\nu \rightarrow 0 \quad (\nu > 0). \quad (4)$$

При этом, чтобы получить асимптотику (2), необходимо положить

$$\eta(z) = F_0(z)/F_\infty(z)_{z \rightarrow \infty} \rightarrow \infty. \quad (5)$$

Подставляя (5) в (3), получаем формулу для оценки функции во всей области ее определения

$$F_{\text{cp}}(z) = \frac{F_0(z) F_\infty(z)}{F_0(z) + F_\infty(z)} \quad (\nu > 0). \quad (6)$$

Этот метод назовем приведенным методом сращивания асимптотических разложений (ПМС).

Если в формуле (4) $\nu < 0$, то следует сращивать функцию $1/F(z)$. Тогда имеем

$$F_{\text{cp}}(z) = F_0(z) + F_\infty(z) \quad (\nu < 0). \quad (7)$$

Если условия (4) и (5) не выполняются, то с помощью соответствующих преобразований и регуляризации исходной функции можно добиться их выполнения.



Для аппроксимации функций заданных на конечном промежутке $z \in [a; b]$ ПМС легко модифицировать введением следующего дробно-линейного преобразования:

$$y = (z - a)/(b - z), \quad (8)$$

так что $F(z) \rightarrow G(y)$. Затем, находя асимптотики

$$G(y)_{y \rightarrow 0} \rightarrow G_0(y); \quad G(y)_{y \rightarrow \infty} \rightarrow G_\infty(y), \quad (9)$$

определяем искомую функцию по формуле (6).

При анализе ПМС и оценках его точности удобно ввести следующие функции:

$$\Pi_F(z) = F(z)/F_{cp}(z), \quad (10)$$

$$\Delta_F(z) = \frac{1}{F(z)} - \frac{1}{F_{cp}(z)}. \quad (11)$$

Здесь $\Delta_F(z)$ характеризует меру отклонения сращенной функции от точного значения. Из (11) находим

$$F(z) = \frac{F_{cp}(z)}{1 + \Delta_F(z) F_{cp}(z)}; \quad (\Delta_F(z)_{z \rightarrow 0} \rightarrow 0, \Delta_F(z)_{z \rightarrow \infty} \rightarrow 0). \quad (12)$$

Из этих формул видно, что для построения последующих приближений достаточно к $\Delta_F(z)$ применить тот же ПМС с учетом следующих членов разложения $F(z)$ в (1) и (2).

Для иллюстрации эффективности предлагаемого метода рассмотрим некоторые примеры из теоретической физики.

1. Известно, что выражение для запаздывающей энергии межмолекулярного взаимодействия имеет довольно громоздкий вид [2] и лишь в предельных случаях получаются простые соотношения. В частности, для электрического диполь-дипольного взаимодействия атомов A и B имеем

$$U_{ret}(R)_{R \rightarrow 0} \equiv U_0(R) \approx -\frac{3}{2} I \alpha_d^A \alpha_d^B \frac{1}{R^6}, \quad (13)$$

$$U_{ret}(R)_{R \rightarrow \infty} \equiv U_\infty(R) \approx -\frac{23}{4\pi} \alpha_d^A \alpha_d^B \frac{1}{R^7}. \quad (14)$$

Используя здесь ПМС в нулевом приближении, находим

$$U_{ret}^{(0)}(R) \approx -\frac{3}{2} I \alpha_d^A \alpha_d^B \frac{1}{R^6 (1 + \bar{k}R)}, \quad (15)$$

где $\bar{k} = 6\pi I/23$; $I = \bar{k}_{n0} \bar{k}_{m0}/(\bar{k}_{n0} + \bar{k}_{m0})$ —приведенный потенциал возбуждения; α —электрическая поляризуемость атомов.

Применяя далее ПМС к функции $\Delta_u(R)$ получаем следующее приближение для энергии межмолекулярного взаимодействия:

$$U_{ret}^{(1)}(R) \approx -\frac{3}{2} I \alpha_d^A \alpha_d^B \frac{1 + \bar{k}R}{R^6 [1 + \bar{k}R + (\bar{k}R)^2]}. \quad (16)$$



При этом наибольшая погрешность аппроксимации в нулевом и первом приближении составляет соответственно 30 и 3,2%.

2. При изучении состояния вещества (второй вироильный коэффициент), уширения спектральных линий, взаимодействия излучения с веществом и т. д. встречаются интегралы вида

$$B_2 = \int d\vec{R} \{1 - \exp[-aU(R)]\}; \quad (17)$$

$$U(R)_{R \rightarrow 0} \rightarrow \infty, \quad U(R)_{R \rightarrow \infty} \rightarrow 0.$$

где $U(R)$ — потенциал взаимодействия.

Вычисление B_2 сопряжено с большими трудностями. Однако применение ПМС к подынтегральной функции значительно облегчает эту процедуру и для потенциалов типа $U(R) = cR^{-\gamma}$ ($\gamma > 3$) в частности находим

$$B_2 = \frac{4\pi}{3} (ac)^{3/\gamma} \cdot \Gamma(1 - 3/\gamma), \quad (\text{точное}) \quad (18)$$

$$B_2^{(0)} \approx \frac{4\pi}{3} (ac)^{3/\gamma} \cdot \frac{3\pi}{\gamma} \frac{1}{\sin(3\pi/\gamma)}, \quad (19)$$

$$B_2^{(1)} \approx \frac{4\pi}{3} (ac)^{3/\gamma} \sqrt{\pi} 2^{1/2-3/2\gamma} \frac{\sin[(1+3/\gamma)\pi/4]}{\sin(3\pi/\gamma)}. \quad (20)$$

Откуда нетрудно убедиться, что наибольшая погрешность аппроксимации составляет в нулевом приближении 13%, а в первом — 3% и с ростом γ (реальные потенциалы) уменьшается.

3. Обратимся теперь к физике высоких энергий. К настоящему времени предложен ряд моделей для описания взаимодействия адронов. Однако одни из них хорошо работают в области малых переданных импульсов, другие — в области больших, т. е. отсутствует непрерывная связь между этими областями [3]. ПМС позволяет приблизенно получить такие связи. В самом деле, учитывая, что реджёвские подходы и эксперимент в области малых переданных импульсов ($t=0$) для дифференциального сечения рассеяния дают

$$\frac{d\sigma_{el}}{dt_{s \rightarrow \infty, t \rightarrow 0}} \approx c_1 (gs)^{-2[1-\alpha(t)]}, \quad (21)$$

а в области больших импульсов кварк-партонные модели и квантовая хромодинамика предсказывают его степенное убывание [4]

$$\frac{d\sigma_{el}}{dt_{s, t \rightarrow \infty; t/s = \text{const}}} \approx c_2 s^{-N} (t/s)^{-M}, \quad (22)$$

на основе ПМС во всей области переданных импульсов имеем формулу

$$\frac{d\sigma_{el}}{dt_{s \rightarrow \infty, t \in [0; -s/2]}} \approx c_1 (gs)^{-2[1-\alpha(t)]} + c_2 s^{-N} (t/s)^{-M}. \quad (23)$$

Здесь c_1, c_2, g, M, N — известные константы; $\alpha(t)$ — траектория Редже, s, t — мандельстамовские переменные.



Отметим, что этот результат более последовательно соответствует из-
дуальной аналогичной модели с логарифмической траекторией Ред-
же [5].

(Поступило 25.6.1982)

©0%000

ა. კაშინი, მ. მაქსიმოვი, ზ. ჩიკოვანი

ასიმპტოტური დაულების შეკვერვის ერთ-ერთი მეთოდის შესახებ
ვიზიტაში

რეზიუმე

წარმოდგენილია ასიმპტოტური დაულების შეკვერვის მარტივი მეთოდი. ნა-
ჩვენებია მისი ეფექტურობა, ზოგიერთი ფიზიკური ამოცანის ამოხსნისას.

PHYSICS

A. P. KASHIN, M. Z. MAKSIMOV, Z. E. CHIKOVANI

ON ONE METHOD OF MATCHED ASYMPTOTIC EXPANSIONS IN PHYSICS

S u m m a r y

A simple method of matched asymptotic expansions is proposed. The efficiency of this method in solving a number of physical problems is shown.

ЛІТЕРАТУРА — REFERENCES

1. D. J. Shanks. Math. Phys., 1955, 34, 1-42; Л. А. Апресян. Изв. Вузов, Радио-физика, 1979, 22, 653—674.
2. H. B. G. Casimir. D. Polder. Phys. Rev., 1948, 73, 360-372; C. Mavroyanis, M. J. Stephen. Molecular Phys., 1962, 5, 629-638.
3. Н. П. Зотов, С. В. Русаков, В. А. Царев. ЭЧАЯ, 1980, II, 1160—1221.
4. V. A. Matveev, R. M. Mughadse, A. N. Tavkhelidze. Lett. Nuovo Ci-
mento, 1973, 7, 719-727.
5. A. J. Bugrij, Z. E. Chikovani, L. L. Jenkovszky, M. Z. Maksimov. Preprint, ITP-79-56E, 1979; Z. Physik C., Particles and Fields, 1980, 4, 45-52.

ФИЗИКА

Л. П. БЫЧКОВА, О. И. ДАВАРАШВИЛИ, С. Г. КОННИКОВ,
М. И. САГИНУРИ, Р. И. ЧИКОВАНИ, А. П. ШТОВ

ГЕТЕРОЛАЗЕРЫ С ДВУХСТОРОННИМ ОГРАНИЧЕНИЕМ
НА ОСНОВЕ ТВЕРДЫХ РАСТВОРОВ $Pb_{1-x}Sn_xSe$

(Представлено членом-корреспондентом Академии Т. И. Санадзе 24.6.1982)

Инжекционные лазеры на основе твердых растворов соединений $A^{IV}B^{VI}$ обладают относительно узкой линией излучения и широким интервалом перестройки частоты генерации, что позволяет получать спектры поглощения с разрешением $\leq 10^{-3}$ см⁻¹ — до двух порядков превосходящим разрешение традиционных спектрометров в диапазоне 3—30 мкм. Такие лазерные спектрометры находят применение при исследовании загрязнения атмосферы, обнаружении малых количеств веществ, контроле технологических процессов, в молекулярной спектроскопии [1]. Особый интерес представляет также возможность реализации гетеродинного приема излучения в ИК-области спектра. Эта задача может быть решена при достижении непрерывного режима работы лазера.

В настоящей работе приводятся данные по созданию инжекционных гетеролазеров с двухсторонним ограничением на основе твердых растворов $Pb_{1-x}Sn_xSe$ и исследованию их свойств.

Были созданы два типа структур для ДГС лазеров.

I тип: $n\text{-PbSe}-n\text{Pb}_{1-x}\text{Sn}_x\text{Se}-p\text{PbSe}$. На подложках $PbSe$ ($n = 2 \div 4 \times 10^{18}$ см⁻³) методом ЖЭ наращивался слой $n\text{-Pb}_{1-x}\text{Sn}_x\text{Se}$ ($x = 0,01 \div 0,07$) [2, 3] толщиной 1,4—5 мкм, а затем методом молекулярной эпитаксии наносился ограничивающий слой $p\text{-PbSe}$ (Tl) ($p = 2 \div 8 \times 10^{18}$ см⁻³) толщиной $3 \div 4$ мкм. Условия нанесения ограничивающего слоя: $T_n = 350^\circ\text{C}$, $T_{ист} = 540^\circ\text{C}$, скорость роста 3 мкм/час.

Р-слой создавался также путем отжига с шихтой с избытком халькогена при $T = 380 \div 430^\circ\text{C}$ и временем отжига 10—15 мин.

Однако в процессе диффузии $p\text{-}n$ переход получался размытым с высокой плотностью дислокаций, что приводит к относительно высокому уровню пороговых токов и разбросу их значений по пластине.

II тип: $p\text{-PbSe}-n\text{Pb}_{1-x}\text{Sn}_x\text{Se}-n\text{PbSe}$. На подложках $p\text{PbSe}$ (Tl) ($p = 4 \div 10 \times 10^{18}$ см⁻³), полученных направленной кристаллизацией из пара, методом жидкофазовой эпитаксии наносились узкозонный активный слой $n\text{-Pb}_{1-x}\text{Sn}_x\text{Se}$ и ограничивающий $n\text{PbSe}$ слой. Толщины активного и ограничивающего слоев были такими же, как и в структуре I типа.

Жидкофазовая эпитаксия активной области проводилась при $T < 600^\circ\text{C}$ при интервалах охлаждения 15—30°C и скоростях охлаждения 0,1—0,25 град/мин из слабо пересыщенных растворов-расплавов. При таких условиях гетерограница была резкой, и, как показали изме-

рения методом, ЛРСА, существенно лучше, чем при $T_g = 760^\circ\text{C}$, когда размытие гетерограницы из-за диффузии олова достигало 15 мкм (рис. 1). Для измерения толщины тонких слоев наряду с ЛРСА был использован рентгенодифракционный метод.

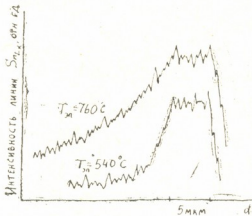


Рис. 1. Распределение состава по содержанию олова в гетероструктуре $\text{PbSe} - \text{Pb}_{0.968} \text{Sn}_{0.032} \text{Se}$

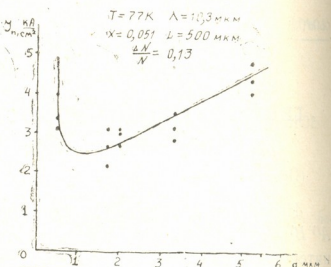


Рис. 2. Зависимость пороговой плотности тока I_n от толщины d активного слоя для ДГС лазера $\text{PbSe} - \text{Pb}_{0.948} \text{Sn}_{0.054} \text{Se} - \text{PbSe}$

Контакты к структурам изготавливались путем последовательного электролитического осаждения Au , Pd , In . Площадь р-п переходов составляла 10^{-3} см^2 при длине резонаторов 400—600 мкм.

Была измерена зависимость пороговой плотности тока I_n в импульсном режиме от толщины активного слоя d и температуры хладопровода. Величина I_n определялась по спектрам излучения.

На рис. 2 приведена зависимость I_n от d для $n-n-p$ структуры. Полученная зависимость пороговой плотности тока от толщины характерна для гетеролазеров с оптическим и электронным ограничением. При толщинах более 3,5—4 мкм I_n увеличивается пропорционально толщине d активного слоя и связанного с ней возбуждаемого объема, при $d < 2$ мкм I_n возрастает из-за увеличения дифракционных потерь. Это находится в соответствии с волноводной моделью с учетом поверхностной рекомбинации на гетерогранице [4].

$$I_n = \frac{8\pi e E \Delta v}{\eta_{int} \lambda^2} (\alpha_0 + \alpha_{ext}) d \frac{\frac{1}{\Gamma} - c_a}{1 - c_a} \left(\frac{\tau_{\phi}}{\tau} \right)^{-1}.$$

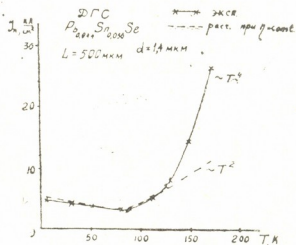
Коэффициент $\frac{\tau_{\phi}}{\tau} = \frac{d}{d + 2S_v\tau}$ характеризует величину потерь на гетерограницах. (S_v — скорость поверхностной рекомбинации на гетерогранице, τ — время жизни носителей.)

Расчетная кривая $I_n = f(d)$ построена для структуры с концентрациями носителей в слоях: $p_s = 2 \times 10^{18} \text{ см}^{-3}$, $n_a = 4 \times 10^{18} \text{ см}^{-3}$, $n_g = 4 \times 10^{18} \text{ см}^{-3}$. Соответствующие электрофизические и волноводные параметры структуры: диэлектрическая проницаемость ϵ , квантовый выход η_{int} , оптические потери α , параметр оптического ограничения Γ и показатель неоднородности поглощения излучения в структуре σ_a взяты аналогично [4]. Построенная кривая хорошо согласуется с экспериментом при $S_v \sim 10^5 \text{ см}/\text{сек}$.

На рис. 3 показана температурная зависимость $I_n = f(T)$ для $p-n-p$ структуры.

При $T \geq 80\text{ K}$ S_v считалась неизменной. Тогда, определив S_v при $T=80\text{ K}$, была достроена расчетная зависимость, и хорошее соответствие с экспериментом получено при учете четырехкратного уменьшения внутреннего квантового выхода (от 0,01 до 0,0025 при $T=80-169\text{ K}$).

Рис. 3. Зависимость пороговой плотности тока I_n от T хладопровода для ДГС лазера $PbSe - Pb_{0.949}Sn_{0.051}Se - PbSe$



В таблице представлены данные по диапазону перестройки длин волн для обоих типов структур.

Тип структуры	Толщины слоев мкм		Последов. сопрот. Ом	T_{\max} К	Диапазон перестройки ($10\text{ K} \div T_{\max}$) мкм	I_n $\frac{\text{kA}}{\text{см}^2}$ (T_{\max})
	акт.	огран.				
$n-p-p$	5,2	4	0,080	139	12,4—7,85	22
$p-p-p$	0,9	2,5	0,052	169	13,3—7,5	26,1

При 63 K на $n-p-p$ структуре был достигнут непрерывный режим работы в области спектра $10,2\text{ мкм}$. Величина I_n в импульсе составляла $2\text{kA}/\text{см}^2$, а в непрерывном режиме $2,3\text{ kA}/\text{см}^2$. Температура $p-n$ перехода превышала температуру хладопровода на $12,5\text{ K}$.

Таким образом, в настоящей работе впервые методом жидкостной эпитаксии реализованы и исследованы лазеры с двухсторонним ограничением на основе твердых растворов $Pb_{1-x}Sn_xSe$, работающие как в импульсном, так и в непрерывном режимах.

(Поступило 3.9.1982)

Зав. ред.

Л. А. Белов, Т. А. Баранова, В. А. Григорьев, В. С. Григорьев,
Ю. Н. Морозов, А. А. Морозов

$Pb_{1-x}Sn_xSe$ мунай 665-й 665-й 665-й 665-й, 665-й 665-й
665-й 665-й 665-й 665-й 665-й 665-й 665-й 665-й 665-й

665-й 665-й

665-й 665-й 665-й 665-й 665-й 665-й 665-й 665-й 665-й
665-й 665-й 665-й 665-й 665-й 665-й 665-й 665-й 665-й
 $Pb_{1-x}Sn_xSe$ мунай 665-й 665-й 665-й 665-й 665-й 665-й 665-й 665-й 665-й

L. P. BYCHKOVA, O. I. DAVARASHVILI, S. G. KONNIKOV,
 M. I. SAGINURI, R. I. CHIKOVANI, A. P. SHOTOV

HETEROLASERS WITH DOUBLE-SIDED CONFINEMENT BASED ON $Pb_{1-x}Sn_xSe$ SOLID SOLUTIONS

Summary

Heterostructures with double-sided confinement based on $Pb_{1-x}Sn_xSe$ operating both in pulse and cw modes have been realized for the first time by means of the liquid phase epitaxy method.

ЛІТЕРАТУРА — REFERENCES

1. E. D. Hinkley, R. L. Kelley. Science, № 171, 1971, 635.
2. Л. П. Бычкова, Г. Г. Гегиадзе, О. И. Даварашвили, В. П. Зломанов, Р. И. Чиковани, А. П. Шотов. ДАН СССР, 2, № 59, 1981, 83.
3. А. П. Шотов, О. И. Даварашвили, А. В. Бабушкин. Письма в ЖФ, № 5, 1979, 1488.
4. Л. П. Бычкова, О. И. Даварашвили, П. Г. Елисеев, М. И. Сагинури, Р. И. Чиковани, А. П. Шотов. Труды ТГУ, 226, 1981, 93.

ФИЗИКА

Я. З. ДАРБАИДЗЕ, Л. А. СЛЕПЧЕНКО, Ю. В. ТЕВЗАДЗЕ

НАРУШЕНИЕ КНО-СКЕИЛНГА И ПРЕДЕЛ БОЛЬШОГО ЧИСЛА КОРРЕЛИРОВАННЫХ КОМПОНЕНТ

(Представлено членом-корреспондентом Академии Н. С. Амаглобели 23.7.1982)

Среди масштабно-инвариантных закономерностей, установленных в процессах множественного образования адронов, значительное место занимает т. н. KNO-скейлинг [1], наблюдаемый в широком интервале энергий $\sqrt{s} = (9,8 - 23,9)$ Гэв в адронных соударениях. Известно также, что при более низких энергиях это масштабно-инвариантное соотношение не выполняется [2]. Кроме того, выяснилось, что в e^+e^- , $p\bar{p}$ и pp -взаимодействиях (аннигиляционные каналы) пик KNO-распределений более узок и расположен выше, чем в π^-p и $p-p$ -столкновениях [3]. Установлено также сильное нарушение KNO-скейлинга в центральной области так, что максимум распределения, полученного в интервале энергий $\sqrt{s} = (23 - 63)$ Гэв в СЦМ на ISR CERN в pp -взаимодействия [4], включая данные при $\sqrt{s} = 540$ Гэв для $p\bar{p}$ -столкновений [5] (см. рис. 1), в два раза ниже и лежит левее, чем в распределениях при более низких энергиях.

В настоящей заметке обсуждаются эффекты нарушения KNO-скейлинга в схеме рождения коррелированных адронных компонент [6, 7].

Пусть при столкновении частиц высоких энергий образуются v компонент (сортов частиц) в реакции $a + b \rightarrow n_e + \dots + n_v$. Для нормированного распределения заряженных частиц согласно [6, 7] будем иметь

$$\langle n_e \rangle \frac{\sigma n_c}{6_{in}} \equiv \Psi_0(z) = Az^{a-1} \exp \left(-\frac{a}{v} z \right) \Psi \left(v-1, a, \frac{a}{v} z \right), \quad (1)$$

где $A = \frac{\Gamma(v)}{\Gamma(a)} \left(\frac{v}{a} \right)^a$; $z = n_e / \langle n_e \rangle$; $\Psi(\alpha, \beta, x)$ —вырожденная гипергеометрическая функция; параметр a задается условием

$$\sum_{k=1}^v \frac{\langle n_k^2 \rangle}{\langle n_k \rangle^2} + 2 \sum_{k>m=1}^v \frac{\langle n_k n_m \rangle}{\langle n_k \rangle \langle n_m \rangle} = v^2 \left(\frac{1}{a} + 1 \right).$$

Функция (1) качественно воспроизводит эффект нарушения KNO-скейлинга, что нетрудно видеть при сравнении двух предельных распределений.

1. Из (1) в асимптотике большого числа коррелированных компонент $v \gg 1$ получаем

$$\Psi_1(z) = Az^{(a-1)/2} K_{a-1}(2\sqrt{az}), \quad (2a)$$



где $A = \frac{2a^{(a+1)/2}}{\Gamma(a)}$, $K_{a-1}(x)$ и $\Gamma(x)$ — функции Бесселя и Эйлера, соответственно.

2. При рождении частиц одного сорта ($v=1$) имеем [8]

$$\Psi_2(z) = \frac{a^a}{\Gamma(a)} z^{a-1} \exp(-az). \quad (26)$$

На рис. 1 штрих-пунктирная линия с двумя точками суть значения функции (2a) при $a=4$. Она близко проходит от экспериментальных точек для событий из центральной области по псевдобыстроте $|\eta| < 1,5$ [4,5].

Учет вклада механизма дифракционного возбуждения адронного вещества [9] сводится к домножению (2a) на функцию

$$\Psi_3(z) = z^{(a+1)/2} \exp(-\alpha z^2). \quad (3)$$

Сплошная линия — результат аппроксимации функцией $\Psi_1(z) \cdot \Psi_3(z)$. Значение параметра $\alpha = 0,37 \pm 0,01$. Таким же образом для $p\bar{p}$ -взаимодействий в интервале энергий $\sqrt{s} = (9,8 \div 23,9)$ Гэв при $a=0,78$ получаем кривую (пунктир на рис. 1). Таким образом, иска-

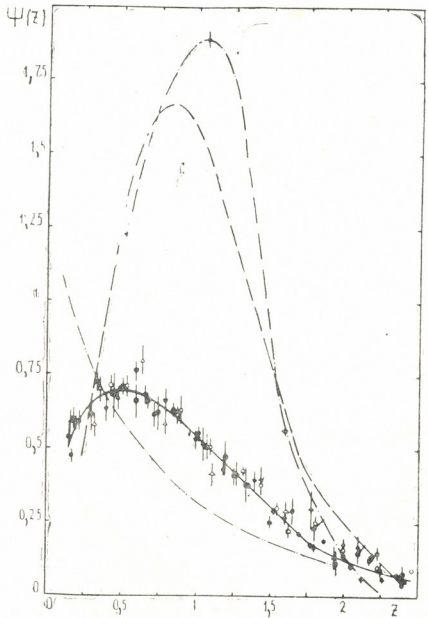


Рис. 1. KNO-распределения $\Psi(z)$. Сплошная линия — аппроксимация данных по формуле $\Psi_1(z) \cdot \Psi_3(z)$ для $p\bar{p}$ - и $p\bar{p}$ -взаимодействий при 23, 6 (○), 30, 8 (▲), 45, 2 (□), 53, 2 (●), 62,8 (△) и 540 (■) Гэв; пунктирная линия — для $p\bar{p}$ -взаимодействий в интервале энергии $\sqrt{s} = (9,8 \div 23,9)$ Гэв; штрих-пунктирная линия — для $p\bar{p}$ -взаимодействий в интервале энергии $\sqrt{s} = (9,8 \div 23,9)$ Гэв; штрих-пунктирная кривая с двумя точками — $\Psi_0(z)$ при $a = 4$

жение функции (2a) усиливается в фрагментационных частях распределения по псевдобыстроте $|\eta| < 1,5$. Поэтому следует ожидать, что при дальнейшем сужении интервала η экспериментальные точки будут

стремиться к значениям функции (2а). Желательно проверить это предсказание на основе экспериментальных данных ISR CERN.

С другой стороны, при сравнительно низких энергиях $\sqrt{s} = (4 \div 9)$ Гэв экспериментальные данные удовлетворительно описываются функцией $\Psi_0(z) \cdot \Psi_3(z)$ (или $\Psi_2(z) \cdot \Psi_3(z)$) как в pp , π^-p -взаимодействиях, так и в e^+e^- , νp и $p\bar{p}$ -столкновениях. Для иллюстрации на рис. 1 приведена штрих-пунктирная кривая (аппроксимация данных для π^+p -взаимодействий при $\sqrt{s} = 4$ Гэв [10]).

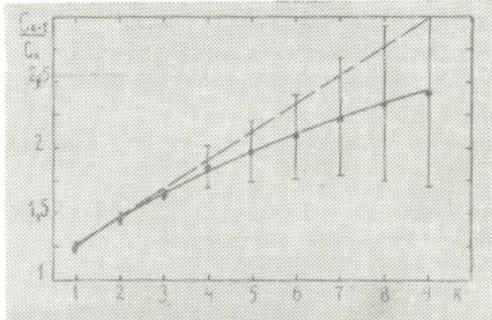
Функция	Процесс	Энергия \sqrt{s} в СЦМ (Гэв)	Нормировка A	α	ν	α	χ^2/DF
$\Psi_1 \Psi_3$	$pp, \bar{p}\bar{p}$	$23 \div 540$	$34,10 \pm 1,72$	$1,17 \pm 0,03$	$\gg 1$	$0,37 \pm 0,01$	107/76
"	pp	$9,8 \div 23,9$	$108,58 \pm 1,47$	$3,23 \pm 0,05$	$\gg 1$	$0,78$	76/44
$\Psi_0 \Psi_3$	π^+p	4	$91,70 \pm 12,73$	$3,71 \pm 0,10$	$0,92 \pm 0,01$	$0,78$	3/2
C_{k+1}/C_k	pp	23,9	—	$3,34 \pm 0,13$	$\gg 1$	$0,78$	0,6/8
"	pp	23,9	—	$4,36 \pm 0,24$	$\gg 1$	$0,78$	7/8

Значения параметров рассмотренных выше функций и величиной χ^2/DF приведены в таблице. Тут же — результаты аппроксимации отно-

ношения C_{k+1}/C_k , где $C_k = \int_0^\infty z^k \Psi(z) dz$ — момент распределения по множественности $\Psi(z)$, в двух предельных случаях:

1. $\Psi(z) = \Psi_1(z) \Psi_3(z)$ — асимптотика при $\nu \gg 1$,
2. $\Psi(z) = \Psi_2(z)$ — однокомпонентное рождение.

Рис. 2. Отношение моментов C_{k+1}/C_k как функция K для $\Psi_2(z)$ (пунктирная линия) и $\Psi_0(z)$ $\Psi_3(z)$ (сплошная линия)



На рис. 2 сплошная кривая соответствует первому варианту, пунктирная — второму. Экспериментальные точки из [2] для pp -взаимодействий при $\sqrt{s} = 23,9$ Гэв. Подчеркнем, что во всем интервале энергии $\sqrt{s} = (9,8 \div 23,9)$ Гэв в пределе $\nu \gg 1$ достигается наилучшее согласие теории с экспериментом.

Тбилисский государственный университет

Институт физики высоких энергий

(Поступило 3.9.1982)

ი. დარბაძე, ლ. სლეპჩენკო, ი. თევზაძე

KNO-თანაფარდობის დარღვევა და კორელირებული კომპონენტების
დიდი რიცხვის ზღვარი

რეზიუმე

ენერგიების ფართო ინტერვალში $\sqrt{s} = 3,2 \pm 540$ გევ მიღებულია KNO-თანაფარდობის დარღვევის დამატებულებელი აღწერა ჰადრონების კორელირებული სისტემების დაბალების მექანიზმით. ნაჩვენებია, რომ 10 გევ-ის ზემოთ სამართლიანია კორელირებული კომპონენტების დიდი რიცხვის ზღვარი $v > 1$. შესაბამისი განაწილების დამახიჯება დიფრაქციული ალგებრით მნიშვნელოვნად მცირდება ცენტრალური არისათვის. ნაჩვენებია იგრეოვე მომენტების შეფარდების (C_{k+1}/C_k) წრფივი დამოკიდებულებისაგან გადახრა და ექსპერიმენტთან საუკეთესო თანხველრა $v > 1$ ზღვარში.

PHYSICS

Ya. Z. DARBAIDZE, L. A. SLEPCHENKO, Yu. V. TEVZADZE

KNO-SCALING DISTURBANCE AND THE LIMIT OF A LARGE NUMBER OF CORRELATED COMPONENTS

S um m a r y

A satisfactory description by KNO-scaling of experimental data is obtained for hadron-hadron (lepton-hadron) collisions and for events from the central pseudorapidity range $|\eta| < 1.5$ at ISR CERN (including $\sqrt{s} = 540$ Gev). In a large number of correlated components the limit $v \gg 1$. The best fit for the moments ratio C_{k+1}/C_k at $v \gg 1$ is given.

ლიტერატურა — REFERENCES

1. Z. Koba, H. B. Nielsen, P. Olesen. Nucl. Phys. 40B, 1972, 317.
2. P. Slattery. Phys. Rev. D1, 1973, 2073.
3. N. Schmitz. In: Proceedings of the 1981, Int. Symposium on Lepton and Photon Interactions at High Energies. Bonn, August, 1981.
K. Kudo, E. R. Nakamura. Preprint FUR-81-1, 1981.
4. W. Thome et al. Nucl. Phys. 129B, 1977, 365.
5. G. Arison et al. Phys. Lett. 107B, 1981, 20.
6. Я. З. Дарбайдзе, А. Н. Сисакян, Л. А. Слепченко. В кн. «Материалы Международного семинара в физике высоких энергий и квантовой теории поля». Протвино, сентябрь, 1980, т. 1, 304.
7. N. S. Amaglobely et al. Preprint JINR, E2-82-107, 1982.
8. W. Ernst, I. Smitt. Nuovo Cimento, 31A, 1976, 109.
9. A. Buras, Z. Koba. Lett. Nuovo Cim., 6, 1973, 629.
10. M. Aderholz et al. Nucl. Phys. 8B, 1968, 45.

ФИЗИКА

Т. Д. КАМУШАДЗЕ, Г. И. КОЧОРАДЗЕ, Г. Б. МИХАИЛОВ,
Э. М. ОМЕЛЬЯНОВСКИЙ

ОТРИЦАТЕЛЬНАЯ ФОТОПРОВОДИМОСТЬ В p - i - n
СТРУКТУРАХ НА ОСНОВЕ ПОЛУИЗОЛИРУЮЩЕГО $GaAs:Cr, O$

(Представлено членом-корреспондентом Академии Т. И. Санадзе 8.12.1982)

К настоящему времени накоплен значительный экспериментальный материал, относящийся к эффекту отрицательной фотопроводимости (ОФП) в различных полупроводниках [1—3]. Этих авторы едини в суждении о природе эффекта и связывают его с множественностью каналов рекомбинации (двух или более), один из которых управляет внешним возбуждением — освещением образца или приложенным к нему электрическим полем.

О наблюдении ОФП в арсениде галлия сообщалось в [4—6]. Этот эффект наблюдался и нами в p - i - n структурах на основе полуизолирующего арсенида галлия, легированного хромом и кислородом. При этом полученные результаты отличаются от известных и, кроме того, их не удается объяснить ни одной из предложенных в [4—6] моделей.

Исследуемые структуры изготавливались путем эпитаксиального наращивания слоя p - $GaAs$ из жидкой фазы на подложку арсенида галлия, легированного хромом и кислородом, с удельным сопротивлением $\sim 1 \cdot 10^8$ Ом·см и подвижностью носителей $7 \cdot 10^3$ см 2 /В·с при 300 К. n -Область создавалась вплавлением олова в полуизолирующий i -слой при 530°С в восстановительной среде. Изготовленные таким образом p - i - n структуры помещались в корпус для теплоотвода.

Измерения вольт-амперной характеристики (ВАХ) и спектров фотопроводимости проводились по стандартной методике: характер полученных результатов не зависел от толщины i -области, которая варьировалась в пределах от 15 до 100 мкм.

ВАХ исследованных структур была S-образной. При этом участку отрицательного дифференциального сопротивления на ВАХ предшествовал омический участок, переходящий в квадратичный, за которым следовала область более сильной зависимости тока от напряжения (рис. 1). Спектр фотопроводимости (ФП) (рис. 2) исследовался на каждом из этих участков.

При малых токах (область линейной ВАХ) ФП положительна и ее максимум соответствует области фундаментального поглощения $GaAs$. Однако с ростом тока, еще до перехода на квадратичный участок ВАХ на спектре ФП появляется второй максимум при $\hbar\omega \sim 0,9$ эВ и провал при $\sim 1,1$ эВ. С дальнейшим ростом напряжения этот провал увеличивается и при переходе на квадратичный участок ВАХ ФП в этой области спектра становится отрицательной. При дальнейшем увеличении напряжения максимум ОФП растет, не меняя своего энергетического положения. При этом напряженность электрического поля в i -области оказывается порядка $1 \cdot 10^3$ В/см, что исключает, по-видимому, проявление эффектов сильного поля. По этому представляется разумным связать наблюдаемую ОФП с инжекцией носителей из контактов.

Перечисленные выше факты допускают естественное объяснение, если предположить, что в запрещенной зоне имеются три уровня, расположенные (в порядке их удаленности от дна зоны проводимости) на $E_1 = 0,4$ эВ (уровень неизвестной природы; некоторые авторы связы-

вают его с дефектами кристалла или кислородом [7, 8], с концентрацией N_1 ; $E_{Cr}=0,8$ эВ (акцептор, уровень хрома); $E_2=1,1$ эВ, с концентрацией N_2 . Исходный материал компенсирован таким образом, что большинство атомов хрома находится в ионизированном состоянии.

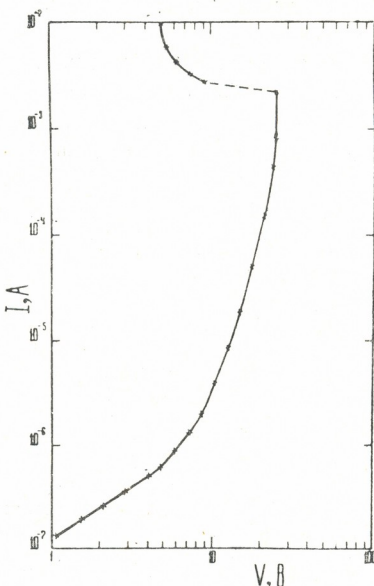


Рис. 1. Типичная вольт-амперная характеристика $p-i-n$ структур на основе полуизолирующего арсенида галлия, легированного хромом и кислородом

Так как сечения захвата на заряженный и нейтральный центры могут различаться на несколько порядков, то естественно предположить, что при низком уровне инжекции носителей из n - и p -областей дырки захватываются на Cr^+ , а электроны — на N_1^+ . При этом с ростом напряжения число атомов Cr^0 возрастает и поэтому переходы $\hbar\omega + Cr^0 \rightarrow Cr^+$ приводят к росту ФП.

Поглощение фотонов с $\hbar\omega \sim 1,1$ эВ приводит, с одной стороны, к увеличению N_2^+ , а с другой, к уменьшению N_1^+ . Так как при низком уровне инжекции преобладает захват электронов на N_1^+ ($e + N_1^+ \rightarrow N_1^0$), а состояния N_2^+ практически отсутствуют, то с ростом напряжения число атомов N_1^+ уменьшается. С другой стороны, обратное время жизни электронов $\tau_n^{-1} = (\tau_n^{-1})N_2 + (\tau_n^{-1})Cr^0 + (\tau_n^{-1})N_1 \approx (\tau_n^{-1})N_1 + (\tau_n^{-1})N_2$. Поэтому освещение образца светом с $\hbar\omega \sim 1,1$ эВ увеличивает первое слагаемое и уменьшает второе; если при этом $(\tau_u)N_2 < (\tau_n)N_1$, то ФП уменьшается. Это неравенство, очевидно, усиливается с ростом напряжения, когда ин-

жектированные электроны нейтрализуют заряд, сосредоточенный на N_1^+ , что и приводит к уменьшению ФП.

С ростом напряжения наступает режим высокого уровня инжеекции и на ВАХ $p-i-n$ структуры появляется квадратичный участок. При этом рекомбинационный процесс контролируется захватом носителей на уровне хрома и N_1^+ . Освещение образца ($\hbar\omega \sim 1,1$, эВ) по описанной выше схеме переводит рекомбинационный поток на «быстрые» уровни N_2^+ (и, возможно, E_{Cr}), время жизни сокращается и ФП меняет знак.

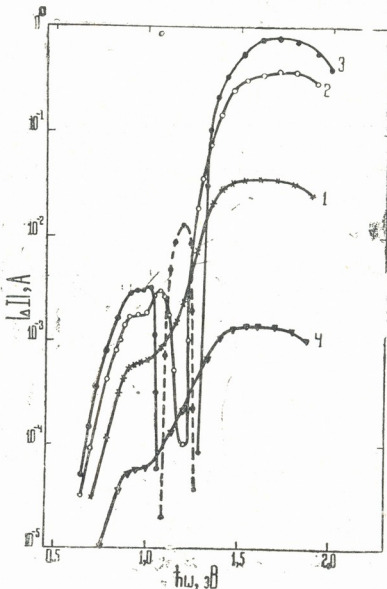


Рис. 2. Спектры фотопроводимости $p-i-n$ структур для разных участков их ВАХ: 1 — начало омического участка, 2 — конец омического участка, 3 — квадратичный участок, 4 — после срыва на ВАХ

После срыва на ВАХ $p-i-n$ структуры ОФП исчезает и спектр ФП принимает вид, соответствующий началу омического участка, а величина фототока уменьшается.

Изложенные здесь соображения уместно сопоставить с результатами, полученными в работах [4—6].

Отметим прежде всего, что различие в спектре ФП и зависимости фототока от напряжения исключают возможность объяснения наших результатов в схеме работы [4]. Это различие не случайно, и определяется не только различием в спектре примесных состояний в запрещенной зоне, но и природой контактов. Второе обстоятельство является на наш взгляд принципиальным, так как приводит к несовпадению наших результатов с работой [6], в которой исследовалась роль механизма двойной инжеекции на спектр ФП. Сравнение этих резуль-



татов исключает в нашем случае роль т-механизма в образовании ОФП. Поэтому схема ОФП, изложенная в [5], к нашему случаю не приемлема.

Общий для результатов работы [6] и наших данных является спектр ФП исходного материала. Однако в отличие от [6] в наших экспериментах эффекты сильного поля отсутствуют, так как ОФП наблюдается сразу после линейного участка ВАХ ($E \sim 10^3$ В/см). Это и дает основание связать наблюданную ОФП не с эффектом сильного поля, а с двойной инжекцией носителей заряда в исследованных $p-i-n$ структурах.

Тбилисский государственный университет

(Поступило 10.12.1982)

Ф0402

თ. კამუშაძე, გ. მოქორაძე, გ. ონაილოვი, ე. ომელიანოვსკი

უარყოფითი ფოტოგამტარებლობა $GaAs : Cr, O$ -ის ბაზაზი
დამზადებულ $p-i-n$ სტრუქტურებში

რეზიუმე

$GaAs : Cr, O$ -ის ბაზაზე დამზადებულ, S -მაგვარი ვოლტ-ამპერული მახასიათებლის მქონე $p-i-n$ სტრუქტურებში დამზერილი უარყოფითი ფოტოგამტარებლობის მოვლენა ასენილია მუხტის მატარებლების ორმაგი ინჟექციით მაღალ-ომიან i -არეში $GaAs : Cr, O$ -ის აკრძალული ზონის სამდონიანი მოდელის გათვალისწინებით.

PHYSICS

T. D. KAMUSHADZE, G. I. KOCHORADZE, G. B. MIKHAILOV,
E. M. OMELJANOVSKI

NEGATIVE PHOTOCONDUCTIVITY IN $p-i-n$ STRUCTURES BASED ON SEMI-INSULATING $GaAs-Cr, O$

Summary

The phenomenon of negative photoconductivity observed in $p-i-n$ structures based on semi-insulating $GaAs:Cr, O$ with S -type I-V characteristic has been explained in terms of charge carriers double injection into a high-resistivity i -region using a three-level model of the band gap of $GaAs:Cr, O$.

ЛІТЕРАТУРА — REFERENCES

1. И. М. Исмайлов, Д. Н. Наследов, М. А. Сиповская, Ю. С. Сметанникова. ФТП, 3, 3, 1969.
2. А. Г. Парицкий, С. М. Рывкин. ФТП, 1, 4, 1967.
3. И. З. Каримова, В. П. Сондаевский, В. И. Страфеев. ФТТ, 8, 1, 1966.
4. В. А. Бродовой, Г. П. Пека, Л. З. Мирец. ФТП, 8, 11, 1974.
5. Г. П. Пека, В. А. Бродовой, Л. З. Мирец. ФТП, 9, 1, 1975.
6. А. А. Пташенко, В. И. Марютин. ФТП, 14, 1, 1980.
7. M. E. Weiner, D. T. Lassota, B. Schwartz. J. Electrochem. Soc., 118, 2, 1971.
8. M. E. Weiner, A. S. Jordan. J. Appl. Phys., 43, 4, 1972.



ГЕОФИЗИКА

М. А. АЛЕКСИДЗЕ, Г. И. БУАЧИДЗЕ, Г. Е. ГУГУНАВА, Д. К. ҚИРИЯ,
Т. Л. ЧЕЛИДЗЕ

СТАЦИОНАРНАЯ ТРЕХМЕРНАЯ ГЕОТЕРМИЧЕСКАЯ МОДЕЛЬ КАВКАЗА

(Представлено академиком Б. К. Балавадзе 24.6.1982)

В имеющихся работах по геотермическим моделям Кавказа [1, 2] решались лишь одномерные, в лучшем случае, двумерные задачи, которые, естественно, не могут быть хорошим приближением ввиду неизбежной сложности рельефа поверхности изотерм геосинклинального региона.

Первые полуколичественные попытки расчета трехмерной тепловой модели региона проводились в работе [3].

В настоящей работе произведен более точный расчет тепловой модели Кавказа с использованием ЭВМ при учете современных представлений о строении литосферы: мощности осадочного комплекса, рельефа поверхностей «гранитного», «базальтового» слоя и Мохо, а также теплогенерации в этих слоях [4].

Решалось стационарное уравнение теплопроводности

$$a \left(\frac{\partial^2 T}{\partial x^2} + \frac{\partial^2 T}{\partial y^2} + \frac{\partial^2 T}{\partial z^2} \right) = \frac{w}{c\rho} \quad (1)$$

с граничными условиями (см. рис. 1)

$$T|_{AA'D'D} = 1600^\circ\text{C};$$

$$\frac{\partial T}{\partial y}|_{ABB'A' \text{ и } DCD'C'} = 0; \quad (2)$$

$$\frac{\partial T}{\partial x}|_{ABCD \text{ и } A'B'C'D'} = 0;$$

где a — коэффициент температуропроводности; $a = \frac{\lambda}{c\rho}$, λ , c и ρ — соответственно теплопроводность, теплоемкость и плотность слоев; T — температура; w — тепловыделение в единице объема.

К этим граничным условиям добавляются условия сопряжения на границах раздела

$$\lambda_i \left(\frac{\partial T}{\partial n} \right)_i = \lambda_{i+1} \left(\frac{\partial T}{\partial n} \right)_{i+1}, \quad (3)$$

где $i=1, 2, 3, 4$; $i=1$ относится к осадочному комплексу, $i=2$ к «гранитному», $i=3$ к «базальтовому» и $i=4$ к веществу верхней мантии.

Параметры, использованные для расчета, приводятся в таблице.

Обобщенные тепловые параметры модели

Параметры	i			
	1	2	3	4
$\lambda \cdot 10^3$ кал/см·с. град	3,4 [5]	6,88 [5]	7,0 [5]	10,0 [5]
ρ г/см ³	2,4 [6]	2,7 [6]	2,9 [6]	3,3 [6]
$\omega \cdot 10^{13}$ кал/см ³ С	2,8 [7]	3,0 [7]	1,3 [7]	0,03 [8]

В квадратных скобках указаны источники данных таблицы.

Для Колхидской низменности и Нижнекуринской депрессии λ принималась равной 2,6, а для морских отложений — $1,8-2,2 \cdot 10^{-3}$ кал/см·с град [1]. Для теплоемкости принимались в зависимости от температуры значения от 0,19 до 0,3 [9]. На глубине 210 км задавалась постоянная температура 1600°C, что приводит к распределению температур в глубине, близкой к моделям Андерсона [10], Чепмена и Поллака [11].

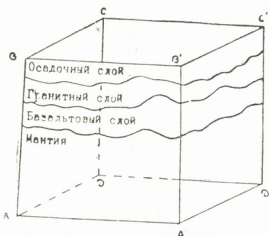


Рис. 1

Для численного решения поставленной задачи был использован метод конечных разностей и соответствующая система разностных аппроксимаций (около 10 000 уравнений) решалась методом верхней релаксации.

В результате расчетов построены карты теплового потока на поверхности Земли, поверхностях Конрада, Мохо и на глубине 70 км, карты распределения температур на этих поверхностях, а также карта 600°C — изотермы, как представляющей интерес с точки зрения частичного плавления водосодержащих пород [10].

Сопоставление расчетных величин теплового потока с наблюденными на дневной поверхности свидетельствует о достаточно хорошей их корреляции почти для всей территории Кавказа, но с той разницей, что наблюденная картина более контрастна (в 2—3 раза). Это обстоятельство вызывается игнорированием в модели современных геологических движений (интенсивное опускание в предгорных и межгорных впадинах) и процессов вулканизма, фиксирующихся геологически, а в последнее время охарактеризованных и методами МТЗ и МВП [11]. В дальнейшем необходимо учитывать нестационарные компоненты, в особенности влияние конвективного теплопереноса в процессе вулканизма, задаваясь глубиной залегания, интенсивностью и временем действия источников.



Рассмотрим далее распределение температур на поверхности Мохо. Как известно, на Кавказе эта поверхность испытывает значительные перепады по глубине от 20 до 60 км. Несмотря на это, в модели температура по этой поверхности изменяется в узком интервале 600–700°C. Минимальные Т отмечены под акваториями Черного и Каспийского морей (600°C), максимальные — под Кавказским перешейком в целом.

Интересные особенности наблюдаются в ходе 600°C — изотермы. На большей части территории она располагается на 5–10 км выше поверхности Мохо. В отличие от других авторов [12], согласно которым изотерма 600° под Кавказским хребтом приближается к дневной поверхности, по данной модели эта изотерма, наоборот испытывает резкое погружение, что можно объяснить высокой теплопроводностью пород, слагающих весь антиклиниорий Большого Кавказа вплоть до дневной поверхности.

Анализ полученных данных позволяет сделать следующие основные выводы.

Несмотря на то, что в модели на глубине 210 км задавалось постоянное температурное поле (1600°C), влияние поверхностных структур обнаруживается даже на столь больших глубинах в виде заметных вариаций теплового потока от q , равного 0,2 в районах выхода фундамента на поверхность до 0,17 под областями с мощным осадочным комплексом. Возможно, это свидетельствует о необходимости увеличения глубины референтной поверхности.

Полученное согласие в наблюдаемых и вычисленных значениях q на дневной поверхности еще не доказывает однозначности предлагаемой геотермической (стационарной) модели. Необходимо в дальнейшем независимым способом, например, аналогично методу В. А. Магницкого [13], восстановить по тепловой модели распределение других геофизических полей (Vp , Vs , электропроводности) в земной коре и верхней мантии и сравнить его с экспериментальным.

Наибольшая разница наблюдаемых и расчетных значений q имеется в областях молодого вулканизма, что указывает на необходимость учета этого фактора и в дальнейшем перехода к нестационарной задаче.

Академия наук Грузинской ССР

Институт геофизики

(Поступило 25.6.1982)

გეოფიზიკა

ა. ალექსიძე, გ. ბუაჩიძე, გ. გუგუნავა, ჯ. კირია, თ. ჭალიძე

კავკასიის სამართლოში გამოყენებული გეოტერმული მოდელი

რეზიუმე

სამგანზომილებიანი სტაციონარული სასაზღვრო ამოცანის ამოხსნის შედეგი აგებულია კავკასიის რეგიონის სამგანზომილებიანი გეოთერმული მოდელი, რომელშიც დაშვებულია 210 კმ სიღრმეზე ტემპერატურის მუდმივობა და გმირულებულია თანამედროვე წარმოდგენები რეგიონის აგებულებაზე, სანი შემადგენელი ფენების სითბურ თვისებებსა და სითბოვენერაციაზე.

ამ მოდელით გამოთვლილი ზედაპირული სითბური ნაკადი საქმაოდ კარგად უთხვევა დაკვირვებულს, გარდა ახალგაზრდა ვულკანიზმის უბნებისა.

M. A. ALEKSIDZE, G. I. BUACHIDZE, G. E. GUGUNAVA, D. K. KIRIA,
 T. L. CHELIDZE

A THREEDIMENSIONAL STATIONARY GEOTHERMAL MODEL OF THE CAUCASUS

Summary

A geothermal model of the Caucasus has been built as a result of solving a threedimensional stationary boundary-value problem based on the assumption of the constancy of temperature (1600°C) at 210 km depth, with account of contemporary notions of the geological structure of the region and thermal and heat production properties of strata. Excepting the areas of young volcanism, the computed surface heat flow is in fairly good agreement with field observation data.

ЛІТЕРАТУРА — REFERENCES

1. И. М. Буачидзе, Г. И. Буачидзе и др. Геотермические условия и термальные воды Грузии. Тбилиси, 1980.
2. R. T. Kutas, E. A. Lubimova, Ya. B. Smirnov. Pure Appl. Geophys. v. 117, 1978. 79.
3. Г. Е. Гугунава, Д. А. Кикнадзе. Физика Земли, № 10, 1970.
4. Ш. А. Адамия, Б. К. Балавадзе и др. Глубинное строение и геофизические особенности структур земной коры и верхней мантии. М., 1977.
5. Е. А. Любимова. Термика Земли и Луны. М., 1968.
6. Б. К. Балавадзе. Гравитационное поле и строение земной коры в Грузии. Тбилиси, 1957.
7. Сб. «Глубинный тепловой поток Европ. части СССР». Киев, 1974.
8. В. В. Гордиенко. Тепловые аномалии. М., 1975.
9. М. А. Алексидзе, Г. Е. Гугунава, К. В. Перстая. Геофизические поля и строение земной коры и верхней мантии территории Грузии. Тбилиси, 1977.
10. Б. Майсен, А. Беттгер. Плавление водосодержащей мантии. М., 1979.
11. Г. Е. Гугунава. Взаимосвязь некоторых геофизических полей и глубинного строения Кавказа. Тбилиси, 1981.
12. Сб. «Строение земной коры и верхней мантии». Киев, 1980.
13. V. A. Magnitsky. J. Geophys. Res., v. 76, 1971.



ГЕОФИЗИКА

К. А. ТАВАРТКИЛАДЗЕ, И. А. ШЕНГЕЛИЯ

МОДЕЛИРОВАНИЕ ВЕРТИКАЛЬНОГО РАСПРЕДЕЛЕНИЯ
ВЛАГИ В СВОБОДНОЙ АТМОСФЕРЕ

(Представлено академиком Б. К. Балавадзе 12.7.1982)

Вертикальное распределение содержания водяного пара в атмосфере описывается экспоненциально убывающим законом. Полученные в разное время, в разных климатических зонах эмпирические закономерности вертикального распределения влагосодержания в основном отличаются друг от друга лишь постоянным множителем. Были попытки вертикальное влагосодержание выразить более точно, чем это дает простой экспоненциальный закон.

Насколько нам известно, такая попытка впервые была сделана А. Х. Хргианом [1]. В условиях Москвы для вертикального распределения удельной влажности он получил эмпирическую формулу, в которой показатель экспоненты выражается квадратичным двучленом. Такой подход, несомненно является более точным, поскольку простой экспоненциальный закон получается из него как частный случай. Используя богатый материал радиозондирования свободной атмосферы при ясном небе, в монографии [2] вертикальное изменение абсолютной влажности в свободной атмосфере представляется экспоненциальным законом, в котором показатель экспоненты также выражается квадратичным двучленом:

$$\rho(z) = \rho_0 \exp(-az - bz^2), \quad (1)$$

где ρ_0 и $\rho(z)$ — соответственно, абсолютные влажности у подстилающей поверхности и на высоте z ; a и b — эмпирические коэффициенты, которые были определены из большого числа экспериментальных данных.

Оказалось, что в четырех пунктах Северного полушария, расположенных в совершенно разных географических условиях (на континенте и в океане) коэффициент b вносит довольно большой вклад (до 30%) в описание вертикального содержания абсолютной влажности и его среднегодовое значение по территории мало изменяется. Следует отметить, что подобный вывод был получен и для удельной влажности, когда сопоставлялись коэффициенты b для Москвы и Закавказья [3]. Что касается коэффициента a , то он линейно зависит от высоты местности [3], т. е.

$$a = a_1 + a_2 z_0, \quad (2)$$

где z_0 — высота местности над уровнем моря.

Исходя из вышеизложенного, для моделирования вертикального распределения абсолютной влажности, которому посвящается данная работа, достаточно смоделировать временно-пространственную изменчивость коэффициентов a и b .

Для установления временной изменчивости показателя экспоненты в формуле (1), из монографии [2] был использован годовой и суточный ход коэффициентов a и b для Тбилиси при ясном небе. По-



строенные с их помощью изоплеты изменения коэффициентов a и b приведены на рис. 1. Как видно из рисунка, коэффициенты a и b как в годовом, так и в суточном разрезе настолько изменяются, что неучитывание этих изменений приводит к большим погрешностям.

Следовательно, вертикальное изменение абсолютной влажности описывается формулой (1), в которой временная изменчивость коэффициентов a и b определяется с помощью изоплет (рис. 1), а тер-

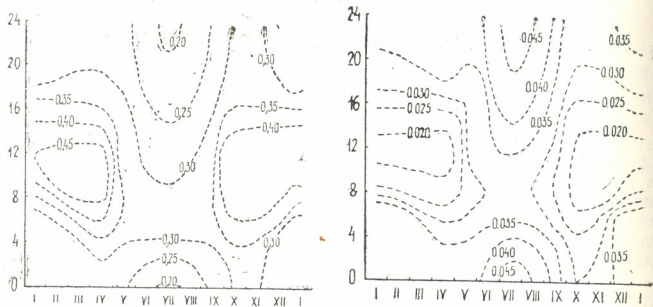


Рис. 1. Изоплеты эмпирических коэффициентов a и b

риториальное изменение коэффициента a — по формуле (2). Однако, поскольку построенная на рис. 1 изоплета соответствует 0,5 км высоты местности над уровнем моря, то в данном случае формула (2) преобразуется в виде (z_0 выражается в см-ах):

$$a = a_1 + a_2 (z_0 - 0,5 \cdot 10^6). \quad (3)$$

Для сопоставления вышеуказанным путем построенной модели вертикального изменения абсолютной влажности с фактической, были использованы экспериментальные данные аэрологического зондирования атмосферы м/c Батуми ($z_0=0,2$ км), приведенные в работе [4]. В табл. 1 приведены вертикальные изменения среднесуточной абсолютной влажности для января и июля, определенные по предложенной модели и по результатам упомянутой работы, которые хорошо согласуются.

Таблица 1

Сопоставление моделируемого и фактического вертикального распределения абсолютной влажности ($\text{г}/\text{м}^3$) для Батуми на примере января и июля

Месяцы	Метод	Высота, км										
		0,2	0,5	1,0	1,5	2,0	3,0	4,0	5,0	6,0	7,0	8,0
Январь	из [4]	4,79	4,38	3,44	2,82	2,23	1,42	0,85	0,52	0,29	0,15	0,07
	по модели	4,79	4,08	3,43	2,84	2,31	1,47	0,88	0,49	0,26	0,13	0,06
Июль	из [4]	14,12	12,74	10,84	8,31	6,38	4,72	2,91	1,43	0,73	0,37	0,21
	по модели	14,12	12,61	11,03	9,45	7,92	5,23	3,18	1,77	0,91	0,43	0,19

Моделирование вертикального распределения абсолютной влажности по высоте позволяет определять запас воды в атмосфере (ω), или общее содержание водяного пара в бесконечном воздушном ци-

линдре с единичным поперечным сечением с основанием на подстилающей поверхности. Его можно определить интегрированием $\rho(z)$ по всему вертикальному цилиндуру, т. е.

$$\omega = \int_0^{\infty} \rho(z) dz. \quad (4)$$

Следуя работе [5], с учетом формул (1) и (2), формула (4) примет вид

$$\omega = \frac{0,05 \sqrt{\pi}}{\sqrt{b}} \rho_0 \exp\{x^2\} [1 - \Phi(x)], \quad (5)$$

где

$$x = \frac{1}{\sqrt{b}} [a_1 + a_2 (z_0 - 0,5 \cdot 10^6)],$$

$\Phi(x)$ — интеграл вероятности ошибок.

Рассчитанные с использованием построенной модели значения запаса воды в атмосфере по формуле (5) для м/с Батуми сопоставили с фактическими, приведенными в работе [4]. Результаты сопоставления даются в табл. 2.

Таблица 2

Данные	I	II	III	IV	V	VI	VII	VIII	IX	X	XI	XII
По формуле (5)	1,13	1,13	1,28	1,63	2,44	3,18	3,79	3,63	2,94	2,25	1,86	1,52
Из [4]	1,07	0,95	1,19	1,58	2,34	2,78	3,22	3,26	2,80	2,02	1,90	1,37

Среднее расхождение данных, приведенных в табл. 2, составляет около 10%.

Необходимо отметить, что годовой ход общего содержания водяного пара рассчитан с помощью коэффициентов a и b , осредненных по стандартному времени запуска зондов (02 и 14 часов). Что касается работы [4], в которой дается фактическое распределение влагосодержания атмосферы над Батуми, то там не указывается, совпадает или нет количество ночных и дневных экспериментов. Очевидно, что различие в количестве использованных ночных и дневных зондов может вызвать расхождение между результатами табл. 2.

Если учесть вышесказанное, можно заключить, что точность построения модели влагосодержания свободной атмосферы по предложенному методу не превышает 10%.

Академия наук Грузинской ССР

Институт географии
им. Вахушти

(Поступило 10.9.1982)

ქ. თბილისი, გ. უნივერსიტეტის ქუჩა 10

თავისუფალ ატმოსფეროში სინოტივის ვერტიკალური განაწილების მოდელირება

რეზიუ მე

აბსოლუტური სინოტივის ვერტიკალური განაწილების დასაღენად გამოყენებულია ექსპონენციალური კანონი. განხორციელებულია ექსპონენციალის ზარიერებლის ტერიტორიული და დროითი მოდელირება. ცალკეულ მაგალითებზე ატმოსფეროში აბსოლუტური სინოტივისა და მასში წყლის ორთქლის მარავის მოდელირებული სახე შედარებულია წლების მანძილზე ბათუმში რადიოზონდირების მიხედვით დადგენილ სინოტივის ვერტიკალურ განაწილებისთვის 10 კმ-მდე თავისუფალ ატმოსფეროში.

GEOPHYSICS

K. A. TAVARTKILADZE, I. A. SHENGELIA

MODELLING OF THE VERTICAL DISTRIBUTION OF HUMIDITY IN THE FREE ATMOSPHERE

Summary

The exponential law has been used to determine the vertical distribution of absolute humidity. The exponential index has been modelled territorially and temporally. Using particular examples, the modelled values of vertical changes of absolute humidity and water vapour provision in the atmosphere are compared with data of actual radio-sounding measurements of vertical humidity distribution up to 10 km free atmosphere.

ლიტერატურა — ЛИТЕРАТУРА — REFERENCES

1. А. Х. Хриан. Изв. АН СССР, № 2, 1947.
2. Ф. Ф. Давитая, К. А. Таварткиладзе. Проблема борьбы с градобитием, морозами в субтропиках и некоторыми другими стихийными процессами. Тбилиси, 1982.
3. К. А. Таварткиладзе. Труды ЗакНИГМИ, вып. 22, 1966.
4. Г. С. Кулджанишвили. Труды ЗакНИГМИ, вып. 74 (80), 1980.
5. К. А. Таварткиладзе. Сообщения АН ГССР, XLIII, № 1, 1966.



ОБЩАЯ И НЕОРГАНИЧЕСКАЯ ХИМИЯ

Н. А. ДЖАБИШВИЛИ, М. В. ЛАНДИЯ, Н. А. КЛАРДЖЕИШВИЛИ

ПИРОФОСФАТЫ ТУЛИЯ

(Представлено членом-корреспондентом Академии Т. Г. Андроникашвили 8.7.1982)

Пирофосфаты РЗ элементов обладают комплексом ценных свойств — высокой огнеупорностью, значительной химической стойкостью при высоких температурах, ионообменными, диэлектрическими, связующими и другими ценными свойствами.

Нами изучались условия образования и свойства пирофосфатов тулия.

Эта работа интересна тем, что число работ по пирофосфатам тулия очень мало.

Системы исследованы при постоянной исходной концентрации нитрата тулия, равной 0,025 мол/л.

Данные по растворимости в системе
 $Tm(NO_3)_3 - M_4P_2O_7 - H_2O$ при 25°C
 (постоянное содержание $Tm^{3+} = 0,025$ гион/л)

В исходной смеси P_2O_7	Найдено в растворе		Найдено в осадке		Отношения $P_2O_7^{4-}/Tm^{3+}$	Состав твердой фазы
	Tm^{3+}	$P_2O_7^{4-}$	Tm^{3+}	$P_2O_7^{4-}$		
Система $Tm(NO_3)_3 - M_4P_2O_7 - H_2O$						
0,5	1,25	0,90	0,022	1,60	1,22	0,76
0,75	1,87	0,06	0,04	2,44	1,83	0,75
1,00	2,50	0,11	0,13	2,39	2,37	0,99
1,50	3,75	1,33	2,57	1,17	1,18	1,00
2,00	5,00	2,50	5,00	—	—	—
2,50	6,25	2,50	6,25	—	—	—
3,00	7,50	2,50	7,50	—	—	—

В исходной смеси P_2O_7	Найдено в растворе		Найдено в осадке		Отношения $P_2O_7^{4-}/Tm^{3+}$	Состав твердой фазы
	Tm^{3+}	$P_2O_7^{4-}$	Tm^{3+}	$P_2O_7^{4-}$		
Система $Tm(NO_3)_3 - M_4P_2O_7 - H_2O$						
0,5	1,25	0,90	0,03	1,60	1,22	0,76
0,75	1,87	0,02	0,01	2,48	1,86	0,75
1,00	2,50	0,05	0,07	2,45	2,43	0,99
1,50	3,75	0,16	1,41	2,34	2,34	1,00
2,00	5,00	0,64	3,15	1,86	1,85	0,99
2,50	6,25	2,50	6,25	—	—	—
3,00	7,50	2,50	7,50	—	—	—

В исходной смеси P_2O_7	Найдено в растворе		Найдено в осадке		Отношения $P_2O_7^{4-}/Tm^{3+}$	Состав твердой фазы
	Tm^{3+}	$P_2O_7^{4-}$	Tm^{3+}	$P_2O_7^{4-}$		
Система $Tm(NO_3)_3 - M_4P_2O_7 - H_2O$						
0,5	1,25	0,90	0,03	1,60	1,22	0,76
0,75	1,87	0,02	0,01	2,48	1,86	0,75
1,00	2,50	0,05	0,07	2,45	2,43	0,99
1,50	3,75	0,16	1,41	2,34	2,34	1,00
2,00	5,00	0,64	3,15	1,86	1,85	0,99
2,50	6,25	2,50	6,25	—	—	—
3,00	7,50	2,50	7,50	—	—	—

Состав выделенных соединений изучен методом остаточных концентраций. Кроме того, проведен непосредственный анализ полученных твердых фаз на содержание тулия [1] и пирофосфата [2], отжатых под прессом. Для исследования выделенных соединений в работе 33 „მომზადება“, ტ. 111, № 3, 1983

использованы методы термогравиметрии, рентгенофазовый и ИК-спектроскопии.

Полученные методом растворимости данные (см. таблицу) позволяют заключить, что реакции взаимодействия между нитратом туния и пирофосфатами натрия и калия протекают одинаково.

В начале реакции при молярном соотношении реагирующих компонентов $\leq 0,75$ образуется нормальный пирофосфат туния — $Tm_4(P_2O_7)_3 \cdot 9H_2O$.

При дальнейшем увеличении концентрации $P_2O_7^{4-}$ средний пирофосфат туния переходит в новое соединение с молярным отношением $P_2O_7^{4-}:Tm^{3+}$ в осадке, равным 1, состав которого в системе с $Na_4P_2O_7$ отвечает формуле $NaTmP_2O_7 \cdot 6H_2O$, а в системе с $K_4P_2O_7$ — $KTmP_2O_7 \cdot 5H_2O$.

После эквивалентной точки ($n > 0,75$) параллельно с образованием двойных пирофосфатов туния в фильтрате увеличивается количество ионов туния, и при $n = 2,0$ в системе с $Na_4P_2O_7$ и при $n = 2,5$ в системе $K_4P_2O_7$ осадок полностью растворяется. Растворение двойного пирофосфата в избытке пирофосфата натрия и калия происходит вследствие комплексообразования.

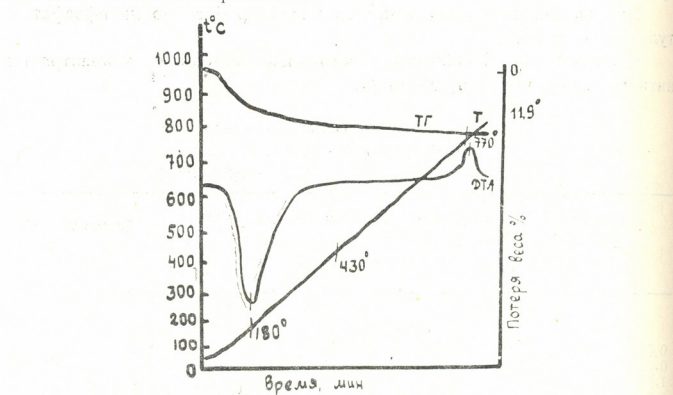


Рис. 1. Термогравиграмма $Tm_4(P_2O_7)_3 \cdot 9H_2O$

В системе с $Na_4P_2O_7$ из раствора, полученного при $n=2$, через 20 дней выделяется осадок среднего пирофосфата туния — $Tm_4(P_2O_7)_3 \cdot 9H_2O$. Из раствора, полученного при $n=2,5$, через неделю выделяется конгруэнтно растворимая комплексная соль — $Na_5/Tm(P_2O_7)_3 \cdot 5H_2O$.

В системе с $K_4P_2O_7$ из растворов при $n=2,5$ и $n=3$ выделяется двойная соль $KTmP_2O_7 \cdot 5H_2O$.

Химический анализ выделенных в системах $Tm(NO_3)_3 - M_4P_2O_7 - H_2O$ соединений показал содержание в них компонентов, %:

$Tm_4(P_2O_7)_3 \cdot 9H_2O$ — $Tm^{3+} — 49,78$; $P_2O_7^{4-} — 38,30$; $H_2O — 11,90$;

$NaTmP_2O_7 \cdot 6H_2O$ — $Tm^{3+} — 35,70$; $P_2O_7^{4-} — 36,61$; $Na^+ — 4,84$; $H_2O — 22,76$;

$KTmP_2O_7 \cdot 5H_2O$ — $Tm^{3+} — 36,63$; $P_2O_7^{4-} — 37,62$; $K^+ — 7,43$; $H_2O — 17,30$.

Выделенные соединения — рентгеноаморфные вещества. Изучены их термические свойства.

Термогравиограмма среднего пирофосфата тулия показывает (рис. 1), что при температуре 180° происходит частичная дегидратация соединения. Полная дегидратация соли происходит нагреванием до 430°. Экзоэффект при 770° вызван изменением кристаллической структуры.

Термическое разложение двойных солей — $\text{NaTmP}_2\text{O}_7 \cdot 6\text{H}_2\text{O}$ и $\text{KTmP}_2\text{O}_7 \cdot 5\text{H}_2\text{O}$ идет аналогично среднему пирофосфату тулия. Их дегидратации соответствует эндоэффект при температурах 115 и 125°C соответственно, а экзоэффект при температурах 705 и 735°C, вызванный кристаллизацией обезвоженных продуктов.

Академия наук Грузинской ССР

Институт физической и
органической химии
им. П. Г. Меликишвили

(Поступило 3.9.1982)

ზოგადი და არაორგანული ქიმია

ნ. ჯაბიშვილი, მ. ლანდია, ნ. კლარეიშვილი

თულიუმის პიროფოსფატები

რ ე ზ ი უ მ ე

ნარჩენ კონცენტრაციათა მეთოდით შესწავლილია თულიუმის ნიტრატის ურთიერთქმედება ნატრიუმის და კალიუმის პიროფოსფატებთან.

დაღვენილია, რომ $\text{Tm}(\text{NO}_3)_3 - \text{M}_4\text{P}_2\text{O}_7 - \text{H}_2\text{O}$ (სადც M - Na , K) სისტემაში ურთიერთქმედების დროს წარმოიქმნება შემდეგი ტიპის ნაერთები: $\text{Tm}_4(\text{P}_2\text{O}_7)_3 \cdot 9\text{H}_2\text{O}$, $\text{NaTmP}_2\text{O}_7 \cdot 6\text{H}_2\text{O}$ და $\text{KTmP}_2\text{O}_7 \cdot 5\text{H}_2\text{O}$.

მიღებული ნაერთების ინდივიდუალობა დადასტურებულია ქიმიური და ფერმული ანალიზის მეთოდებით.

GENERAL AND INORGANIC CHEMISTRY

N. A. JABISHVILI, M. V. LANDIA, N. A. KLARJEISHVILI

THULIUM PYROPHOSPHATES

Summary

The interaction of thulium nitrites with sodium- and potassium pyrophosphates has been studied by the method of residual concentration. The following compounds were found to be formed: $\text{Tm}_4(\text{P}_2\text{O}_7)_3 \cdot 9\text{H}_2\text{O}$; $\text{NaTmP}_2\text{O}_7 \cdot 6\text{H}_2\text{O}$ and $\text{KTmP}_2\text{O}_7 \cdot 5\text{H}_2\text{O}$. The conditions of the formation of these compounds have been established, and their structure studied by the methods of chemical, thermal and IR-spectral analysis.

ლიტერატურა — ЛИТЕРАТУРА — REFERENCES

- Н. А. Василенко, М. Л. Чепелевский. ЖХХ, 2, № 11, 1957, 2486—2489.
- И. В. Тананаев, Н. А. Джабишвили. ЖАХ, 20, № 9, 1965, 1019—1021.



ОРГАНИЧЕСКАЯ ХИМИЯ

Х. И. АРЕШИДЗЕ (академик АН ГССР), Г. О. ЧИВАДЗЕ,
В. В. ХАХНЕЛИДЗЕ

ИССЛЕДОВАНИЕ МОДИФИЦИРОВАННОГО ГУМБРИНА
В РЕАКЦИИ АЛКИЛИРОВАНИЯ ФЕНОЛА ДИЗОБУТИЛЕНОМ

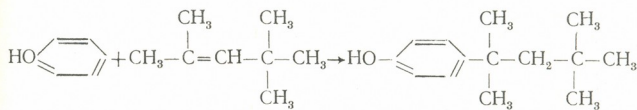
В статье приведены результаты исследования реакции алкилирования фенола дизобутиленом на модифицированном гумбрине. Высокомолекулярные алкилфенолы играют важную роль в народном хозяйстве. Они применяются в качестве бактерицидов и фунгицидов, ингибиторов авиационных бензинов. Многие алкилфенолы служат исходным сырьем для получения маслорастворимых синтетических смол и т. д. [1].

Катализатор готовился методом четырехкратного обмена, обработкой гумбрина 0,15 н. раствором AlCl_3 [2].

Как известно, строение алкилагента непосредственно влияет на процесс алкилирования. При алкилировании фенолов олефинами нормального строения в алкилате преобладают в основном орто-алкилфенолы, а в случае разветвленного олефина — пара-алкилфенолы. Кроме того, состав алкилата зависит также от природы применяемого катализатора, температуры и соотношения исходных компонентов [3, 4].

Представляло интерес исследовать наш катализатор в реакции алкилирования фенола дизобутиленом. Было установлено, что основными продуктами реакции являютсяmonoалкилфенолы. Количество ди-алкилфенолов и продуктов осмоления не превышают 2—3%.

Алкилирование фенола дизобутиленом проводилось во вращающемся автоклаве. Указанная реакция протекает по схеме



В таблице приведены условия и результаты алкилирования фенола дизобутиленом. Как видно из таблицы, физико-химические свойства полученных нами алкилфенолов близки между собой, но различаются по выходу.

Состав алкилата изучался методами ректификации и инфракрасной спектроскопии.

ИК-спектральные исследования образцов проводились на UR-20 в Институте физической и органической химии АН ГССР.

Наблюдаемая в спектрах интенсивная полоса поглощения на частоте 830 cm^{-1} указывает на то, что полученные продукты являются главным образом пара-алкилфенолами. Незначительное поглощение на частоте 758 cm^{-1} вызывается присутствием в образцах продуктов с орто-замещением (15—20%). Слабое поглощение на частоте 890 cm^{-1}

говорит о том, что в этих образцах содержится малое количество (5%) диалкилфенолов.

Как показывают результаты разгонки алкилата, в продуктах алкилирования значительные структурные изменения не происходят, так как на алюмосиликатных катализаторах олефиновые углеводороды претерпевают деструктивные превращения при температуре выше 300° [5].

Замечено также, что в незначительной степени происходит и полимеризация, остаток в колбе и потери, вместе взятые, не превышают 2—3%.

С целью нахождения оптимальной температуры реакции опыты проводились в пределах 140—200°. Найдено, что повышение температуры от 140 до 180° вызывает повышение выхода п-трет-октилфенола от 58,1 до 68,2% масс.

Следует отметить, что весьма существенным фактором, влияющим на изменение выходаmonoалкилфенолов, является отношение фенол/дизобутилен. С увеличением отношения от 1:1 до 1:2 повышается выход п-трет-октилфенола от 68,2 до 87,2% от теории при других равных условиях опыта (таблица).

Условия и результаты алкилирования фенола дизобутиленом на модифицированном гумбрине

Температура опыта, °C	Мольное отношение фенол:дизобутилен	Время опыта, час	Выход алкилата, % масс.	Выход фр. после перегонки, % масс.		Выход п-трет-октилфенола, % масс.		Физико-химические свойства фр. п-трет-октилфенола		
				Фр. 60—122°, 10 мм рт. ст.	Фр. 110—130°, 5 мм рт. ст.	Остаток и потери	от теории	на пропущенный фенол	на превращенный фенол	n_{D}^{20}
140	1:1	1	91,0	28	70	2	58,1	63,7	85,5	1,5100
160	1:1	1	91,0	21	77	2	63,7	70,0	86,5	1,5098
180	1:1	1	90,5	15	83	2	68,2	75,1	87,0	1,5110
180	1:1	2	90,0	11	86	3	75,3	77,4	86,0	1,5115
180	1:2	2	91,8	31	67	2	85,5	61,8	86,6	1,5122
180	1:2	3	91,0	28	69	3	87,2	63,5	85,5	1,5135
180	1:2	4	90,4	29	67	4	84,4	61,4	83,7	1,5118

Нами также изучено влияние продолжительности опыта на выход п-трет-октилфенола. Показано, что оптимальным временем продолжительности реакции является 3 часа. Увеличение времени до 4 часов отрицательно влияет на выход целевого продукта, так как увеличивается реакция полимеризации.

Таким образом, оптимальными условиями реакции на модифицированном гумбрине являются: температура опыта 180°, продолжительность реакции 3 часа, мольное отношение фенол:дизобутилен = 1:2.

Академия наук Грузинской ССР

Институт физической и

органической химии

им. П. Г. Меликвишили



გრ. არეშიძე (საქ. სსრ მეცნ. ეკად. აკადემიკოსი), გ. ჩივაძე,

3. ხახნელიძე

მოდიფიცირებული გუმბრინის ზესჯავლა ფენოლის დიისობუტილენით ალკილირების რეაქციაში

რეზიუმე

ჩატარდა ფენოლის დიისობუტილენით ალკილირების რეაქცია მოდიფიცირებული გუმბრინის მონაწილეობით. დადგენილია, რომ რეაქციის ძირითადი პროცესები შედგება ორთო- და პარა-მონოალკილფენოლებისაგან. ალკილატში სჭარბობს პარა-იზომერი.

რეაქციის ოპტიმალური პირობებია: ტემპერატურა 180° , რეაქციის ხანგრძლივობა 3 საათი, მორეაგირე კომპონენტთა მოლური შეფარდება ფენოლი/დიისობუტილენი 1:2.

ORGANIC CHEMISTRY

Ch. I. ARESHIDZE, G. O. CHIVADZE, V. V. KHAKHNELIDZE

STUDY OF MODIFIED GUMBRINE IN THE REACTION OF PHENOL ALKYLATION BY DIISOBUTYLENE

Summary

The reaction of phenol alkylation by diisobutylene has been carried out in the presence of modified gumbrine. The basic products of the reaction were found to consist of ortho- and para-monoalkylphenols, para-isomers predominating in the alkylate. Optimal conditions of the reaction are: temperature 180° , reaction duration 3 h, molar relation of the reacting components phenol diisobutylene 1:2.

ლიტერატურა — ЛИТЕРАТУРА — REFERENCES

1. Ф. Азингер. Химия и технологияmonoolefinov. М., 1960, 636.
2. Х. И. Арешидзе, Г. О. Чивадзе, В. В. Хахнелидзе, Л. И. Балахиншивили. Нефтехимия, 17, № 6, 1977, 852.
3. О. Н. Цветков, К. Д. Коренев и др. Нефтепереработка и нефтехимия, № 8, 1969, 33.
4. К. И. Зимина, Г. Г. Котова и др. Нефтепереработка и нефтехимия, № 7, 1968, 11.
5. Г. Н. Плиев, Ю. Г. Гордаш, В. Н. Полетова. Химия и технология топлив и масел, № 3, 1969, 19.

ОРГАНИЧЕСКАЯ ХИМИЯ

Г. Ш. ПАПАВА, Л. А. БЕРИДЗЕ, Н. С. ГЕЛАШВИЛИ,
Н. С. ДОХТУРИШВИЛИ, В. А. БЕЛОГЛАЗОВ, В. С. ВОИЩЕВ

ИССЛЕДОВАНИЕ МЕХАНИЧЕСКИХ И ДИЭЛЕКТРИЧЕСКИХ
СВОЙСТВ ПОЛИЭФИРОВ С ҚАРДОВЫМИ ГРУППИРОВКАМИ
АДАМАНТАНА

(Представлено академиком Л. Д. Меликадзе 30.12.1982)

Нами синтезированы поликарбонаты, однородные и смешанные полиарилаты на основе бисфенолов с кардовыми адамантановыми группировками [1—3]. Ввиду несомненно ценных свойств этих полимеров представляло интерес изучение их механических и диэлектрических свойств.

Для исследования взяты поликарбонат на основе 2,2-бис(4-оксифенил)адамантана(I), однородные полиарилаты на основе 2,2-бис(4-оксифенил)адамантана и 4,4'-дифенилоксиддикарбоновой кисло-

Таблица 1

Свойства поликарбоната, однородных и смешанных полиарилатов на основе адамантансодержащих бисфенолов

№	Исходные соединения		η _{пр} ^{0.5} 0.5% р-ра полимера в хлороформе, дL/г	Молекулярная масса по светорассеянию	Температура размягчения по термомеханической кривой, °C*	Температура начала умягчения массы °C**
	Бисфенолы	Хлорангидриды кислот				
1	I	V	0,50	48000	300	310
2	I	VI	0,61	64000	375	380
3	II	VII	0,86	68000	305	380
4***	I:III	VI	0,90	—	265	330
5***	I:V	VII	0,85	—	330	340

* Термомеханические свойства полимеров определяют на приборе Цейтлина при нагрузке 0,08 МПа. Скорость подъема температуры — 3°C/мин.

** Термические свойства полимеров определяют на дериватографе фирмы МОМ «Паулик, Паулик, Эрдей». Скорость нагрева образца 5°C/мин.

*** Соотношение бисфенолов 0,5:0,5 в молях.

ты (VI), 2,2-бис(3-метил,4-оксифенил)адамантана (II) и терефталевой кислоты (VIII); смешанные полиарилаты на основе 2,2-бис(4-оксифенил)адамантана, 2,2-бис(4-оксифенил)пропана (III) и 4,4'-дифенилоксиддикарбоновой кислоты, 2,2-бис(4-оксифенил)адамантана, фенол-фталенна (IV) и терефталевой кислоты.



Поликарбонат синтезирован методом межфазной поликонденсации бисфенолята и фосгена (V) при 10°C. В качестве органической среды взят дихлорэтан, катализатор — триэтиламин.

Однородные и смешанные полиарилаты получены методом высокотемпературной поликонденсации, взаимодействием бисфенолов с хлорангидридами дикарбоновых кислот в *a*-хлорнафталине при 220°C, концентрация исходных веществ — 1 моль/л.

Свойства взятых для исследования полимеров приведены в табл. 1.

По данным рентгеноструктурного анализа, синтезированные полимеры обладают аморфной структурой. Полимеры хорошо растворяются в органических растворителях, в частности в хлорированных углеводородах, фенолах, амидных растворителях.

Таблица 2

Механические и диэлектрические показатели неориентированных пленок поликарбоната, однородных и смешанных полиарилатов на основе адамантансодержащих бисфенолов

Полимеры*	Прочность на разрыв (на воздухе), МПа			Удлинение при разрыве, %			Удельное объемное электрическое сопротивление, Ом·см	Тангенс угла диэлектрических потерь при ча- стоте 1 кГц, $\tan \delta$	Диэлектрическая проницаемость ϵ
	при температуре, °C								
	25	100	200	25	100	200			
1	59	—	—	40	—	—	—	$5 \cdot 10^{-3}$	2,7
2	108	93	61	17	23	28	$> 1 \cdot 10^{17}$	$5,7 \cdot 10^{-3}$	3,1
3	98	78	57	19	25	31	$> 1 \cdot 10^{17}$	$3,1 \cdot 10^{-3}$	2,9
4	59	—	—	20	—	—	$> 1 \cdot 10^{16}$	$3 \cdot 10^{-3}$	3,2
5	70	—	—	25	—	—	$> 1 \cdot 10^{16}$	$4 \cdot 10^{-3}$	3,1

* Нумерация полимеров соответствует нумерации в табл. 1.

В табл. 2 приведены данные о механических и диэлектрических свойствах неориентированных пленок на основе рассматриваемых полимеров. Пленки получены из раствора полимера в хлороформе. Из табл. 2, а также из рис. 1 видно, что полиэфиры имеют хорошие механические и диэлектрические свойства не только при комнатной, но и при повышенных температурах. Следует отметить, что у пленки полиарилата 2,2-бис(4-оксифенил)адамантана и 4,4'-дифенилоксидди-карбоновой кислоты с молекулярной массой 64000, имеющего при комнатной температуре прочность на разрыв ~ 110 МПа, после прогрева до 200°C прочность на разрыв составляет ~ 61 МПа. Прочностные характеристики неориентированных пленок смешанных полиарилатов указывают на зависимость механических свойств этих полимеров от состава полимера.

На рис. 1 приведены данные по температурной зависимости угла диэлектрических потерь ($\tan \delta$) и диэлектрической постоянной (ϵ), из которых видно, что тангенс угла диэлектрических потерь и диэлектри-



ческая постоянная у этих полимеров практически не изменяются от -160 до 240° (для полиарилата на основе 2,2-бис(4-оксифенил)-ада-

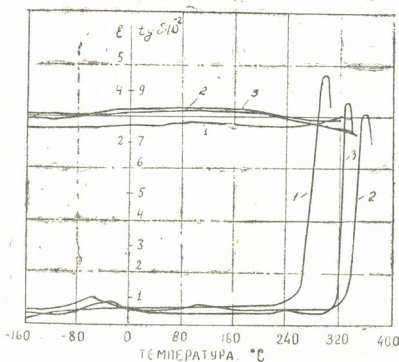


Рис. 1. Зависимость тангенса угла диэлектрических потерь ($\text{tg } \delta$) и диэлектрической постоянной (ϵ) от температуры для: 1 — поликарбоната 2,2-бис(4-оксифенил)адамантана; 2 — полиарилата того же бисфенола и 4,4'-дифенилоксиддикарбоновой кислоты; 3 — смешанного полиарилата на основе того же бисфенола, 2,2-бис(4-оксифенил)пропана и терефталевой кислоты

мантана и 4,4'-дифенилоксиддикарбоновой кислоты $\text{tg } \delta$ составляет $5 \cdot 10^{-3}$, $\epsilon = 3.1$ при температуре 320°C .

Академия наук Грузинской ССР

Институт физической
и органической химии
им. П. Г. Меликишвили

(Поступило 30.12.1982)

ორგანული პიმია

ბ. პაპავა, ლ. გერიძე, ნ. გოლაუბილი, ნ. დოხტორიშვილი,
ვ. გოლოგლაზოვი, ვ. ვოიშჩივი

ადამანტანის კარბული ჯგუფების უმცველი პოლიეთერების
შექმნის და ელექტრული თვისებების გამოყენებულია ბისფენოლები:

2,2-ბი(4-օქსიფენილ)ადამანტანი, 2,2-ბი(3-მეთილ, 4-օქსიფენილ)ადამანტანი,
2,2-ბი(4-օქსიფენილ)პროპანი, ფენოლფტალეინი; მუავურ კომპონენტად ფოს-
ფინი, ტერეფტალის და 4,4'-დიფენილოქსიდდიკარბომეთა დიქლორანდირი-
დები.

დაღვენილია, რომ პოლიმერები ხასიათდებიან კარგი მექანიკური და დი-
ელექტრული თვისებებით ფართო ტემპერატურულ ინტერვალში.

G. Sh. PAPAVA, L. A. BERIDZE, N. S. GELASHVILI,
 N. S. DOKHTURISHVILI, V. A. BELOGLAZOV, V. S. VOISHCHEV

A STUDY OF THE MECHANICAL AND ELECTRIC PROPERTIES
 OF POLYESTERS CONTAINING CARDO-GROUPS OF
 ADAMANTANE

S u m m a r y

A study has been made of the mechanical and electric properties of polycarbonate and homogeneous and mixed polyarylates containing cardo-groups of adamantane.

The following bisphenols have been used for the formation of polymers: 2,2-bis (4-oxyphenyl) adamantane, 2,2-bi (3-methyl, 4-oxyphenyl) adamantane, 2,2-bis(4-oxyphenyl) propane, phenolphthalein; acidic components being represented by phosgene and dichloroanhydrides of terephthalic and 4,4-diphenyl oxydedicarboxylic acids.

The polymers are shown to be characterized by marked mechanical and dielectric properties in a wide range of temperatures.

ლიტერატურა — REFERENCES

1. Г. Ш. Папава, Н. С. Гелашвили, Л. А. Беридзе, П. Д. Цискаришвили. Сообщения АН ГССР, 88, № 3, 1977, 597.
2. Г. Ш. Папава, Л. А. Беридзе, Н. С. Гелашвили, П. Д. Цискаришвили. Изв. АН ГССР, сер. хим., 1, № 3, 1975, 235.
3. Н. С. Гелашвили. Сб. «Исследования в области синтеза и модификации высокомолекулярных соединений». Тбилиси, 1979, 14.



Г. В. ЦИЦИШВИЛИ (академик АН ГССР),
Т. Г. АНДРОНИКАШВИЛИ (член-корреспондент АН ГССР),
В. Г. БЕРЕЗКИН, З. А. ГВЕЛЕСИАНИ

ТЕРМОИОННЫЙ ДЕТЕКТОР НА ОСНОВЕ ОКИСИ УГЛЕРОДА В КАЧЕСТВЕ ПЛАМЯОБРАЗОВАТЕЛЯ

Термоионный детектор (ТИД) со дня изобретения [1] находит широкое применение для определения фосфор-, азот- и серусодержащих соединений.

Использование окиси углерода вместо обычно применяемого водорода в качестве пламяобразующего агента позволяет проводить эксперимент в сравнительно сухих условиях, так как не образуется большое количество воды, имеется возможность работать при пониженных температурах, что резко уменьшает коррозию детектора и утечку тока, особенно при анализе галогенсодержащих органических соединений [2].

ТИД относится к селективным, высокочувствительным детекторам, однако характеризуется некоторыми недостатками, среди которых основным является резкая зависимость выходного сигнала от расходов газов, главным образом водорода, и геометрии самого детектора [3].

Целью настоящего исследования было выявление зависимости основного показателя ТИД — фонового тока (чувствительности) от положения коллекторного и поляризующего электродов по отношению к поверхности солевой насадки, от знака и величины питающего напряжения, от расходов окиси углерода и т. д.

Опыты проводились на детекторе хроматографа серии «Цвет-100». На рис. 1 приведена схема детектора, состоящая из коллекторного электрода (КЭ) в форме цилиндра — 1, солевой насадки — 2, представляющей собой соль щелочного металла (CsBr), запрессованную в виде таблетки. Передвижение поляризующего электрода (ПЭ) — 3 по вертикальной оси осуществлялось с помощью специального приспособления — 4, изготовленного из фторопласта. Положение КЭ изменялось с помощью специальной вставки — 5, изготовленной из нержавеющей стали с внутренней резьбой М 3, вмонтированной в фарфоровый изолятор — 6.

При прикреплении солевой насадки на сопло горелки способом, изображенным на рис. 2, происходило сильное испарение соли, пламя приобретало розовый цвет, а фоновый ток становился выше 10^{-8} А. Заметное отложение соли на поверхности КЭ и на изолирующих материалах вызывало увеличение шума и нестабильности нулевой линии. Это, по-видимому, связано с тем, что соль интенсивно испарялась с внутренней поверхности отверстия и пламя как бы «садилось» на поверхности соли. Поэтому для предупреждения этого явления солевая насадка ввинчивалась так, что поверхность среза сопла совпадала с поверхностью таблетки солевой насадки, как это показано на рис. 3, после чего фоновый ток уменьшался на 2 порядка, достигая величины 10^{-9} — 10^{-10} А. Дальнейшее уменьшение фонового тока можно обеспечить опусканием солевой насадки ниже поверхности среза сопла горелки.

Параметры эксперимента были следующие: расходы газов, окиси углерода — 40 мл/мин, газа-носителя (азота) — 30 мл/мин, воздуха —

400 мл/мин. Колонка, насадочная, из нержавеющей стали, длиной 1 м и внутренним диаметром 4 мм, заполнялась цеолитом NaY зернением 80—100 меш, активированным при температуре 300°C в токе азота в течение 6 часов. Температура колонки 200°C. Все газы до ввода в детектор пропускались через фильтры, заполненные молекулярными ситами.

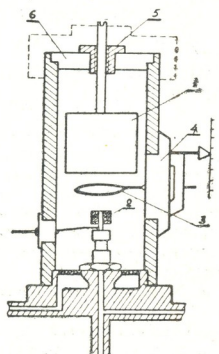


Рис. 1. Блок-схема термоионного детектора

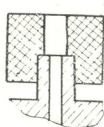


Рис. 2. Схема солевой насадки (вариант 1)

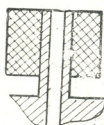


Рис. 3. Схема солевой насадки (вариант 2)

Зависимость фонового тока при разных диаметрах отверстия сопла от высоты ПЭ представлена на рис. 4.

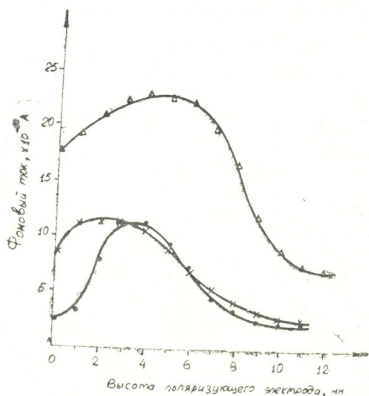


Рис. 4. Зависимость фонового тока от высоты поляризующего электрода, $\triangle \oslash$ сопла 2 мм, $\bullet \oslash$ сопла 1,8 мм, $\times \oslash$ сопла 1,6 мм, расходы газов: CO — 40 мл/мин, газа-носителя — 30 мл/мин, воздуха — 400 мл/мин

Оптимальной величине фонового тока при диаметрах 1, 8 и 2 мм соответствует высота ПЭ, равная 4 мм (уровень поверхности солевой насадки). Экстремальность наиболее характерна для диаметра сопла 1,8 мм.

Влияние высоты КЭ на фоновый ток показано на рис. 5. С увеличением диаметра сопла эта зависимость становится более резко выраженной, так как, по всей вероятности, при увеличении диаметра

сопла высота пламени уменьшается (при одинаковых расходах окиси углерода), что приводит к необходимости более жесткой стабилизации расхода окиси углерода (рис. 6).

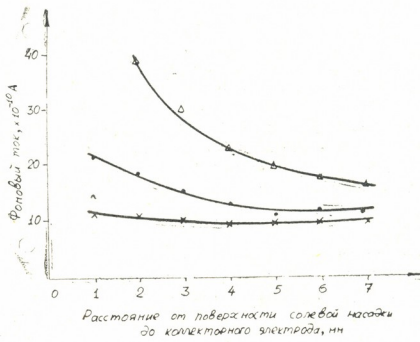


Рис. 5. Зависимость фонового тока от расстояния между коллекторным электродом и поверхностью солевой насадки

Была измерена эффективность ионизации ТИД по отношению к метафосу, которая в среднем равна $4 \cdot 10^{-4}$ Кл/мг. Эта величина близка к литературным данным в случае использования водорода в качестве пламяобразователя [3].

При положительном потенциале на КЭ чувствительность детектора увеличивалась в 1,5—2 раза по сравнению с отрицательным потенциалом.

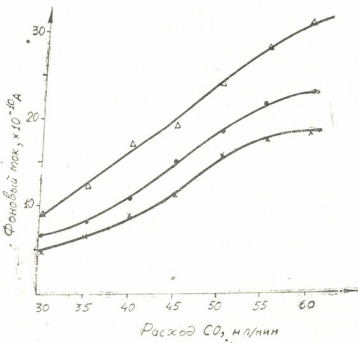


Рис. 6. Зависимость фонового тока от расхода окиси углерода

Напряжение насыщения (плато), как известно, зависит от геометрии детектора, от расстояния сопло — КЭ. В нашем случае при напряжении 40—60 в детектор работал уже в области насыщения.

С помощью зондирования тонкой (0,1 мм) Pt/Pt/R₀ термопарой изучен температурный профиль пламени СО при разных условиях горения. Показано, что градиент температуры пламени по высоте



больше для сопел с большими отверстиями. Температура пламени на расстоянии 3 мм от поверхности солевой насадки достигает своего максимума при расходе воздуха 450—500 мл/мин. На основании вышесказанного можно сделать следующие выводы: в случае использования СО в качестве пламяобразователя в ТИД можно подобрать такое положение солевой насадки, при котором достигается необходимая величина фонового тока. Оптимальное положение коллекторного и поляризующего электродов зависит от геометрии детектора и в нашем случае для ПЭ совпадает с поверхностью солевой насадки, а для КЭ зависит от диаметра сопла. Зависимость фонового тока от расхода СО является менее резкой по сравнению с водородом. При положительном потенциале на коллекторе достигается более высокая чувствительность детектора.

Академия наук Грузинской ССР

Институт физической
и органической химии
им. П. Г. Меликишвили

(Поступило 3.9.1982)

ციციშვილი გიორგი

ვ. ციციშვილი (საქ. სსრ მეცნ. აკად. აკადემიური), თ. ანდრონიკაშვილი (საქ. სსრ მეცნ. აკად. წევრ-კორესპონდენტი), ვ. ბერეზკინი, ჭ. გველიანი
თერმომიკური დეტექტორი ნახშირზანგის საფუძვლზე
ალფარამოდენციალ გამოყენების შემთხვევაში

რეზიუმე

თერმომიკურ დეტექტორში ნახშირზანგის ალფარამოდენციალ გამოყენების დროს შესწავლილი იყო ფონური დენის (მგრძნობიარობის) დამოკიდებულება კოლექტორული და პოლარიზაციის ელექტროდების მდებარეობაზე დეტექტორში, ნახშირზანგის სიჩქარეზე, ელექტრული ველის მიმართულებასა და სიღილეზე.

PHYSICAL CHEMISTRY

G. V. TSITSISHVILI, T. G. ANDRONIKASHVILI, V. G. BEREZKIN,
Z. A. GVELESIANI

THERMIONIC DETECTOR ON THE BASIS OF CARBON MONOXIDE AS A FLAME-FORMING AGENT IN GAS CHROMATOGRAPHY

Summary

Using carbon monoxide as a flame-forming agent in thermionic detector, the dependence of the basic index of the detector-background current (sensitivity) upon the position of collecting and polarizing electrodes, expenditure of carbon monoxide, and direction and magnitude of the electric field was studied.

The highest background current was found to correspond to the position of the polarizing electrode being on the same level with the alkaline metal salt probe. The sensitivity of the detector towards metaphos, amounts up to $4 \cdot 10^{-4}$ coulombs/mg. At positive potential of the collector the sensitivity of the detector is increased 1.5-2 times as compared with the negative potential.

ლიტერატურა — ЛИТЕРАТУРА — REFERENCES

1. A. Karmen, L. Giuffrida. Nature, 201, 1964, 1204.
2. C. B. Baddiel, C. F. Gullius. Chemistry and Industry, 37, 1960, 1154.
3. А. А. Балаухин, Б. Г. Второв, В. И. Калмановский, Л. Ф. Муратова. Сб. «Газовая хроматография», вып. 14. М., 1970, 38—42.

ФИЗИЧЕСКАЯ ХИМИЯ

В. Ю. МИНДИН, С. М. МАЗМИШВИЛИ

ТЕРМОДИНАМИЧЕСКИЙ АНАЛИЗ ВЗАИМОДЕЙСТВИЙ
В СИСТЕМЕ «ДВУОКИСЬ КРЕМНИЯ — УГЛЕРОД» ПРИ
 $1,01 \cdot 10^5$ Па (1 ат)

(Представлено академиком Р. И. Агладзе 9.2.1982)

Система «двуокись кремния — углерод» ввиду своей важности для ферросплавной промышленности подвергалась неоднократному экспериментальному и теоретическому изучению. Последние работы [1, 2] содержат результаты термодинамического анализа для широкого диапазона температур (1000—3000К) и соотношений углерод/кремнезем.

Тем не менее необходимо еще раз вернуться к этому вопросу, т. к. использованный авторами указанных работ подход при большой трудоемкости не дает четкой картины происходящих в системе процессов.

Для исследования нами выбран температурный интервал 1700—3000К, нормальное атмосферное давление, при котором обычно протекают процессы в ферросплавном производстве и отношение углерод/кремнезем от 0 до 10.

Моделью поведения системы принята модель, в которой газообразная фаза подчиняется законам идеальных газов, а конденсированная фаза, если она есть, состоит из несмешивающихся индивидуальных компонентов. Энергия Гиббса этой модели для нормального атмосферного давления определяется выражением

$$G = \sum_{I=1}^n y_I \left(G_I^0 + RT \ln \frac{y_I}{\sum_{I=1}^n y_I} \right) + \sum_{I=n+1}^{n+k} y_I G_I^0, \quad (1)$$

где n — число газообразных компонентов; y_I — число молей I -го компонента; G_I^0 — энергия Гиббса I -го компонента в стандартном состоянии; k — число конденсированных компонентов, образующих конденсированную фазу.

Известно, что истинному равновесию отвечает минимум энергии Гиббса системы, поэтому определение равновесного состава свелось к нахождению такого состава, который дает глобальный минимум (1) при наложении ограничения:

$$\sum_{I=1}^k a_{ij} y_I = b_i, \quad i = 1, \dots, m, \quad (2)$$



где a_{ij} — количество атомов сорта i , входящих в соединение j ; b_j — количество молей атомов сорта i в системе; m — число сортов атомов, составляющих систему.

Очевидно, что достоверность результатов во многом зависит от достоверности термодинамических данных и числа учтенных компонентов. Здесь мы приводим результаты расчета по данным из [3]. Следует подчеркнуть, что использование данных ([3], изд. 2) приводит к заметно отличающимся результатам.

Методика подготовки данных и проведения расчета методом минимизации энергии Гиббса системы изложена в [4].

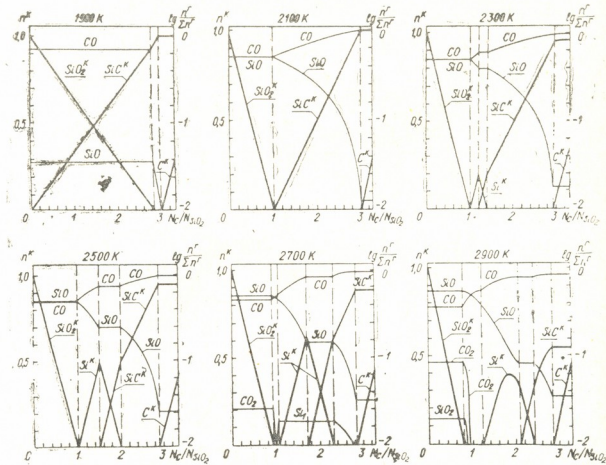


Рис. 1. Зависимость равновесного состава конденсированной и газообразной фаз системы «кремнезем—углерод» при 101 кПа (1 ат) от исходного соотношения углерод/кремнезем N_c/N_{SiO_2} (моль/моль) для различных температур. n^k — число молей конденсированного компонента на 1 моль кремнезема, $\frac{n^r}{\Sigma n^r}$ — мольная доля (парциальное давление) газообразного компонента

Расчеты выполнены на ЭВМ «Наири-К» и «М-222». Равновесные составы газообразной и конденсированной фаз системы «кремнезем—углерод» были определены с шагом по температуре в 50 К и шагом по отношению углерод/кремнезем, равным 0,2.

Для уточнения границ изменения состава конденсированной фазы расчеты велись с уменьшением шага по температуре и составу соответственно до 2 К и 0,01. Общее число точек, в которых были определены равновесные составы — более 900.

Так как в основе алгоритма лежит итеративная процедура, то свидетельством достижения равновесия служило отличие величин энергии Гиббса системы на двух последовательных шагах расчета менее чем на 0,01 %.

Объем статьи позволяет привести малую часть полученного материала, поэтому мы ограничились изотермическими разрезами с шагом в 200 К и диаграммой полей существования конденсированных

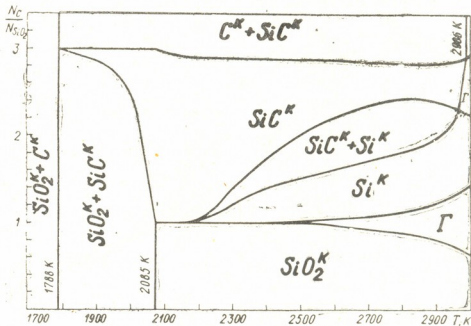


кремнезема, карбида кремния, кремния и углерода в зависимости от температуры и соотношения углерод/кремнезем.

Из анализа результатов расчета (рис. 1, 2) следует, что с момента появления в конденсированной фазе углерода парциальное давление всех газообразных компонентов и качественный состав конденсированной фазы не меняются, поэтому на рисунках построения выполнены в диапазоне $n = N_c/N_{SiO_2} = 0 \div 3,3$.

На рис. 1 приведены данные только для тех газообразных компонентов, парциальное давление которых составляет не менее 1% общего давления газообразной фазы. При температурах до 2700 К — это монооксиды углерода и кремния. С 2700 К и выше давление диоксида углерода превышает указанную границу, а с 2900 К становится заметным давление диоксида кремния. При 3000 К и $n < 1,0$, парциальное давление O_1 и O_2 так же превышает 1% уровень, а при $n > 2,0$ газовая фаза на 99% состоит из CO , SiC_2 , Si_1 , Si_2C , SiO , Si_2 . Для фиксированных отношений углерод/кремнезем с ростом температуры увеличивается парциальное давление монооксида кремния и уменьшается давление монооксида углерода.

Рис. 2. Области существования конденсированных фаз в системе «кремнезем — углерод» в зависимости от температуры и исходного отношения углерод/кремнезем — N_c/N_{SiO_2} (моль/моль). Г — область только газовой фазы



При 1788 К и произвольном n сосуществуют конденсированные кремнезем, углерод, карбид кремния. При 2085 К и $n = 1,0$ сосуществуют SiO_2^h , SiC^h , Si^h . При 2986 К лежит граница существования конденсированного карбида кремния.

Из рис. 2 следует, что имеется значительная область существования конденсированного кремния, причем при 2700 К и $n = 1,7$ его выход достигает 60% от предельно возможного (рис. 1).

Таким образом, расчет равновесного состава методом минимизации энергии Гиббса системы позволяет с точностью, определяемой выбором модели, точностью исходных данных и количеством учтенных компонентов процесса найти фазовый состав системы «двуокись кремния — углерод» и содержание компонентов в конденсированной и газообразной фазах.

3. მინდინი, ს. მაზმიშვილი

„სილიკოზის მრავალი — ნახშირგადის“ სისტემაში
 ურთიერთობების თვრეოდინამიკური ანალიზი $1,01 \cdot 10^5$ პა (1 ატ)
 შემთხვევას

რეზიუმე

$\text{SiO}_2 + n\text{C}$ სისტემაში ჩატარებულია თერმოლინამიკური ანალიზი, როცა
 $0 < n < 10$.

დადგენილია, რომ n და $T=1788\text{K}$ სილიკოზის მიხედვით სისტემა კონდენსირებული ფორმით შეიცავს სილიციუმის ორჟანგს, ნახშირბადს და სილიციუმის კარბიდს, როცა $n > 0$, $T=1788\text{K}$, ხოლო სილიციუმის ორჟანგს, სილიციუმის კარბიდს და სილიციუმს, როცა $n = 1,0$, $T=2085\text{K}$.

როცა $T=2700\text{K}$ და $n=1,7$, სილიციუმის გამოსავალი უდრის 60%.

PHYSICAL CHEMISTRY

V. Yu. MINDIN, S. M. MAZMISHVILI

THERMODYNAMIC ANALYSIS OF INTERACTIONS IN THE
SYSTEM SILICON DIOXIDE-CARBON AT $1.01 \cdot 10^5$ PA (1 AT)

Summary

The title problem was studied and the equilibrium compositions were calculated by the method of minimization of Gibbs' energy of the system. The following points of coexistence of condensed components were found depending on the ratio of the number of carbon moles (N_c) to 1 mole of silicon dioxide in the initial mixture and the temperature.

At $N_c > 0$ and 1788K the condensed phase contains SiO_2 , C and SiC , at $N_c = 1.0$ and 2085K it contains SiO_2 , SiC and Si.

ლიტერატურა — ЛИТЕРАТУРА — REFERENCES

1. И. С. Кулаков. Сб. «Структуры фаз и процессы восстановления элементов в твердых и жидкых системах». М., 1978, 40.
2. А. К. Ашин. Сб. «Структуры фаз и процессы восстановления элементов в твердых и жидкых системах». М., 1978, 59.
3. Л. В. Гурвич, И. В. Вейц, В. А. Медведев и др. Термодинамические свойства индивидуальных веществ. М., 1978.
4. В. Ю. Миндин. Изв. АН ГССР, серия химическая, 4, № 3, 1978, 279.

ФИЗИЧЕСКАЯ ХИМИЯ

Г. Я. ГЕЦАДЗЕ, Н. И. ПИРЦХАЛАВА, В. Л. ЧУМАК

ТЕРМОДИНАМИКА ИОННОЙ МИГРАЦИИ РАСТВОРОВ
БРОМИДОВ ЩЕЛОЧНЫХ МЕТАЛЛОВ И ТЕТРАЭТИЛАММОНИЯ
В СМЕШАННЫХ РАСТВОРИТЕЛЯХ, СОДЕРЖАЩИХ ВОДУ

(Представлено членом-корреспондентом Академии Г. Г. Гвелесиани 30.12.1982)

Смешанные водно-неводные растворители в настоящее время широко применяются в качестве сред для осуществления различных органических и электрохимических синтезов. Кроме того, вода является непременной примесью к аprotонным и особенно протолитическим растворителям, оказывая существенное влияние на термодинамические и кинетические характеристики протекающих в таких растворителях процессов. Это обстоятельство вызывает необходимость количественно характеризовать влияние воды на протекание процессов в неводных растворителях.

В данной работе этот вопрос исследуется на примере влияния воды на термодинамику активации процесса ионной миграции электролитов с возрастающим ионным радиусом катиона — бромидов лития, натрия, калия и тетраэтиламмония в протолитическом растворителе этаноле (EtOH), аprotонном растворителе диметилсульфоксиде (ДМСО) и эквимолекулярной смеси (EtOH —ДМСО), как безводных, так и с добавками воды, доходящими до 10 мол %.

Электропроводность растворов определялась с помощью моста Р-5010 в диапазоне концентраций $1 \cdot 10^{-3}$ — $1 \cdot 10^{-5}$ моль/л и в интервале температур 0—75°C. Первичные экспериментальные данные, приведенные в работах [1—3], обрабатывались по трехпараметровому уравнению Фуосса—Онзагера—Скиннера [4] на ЭВМ ЕС-1050. Термодинамические характеристики активации ионной миграции рассчитывались из полигермических зависимостей свободной энергии ионной миграции $\Delta G_{i_0}^\ddagger$, которая рассчитывалась по уравнению Эйринга [5], модифицированному в работе [6]. Величины энталпий активации ионной миграции $\Delta H_{i_0}^\ddagger$ и вязкого течения ΔH_η^\ddagger сведены в таблицу.

Из таблицы видно, что энталпии миграции и вязкого течения в изученных системах весьма близки.

Таким образом, энергетика ионной миграции в данных системах, характеризующихся полностью ионмиграционным механизмом переноса тока, определяется практически энергетикой вязкого течения.

Методом, предложенным в работе [7], полученные интегральные термодинамические характеристики процесса ионной миграции были разделены на температурные ($\Delta H_{i_0}^\ddagger, T$ и $\Delta S_{i_0}^\ddagger, T$) и диэлектрические составляющие. Поскольку температурные составляющие более адек-



ватно соответствуют физической модели процессов переноса [7], далее будут обсуждаться закономерности влияния растворителя именно на эти термодинамические характеристики процесса ионной миграции.

Энталпии активации ионной миграции $\Delta H_{\lambda_0}^\pm$ и вязкого течения
 ΔH_η^\pm (кДж/моль)

Электро-лит	$\frac{M}{H_2O}$	EtOH		$\frac{M}{H_2O}$	EtOH—DMCO		$\frac{M}{H_2O}$	DMCO	
		$\Delta H_{\lambda_0}^\pm$	ΔH_η^\pm		$\Delta H_{\lambda_0}^\pm$	ΔH_η^\pm		$\Delta H_{\lambda_0}^\pm$	ΔH_η^\pm
LiBr	0	13,76	14,12	0	11,07	13,09	0	12,66	12,99
	1,03	13,95	14,37	1,03	11,12	13,08	1,57	12,66	13,01
	3,36	14,12	14,63	3,30	11,24	13,06	2,75	12,87	13,31
	4,68	14,22	14,77	5,24	11,46	13,18	5,47	12,69	13,19
	8,96	14,55	15,11	7,21	11,56	13,21	9,50	12,75	13,28
NaBr	0	13,77	14,12	0	11,98	13,09	0	12,42	12,99
	0,77	13,91	14,33	1,26	11,99	13,01	1,41	12,51	12,99
	2,61	14,18	14,52	3,30	12,09	13,06	3,30	12,52	13,02
	4,69	14,28	14,77	5,24	12,34	13,18	4,56	12,49	12,99
	9,17	14,34	15,10	9,82	12,65	13,18	7,21	12,75	13,31
KBr	0	13,69	14,12	0	11,92	13,09	0	12,36	12,76
	1,14	13,90	14,39	1,24	11,87	13,05	1,70	12,50	13,02
	3,41	13,99	14,65	3,66	12,15	13,12	2,75	12,47	12,94
	6,50	14,33	15,06	7,21	12,48	13,21	4,33	12,64	13,07
	9,17	14,34	15,10	8,06	12,46	13,20	8,17	22,56	13,14
Et_4NBr	0	13,84	14,12	0	11,32	13,09	0	12,62	12,99
	0,84	13,96	14,29	1,12	11,38	13,04	1,83	12,60	13,01
	2,54	14,24	14,56	3,64	11,76	13,13	2,82	12,43	12,99
	4,68	14,44	14,77	6,00	12,09	13,18	5,00	12,61	13,22
	8,99	14,79	15,11	8,76	12,40	13,19	8,50	12,72	13,08

Сопоставление величин корrigированной электропроводности ($\lambda_{0\eta}$) в безводных растворителях, позволившее рассчитать температурные составляющие термодинамических характеристик ионной миграции в этих системах, показывает, что $\Delta H_{\lambda_0}^\pm, T$ (рис. 1) и $\Delta S_{\lambda_0}^\pm, T$ (рис. 2) закономерно изменяются с изменением диэлектрической проницаемости (ϵ). При этом для изодиэлектрических растворителей наблюдается закономерное уменьшение эндотермичности процесса ионной миграции с увеличением кристаллографического ионного радиуса, что следует связать с закономерным уменьшением эффективного ионного радиуса, связанным с уменьшением степени сольватации в этом ряду. Соответственно этому с повышением кристаллографического радиуса закономерно уменьшается энтропия активации.

Зависимость $\Delta H_{\lambda_0}^\pm, T$ от $\Delta S_{\lambda_0}^\pm, T$ для всех электролитов в изученных безводных растворителях укладывается на одну прямую, аппроксимируемую уравнением

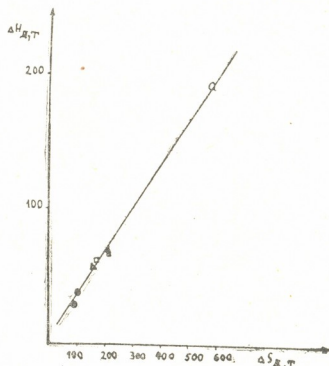
$$\Delta H_{\lambda_0}^\pm, T = 1095 + 424,3 \Delta S_{\lambda_0}^\pm, T \text{ (Дж/моль).} \quad (1)$$

Аналогичным образом были рассчитаны температурные составляющие активации процесса ионной миграции в растворителях с добавками воды.



Сопоставление величин $\Delta H_{\text{d,T}}^{\ddagger}$ для безводных растворителей и растворителей с добавками воды показывает, что в последних резко возрастает эндотермичность процесса ионной миграции (8—9 кДж/моль по сравнению с 2—3 кДж/моль в безводных растворителях). Это обстоятельство естественно объясняется образованием водородных связей между гидратной оболочкой ионов и электронодонорными растворителями и связанной с этим необходимостью дополнительной затраты энергии на разрыв Н-связей в процессе активации ионной миграции. Это объяснение находит подтверждение в существенно более высокой эндоэнтропийности процесса активации ионной миграции (20—25 Дж/моль·град в водных растворителях по сравнению с 1—3 Дж/моль·град в безводных растворителях).

Рис. 1. Зависимость энталпии от энтропии (температурные составляющие) электролитической диссоциации: LiBr (○), NaBr (△), KBr (□) в растворителе этанол-вода, LiBr (◎), NaBr (▲), KBr (■), Et₄NBr (●) в растворителе этанол-ДМСО (1:1)-вода



зей между гидратной оболочкой ионов и электронодонорными растворителями и связанной с этим необходимостью дополнительной затраты энергии на разрыв Н-связей в процессе активации ионной миграции. Это объяснение находит подтверждение в существенно более высокой эндоэнтропийности процесса активации ионной миграции (20—25 Дж/моль·град в водных растворителях по сравнению с 1—3 Дж/моль·град в безводных растворителях).

Тбилисский государственный
университет

Научно-производственное
объединение
«ИСАРИ»

Киевский политехнический
институт

(Поступило 30.12.1982)

ЗОИЧИКШИ 8080

8. 807280, 6. 807320, 8. 808280

ტერმინური გადაღების და ტერმინური გადაღების ხსნარების
იმპუნი მიზრაციის თაროვადინამიკა ყელის შემცველ გერმულ
გამხსელი გვ. 0—75°C ტემპერატურულ ინტერვალებში. ენთალპიის და ენტროპიის

რეზოუ მე

შესწავლით, LiBr, NaBr, KBr და Et₄NBr იონური მიგრაციის ექტივაციის თერმოდინამიკა ეთანოლში (EtOH), დიმეთილსულფონიქსილში (DMCO) და მათ ეკვიმოლებულარულ ნარევში (EtOH-DMCO), წყლის დამატებით 10 მოლ %-შე, 0—75°C ტემპერატურულ ინტერვალებში. ენთალპიის და ენტროპიის



ტემპერატურული მდგრელების დამოკიდებულება სწორხაზოვანია. ამ დაძმა-
კილებულებისათვის მიღებულია აპროქსიმაციული განტოლება.

PHYSICAL CHEMISTRY

G. I. GETSADZE, N. I. PIRTSKHALAVA, V. L. CHUMAK

THERMODYNAMICS OF IONIC MIGRATION OF ALKALI METALS AND TETRAETHYLMONIUM BROMIDES IN MIXED SOLVENTS CONTAINING WATER

Summary

Thermodynamics of the activation of ionic migration of LiBr, NaBr, KBr and Et₄NBr in ethanol, dimethylsulfoxide and their equimolecular mixture, adding water up to 10 mol. %, in the temperature range of 0-75°C has been studied. The enthalpy, entropy and their temperature and dielectric components are estimated. The dependence of temperature components of enthalpy and entropy is linear. An approximative equation has been derived for this dependence.

ЛІТЕРАТУРА — REFERENCES

1. Н. И. Пирцхалава, Т. Н. Иванов, Г. Я. Гецадзе, В. Л. Чумак. Влияние добавок воды к этанолу на электропроводность бромидов щелочных металлов и тетраэтиламмония (деп. ОНИИТЭХим, Черкассы, № 395 хп-Д81, 1981).
2. Г. Я. Гецадзе, Н. И. Пирцхалава, Т. Н. Иванов, В. Л. Чумак. Влияние состава растворителя на электропроводность бромидов щелочных металлов и тетраэтиламмония (деп. ОНИИТЭХим, Черкассы, № 396 хп-Д81, 1981).
3. Н. И. Пирцхалава, Т. Н. Иванов, Г. Я. Гецадзе, В. Л. Чумак. Влияние добавок воды к двойному смешанному растворителю этанол-диметилсульфоксид на электропроводность бромидов щелочных металлов и тетраэтиламмония (деп. ОНИИТЭХим, Черкассы, № 397 хп-Д81, 1981).
4. R. M. Fuoss, L. Onsager, I. F. Skinner. J. Phys. Chem. 69, 1965, 2581.
5. С. Глестон, К. Лейблер, Г. Эйринг. Теория абсолютных скоростей реакции. М., 1948.
6. А. Н. Житомирский, В. Н. Эйчис. Укр. хим. ж., 41, 1975, 237.
7. Ю. Я. Фиалков, В. Л. Чумак, А. А. Квитка, В. П. Ковалевская. ЖФХ, 54, 1980, 1829.

ФИЗИЧЕСКАЯ ХИМИЯ

М. И. БУЛЕИШВИЛИ, В. Л. ЧУМАК

ТЕРМОДИНАМИКА АКТИВАЦИИ ИОННОЙ МИГРАЦИИ
НИТРОФЕНОЛОВ В ДВОЙНЫХ СМЕШАННЫХ РАСТВОРИТЕЛЯХ

(Представлено членом-корреспондентом Академии Т. Г. Андроникашвили 30.3.1983)

Существование двух механизмов переноса тока — миграционного и прототропного — в растворах Н-кислот в протолитических растворителях является давно установленным фактом [1]. Изменение состава двойного смешанного растворителя, в которых хотя бы один из компонентов способен к протолитическому равновесию, должно вести к изменению относительного вклада каждого из перечисленных механизмов тока и, следовательно, к изменению термодинамических характеристик активации процесса ионной миграции. Однако количественно влияние химических и физических свойств смешанного растворителя на термодинамику активаций ионной миграции в таких системах практически не исследовано.

Для изучения ряда аспектов данной проблемы в этой работе со-
поставляются энталпии ($\Delta H_{\lambda_0}^{\pm}$) и энтропии ($\Delta S_{\lambda_0}^{\pm}$) процесса акти-
вации ионной миграции 2,4-динитро- и 2,4,6-тринитрофенола в двойных смешанных растворителях, образованных двумя протолитическими компонентами (и-пропанол-вода), протолитическим и аprotонным компонентами (ДМСО-вода) и двумя аprotонными компонентами (ДМСО-пиридин). Подбор компонентов смешанных растворителей позволяет варьировать в широком интервале диэлектрическую прони-
цаемость (ϵ).

Методика и первичные экспериментальные данные кондуктометрического эксперимента приведены в работах [2, 3]. Расчет свободной энергии ионной миграции проводился по уравнению

$$\Delta G_{\lambda_0}^{\pm} = 19,1445 T (2,7366 - \lg \lambda_0 - 2/3 \lg \Theta). \quad (1)$$

Величины $\Delta H_{\lambda_0}^{\pm}$ и $\Delta S_{\lambda_0}^{\pm}$ находились из полигермических зависимостей $\Delta G_{\lambda_0}^{\pm}$.

Величины корректированной электропроводности $\lambda_0 \eta$ во всех изученных системах изменяются с составом смешанного растворителя, при этом зависимость $\ln \lambda_0 \eta = 1/\epsilon$ в растворителях с конкурентной сольватацией криволинейна, а в растворителях с практически постоянной энергией сольватации (условно-универсальные среды) прямолинейны в соответствии с представлениями о влиянии ϵ на величину корректированной электропроводности [4].

На рис. I в качестве примера приводится зависимость $\ln \lambda_0 \eta = 1/\epsilon$ для некоторых из изученных систем.

Методом, описанным в работе [5], было проведено разделение интегральных величин энталпии и энтропии ионной миграции на температурные составляющие:

$$\Delta H_{\lambda_0, T}^{\pm} = \Delta H_{\text{интегр.}}^{\pm} - \Delta H_{\epsilon},$$

$$-\Delta S_{\lambda_0, T}^{\pm} = (\Delta G_{\lambda_0}^{\pm} - \Delta H_{\lambda_0, T}^{\pm})/T.$$

Величины $\Delta H_{\lambda_0, T}^{\pm}$ обнаруживают четкую зависимость от диэлектрической проницаемости. На рис. 2а приводится зависимость $\Delta H_{\lambda_0, T}^{\pm} - 1/e$ для изученных систем.

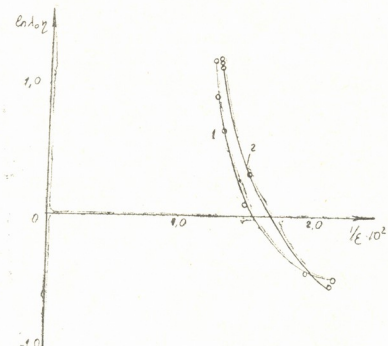
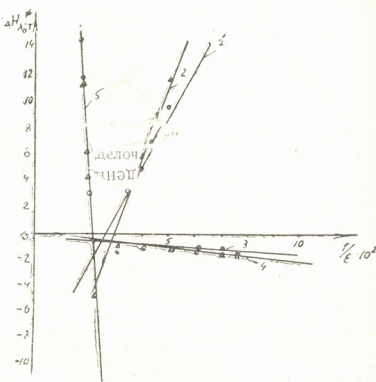


Рис. 1. Зависимость корректированной предельной эквивалентной электропроводности от величины обратной диэлектрической проницаемости в системе ДМСО-вода. 1 — 2,4-динитрофенол, 2 — 2,4,6-тринитрофенол

Как видно из примеров, приведенных на рис. 2а, а также из данных по расчету величин $\Delta H_{\lambda_0, T}^{\pm}$ для других систем, процесс ионной миграции эндотермичен в протолитических растворителях и экзотер-

Рис. 2а. Зависимость $\Delta H_{\lambda_0, T}^{\pm}$ от величины обратной диэлектрической проницаемости для растворов 2,4-динитрофенола (1,3,5) и 2,4,6-тринитрофено-ла (2,4,5) в двойных смешанных растворителях: 1,2 — *n*-пропанол—вода, 3,4—ДМСО-пиридин, 5 — ДМСО-вода.



мичен в аprotонном растворителе ДМСО-пиридин. Это обстоятельство естественно объясняется необходимостью разрушения сольватного комплекса, предшествующего тоннельному переходу протона в процессе прототропной миграции протона.

Следует отметить, что изменение соотношения между эстафетным и миграционным механизмами переноса протона четко проявляется на зависимости $\Delta H_{\lambda_0, T}^{\pm}$ от $1/e$. Так, рост содержания воды в пропаноле облегчает прототропный механизм переноса протона, что сказывается в уменьшении величины $\Delta H_{\lambda_0, T}^{\pm}$. Аналогичным образом изменяется

соотношение между прототропным и миграционным механизмом в системе H_2O —ДМСО при увеличении в смеси содержания ДМСО.

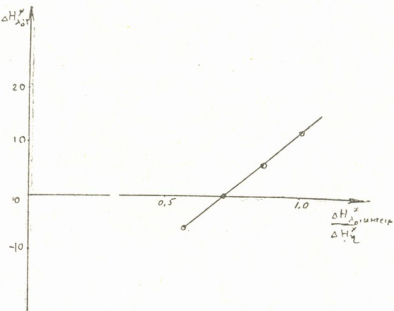
В протолитических растворителях обнаруживается четкая корреляция между соотносительным вкладом ион-миграционного и прототропного переноса тока протоном и величинами $\Delta H_{\lambda_0}^{\pm}, T$. На рис. 2,б приведена зависимость $\Delta H_{\lambda_0}^{\pm}, T$ пикриновой кислоты от отношения

Рис. 2,б. Зависимость $\Delta H_{\lambda_0}^{\pm}, T$

$\frac{\Delta H_{\lambda_0}^{\pm}}{\Delta H_{\eta}}$, интегр.

для растворов 2,4,6-тринитрофенола в системе

н-пропанол — вода



$\frac{\Delta H_{\lambda_0}^{\pm}}{\Delta H_{\eta}}$, интегр. Последняя величина является мерой соотносительного вклада обоих механизмов в общий перенос тока [6]. Как видно из рисунка, эндотермичность процесса ионной миграции закономерно повыш-

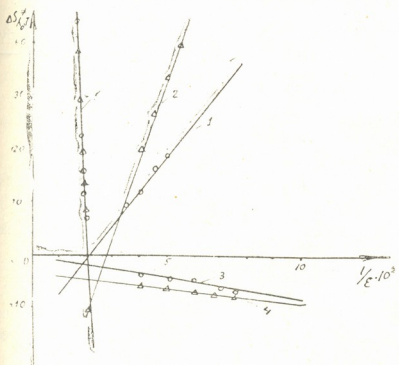


Рис. 3. Зависимость $\Delta S_{\lambda_0}^{\pm}, T$ от величины обратной диэлектрической проницаемости для растворов 2,4-динитрофенола (1,3,5) и 2,4,6-тринитрофенола в двойных смешанных растворителях 1,2-н-пропанол-вода, 3,4 — ДМСО-пирдин, 5 — ДМСО

шается с увеличением отношения $\frac{\Delta H_{\lambda_0}^{\pm}, \text{интегр.}}{\Delta H_{\eta}}$, т. е. увеличение соотносительного вклада ионмиграционного механизма приводит к адекватному повышению величины $\Delta H_{\lambda_0}^{\pm}, T$.

Зависимости $\Delta S_{\lambda_0}^{\pm}, T - 1/e$ во всех изученных системах также прямолинейны. В качестве примера на рис. 3 приводятся эти зависимости для некоторых из изученных систем. Допущения [7, 8], сделанные при выводе уравнения (1), лишают возможности обсуждать знак величи-



ны $\Delta S_{i_0}^\pm$, т, поэтому можно говорить только о тенденции изменения $\Delta S_{i_0}^\pm$ с изменением диэлектрической проницаемости. Повышение этой величины с уменьшением ϵ связано с возрастанием неупорядоченности активированного состояния по сравнению с равновесным, что обусловлено увеличением энергии ион-ионного взаимодействия при падении ϵ .

Зависимости $\Delta H_{i_0}^\pm$, т- $\Delta S_{i_0}^\pm$, т для всех изученных систем с НРи укладываются на одну прямую, аппроксимирующуюся уравнением:

$$\Delta H_{i_0}^\pm = 0,6621 + 0,3124 \Delta S_{i_0}^\pm \text{ (кДж/моль.)},$$

указывая на единую природу переноса тока в этих системах.

Величины $\Delta H_{i_0}^\pm$, т и $\Delta S_{i_0}^\pm$, т для растворов динитрофенолов незначительно изменяются с составом растворителя, что не позволяет установить наличие корреляции между ними.

Киевский политехнический
институт

Научно-производственное
объединение «ИСАРИ»

(Поступило 31.3.1983)

ЧОЛОНІЧНІ СІВОВІ

а. ზულევიანი, ვ. ჩუმაკ

БІОТРІОЗЕБОЛЛЕბის იონური გიგრაციის პარამეტრების
თვრების გამოყენებისა მრავალ შერხეულ გამხსელებული

რეზიუმე

შესწავლით 2,4-დინიტრო და 2,4,6-ტრინიტროფენოლის შერეულ გამხსელებული იონური გიგრაციის პროცესის თერმოდინამიკურ მახასიათებლებზე უკავშირდებოდების ფიზიკურ-ქიმიური თვისებების გავლენა.

PHYSICAL CHEMISTRY

M. I. BULEISHVILI, V. L. CHUMAK

THERMODYNAMICS OF THE ACTIVATION OF IONIC MIGRATION OF NITROPHENOLS IN DOUBLE MIXED SOLVENTS

Summary

The effect of the physico-chemical properties of double mixed solvents on the thermodynamic characteristics of the activation of ionic migration of 2, 4, 6 dinitrophenol and 2, 4, 6 trinitrophenol in mixed solvents has been studied.

ЛІТЕРАТУРА — REFERENCES

1. Т. Эрдей-Груз. Явления переноса в водных растворах. М., 1976, 329.
2. М. И. Булейшвили, Т. Н. Иванов, В. Л. Чумак. Электропроводность пикриновой кислоты в двойных смешанных растворителях (деп. ОНИИТЭХим, Черкассы, № 381 хп-Д81, 1981).
3. М. И. Булейшвили, Т. Н. Иванов, В. Л. Чумак. Электропроводность 2,4-динитрофенола в двойных смешанных растворителях (деп. ОНИИТЭХим, Черкассы, № 382 хп-Д81, 1981).
4. Ю. Я. Фиалков, А. Н. Житомирский, Ю. А. Тарасенко. Физическая химия неводных растворов. Л., 1973.
5. Ю. Я. Фиалков, В. Л. Чумак, А. А. Квитка, В. П. Ковалевская Ж. физ. химии, 54, 1980, 1829.
6. А. В. Измайлова. Ж. физ. химии, 30, № 11, 1956, 2599.
7. С. Глестон, К. Лейблер. Теория абсолютных скоростей реакций. М., 1948, 585.
8. А. Н. Житомирский, В. Н. Эйчис. Укр. хим. ж., 41, 1975, 237.



ГЕОЛОГИЯ

Л. Р. ЦИРЕКИДЗЕ

ФОРАМИНИФЕРЫ ИЗ УРГОНСКОЙ ФАЦИИ ОКРИБЫ

(Представлено академиком А. Л. Цагарели 8.6.1982)

В нижнемеловых отложениях Окрибы широко распространены известняки ургонской фации, которые везде создают высокие карнизы и глубокие каньоны и образуют почти непрерывное кольцо вокруг куполовидного поднятия Окрибы.

Ургонская фация представлена массивными или толстослоистыми кристаллическими и органогенно-обломочными известняками с фауной рудистов и экзогир. Мощность этих отложений сильно изменчива, увеличиваясь с юга на север от 20—30 м до 300—350 м.

Ургонские известняки изучались многими исследователями прошлого столетия и были отнесены к баррему. Более детально ургонские известняки Окрибы и смежных регионов были изучены А. И. Джанелидзе [1] и М. С. Эристави [2], которые указали на все характерные черты ургонской фации и отнесли их к нижнему баррему. Дальнейшие исследования Э. В. Котетишвили [3] привели к выводу, что ургонские известняки Окрибы и смежных регионов имеют возраст верхний готерив-нижняя часть нижнего баррема. Границы ургонской фации не синхронны в различных разрезах, и иногда кровля ургона достигает границы нижний/верхний баррем или поднимается еще выше, никогда не достигая границы баррем/апт.

Ургонские известняки Окрибы расположены на слоистых доломитизированных известняках нижнего готерива, датируемых по кораллам и брахиоподам, а в восходящем разрезе согласно сменяются слоистыми слабоглинистыми известняками с аммонитами нижнего баррема.

Ургон богат ископаемыми остатками, но их сохранность весьма неудовлетворительна. Здесь встречаются рудисты, кораллы, раковины двустворок, брахиоподы и множество микроорганизмов. Извлечь эти остатки из известняков очень затруднительно из-за плотности пород. Рудисты встречаются часто, но из-за плохой сохранности определить их точно невозможно. Среди брахиопод, которые не так обильны, определены как готеривские, так и нижнебарремские виды. Кораллы более многочисленны и, по данным Г. Я. Сихарулидзе [4], ургонскую фацию Окрибы по этим ископаемым можно отнести к готериву.

Из микроорганизмов, которые обильно представлены в ургонских известняках Окрибы, особого внимания заслуживают мелкие фораминиферы. Они не являются породообразующими организмами, несмотря на их широкое распространение. Фораминиферы изучены в шлифах, так как отмыть их из плотных известняков не удалось. Сечения их раковин встречаются в большинстве шлифов, где они иногда образуют массовое скопление отдельных видов и родов. Однако неудовлетвори-



тельная сохранность раковин позволила определить в основном их родовую принадлежность. Кроме фораминифер, в шлифах обнаружены остатки водорослей, мшанок, иглокожих, гастропод и остракод.

В окр. г. Кутаиси, у подножья развалин храма Баграти, ургонские известняки переполнены фораминиферами, среди которых определены: *Textularia* sp., *Gaudryina* sp., *Ammobaculites* sp., *Trocholina* sp., *Bigerinina* sp. Кроме них, в меньшем количестве встречаются четырех- и пятикамерные планктонные формы *Globuligerina* sp. и *Hedbergella* sp. Особен но многочисленны представители родов из семейства *Miliolidae*. Среди них выделяется *Quinqueloculina* sp., различные сечения которой встречаются почти в каждом шлифе. Более редки представители родов *Triloculina* sp. и *Pyrgo* sp. Единичными экземплярами представлены орбитолины, среди которых определен *Orbitolinopsis* sp. Также редки представители *Pseudotextulariella* sp.

В разрезе ущ. р. Цкалцита встречается вышеуказанный родовой состав фораминифер. Кроме них, здесь появляются *Spiroplectammina* sp., *Paracoskinolina* sp., *spirillina* sp. В шлифах обнаружены также остатки хететид, мшанок, иглокожих, водорослей. Из последних определены представители родов *Actinoporella* sp., *Salpingoporella* sp., *Likanella* sp.

Разнообразная ассоциация фораминифер обнаружена в ургонских известняках окр. с. Кумистави, где определены *Textularia* sp., *Pseudotextulariella* sp., *Quinqueloculina* sp., *Lenticulina* sp., *Nodosaria* sp., *Gyroidina* sp., а также остатки мшанок, иглокожих и водорослей. Из водорослей определены *Salpingoporella muehlbergii* (Lorenz), характерная форма для ургонских известняков Западной Европы, а также *Macroporella* sp., *Cylindroporella* sp. Единичные представители вышеотмеченных родов встречаются также в разрезах окр сс. Гелавери и Рондиши.

Таким образом, в ургонских известняках данного района в основном встречаются представители семейств *Ammodiscidae*, *Lituolidae*, *Textulariidae*, *Ataxophragmidae*, *Orbitolinidae*, *Discorbidae*, *Anomalinidae*, *Globotruncanidae*, *Favusellidae*, *Spirillinidae*.

В составе данной ассоциации фораминифер особенно многочисленны представители семейства *Miliolidae*, которые во всех шлифах преобладают и создают основной фон микрофауны. Что касается семейства *Orbitolinidae*, которое в мелководных фациях Средиземноморской палеозоогеографической области является руководящим и часто породообразующим, в ургонской фации Окрибы оно играет весьма незначительную роль.

Впервые из ургонских известняков Грузии определены водоросли, которые в шлифах обнаружены в большом количестве. Они в основном относятся к семейству *Dasicladacea* (зеленые водоросли), и представители родов *Salpingoporella*, *Macroporella*, *Pianella* являются характерными и часто породообразующими для ургонских известняков многих регионов Западной Европы.

Как видно из вышеизложенного, ургонские известняки Окрибы очень богаты представителями микрофораминифер, но выделить видовой характерный комплекс фораминифер невозможно из-за неопределенности сечений раковин до вида.

На данном этапе исследования определен только родовой характерный комплекс фораминифер, который везде очень сходен. Весьма близкие ассоциации микрофауны встречаются в ургонских известняках южной и восточной периферий Дзириульского массива и южного крыла Рачинско-Лечхумской синклиналии, где в целом определены: *Textularia* sp., *Gaudryina* sp., *Trocholina* sp., *Quinqueloculina* sp., *Orbitolinopsis* sp., *Dictioconus* sp., *Gyroidina* sp., *Globuligerina* sp., гастроподы, мшанки; из водорослей определены *Salpingoporella muehlbergii* (Lorenz), *Cylindroporella* sp., *Actinoporella* sp., *Acicularia* sp. Сходный родовой комплекс фораминифер указан также в ургонских известняках Советских Карпат в пределах Мармарошской зоны утесов [5], в нижне-неокомско-барремских известняках Мизийской платформы Румынии [6], а также в барремских известняках Воконтской впадины Юга Франции [7] и в ургонских известняках барремско-нижеаптского возраста окрестностей г. Женевы [8].

Академия наук Грузинской ССР

Геологический институт

и. А. И. Джанелиձ

(Поступило 18.6.1982)

გმოღოზია

ლ. ცირეკიძე

ურგონიული ფორამინიფერების მატრიცის ურგონული ფორამინიფერები

რაზი უნდა

ურგონიულ ფორამინიფერების მატრიცის ურგონული ფორამინიფერები ასოციაცია, რომელიც შლიფებშია შესწავლილი. განსაკუთრებით მრავალრიცხვანია *Miliolidae* ოჯახის წარმომადგენლები. გამოყოფილია ფორამინიფერების დამახასიათებელი გვარებობრივი კომპლექსი, რომელიც გაიღვენება საქართველოს სხვა რაიონების, საბჭოთა კარპატებისა და დასავლეთ ევროპის ზოგიერთი ქვეყნის ურგონულ კირქვებში.

GEOLOGY

L. R. TSIREKIDZE

FORAMINIFERS FROM THE URGONIAN OF OKRIBA

Summary

A rich association of microforaminifers is found in the Urgonian limestones, which has been studied in thin sections. Most numerous among them are the representatives of the family Miliolidae. A characteristic complex of genera is distinguished, being traceable in Urgonian limestones of other regions of Georgia, of the Soviet Carpathian Mountains, and of certain West-European countries.



СОТОЧЕНОСТІ — ЛІТЕРАТУРА — REFERENCES

1. А. И. Джанелидзе. Геологические наблюдения в Окрибе и смежных частях Рачи и Лечхуми. Тбилиси, 1940.
2. М. С. Эристави. Нижний мел Кавказа и Крыма. Монографии, № 10, 1960.
3. Е. Kotetischvili. Geobios, mémoire spécial n. 3, Lyon, 1979.
4. G. Sikharulidze. Geobios, mémoire spécial n. 3, Lyon, 1979.
5. Ургонские отложения Советских Карпат. М., 1980.
6. I. Costea. Neues Jahrb. für Geol. und Paläont. Abh. B. 146, N. 1, 1974.
7. M. Moullade Doc. Labo. Geol. Fac. Sci. Lyon, n. 15, 1966.
8. M. A. Conrad. Eclog. geol. Helv., vol. 62, n. 1, 1969.

СТРОИТЕЛЬНАЯ МЕХАНИКА

Г. В. ШЕРАДЗЕ

УСТОЙЧИВОСТЬ ШАРНИРНО-ОПЕРТОГО СТЕРЖНЯ
 С УПРУГИМИ ВЕРТИКАЛЬНЫМИ ОПОРАМИ, СЖАТОГО
 СИЛАМИ СОБСТВЕННОГО ВЕСА

(Представлено членом-корреспондентом Академии Ш. Г. Напетваридзе 2.9.1982)

Если концы стержня закреплены от продольных и поперечных перемещений, то от действия собственного веса верхняя часть растягивается, а нижняя сжимается. При этом возникают реактивные силы V_a и V_b (см. рис. 1), создающие изгибающий момент в слегка изогнутом состоянии стержня, в дополнение к основному изгибу, вызванному собственным весом. Решив элементарную задачу сопротивления материалов в целях определения этих реакций, находим

$$V_a = \frac{ql + \frac{2}{\alpha_b} EFq}{2 \left(\frac{EF}{l\alpha_a} + \frac{EF}{l\alpha_b} + 1 \right)},$$

$$V_b = \frac{ql + \frac{2}{\alpha_a} EFq}{2 \left(\frac{EF}{l\alpha_a} + \frac{EF}{l\alpha_b} + 1 \right)}, \quad (1)$$

где q — интенсивность распределенной нагрузки; α_a и α_b — жесткости верхней и нижней опор; l — длина стержня; F — площадь его поперечного сечения; E — модуль упругости.

Дифференциальное уравнение изогнутой оси стержня имеет следующий безразмерный вид:

$$y^{IV} + a(k - \xi)y'' - ay' = 0, \quad (2)$$

где $\xi = \frac{x}{l}$; $k = \frac{V_b}{ql}$; $a = \frac{ql^3}{EI}$ — безразмерные величины. Общее решение уравнения (2) выражается в специальных функциях [1]

$$y = \frac{2}{3a} A_1 \int S_{0,1/3}(z) dz + \frac{1}{\sqrt{a}} A_2 \int I_{1/3}(z) dz +$$

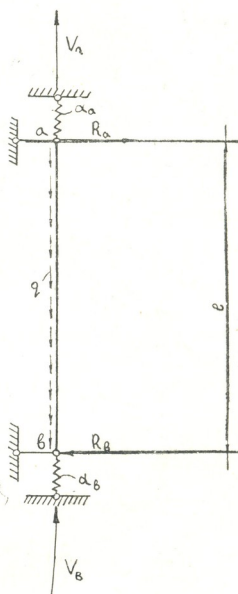


Рис. 1

$$+ \frac{1}{\sqrt{a}} A_3 \int I_{-1/3}(z) dz + A_4, \quad (3)$$

где A_1, A_2, \dots, A_4 —постоянные интегрирования: $I_{\pm 1/3}(z)$ —функция Бесселя индексов $\pm \frac{1}{3}$; $S_{0,1/3}(z)$ —функция Ломмеля индексов 0, $\frac{1}{3}$, а z определяется равенством

$$z = \frac{2}{3} \sqrt{a} (k - \xi)^{3/2}. \quad (4)$$

Заметим, что значение аргумента специальных функций (4) зависит от параметра k , который является безразмерной длиной сжатой части стержня и в зависимости от жесткостей α_a и α_b находится в интервале $0 \leq k \leq 1$. Принимая во внимание вышесказанное, подсчитаем значение аргумента (4) на концах интервала $\xi = 0, 1$. при $x = 0$: $\xi = 0$ и

$$z_{\xi=0} = \frac{2}{3} \sqrt{a} (k - \xi)_{\xi=0}^{3/2} = \frac{2}{3} \sqrt{a} k^{3/2} = z_0 \quad (5)$$

при $x = l$: $\xi = 1$ и

$$z_{\xi=1} = \frac{2}{3} \sqrt{a} (k - 1)_{\xi=1}^{3/2} = i \frac{2}{3} \sqrt{a} (1 - k)^{3/2} = iz_1. \quad (6)$$

Как видно, на концах стержня при $\xi = 0$, функции в полученном решении (3) будут иметь действительный аргумент, а при $\xi = 1$ (так как $0 \leq k \leq 1$) — чисто мнимый.

Границные условия поставленной задачи (см. рис. 1) имеют следующий вид:

$$\begin{aligned} \text{при } x = 0, \quad \xi = 0: \quad y = 0, \quad y'' = 0, \\ \text{при } x = l, \quad \xi = 1: \quad y = 0, \quad y'' = 0. \end{aligned} \quad (7)$$

Подчинив условиям (7), решение (3) и выражение его второй производной [1], после элементарных тождественных преобразований и сокращений запишем условие устойчивости стержня:

$$\left| \begin{array}{ccc|c} \int S_{0,1/3}(z_0) dz_0 & \int I_{1/3}(z_0) dz_0 & \int I_{-1/3}(z_0) dz_0 & 1 \\ -\frac{2}{3} S_{-1,-2/3}(z_0) & I_{-2/3}(z_0) & -I_{2/3}(z_0) & 0 \\ \hline \int S_{0,1/3}(iz_1) d(iz_1) & \int I_{1/3}(iz_1) d(iz_1) & \int I_{-1/3}(iz_1) d(iz_1) & 1 \\ -\frac{2}{3} S_{-1,-2/3}(iz_1) & I_{-2/3}(iz_1) & -I_{2/3}(iz_1) & 0 \end{array} \right| = 0.$$

Функции, входящие в выражение определителя устойчивости, в основном табулированы [2], а нетабулированные функции разложены в бесконечные степенные ряды [3]. Критические соотношения безразмер-



ных параметров k и a определялись на ЭВМ БЭСМ-6. Результаты сче-
та приведены в таблице.

k	a	k	a	k	a	k	a
1,000	18,533	0,750	32,486	0,500	83,152	0,250	475,508
0,975	19,431	0,725	34,931	0,475	94,295	0,225	648,603
0,950	20,371	0,700	37,710	0,450	107,723	0,200	1278,834
0,925	21,401	0,675	40,885	0,425	124,067	0,175	1895,743
0,900	22,532	0,650	44,530	0,400	144,190	0,150	3010,370
0,875	23,779	0,625	48,736	0,375	169,307	0,125	4115,443
0,850	25,160	0,600	53,614	0,350	201,156	0,100	10160,000
0,825	26,694	0,575	59,302	0,325	242,290	0,075	24082,961
0,800	28,406	0,550	65,968	0,300	296,583	0,050	81280,000
0,775	30,325	0,525	73,827	0,275	370,215	0,025	650240,000
						0,000	∞

Академия наук Грузинской ССР

Институт строительной
механики и сейсмостойкости

им. К. С. Завриева

(Поступило 2.9.1982)

სამუშაოს მინისტრი

გ. შერაძე

სახსრულად ჩამაგრებული ღრევადი ვერტიკალური საყრდენის
მქონე ღრერთს მდგრადობა საკუთარი წონის მოქმედებისას (თანაბრად განაწილებული დატვირთვა). მიღებულია ამ დატვირთვის კრიტიკული სიღილეები ღრევადი საყრდენების სიხისტეების სხვადასხვა მნიშვნელობისათვის.

რეზიუმე

განხილულია სტატიკურად ურკვევი ღრევადი ვერტიკალური საყრდენების მქონე ღრერთს მდგრადობა საკუთარი წონის მოქმედებისას (თანაბრად განაწილებული დატვირთვა). მიღებულია ამ დატვირთვის კრიტიკული სიღილეები ღრევადი საყრდენების სიხისტეების სხვადასხვა მნიშვნელობისათვის.

STRUCTURAL MECHANICS

G. V. SHERADZE

STABILITY OF A HINGE-SUPPORTED COLUMN WITH ELASTIC VERTICAL SUPPORTS COMPRESSED BY THE FORCES OF DEAD WEIGHT

S u m m a r y

The stability of a statically indeterminate column with elastic vertical supports under dead weight action (uniformly distributed load) is considered. Critical values of this load under different rigidities of the elastic supports are obtained.

ლიტერატურა — ЛИТЕРАТУРА — REFERENCES

1. Р. Р. Матевосян. Сб. «Статика и динамика сложных строительных конструкций». Л., 1982.
2. Таблицы функций Бесселя дробного индекса. М., 1959, т. 1, 2.
3. Г. Н. Ватсон. Теория бесселевых функций, ч. I. М., 1949.

СТРОИТЕЛЬНАЯ МЕХАНИКА

З. И. БЕРОДЗЕ, М. О. КОБАХИДЗЕ

ЭКСПЕРИМЕНТАЛЬНОЕ ИЗУЧЕНИЕ КОЛЕБАНИЙ
ФУНДАМЕНТОВ, РАСПОЛОЖЕННЫХ НА УПРУГОМ
ОСНОВАНИИ И ЗАГЛУБЛЕННЫХ В ГРУНТЕ

(Представлено членом-корреспондентом Академии Ш. Г. Напетваридзе 2.9.1982)

Теоретическое и экспериментальное изучение колебаний фундаментов, расположенных на упругом основании и заглубленных в грунте, имеет особенно большое значение при проектировании фундаментов под оборудование, в процессе работы которого возникают значительные динамические силы.

Для сохранности зданий и сооружений, а также оборудования, установленного в них, необходимо знать их перемещения, скорости и ускорения при воздействии ударных и вибрационных нагрузок. Новые, все возрастающие запросы практики требуют разработки достаточно надежной теории динамического расчета (как по упругой, так и по предельной стадиям) сооружений, заглубленных в грунт [1].

В работе [1] рассматриваются колебания фундаментов разной формы, лежащих на упругом основании и заглубленных в грунт при воздействии динамических нагрузок, с учетом упругой стадии работы грунта. Приведены результаты экспериментов и даны практические рекомендации.

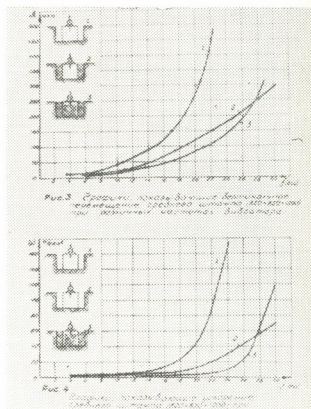
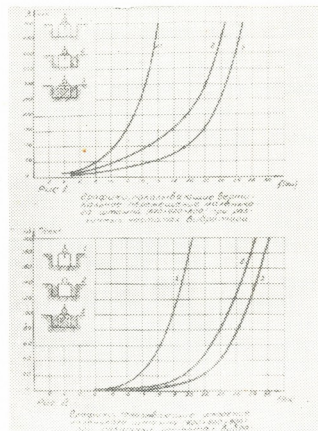
Колебания массивных фундаментов, расположенных на упругом основании, на практике обычно рассматриваются как колебания точки с массой, равной массе фундамента. В работе А. И. Абашидзе и Н. Г. Хубава [2] сделана попытка осветить влияние инерционных свойств грунта на уровень вибраций, установлена связь между заглублением фундамента и амплитудой вынужденных и частотой собственных колебаний фундамента. Коэффициент упругого сжатия основания обычно выбирается так, чтобы частота собственных колебаний этой заменяющей системы равнялась частоте собственных колебаний основания и фундамента. Больше всего исследовательских работ в этом направлении было проведено в Советском Союзе, где О. А. Савиновым [3] были выведены уравнения для определения коэффициента упругого сжатия основания для фундаментов любых размеров. При выборе этих коэффициентов принимаются во внимание размеры прямоугольного основания и развивающиеся в нем статические напряжения. Уравнения Савинова были проверены на широких опытах, в которых для испытуемых оснований исследовалась частота собственных колебаний, вызванных ударом.

Испытания, при которых фундамент находился под действием гармонических изменяющихся сил, показали, что общим недостатком применявшихся до сих пор методов расчета является то, что они не учитывают нелинейного характера колебательного процесса [3]. При испытаниях нелинейный характер вынужденных колебаний ясно проявляется в том, что частота резонансных колебаний с возрастанием возбуждающих сил понижается и что амплитуды колебаний не прямо пропорциональны величине возбуждающих сил [4].



Нелинейность колебаний фундаментов, расположенных на основании, отмечалась у многих авторов [3]. Для решения нелинейных уравнений они применяли приближенный метод и не учитывали затухания, поэтому при анализе результатов испытания нельзя было учитывать максимальные значения на резонансных кривых.

Следующая особенность, которая не может быть рассмотрена в рамках теории колебания полупространства, — это учет влияния заложения фундамента под поверхностью грунта. На рисунках график 2 показывает, как это может влиять на амплитуды колебаний. На рисунках изображены кривые для вертикального колебания, измеренного при одинаковых возбуждающих силах на бетонном фундаменте непосредственно после его засыпки и утрамбовки.



Для проведения эксперимента нами были изготовлены железобетонные штампы квадратного поперечного сечения (620×620) мм высотой 800 мм, весом 8300 Н; (820×820) мм высотой 1200 мм, весом 2400 Н; (1200×1200) мм высотой 800 мм, весом 31500 Н и точно такого же размера железобетонные ящики, внутри которых был затрамбован грунт. По размерам, соответствующим большему штампу, были изготовлены железобетонные ящики, а также плита (1200×1200) мм на сваях.

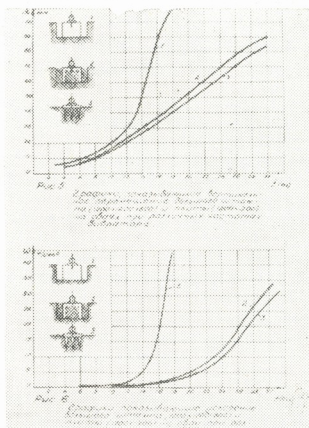
Фундаменты на вибрации (виброудар) испытывались с помощью вибровозбудителя. Максимальная возмущающая сила — 3080 Н, частота колебаний — 2,5–50 гц, скорость вращения дебаланса — 3000 об/мин. Вес установки — 1220 Н.

На рис. 1, 3 и 5 графики 1 обозначают вертикальное перемещение при колебаниях свободно лежащих штампов на упругом основании, графики 2 — штампов, заложенных под поверхностью грунта. Графики 3 на рис. 1 и 3 соответствуют коробчатому фундаменту с затрамбованным грунтом и фундаментам, заложенным под поверхностью грунта. График 2 на рис. 5 соответствует вертикальному перемещению коробчатого фундамента и график 3 — фундаменту на сваях.

На рис. 2, 4, 6 графики 1, 2 и 3 показывают соответственно ускорения фундаментов.

Очевидно, что разница этих графиков значительна.

Если сравним амплитуды колебаний фундаментов (см. рис. 1, 3, 5) в вертикальном направлении, то увидим, что перемещения свободно лежащего (фундамента) штампа более значительны, чем фундаментов, заложенных под поверхностью грунта, и коробчатого фундамента с грунтом, затрамбованным внутрь, несмотря на то что наружные размеры и площадь их подошвы одинаковые. Фундамент на сваях имеет меньшую амплитуду колебания, чем массивный штамп и фундамент коробчатого сечения. Аналогичный результат дают графики ускорения, показанные на рис. 2, 4 и 6.



Если сравним кинематические параметры при виброударных нагрузках фундаментов (см. рис. 1, 3 и 5), увидим, что при увеличении площади подошвы в 2 или 3 раза параметры колебаний, а следовательно, ускорение и вертикальное перемещение уменьшаются не пропорционально.

Проведенные эксперименты показывают, что если заменить массивный фундамент коробчатым, фундамент будет иметь более низкий уровень вибраций, а если заменить массивный фундамент свайным, то уровень вибраций еще более понизится.

Грузинский институт
субтропического хозяйства

(Поступило 2.9.1982)

სამუშაო მინისტრი

ჭ. ბერიძე, ვ. პოგახიძე

დოკუმენტი და ყავითი ჩატარები ჩატარები და ფუნდამენტის
რეაციის მასშტაბზე გამოკვლევა

რეზიუმე

მიღებულია დრეკად ფუქზე და ყამირში ჩატარებული სხვადასხვა ფუნდამენტის რეაციის ექსპერიმენტების შედეგები.

დადგენილია ფუნდამენტის კონსტრუქციის ოპტიმალური ფორმა.

Z. I. BERODZE, M. O. KOBAKHIDZE

EXPERIMENTAL STUDY OF OSCILLATIONS OF ELASTIC FOUNDATIONS PLACED DEEP IN THE GROUND

Summary

The paper presents the findings of experimental studies of foundations of various types with regard to vibrational impacts. Optimal design types and dimensions have been established with a view to attaining maximum strength at economizing on structural materials.

ЛІТЕРАТУРА — REFERENCES

1. Г. И. Глушков. Расчет сооружений, заглубленных в грунт. М., 1977.
2. А. И. Абашидзе, Н. Г. Хубава. Изв. Тбилисского НИИ сооружений и гидроэнергетики (ТНИСГЭИ) им. А. В. Винтера, т. 47 (51). М., 1967.
3. О. А. Савинов. Современные конструкции фундаментов под машины и их расчет. Л., 1977.
4. В. Колоушек. Динамика строительных конструкций. М., 1965.
5. Д. С. Баранов, В. Я. Рудник. Вопросы механики грунтов, сб. 2. Омск, 1972.

СТРОИТЕЛЬНАЯ МЕХАНИКА

Н. В. АХВЛЕДИАНИ, М. А. ДАНИЕЛАШВИЛИ, Ш. А. ДЖАБУА,
Т. П. ЖОРЖЛОДЗЕ, Ш. Р. СИХАРУЛИДЗЕ, И. П. ФИНЧЕНКО,
Д. В. ЭСАИАШВИЛИ

НАТУРНЫЕ ИСПЫТАНИЯ СБОРНО-МОНОЛИТНОЙ
ЖЕЛЕЗОБЕТОННОЙ ОБОЛОЧКИ ДВОЯКОЙ КРИВИЗНЫ

(Представлено членом-корреспондентом Академии Ш. Г. Напетваридзе 11.10.1982)

В г. Сухуми возведена сборно-монолитная сферическая железобетонная оболочка, перекрывающая центральный зал рынка (рис. 1). Размеры оболочки в плане 40×40 м, стрела подъема — 7,6 м, радиус сферы — 56,5 м. Основная часть покрытия, ограниченная в плане окружностью диаметром 40 м, собрана из сборных железобетонных ребристых плит длиной 8,5 м с последующим их замоноличиванием. В центре оболочки имеется отверстие диаметром 6 м для устройства фонаря. Фонарное кольцо, угловые зоны и контурная обвязка выполнены из монолитного железобетона. Контурная обвязка устроена по контурным диафрагмам, выполненным в виде стальных сегментных ферм, передающих нагрузку на угловые колонны. Приведенная толщина оболочки — 10 см. Проектная марка бетона 300.



Рис. 1. Оболочка в процессе строительства

В основу конструктивного решения оболочки положен проект, разработанный Проектным институтом № 1 г. Ленинграда. В связи с тем, что оболочка такого типа строилась в сейсмическом районе впервые, Институт строительной механики и сейсмостойкости Академии наук Грузинской ССР совместно с грузинским филиалом проектного инсти-

тута «Гипроторг» внесли в проект изменения с целью увеличения ступени замоноличенности и повышения жесткости контура.

Оболочка возводилась на металлических инвентарных лесах. По истечении 28 дней после бетонирования монолитных участков прочность бетона, определенная эталонным молотком, колебалась в пределах 300—400 кг/см². Стойки лесов опирались на песочницы, с помощью которых производилось поэтапное раскручивание. На каждом этапе удалялась 1/5 часть песка. В процессе раскручивания изменялись прогибы оболочки и контурных ферм-диафрагм (рис. 2), а также горизонтальные и вертикальные перемещения опорных узлов ферм-диафрагм. Расположение прогибомеров давало возможность контролировать равномерность вступления в работу всех частей оболочки. Максимальный прогиб от собственного веса (кривая 5 на рис. 2) имел место в центре оболочки и равнялся 27 мм. В середине пролета

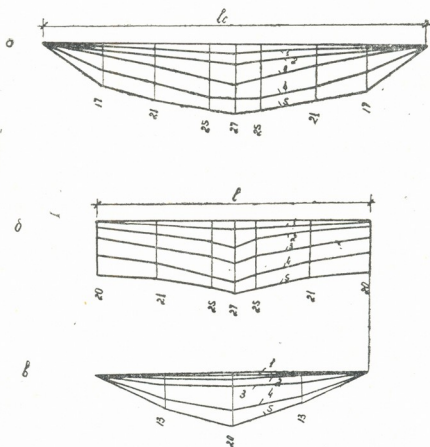


Рис. 2. Вертикальные перемещения оболочки по этапам раскручивания, в мм: а) по диагональному сечению; б) по центральному поперечному сечению; в) в плоскости контурной фермы-диафрагмы

фермы-диафрагмы прогиб был равен 20 мм. Относительные величины этих прогибов — $\frac{1}{1500} l$ и $\frac{1}{2000} l$ — свидетельствуют о достаточной жесткости оболочки. Вертикальные перемещения опорных узлов ферм-диафрагм достигали величин порядка 1 мм, а расхождение опорных узлов — 13,65 мм, чему соответствует растягивающее напряжение в нижнем поясе 720 кг/см². Эта величина близка к расчетному напряжению от собственного веса оболочки, определенному по рекомендациям [1] и равному 940 кг/см². После освобождения оболочки от поддерживающих лесов трещин и других местных дефектов не было обнаружено.

Экспериментально были изучены и динамические характеристики оболочки. Колебания возбуждались вертикальным и горизонтальным импульсами, сосредоточенными в центре оболочки (внезапное удаление груза весом 500 кг). Записывались вертикальные свободные коле-



бания оболочки (рис. 3) с помощью самописца Н338-6П и вибродатчиков ВЭГИК, установленных на поверхности оболочки (рис. 4, а). Анализом осцилограмм установлены трехполуволновая форма низ-

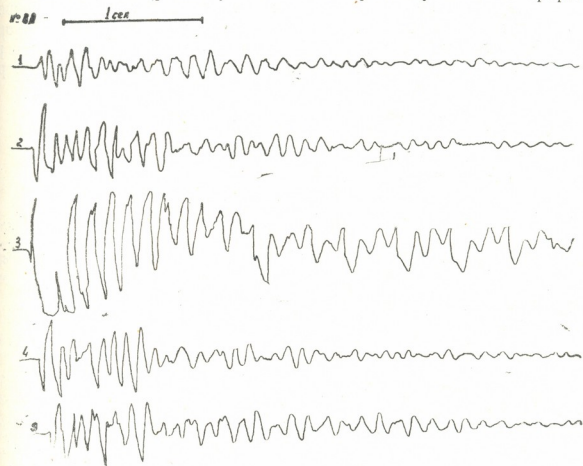


Рис. 3. Фрагменты осцилограмм вертикальных колебаний оболочки

шего тона свободных колебаний по диагональному сечению оболочки (рис. 4, б), частота $f = 8$ гц и логарифмический декремент $\lambda = 0,15$. По-

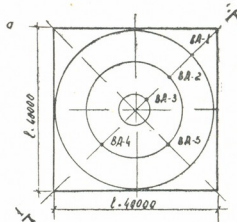
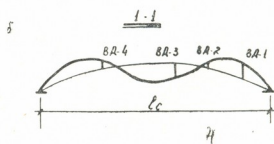


Рис. 4. а) Схема расположения вибродатчиков; б) форма колебаний

нижшего тона



лученное значение частоты близко к теоретическому $\bar{f}=9,8$ гц [2] и к экспериментальным величинам частот колебаний монолитных железобетонных оболочек двоякой положительной кривизны [2, 3]. Вместе



с тем оно превышает значения, полученные для сборных оболочек аналогичной геометрии в среднем на 30% [4].

Результаты описанного натурного эксперимента свидетельствуют об эффективности конструктивных изменений, внесенных в первоначальный проект с целью приближения свойств железобетонной сборно-монолитной оболочки к монолитной, что позволяет рекомендовать разработанный вариант оболочки для строительства в сейсмических районах.

Академия наук Грузинской ССР

Институт строительной механики

и сейсмостойкости

им. К. С. Завриева

(Поступило 14.10.1982)

სამუნიციალური მინისტრი

6. ახვლედიანი, გ. დანიელაშვილი, შ. ჯაგუა, თ. ზორბეგაძე, უ. სიხარულიძე,
ი. ფირჩევაძე, ჯ. ესაიაშვილი

რკინაბეტონის ასაჭყობ-მონოლითური ორგანიზაცია
გარსის ნატურული გამოცდა

რეზიუმე

ექსპერიმენტული შესწავლით აგებული, გეგმაში ზომებით 40×40 მ, რკინაბეტონის ასაჭყობ-მონოლითური სფერული გარსი. განხარვილების პროცესში განსაზღვრული ჩაღუნვათა და გადაადგილებათა სიდიდეები ადასტურებენ გარსის სამართლებულის განსაზღვრული გარსის დინამიკური მახსინებლები — რხევათა ფორმა (სამნახევარტალიანი), სიხშირე ($f=8$ ჰც) და ლოგარითმული დეკრემენტი ($\lambda=0.15$). ექსპერიმენტის შედეგების მიხედვით რეკომენდებულია გარსის დამუშავებული ვარიანტის შენებლობა სეისმურიანობებში.

STRUCTURAL MECHANICS

N. V. AKHVLEDIANI, M. A. DANIELASHVILI, Sh. A. JABUA,
T. P. ZHORZHOLADZE, Sh. P. SIKHARULIDZE, I. P. FINCHENKO,
D. V. ESSIASHVILI

FULL-SCALE TESTS OF A BUILT-UP MONOLITHIC REINFORCED-CONCRETE SHELL OF DOUBLE CURVATURE

Summary

A built-up monolithic spherical reinforced concrete shell of 40×40 m in plan, erected in Sukhumi, was studied experimentally. Relative values of the maximum flexures ($1/1500l$, $1/2000l$) and displacements, determined in the process of uncentering, testify to the sufficient stiffness of the shell. The dynamic characteristics of the shell were also determined: form (three half wave), frequency ($f=8$ Hz), and logarithmic decrement ($\lambda=0.15$) of free vibrations of the shell. The results of the experiment make possible to recommend the developed variant of the shell for building in seismic regions.

ლიტერატურა — ЛИТЕРАТУРА — REFERENCES

1. Руководство по проектированию железобетонных пространственных конструкций покрытий и перекрытий. М., 1979.
2. О. Д. Ониашвили. Некоторые динамические задачи теории оболочек. М., 1957.
3. А. А. Меликян. Строительная механика и расчет сооружений. № 6, 1975.
4. Ф. В. Бобров, В. А. Быховский, А. Н. Гасанов. Сейсмические нагрузки на оболочки и висячие покрытия. М., 1974.



РАЗРАБОТКА МЕСТОРОЖДЕНИЙ И ОБОГАЩЕНИЕ

Н. Г. СИХАРУЛИДЗЕ, Б. И. ШЕКЛАШВИЛИ, Э. И. БАХТАДЗЕ,
А. В. ФРОЛОВ, К. М. МЧЕДЛИШВИЛИ

К ВОПРОСУ ПОЛУЧЕНИЯ МИКРОИЗМЕЛЬЧЕННОГО ХИМИЧЕСКИ МОДИФИЦИРОВАННОГО КЛИНОПТИЛОЛИТА

(Представлено академиком Г. А. Твалчелидзе 25.6.1982)

В последнее время в качестве активной добавки к синтетическим моющим средствам (СМС) вместо биологически вредных для флоры и фауны открытых водоемов полифосфатов в ряде стран в все большем объеме применяют цеолиты, заменяющие полифосфаты для улучшения реологии стиральных порошков и снижения жесткости воды. Известно, что при производстве СМС влияющими на качество продукции факторами являются: наличие в них примесей ионов тяжелых металлов, в основном железа, являющихся катализаторами разложения оптических отбелителей; комплексообразующая способность активных добавок в отношении многовалентных катионов, снижающих эффективность моющих средств и степень дисперсности твердых компонентов СМС, препятствующих их оседанию на поверхности ткани и зашивке трубопроводов и арматуры стиральных машин [1—3].

При применении в качестве заменителей полифосфатов синтетических цеолитов NaA , NaX или их смесей указанные факторы не являются лимитирующими, так как при направленном синтезе с применением чистых реагентов можно получить практически не содержащие ионы тяжелых металлов кристаллы цеолитов с размерами менее 5 мкм, обладающие высокой ионообменной (комплексообразующей) способностью в отношении многовалентных катионов. Однако при этом возникает другая, не менее важная проблема — необходимость применения дефицитных и дорогостоящих реагентов, чистых от посторонних примесей, и сложной, энергоемкой технологической схемы синтеза цеолитов и их ввода в стиральные порошки, значительно ухудшающая технико-экономические показатели производства.

При применении природных цеолитов, богатейшие залежи которых открыты не только в Грузии, но и в других регионах Советского Союза, проблемы, возникающие с применением синтетических цеолитов, отпадают, но возникает необходимость удаления присутствующих в цеолитах соединений железа, перевода поликатионной формы цеолита в монокатионную с целью повышения комплексообразующей способности цеолитов в отношении многовалентных катионов и тонкого измельчения для получения высокодисперсного материала.

При применении разработанной нами ранее технологии химического модифицирования природных цеолитов легко устраниется влияние первых двух факторов, однако оптимальным условием модифицирования является обработка цеолитов, измельченных до класса 0,5 мм и обесшламленных по классу 0,1 мм.

Испытание химически модифицированных цеолитов класса $-0,5 + 0,1$ мм в составе моющих средств вместо полифосфатов показало сохранность моющей способности цеолитов содержащих СМС по отношению к стандарту и одновременное ухудшение показателя по зольности ткани.



Учитывая вышеизложенное и принимая во внимание, что применение относительно крупнозернистых цеолитов в моющих средствах может привести к износу деталей и забивке коммуникаций стиральных машин, становится очевидной необходимость микроизмельчения химически модифицированных цеолитов до класса 40 мкм, поскольку этот класс является оптимальным с точки зрения как технологии, так и экономики. При этом в зависимости от диспергирующей среды и силы могут протекать не только физические, но и химические изменения диспергируемого материала, могущие привести к разрушению его кристаллической решетки [4]. Следует учесть, что кристаллическая решетка цеолита уже при химическом модифицировании испытывает частичную деформацию за счет вымывания алюминия из алюмосиликатного каркаса.

Поскольку процесс микроизмельчения точному расчету не поддается, для получения заданного гранулометрического состава при сохранности исходной кристаллической решетки в конечном продукте вид, марка и режим работы мельниц подбираются опытным путем при лабораторных и полупромышленных исследованиях.

Исследования по микроизмельчению химически модифицированных клиноптилолитов Тедзамского месторождения проведены нами на лабораторном ультраизмельчителе типа М-1, который предназначен для измельчения твердых и хрупких материалов, а также волокнистых и целлюлозосодержащих веществ.

Измельчаемый материал, максимальная крупность которого должна превышать 10 мм, попадает через воронку в измельчительную камеру, где захватывается ротором и измельчается между зубчатым органом и кольцеобразным ситом. Измельчаемый материал пребывает в камере до тех пор, пока не будет достигнута заданная тонина, регулируемая числом оборотов ротора и размерами ячеек сита.

Исследования проведены при трех режимах микроизмельчения: I — числе оборотов ротора 20000 об/мин в размере ячеек кольцевого сита 0,08 мм; II — числе оборотов 10000 об/мин и размере ячеек 0,25 мм; III — числе оборотов 10000 об/мин и размере ячеек 0,75 мм.

Данные исследования представлены в табл. 1.

Таблица 1

Влияние режима работы ультраизмельчителя М-1 на тонину помола химически модифицированного клиноптилолита

Режим работы М-1	Распределение частиц по классам, %							
	Размеры частиц цеолита, мкм — менее							
Число оборотов ротора, об/мин	100	63	40	20	10	5	2	1
I—0,08/20000	100,0	100,0	92,0	72,0	52,0	39,0	22,0	0,13
II—0,25/10000	100,0	100,0	76,0	57,0	41,0	30,0	17,0	10,0
III—0,75/10000	100,0	100,0	73,0	51,0	34,0	26,0	14,0	8,0
Исходная проба	100,0	100,0	12,0	7,8	9,2	9,6	1,6	1,0

За исходную пробу принят химически модифицированный клиноптилолит, измельченный в лабораторной шаровой мельнице по классу 63 мкм.

По данным таблицы, полученные продукты могут условно делиться на три класса: при I режиме работы микроизмельчителя — класс —10+0, при II режиме —20+0 и при III режиме —40+0 мкм.



С целью установления сохранности кристаллической решетки клиноптиолита в процессе микроизмельчения проведен рентгеновский анализ проб по каждому режиму, а также определены их кальцийсвязывающая способность и статистическая влагоемкость (табл. 2).

Таблица 2

Показатели	Микроизмельченный продукт, класс крупности, мкм			Исходная пробы, класс крупности, -63+0 мкм
	-10+0	-20+0	-40+0	
Содержание клиноптиолита масс. %	90,0	85,0	90,0	85,0
Кальцийсвязывающая способность, мг/г				
CaCO ₃	24,0	25,0	23,0	25,0
Статистическая влагоемкость при $p/p_s = 0,4$, масс. %	3,98	4,2	4,1	4,3

Данные таблицы показывают практически полную сохранность основных показателей качества цеолита.

На основании полученных данных были приготовлены партии микроизмельченных цеолитов для их применения в составе синтетических моющих средств.

Тбилисская КНИЛ Государственного научно-исследовательского института горнохимического сырья

(Поступило 25.6.1982)

საბაზოთა დამუშავება და გამდიდრება

ნ. სიხარულიძე, გ. უხლავალიძე, ვ. ბახტაძე, ა. ფროლივა, კ. გვედრიავიძე

მიკროდაფქცული, ძიმიურად გოდიფიცირებული კლინოპტილოლიტის მიღების საკითხის შესახებ

რეზიუმე

ბუნებრივი ცეოლითები — კლინოპტილოლიტები ქიმიური მოდიფიცირების შემდეგ შეიძლება გამოვიყენოთ სინთეზურ სარეცხ საშუალებებში ბიოლოგურად ქტიური ტრიპოლიფოვატის შემცველელად. მოდიფიცირების ოპტიმალურ პირობად მიღებულია ცეოლითების ქიმიური დამუშავება (ცეოლითები დაფქცულია 0,5 მმ კლასამდე და შლამგამიცლილი 0,1 მმ კლასით). სარეცხ საშუალებებში გამოყენებული ცეოლითების დაჭუცმაცემა მჩხანშეწონილია 40 მეტ კლასამდე.

ჩატარებულია გამოვლენა მოდიფიცირებული ცეოლითის კრისტალური სტრუქტურის მდგრადობაზე მიკროდაფქვის პროცესის გავლენის შესახებ.

დადგენილია, რომ მიკროდაფქვა ოპტიმალურ პირობებში ქიმიურად მოდიფიცირებულ ცეოლითების კრისტალურ სტრუქტურაზე პრაქტიკულად გავლენა არ ახდენს.



EXPLOITATION OF DEPOSITS AND CONCENTRATION

N. G. SIKHARULIDZE, B. I. SHEKLAHVILI, E. I. BAKHTADZE, A. V. FROLOV,
K. M. MCHEDLISHVILI

TOWARDS THE PRODUCTION OF MICROCRUSHED CHEMICALLY MODIFIED ZEOLITE

S u m m a r y

Following chemical modification, clinoptilolite, a natural zeolite, can be used as a substitute for biologically activated tripolyphosphates in synthetic detergents.

The optimum condition of modification is chemical treatment of zeolites crushed to 0.5 mm and screened to 0.1 mm. But microcrushing to 40 mkm is the optimum condition for the use of modified zeolite in detergents. The effect of the microcrushing process on the stability of the crystalline structure of modified zeolites has been studied. It is shown that, in optimum conditions, microcrushing practically does not affect the crystalline structure of a chemically modified zeolite.

ЛІТЕРАТУРА — REFERENCES

1. Дж. Теддер, А. Нехватал, А. Джуబ. Промышленная органическая химия. М., 1977.
2. Zeolites—a replacement for STPP in detergents. Phosphorus and Potassium, № 87, 1977, p. 31.
3. Т. Накадзава. Ж. «Кагаку то когё», т. 31, № 2, 1978, 109.
4. К. Мейер. Физико-химическая кристаллография. М., 1972.

РАЗРАБОТКА МЕСТОРОЖДЕНИЙ И ОБОГАЩЕНИЕ

Ю. Д. ЦИНЦАДЗЕ

К ВОПРОСУ УПРАВЛЕНИЯ ГАЗОВЫДЕЛЕНИЕМ В УГОЛЬНЫХ ШАХТАХ

(Представлено академиком А. А. Дзидзигури 30.9.1982)

Исследование динамики метанообильности выемочных полей шахт при разработке мощной угольной толщи показывает, что характер изменения абсолютной величины метанообильности во времени следует выпуклой кривой с максимумом в период одновременной разработки нескольких пластов на нескольких подэтажах поля [1].

При одновременной разработке нескольких полей общая метанообильность шахты, а также производная метанообильности по времени зависят от периода разработки каждого выемочного поля. Таким образом, имеется принципиальная возможность регулирования газообильности выемочных полей и шахт в целом путем выбора рационального календарного плана горных работ, что дает широкую возможность оптимизации режима проветривания выемочных участков и шахт в целом.

Для решения этого вопроса целесообразным представляется построение вероятностной модели возникновения газовой ситуации на выемочных участках и шахты в целом. Вероятность возникновения газовой ситуации, в том числе опасной (событие Γ) может быть определена произведением двух вероятностей: вероятностью газовыделения (события $K = A, B, \dots, N$), связанной с ожидаемой величиной относительной метанообильности выработок q разрабатываемого i -го пласта на j -ом горизонте, обусловленной реализацией одного из частных событий $A_1, A_2, \dots, A_m, B_1, B_2, \dots, B_m$ и т. д. и вероятностью возникновения источника инициирования газовой ситуации (события $k = a, b, \dots, n$), связанной с величиной суточной добычи P_e из i -го пласта j -го горизонта, обусловленной реализацией одного из возможных частных событий $a_1, a_2, \dots, a_m; b_1, b_2, \dots, b_m$ и т. д. (при наличии управляющего воздействия вводится также сомножитель $P(y)$); $P(K_{ji}) = \frac{q_{\text{факт}}}{q_{i\max}}$; $P(k_{ji}) = \frac{P_{e\text{факт}}}{P_{e\text{общ}}}$, где $P_{\text{общ}}$ — общая суточная добыча по шахте).

В соответствии с изложенным, вероятность возникновения события Γ определяется следующим выражением:

$$\begin{aligned} P(\Gamma) = & \{1 - [1 - P(A_1)] [1 - P(A_2)] \cdots [1 - P(A_m)]\} P(y) \times \\ & \times \{1 - [1 - P(a_1)] [1 - P(a_2)] \cdots [1 - P(a_m)]\} \times \\ & \times \{1 - [1 - P(B_1)] [1 - P(B_2)] \cdots [1 - P(B_m)]\} P(y) \times \\ & \times \{1 - [1 - P(b_1)] [1 - P(b_2)] \cdots [1 - P(b_m)]\} \times \\ & \times \{1 - [1 - P(N_1)] [1 - P(N_2)] \cdots [1 - P(N_m)]\} P(y) \times \\ & \times \{1 - [1 - P(n_1)] [1 - P(n_2)] \cdots [1 - P(n_m)]\}. \end{aligned}$$



С целью практической апробации теоретических предпосылок регулирования газообильности шахт путем выбора оптимального календарного плана горных работ, рассмотрен конкретный случай на примере проекта реконструкции шахты им. В. И. Ленина Ткибули—Шаорского каменноугольного месторождения с годовой производительностью 4,2 млн. тонн, в результате которого установлено, что на больших глубинах относительная метанообильность шахты достигает $37 \text{ м}^3/\text{т}$ добычи, а количество воздуха, необходимого для проветривания шахты — $1200 \text{ м}^3/\text{s}$.

Анализ показывает, что уменьшение $P(\Gamma)$ может быть достигнуто увеличением числа сомножителей с наименьшими значениями ($P(A)$, $P(B)$, ... $P(N)$), в соответствии с чем предложена при неизменной добывке по шахте, одновременная эксплуатация 3-х (взамен 2-х, принятых проектом), смежных угольных пластов (слоев). При этом количество воздуха, необходимого для проветривания шахты, уменьшается в среднем на $230 \text{ м}^3/\text{s}$.

Мероприятия по управлению газовыделением в шахтах достаточно полно разработаны для различных бассейнов, однако они не носят системный характер, нет комплексного критерия оценки природных и горнотехнических факторов и инженерных мероприятий, повышающих эффективность разработки газоносных угольных месторождений.

Анализ устанавливает возможность использования принципов подхода к оценке уровня качества продукции [2] или травмоопасности оборудования [3] для комплексной оценки эффективности разработки газоносных угольных месторождений на стадиях проектирования и эксплуатации угольных шахт и в первую очередь, оценки выбросбезопасности разработки угольных пластов и инженерных мероприятий по снижению опасности внезапных выбросов угля и газа или значительных газовыделений в горные выработки.

Для этого методом экспертной оценки необходимо установить единичные показатели, объективно отражающие отдельные природные и горнотехнические факторы, характеризующие угольные пласти как источники опасности высоких газовыделений или внезапных выбросов угля и газа. Внутри единичных показателей выявляются признаки, соответствующие базовым и фактическим показателям. Комплексный показатель принимается как средневзвешенный арифметический показатель выбросбезопасности разработки угольных пластов.

$$K_B = \sum_{i=1}^n \frac{x_i \sum_{j=1}^N a_{ij}}{N \cdot x_{B_i} \sum_{i=1}^n \left[\left(\sum_{j=1}^N a_{ij} \right) \frac{1}{N} \right]},$$

где n — число единичных показателей; N — число экспертов; x_i — единичный показатель; x_{B_i} — базовое значение единичного показателя; a_{ij} — параметр весомости i -го единичного показателя по оценке j эксперта.

На основе обобщения литературного материала и непосредственных исследований на примере месторождений Грузии, проанализированы основные единичные показатели выбросбезопасности разработки угольных пластов по природным, горнотехническим факторам и инженерным мероприятиям: тектонической нарушенности, мощности и неоднородности угольных пластов, углу падения и глубине их разработки, гидрогеологии, давлению газа, прочности пород кровли, микро-

трещиноватости и газопроницаемости углей, эффективной пористости и превалирующему зиянию микротрещин, пылевому остатку, скорости начального газовыделения из углей, системе разработки и технологии выемки пласта и проведению подготовительных выработок, способу управления кровлей, физико-химическому воздействию на угольные пласты и др.

Оценка уровня выбрособезопасности разработки угольных пластов проведена дифференцировано по природным (K_{B_1}) и горнотехническим факторам (K_{B_2}), учитывающим также инженерные мероприятия по предотвращению газодинамических явлений, а также комплексно по всем факторам (K_B). В соответствии с этим получены для условий Ткибули—Шаорского месторождения — $K_{B_1}=0,06$; $K_{B_2}=0,47$; $K_B=0,22$; Ткварчельского месторождения — $K_{B_1}=0,12$; $K_{B_2}=0,04$; $K_B=0,12$; Ахалцихского месторождения — $K_{B_1}=0,42$; $K_{B_2}=0,38$; $K_B=0,40$.

Анализ полученных данных устанавливает, что наиболее выбросоопасными по природным факторам являются угольные пласты Ткибули—Шаорского, затем Ткварчельского и наименее выбросоопасными — Ахалцихского месторождения. В то же время эти данные указывают на недостаточность профилактических мероприятий горнотехнического и инженерного характера, проводимых в условиях месторождений Грузии, особенно на шахтах Ткварчельского месторождения.

В соответствии с проанализированными единичными показателями, рекомендованы следующие основные инженерные мероприятия для шахт Ткибули—Шаорского и Ткварчельского месторождений: столбовая система разработки, узкозахватная выемка угля, управление кровлей гидравлической закладкой выработанного пространства, комбинированный способ проходки подготовительных выработок, предварительное увлажнение угольных пластов растворами (на шахтах Ткибули—Шаорского месторождения), дегазация геологических нарушений, дегазация угольных пластов (на шахтах Ткварчельского месторождения).

Внедрение указанных мероприятий дает возможность повысить выбрособезопасность работ на глубоких горизонтах Ткибули—Шаорского месторождения до $K_B=0,43$ (при $K_{B_2}=1,0$) и Ткварчельского месторождения до $K_B=0,44$ (при $K_{B_2}=0,75$).

Дальнейшей задачей повышения эффективности разработки газоносных угольных пластов, в частности выбрособезопасности их разработки, является выявление новых единичных показателей по инженерным мероприятиям и исследование их признаков, составление для каждой шахты и выемочных участков паспортов оценки выбрособезопасности разработки угольных пластов и мероприятий по ее повышению.

Академия наук Грузинской ССР

Институт горной механики
им. Г. А. Цулукидзе

(Поступило 30.9.1982)



ი. ცინცაძი

ძვანაზირის შახტებში გაზის გამოყოფის მართვის საქითხისათვის

რეზიუმე

შედგენილია შახტის ამოსალებ უბნებში გაზის გამოყოფის ალბათობის მოდელი. ჩატარებულია შახტის რეკიმის ოპტიმიზაციის ანგარიში სამთო სამუშაოების რაციონალური კალენდარული გეგმის შერჩევით ტყიბულ — შაორის ქანახშირის საბადოს დასაპროექტებელი შახტის მაგალითზე.

EXPLOITATION OF DEPOSITS AND CONCENTRATION

I. D. TSINTSADZE

CONCERNING THE CONTROL OF GASSING IN COAL MINES

Summary

The paper presents the results of an optimization study of the gas regimen of extraction districts and of the mine as a whole by selecting a rational schedule of mining.

A probability model of the occurrence of a gassing situation is built and the probability of the emergence of such a situation under different variants of mining schedule has been calculated. The effectiveness and economic advantage of the optimization of the ventilation regimen through selecting a rational schedule of extraction are demonstrated.

ლიტერატურა — REFERENCES

1. А. А. Дзидзигури, Ю. Д. Цинцадзе, М. А. Татарави и др. «Горная электромеханика и шахтная аэробиология». Тбилиси. 1971, 5—7.
2. Методика оценки уровня качества продукции с помощью комплексных показателей и индексов. Госстандарт СССР, М., 1974, 68.
3. Методические рекомендации по комплексной оценке травмоопасности оборудования. ВНИИОТ ВЦСПС, Тбилиси, 1978, 56.

МЕТАЛЛУРГИЯ

Ф. Н. ТАВАДЗЕ (академик АН ГССР), М. Д. ЛАНЧАВА,
Т. А. БАЦИКАДЗЕ, Ш. А. МИРОТАДЗЕ, А. И. БАКУРАДЗЕ

УЛУЧШЕНИЕ КРИСТАЛЛИЧЕСКОЙ СТРУКТУРЫ
НЕПРЕРЫВНОЛИТИХ ЧУГУННЫХ ЗАГОТОВОК

Благодаря определенным преимуществам по сравнению с другими способами литья чугуна, способ непрерывного горизонтального литья в последние годы интенсивно внедряется в промышленности СССР и за рубежом.

Однако исходя из опыта работы заводов, этот способ имеет и ряд недостатков. Среди них — неравномерность свойств по сечению заготовки.

Нами проведена работа по определению этой неравномерности и возможности ее устранения.

Исследовались чугунные профили следующих размеров: круг диаметром 70, 140 и 200 мм; прямоугольные профили — 150×50, 110×100, 90×70 и 200×150 мм. Химический состав профилей следующий: 3,93% C; 1,54% Si; 0,56% Mn; 0,15% P; 0,044% S; 0,047% Cr; 0,08% Ni; 0,05% Cu.

Исследование проводили на образцах, вырезанных из профилей в центральной (Ц), средней (С) и периферийной (П) частях.

Жаростойкость определяли тремя характеристиками: окалиностойкостью, ростоустойчивостью и термостойкостью.

Окалиностойкость определяли методом увеличения веса. Режим испытаний следующий: выдержка образца в течение 10 часов при температуре 800°C, охлаждение в печи до комнатной температуры. Испытания проводились в течение 300 часов. Через каждые 50 часов образцы взвешивались. Увеличение веса образцов выражали в процентах.

Рост чугуна исследовался на образцах длиной 100 мм и диаметром 15 мм. На торцах образцов с целью устранения искажений при замерах вследствие появления окалины были ввинчены штифты из нержавеющей стали. Режим испытаний: выдержка образцов в течение 2-х часов при температуре 800°C и охлаждение на воздухе до комнатной температуры. Испытания проводились в течение 300 часов. Замеры проводились через каждые 10 циклов. Увеличение длины образцов выражали в процентах.

Испытания на термостойкость при циклических нагрузках проводили на установке, показанной на рис. 1. Образец 6 диаметром 10 мм и длиной 80 мм жестко закрепляется водоохлаждаемыми зажимами. Один из зажимов 9 неподвижно закреплен на стойке 10, а ко второму подвижному зажиму 5 через тягу 4 подведен груз 3. К зажимам через медные шины 2 подводится электрический ток через трансформатор 1 и систему автоматического регулирования и контроля 12.

Температура и скорость нагрева образца контролируется контактной термопарой 7 и автоматическим потенциометром 11. Образец охлаждается водяным душем 8, подача которого осуществляется с помощью электромагнитного клапана 13. Нагрев и охлаждение образца,

а также полное отключение установки после разрушения образца происходит автоматически по заранее заданным параметрам. Количество циклов нагрева и охлаждения фиксируется электромагнитным счетчиком. Режим испытаний: нагрев до 800°C в течение 30 сек и охлаждение 20 сек. Испытание продолжается до полного разрушения образца.

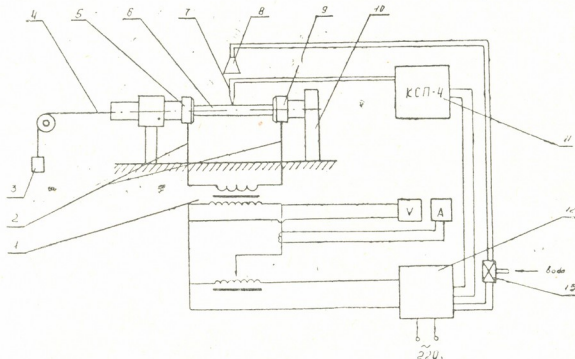


Рис. 1. Принципиальная схема установки для испытания на термостойкость

Герметичность образцов исследовалась методикой ЛПИ им. М. И. Калинина. Установка (рис. 2) позволяет создать давление керосина до 250 кгс/см². Образцы применялись толщиной 0,8 мм. Момент течи керосина через образец наблюдали микроскопом МБС-2.

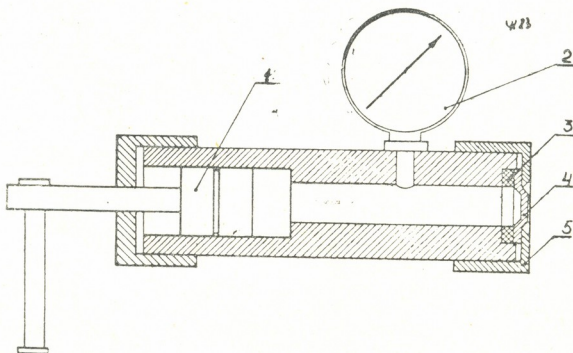


Рис. 2. Схема установки для испытания на герметичность: 1) плунжер, 2) манометр, 3) прокладка, 4) образец, 5) крышка

Герметичность определялась как отношение давления просачивания к квадрату толщины образца: $\Gamma = \frac{P}{b^2}$.



Механические свойства, ударную вязкость, твердость и металлографические исследования проводили по соответствующим ГОСТам.

Как видно из исследований, отливки обладают низкими и неравномерными по сечению показателями всех свойств.

Большая часть номенклатуры отливок на руставском заводе «Центролит» является отливками деталей гидроаппаратуры, к которым предъявляются требования повышенной гидроплотности. Поэтому основное внимание в дальнейших исследованиях было уделено повышению гидроплотности.

Для выравнивания структуры по сечению и улучшению свойств непрерывнолитых заготовок было применено модифицирование чугуна ферросиликохромом и комплексной бариевой лигатурой. Для лучшего усвоивания модификаторы вводили при помощи экзотермических брикетов.

Результаты исследований свойств отливок диаметром 140 мм немодифицированных и подвергнутых модифицированию приведены в табл. 1.

Испытания	ПРОБЫ							
	П		С			Ц		
	МОДИФИКАТОР							
	—	Ферросиликохром	Бариевая лигатура	—	Ферросиликохром	Бариевая лигатура	—	Ферросиликохром
Предел прочности при растяжении, кгс/мм ²	14,23	34,8	32,6	12,26	30,6	31,7	11,95	29,8
Предел прочности при изгибе, кгс/мм ²	24,33	69,4	64,5	22,56	63,2	61,6	21,52	62,4
Твердость, НВ	116	249	219	196	237	219	131	235
Ударная вязкость, а _к кгс·м/см ²	0,22	0,34	0,28	0,21	0,33	0,28	0,20	0,31
Плотность, г/см ³	7,04	7,25	7,30	7,06	7,31	7,30	7,01	7,28
Герметичность, Г кгс/см ² мм ²	46,7	76,3	79,8	32,7	66,4	71,8	27,7	64,3
Термостойкость, циклы	36	76	80	31	67	71	22	65
Окалиностойкость, %	7,6	2,8	2,6	8,4	2,8	2,7	9,8	2,7
Ростоустойчивость, %	7,2	2,6	2,1	7,9	2,9	1,9	8,7	3,0
Графит	Гр 4	Гр 1	Гр 1	Гр 3	Гр 1	Гр 1	Гр 5	Гр 3
Перлит	П 20	П	П	П 70	П 96	П 96	П 96	П 96

Как показывают результаты исследований, модифицирование чугуна ферросиликохромом и комплексной бариевой лигатурой существенно выравнивает свойства по сечению и повышает эксплуатационные показатели отливок. Предпочтение следует отдать комплексной бариевой лигатуре, так как при модифицировании чугуна данной лигатурой длительное время сохраняется эффект модифицирования — «жи-

вучесть модификатора». Это особенно важно при литье деталей малых сечений, когда расход металла мал и металл длительное время находится в металлоприемнике.

Академия наук Грузинской ССР

Институт metallurgии
им. 50-летия СССР

(Поступило 7.1.1982)

გერალურის

ფ. თავაძე (საქ. სსრ მეცნ. აკადემიის აკადემიკოსი), მ. ლანჩავა,
თ. ბატიკაძე, ზ. მირობაძე, ა. ბაკურაძე

უფავეთი ჩამოსხით მიღებული თუჭის ნამზადების სტრუქტურის
გაუმჯობესება

რეზიუმე

შესწავლითა პორიზონტალური უწყვეტი ჩამოსხით მიღებული თუჭის
ნამზადების სტრუქტურა და მათი თვისებები.

ჩატარებულია სამუშაოები ნამზადის ხარისხის გასაუმჯობესებლად.

METALLURGY

F. N. TAVADZE, M. D. LANCHAVA, T. A. BATSIKADZE, Sh. A. MIROTADZE,
A. I. BAKURADZE

IMPROVEMENT OF THE CRYSTALLINE STRUCTURE OF CONTINUOUSLY CAST GREY-IRON BILLETS

S u m m a r y

The structure and properties of grey-iron blank billets, obtained by continuous horizontal casting, have been studied. Work has been conducted towards improving the quality of blank billets.



МЕТАЛЛУРГИЯ

З. А. МУШКУДИАНИ, Д. Л. МАГЛАКЕЛИДЗЕ, А. Г. ГАБИСИАНИ,
Р. А. МЕНАБДЕ, А. Н. ЛОМАШВИЛИ

ОСВОЕНИЕ РАЗЛИВКИ 8-Т СЛИТКА НА РУСТАВСКОМ МЕТАЛЛУРГИЧЕСКОМ ЗАВОДЕ

(Представлено академиком Ф. Н. Тавадзе 2.7.1982)

С ростом производительности плавильных агрегатов в сталеплавильном цехе в настоящее время возрастает необходимость повышения пропускной способности отдельных его участков.

В мартеновском цехе Руставского металлургического завода наиболее узкими местами являются отдел подготовки составов и разливочный пролет. Неритмичный характер работы этих участков обуславливает снижение производственных показателей работы сталеплавильного цеха, а в конечном счете и качество готовой продукции завода.

Для повышения пропускной способности отдела подготовки составов и разливочного пролета возникла необходимость замены ранее разливающегося слитка весом 6,9 т на более крупный слиток весом до 8 т и разработки новой рациональной конфигурации глуходонной уширяющейся кверху изложницы для разливки спокойных марок сталей.

Известно, что увеличение веса слитка возможно путем увеличения его высоты и поперечного сечения. Однако чрезмерное повышение высоты слитка создает большое ферростатическое давление стали, что вызывает опасность появления трещин на рубашке слитка, особенно в нижней его части [1].

При больших поперечных сечениях продолжительность затвердевания слитка увеличивается, что способствует дегазации и увеличению плотности металла, а также всплытию неметаллических включений. Однако при этом сильно развивается химическая и физическая неоднородность слитка [2].

Большое влияние на качество слитка оказывает и его конусность. При большой конусности слиток получается более плотным, усадочная раковина имеет минимальную протяженность, слиток хорошо стриппируется. Однако большая конусность имеет и ряд недостатков, основными из которых являются: неравномерный нагрев их в колодцах, уменьшение производительности прокатного стана, различные механические свойства по длине раската слитка.

Для сталеплавильного цеха Руставского металлургического завода при проектировании новой улучшенной конструкции уширяющейся кверху глуходонной изложницы за основу была принята эксплуати-



рующаяся изложница для разливки спокойных марок сталей весом 6,9 т.

При расчете основных параметров изложницы для 8-т слитка были использованы методики, указанные в работах В. А. Ефимова [3] и других исследователей [4, 5].

В условиях РМЗ высота 8-т слитка не должна превышать 2700 мм, так как высота камеры нагревательных колодцев от уровня засыпки пода до футеровки крышки составляет 2800 мм. В связи с ограниченной высотой всего слитка возникла необходимость увеличения поперечного его сечения, что привело к уменьшению уровня налива металла в прибыльной части до 500 мм (против 530 мм).

В соответствии с существующими условиями нагрева слитков, прокатки их и калибровки валков было принято квадратное сечение слитка при конусности, равной 3,5%.

С целью достижения минимальной донной обрези слитка форма низа изложницы была принята близкой к шаровой.

На основании изложенного была разработана конструкция опытной изложницы, изменение основных параметров которой по сравнению с существующей характеризуется следующим сопоставлением:

	Обычная	Опытная
Масса изложницы, т	7,35	8,4
Масса слитка, т	6,9	8,023
Отношение масс изложницы и слитка .	1,08	1,05
Сечение изложницы, мм		
верх	715 × 715	760 × 760
низ	610 × 610	630 × 630
Высота изложницы, мм	2190	2285
Толщина стенки, мм	130	140
Конусность, %	3,0	3,5

Опытные изложницы для отливки 8-т слитков были изготовлены в литейном цехе Руставского металлургического завода.

Сборка и подготовка состава производились согласно существующей заводской технологической инструкции. Разливка стали осуществлялась из 200-т ковша через отверстие шиберного типа стаканом диаметром 50 мм со скоростью 250—350 мм/мин. Общее количество изложниц, заполненных металлом, не превышало 25, а продолжительность разливки была на 10—15 мин меньше, чем 6,9-т слитков.

Выдержка состава после разливки, снятие прибыльных надставок, нагрев в колодцах и прокатка как 8-т, так и 6,9-т слитков на блюмы, заготовки и трубы практически были одинаковы и соответствовали заводским технологическим инструкциям.

При оценке качества поверхности слитков, блюмсов и заготовок было установлено, что качество металла 8-т слитков вполне удовлетворительно и аналогично качеству металла 6,9-т слитков. Никаких неудобств в работе стрипперного отделения марганцовского цеха или при нагреве в рекуператорных колодцах и прокатке не наблюдалось. При



ЭТОМ ВОЗРОСЛА ПРОИЗВОДИТЕЛЬНОСТЬ ПРОКАТНОГО СТАНА И УМЕНЬШИЛСЯ РАХОД ЭЛЕКТРОЭНЕРГИИ И УСЛОВНОГО ТОПЛИВА.

Академия наук Грузинской ССР
Институт metallurgии
им. 50-летия СССР

(Поступило 3.9.1982)

მიზანურგია

ჭ. მუშკუძიანი, დ. მალეკავლიძე, ა. გაბისიანი, რ. მენაბდე,
ა. ლომაშვილი

8-ტ სხმულის ჩამოსხმის ათვისება რუსთავის მეტალურგიულ ქარხანაში

რეზიუმე

ათვისებულია ახალი კონსტრუქციის ყრუქირა ზემოთ გაფართოებული ბოკი 8-ტ მშვიდი მარკის ფოლადების ჩამოსხმისათვის, ნაცვლად არსებული 6,9-ტ სხმულისა, ამ ღონისძიებამ ფოლადსადნობ საამქროს მისცა საშუალება შეემცირებინა მოძრავი შემაღებელობის აწყობის დრო და გაეზარდა საჩამოსხმო მალის გამტარუნარიანობა. 8-ტ სხმულიდან მიღებული ლითონის ხარისხი ანალოგიურია 6,9-ტ სხმულიდან მიღებულ ლითონის ხარისხისა. ამასთან იზრდება საგლანვავი დგანის წარმადობა და მცირდება პირობითი სათბობისა და ელექტროენერგიის ხარჯი.

METALLURGY

Z. A. MUSHKUDIANI, D. L. MAGLAKELIDZE, A. G. GABISIANI,
R. A. MENABDE, A. N. LOMASHVILI

TEEMING OF 8-TON INGOTS AT RUSTAVI STEEL-WORKS

S u m m a r y

A new design of a closed-bottom mould, widening upwards, for teeming 8-ton ingots of killed steels, instead of the 6.9-t ingots cast at the steel-works earlier, has been developed and mastered. This has allowed to reduce the period of compound assembling and to increase the capacity of the teeming aisle of the open-hearth plant. The metal quality of 8-t ingots is identical with that of 6.9-t ingots. In addition, the productivity of the mill increases and the consumption of electric power and equivalent fuel decreases.



ლიტერატურა — REFERENCES

1. В. А. Ефимов. Разливка и кристаллизация стали. М., 1976, 552.
2. М. И. Колосов, А. И. Строганов и др. Качество слитка спокойной стали. М., 1973, 408.
3. В. А. Ефимов. Стальной слиток. М., 1961, 356.
4. С. П. Бакуменко, Б. Б. Гуляев, Э. В. Верховцев. Снижение отходов стального слитка. М., 1967, 234.
5. А. Л. Маркарянц, А. И. Данилина. Сталь, № 7, 8, 1941.

МЕТАЛЛУРГИЯ

И. А. БАЙРАМАШВИЛИ, Дж. Ш. ДЖОБАВА, Г. И. КАЛАНДАДЗЕ,
Г. П. ЛОМИДЗЕ, Ш. А. ЛОЛАДЗЕ, Ю. И. СОЛОЕВ

УЛЬТРАЗВУКОВОЕ ДИСПЕРГИРОВАНИЕ ПОРОШКА КРИСТАЛЛИЧЕСКОГО БОРА

(Представлено членом-корреспондентом Академии Г. Г. Гвелесиани 2.9.1982)

Измельчение кристаллического бора β -ромбоэдрической модификации на планетарно-центробежных, вибрационных, шаровых и вихревых мельницах было изучено авторами работ [1, 2]. Из-за высокой твердости β -бора (9,3 по Моосу) на вышеперечисленных мельницах невозможно избежать намола измельчителя. Намол металлических примесей достигает 5% масс и удаление его требует дополнительных операций.

Авторами работ [2, 3] установлена аморфизация частиц кристаллического бора в процессе тонкого диспергирования (ниже 7 мкм); показано, что этот эффект не зависит от способа получения и чистоты β -ромбоэдрического бора.

В настоящее время для измельчения порошковых материалов широкое применение находит метод ультразвукового диспергирования (УЗД) [4, 5]. В этих работах сделаны выводы, что наилучшие результаты достигаются при диспергировании твердых и хрупких материалов. Это послужило основанием при выборе данного метода для измельчения кристаллического бора β -ромбоэдрической модификации.

УЗД порошка кристаллического β -бора проводилось на установке и по режимам, рекомендованным в работе [5]. Объем рабочей камеры 1200 см³. Избыточное статическое давление создавалось сжатым аргоном и составляло 5·10⁵ Па. Температура диспергирующей среды (дистиллированной воды) поддерживалась ~50°C; весовое отношение твердой фазы (порошок) к диспергирующей среде составляло 1:6, а отношение порошка (15–20 мкм) и «мелющих» тел (30–40 мкм) – 1:0,6 соответственно. Объем суспензии 1100 см³. Время между сливами суспензии 3, 5, 10, 15 и 20 мин.

Результаты исследования УЗД порошков β -бора показали следующее: «мелющие» тела практически не измельчаются; оптимальное время измельчения 6–10 мин; интенсивный размол β -бора идет при исходных размерах частиц ≤ 15 мкм.

Порошки фракционировались сливом суспензии с помощью сливных кранов. Средний диаметр частиц оценивается по измерениям удельной поверхности методом газопроницаемости.

В табл. 1 приведены химический состав и удельная поверхность исследованных порошков. Сравнения данных химического и газового анализов показывают, что после УЗД содержание кислорода несколько повышается, а никеля и железа незначительно.

Значительное увеличение количества кислорода в порошке после УЗД можно объяснить использованием в качестве жидкой среды дистиллированной воды. Разрушение твердых тел связано с образованием новой поверхности, которая в момент образования нестабильна и обладает повышенной реакционной способностью. Являясь акцептором, бор должен образовывать наиболее прочные связи с электрот-



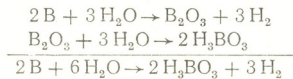
отрицательными элементами, одним из которых является кислород, в связи с чем резкое увеличение концентрации кислорода в порошке —

Таблица 1
Химический состав и удельная поверхность порошков

№ партии	Содержание элементов, % масс							Удельная поверхность S , $\text{м}^2/\text{г}$	d_{cp} , мкм	Примечание
	B	C	Ni	Fe	Si	Cu	O ₂			
1	98,4	0,96	0,34	0,22	0,1	0,09	0,05	0,08	~35	Исходный порошок до размола
2	94,4	"	1,37	2,78	"	"	n/o*	0,12	~20	Порошок после размола в планетарной мельнице
3	95,6	"	1,06	1,92	"	"	0,31	0,10	~20	Порошок после размола с помощью гидравлического узла
4	98,3	"	0,35	0,25	"	"	n/o	0,13	~20	Порошок после УЗД
5	98,2	"	0,42	0,31	"	"	n/o	0,27	~10	
6	98,0	"	0,49	0,48	"	"	1,3	1,2	~2	

* n/o — не определено.

результат химического взаимодействия поверхности раскола β -бора в момент его образования с водой по реакции



Увеличение удельной поверхности порошка с ростом дисперсности способствует этому процессу.

Порошки бора до и после УЗД изучались рентгенографически на дифрактометре ДРОН-0,5 (СоКа-излучение) в интервале углов от 8 до 26°, где отмечается наиболее отчетливое изменение рефлексов. Результаты исследований (рис. 1) показывают различие рентгенограмм порошка β -бора до и после УЗД. Характерной особенностью исходного бора (так же как и для порошков бора, размолотых на планетарной мельнице) является упорядоченность в его структуре (рис. 1, а).

На дифрактограммах диспергированных порошков β -бора (рис. 1, б и в) наблюдаются размытие и снижение некоторых рефлексов (линий интенсивности), что указывает на искажение кристаллической структуры порошка, разрыв многих связей и соответственно смешение и нарушение расположения атомов бора на различных индексах ромбоэдра. Следует отметить, что с ростом дисперсности порошковых частиц деформация кристаллической решетки и глубина структурных искажений увеличиваются.

В отличие от результатов, полученных в работах [2, 3], на рентгенограммах не обнаруживается аморфизация β -бора после УЗД; порошок размерами частиц $d_{cp} \sim 2$ мкм, несмотря на сильное искажение кристаллической решетки, сохраняет свою кристаллическую структуру. Это можно объяснить тем обстоятельством, что в приведенных работах [1—3] для измельчения применяются методы, создающие несколько видов разрушающих усилий (трение, раздавливание, удар и



их комбинации). Механизм же УЗД резко отличается от упомянутых выше, разрушение частиц здесь происходит за счет ударных волн (импульсных нагрузок), которые возникают при захлопывании кавитационных пузырьков в порах и трещинах частиц.

Для оценки эффективности УЗД проводилось спекание брикетов ($\varnothing 20, h=15$ мм) с начальной пористостью $\sim 35\%$, формированных из исходных порошков и из порошков, размолотых другими методами (намол в планетарной мельнице или с помощью электрогидравлического удара). Спекаемость порошков изучалась в атмосфере аргона в интервале температур $1900-1960^\circ\text{C}$.

Результаты экспериментов показали, что брикеты из исходных порошков и из порошков, размолотых в планетарной мельнице или с помощью электрогидравлического удара, при спекании практически не уплотняются вплоть до $\sim 2000^\circ\text{C}$, хотя в металлографических исследованиях отмечаются рост межчастичных контактов и изменение удельной поверхности.

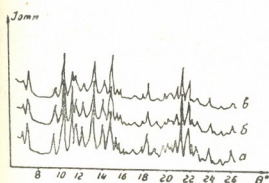


Рис. 1. Дифрактограммы порошка бора: а — до размоля ($d_{45} \sim 35$ мкм); после УЗД: б — $d_{45} \sim 20$ мкм; в — $d_{45} \sim 2$ мкм

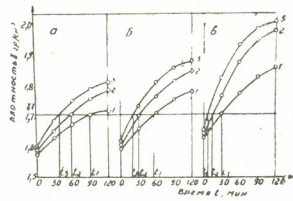


Рис. 2. Зависимость плотности от размера частиц и времени выдержки при спекании в аргоне: а — $d_{45} \sim 20$ мкм; б — $d_{45} \sim 10$ мкм; в — $d_{45} \sim 2$ мкм;
1 — 1900°C ; 2 — 1930°C ; 3 — 1960°C

На рис. 2 представлена кинетика уплотнения порошков β -бора, размолотых методом УЗД. Как видно, спекание порошков с дисперсностью $d_{45} \sim 2$ мкм позволяет достичь более высоких плотностей спеченных изделий по сравнению с изделиями, спеченными из порошков с размерами частиц $d_{45} \sim 10$ и ~ 20 мкм.

По экспериментальным данным кинетики уплотнения β -бора (рис. 2) проведен расчет энергии активации процесса уплотнения методом изоординатных сечений [6] по формуле

$$E_a = K (\ln t_1 - \ln t_2) \frac{T_1 \cdot T_2}{T_2 - T_1},$$

где E_a — энергия активации уплотнения; K — постоянная Больцмана; t_1 и t_2 — время выдержки при температурах T_1 и T_2 соответственно (необходимых для достижения постоянной плотности ρ_1).

В связи с тем что величина уплотнения порошков β -бора существенно зависит от размера частиц, энергия активации уплотнения определялась для фракций: а) $d_{45} \sim 20$ мкм; б) $d_{45} \sim 10$ мкм и в) $d_{45} \sim 2$ мкм с использованием в качестве независимой температуры и времени выдержки. Результаты расчетов представлены в табл. 2, из которой следует, что энергия активации снижается с ростом дисперсности.



Таким образом, УЗД порошков β -ромбоэдрического бора позволяет получать мелкодисперсные, активные порошки бора с сохранением кристаллической структуры.

Таблица 2

Результаты расчетов энергии активации уплотнения

Размер частиц d_{cp} , мкм	Энергия активации уплотнения E_a , кДж/моль
20	621
10	491
2	412

С увеличением дисперсности порошков от ~ 20 до ~ 2 мкм энергия активации уплотнения при спекании снижается от 621 до 412 кДж/моль.

Научно-исследовательский институт
стабильных изотопов

(Поступило 2.9.1982)

მეთალურგია

ი. ბაირამაშვილი, ჯ. ჯობავა, გ. კალანდაძე, გ. ლომიძე, უ. სოლოევ
ი. სოლოვია

პრისტალური გორის ცხვილის ულტრაბერით დისპერსიება

რეზიუმე

ულტრაბეგრით დისპერგირების მეთოდით მიღებულია წვრილდისპერსიული, მაღალაქტიური კრისტალური β -ბორის ფევნილი. შესწავლილია სხვადასხვა დისპერსიის ბორის ფევნილების შეცხობის კინეტიკა და განსაზღვრულია შეცხობის აქტივურის ენერგია.

METALLURGY

I. A. BAIRAMASHVILI, D. Sh. JOBAVA, G. I. KALANDADZE,
G. P. LOMIDZE, Sh. A. LOLADZE, Yu. I. SOLOEV

ULTRASONIC DISPERSION OF CRYSTALLINE BORON POWDER

Summary

The method of ultrasonic dispersion has been used to produce fine-grained crystalline β -boron powder. The kinetics of densification during sintering of different dispersity boron powders has been studied and the activation energy determined.

ლიტერატურა — ЛИТЕРАТУРА — REFERENCES

- К. П. Цомая, Г. В. Самсонов, Ф. Н. Тавадзе. Порошковая металлургия, № 3, 1973.
- К. П. Цомая, Ф. Н. Тавадзе и др. Порошковая металлургия, № 2, 1975.
- К. П. Цомая. Порошковая металлургия, № 3, 1975.
- Б. А. Агранат, В. И. Башкиров, Ю. И. Китайгородский, Н. Н. Хавский. Ультразвуковая технология. М., 1974, 504.
- В. Е. Мацера, В. С. Пугин и др. Порошковая металлургия, № 12, 1971.
- В. В. Скороход. Реологические основы теории спекания. Киев, 1972, 118.



МАШИНОВЕДЕНИЕ

Д. А. БАХТАДЗЕ

ОБЩЕЕ ВЫРАЖЕНИЕ ДЛЯ СВЕТОРАСПРЕДЕЛЕНИЯ ПРИ ФОТОМЕТРИЧЕСКИХ МЕТОДАХ ИЗМЕРЕНИЯ ДЕФОРМАЦИИ

(Представлено членом-корреспондентом Академии М. В. Хвингия 1.2.1983)

В разработанных методах исследования деформации, которые реализуются в измерительных устройствах [1—3], под действием прилагаемой нагрузки деформация изменяет сечение полости, по которой проходит световой поток и тем самым воздействует на величину проходящего светового потока.

Таким образом, возникает определенная зависимость потока от деформации.

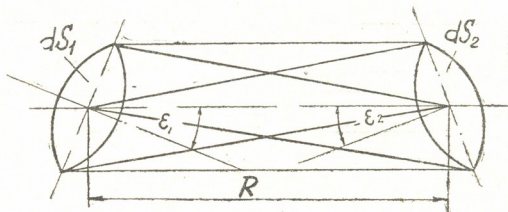


Рис. 1

В оптотехнике известна зависимость величины светового потока, проходящего через некоторую световую трубку, определяемую двумя элементарными площадками и расстоянием между ними [4]:

$$dF = \frac{Bds_1 \cos \varepsilon_1 ds_2 \cos \varepsilon_2}{R^2}, \quad (1)$$

где ds_1 — элемент излучающей поверхности; ds_2 — освещаемый элемент поверхности; ε_1 и ε_2 — углы наклона нормалей к обоим элементам к отрезку, соединяющему центры обоих элементов друг с другом; R — расстояние между центрами обоих элементов; B — яркость светового потока.

В предлагаемых устройствах ds_1 и ds_2 можно рассматривать как площади торца подводящего и воспринимающего световодов. Тогда формула (1) может быть применена для определения величины светового потока, проходящего через рассматриваемое устройство при отсутствии деформации. Если бы под действием прилагаемой нагрузки происходило изменение площадки входного или выходного отверстий, то тогда формула (1) могла бы быть использована и в этих случаях. Однако, на самом деле в рассматриваемых устройствах входное и выходное отверстия сохраняются неизмененными, а вследствие деформации происходит изменение сечения трубы между входными и выходными отверстиями.



Это обстоятельство не позволяет воспользоваться формулой (1) непосредственно. Отсюда возникает необходимость более детального рассмотрения зависимости между деформацией сечения трубы и проходящим световым потоком.

Для решения этой задачи можно воспользоваться приемом, применяемым при изучении светораспределения по полю зрения в широкоугольных фотографических объективах — изучением процесса виньетирования [4].

Можно исходить из того, что согласно принципиальной схеме устройств [1—3], сечение торцов подводящего света и воспринимающего свет световода перпендикулярно оси трубы, а расстояние между этими сечениями достаточно велико по отношению к линейным размерам этих сечений. Тогда величина светового потока F , проходящего через рассматриваемую световую трубку, может рассматриваться как сумма элементарных световых потоков, проходящих через элементарные световые трубы. Эта картина представлена на рис. 2.

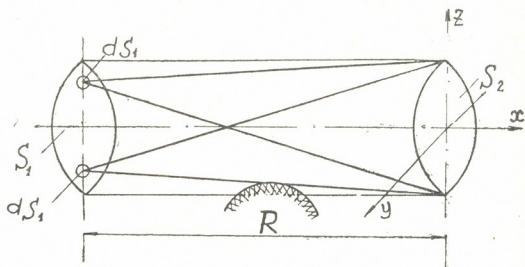


Рис. 2

Величина элементарного светового потока, в соответствии с формулой (1), равняется

$$dF_1 = Bds_1 \frac{s_2}{R^2}. \quad (2)$$

При отсутствии в световой трубке экранирующего элемента величина s_2 будет сохраняться постоянной при произвольном положении элемента ds_1 в плоскости входного сечения. При наличии же экранирования величина площади s_2 становится величиной переменной, зависящей от положения элемента в плоскости входного сечения.

Поэтому световой поток, проходящий через световую трубку, при наличии экранирования может быть выражен интегралом

$$F = \frac{B}{R^2} \int_{S_1} s_2 ds_1. \quad (3)$$

Возможен случай, когда расположение элемента ds_1 в плоскости входного сечения еще не будет изменять площади s_2 , и поэтому экранирование не имеет места. Тогда вся площадь входного сечения S_1 может быть разделена на две площади s_1' и s_1'' ⁽¹⁾, сумма которых должна быть равной площади S_1 , т. е.

$$s_1' + s_1'' = S_1. \quad (4)$$

⁽¹⁾ Здесь площадь s_1' представляет элемент излучающей поверхности, для которого освещаемая поверхность в начале экранирования может быть принята постоянным. s_1'' является площадью элемента излучающей поверхности, свет от которого экранируется до поступления на основевшему поверхность.

Если для площади s_1' площадь s_2 сохраняется постоянной и равной s_{02} , тогда световой поток может быть представлен в виде суммы двух интегралов

$$F = \frac{B}{R^2} \int_{s_1'} s_2 ds_1 + \frac{B}{R^2} \int_{s_1''} s_2 ds_1 = \frac{B}{R^2} s_{02} \cdot s_1' + \frac{B}{R^2} \int_{s_1''} s_2 ds_1. \quad (5)$$

Формула (5) определяет световой поток, проходящий через световую трубку при наличии экранирования в общем виде. Интеграл по площади s_1'' может быть представлен в виде двойного интеграла по координатным осям y и z , полагая, что ось x совпадает с осью световой трубы. Тогда

$$F = \frac{B}{R^2} \left[s_{02} \cdot s_1 + \int_{y_1}^{y_2} dy \int_{z_1}^{z_2} s_2(y, z) dz \right]. \quad (6)$$

Функцию $s_2(y, z)$ можно назвать функцией экранирования.

Функция экранирования в общем случае будет зависеть от двух факторов — формы и величины площади сечений световой трубы и формы и размеров экранирующего элемента.

Грузинский политехнический институт
им. В. И. Ленина

(Поступило 4.2.1983)

მანქანათმცოდნობა

ქ. ბახთაძე

ზოგადი გამოსახულება სინათლის განაწილებისათვის
დეფორმაციის გაზომვის ფოტომეტრიული მეთოდების
გამოყენებისას

რეზიუმე

დამუშავებულია დეფორმაციის გაზომვის ფოტომეტრიული მეთოდები. მოყვანილი მოსაზრების საფუძველზე მიღებულია ფორმულა, რომელიც განაზოგადებს რა ადრე არსებულ კანონზომიერებას, გვაძლევს საშუალებას დავადგინოთ სინათლის განაწილება, როდესაც მოღებული დატვირთვის გავლენით დეფორმაცია ცვლის განათებული სილუის განივცვეთ და ამით მოქმედებს გამავალი სინათლის ნაკადის სიდიდეზე.

MACHINE BUILDING SCIENCE

J. A. BAKHTADZE

GENERAL EXPRESSION OF LIGHT DISTRIBUTION AT THE APPLICATION OF PHOTOMETRIC METHODS OF DEFORMATION MEASURING

S u m m a r y

New methods of deformation investigation, realized in measuring systems, have been developed. Under the effect of an applied load, deformation



changes the cross section of the cavity, in which a light beam travels, thus affecting the magnitude of the travelling beam. Consequently, there arises a certain beam-to-deformation dependence.

ლიტერატურა — REFERENCES

1. Д. А. Бахтадзе, Ш. Я. Кереселидзе. Бюлл. изобр., № 23, 1966.
2. Д. А. Бахтадзе, Ш. Я. Кереселидзе, Л. Н. Джавахадзе, Г. А. Схиртладзе, С. Е. Убирая. Бюлл. изобр., № 40, 1978.
3. Д. А. Бахтадзе. Бюлл. изобр., № 21, 1982.
4. М. М. Русинов. Техническая оптика. Л., 1979.



УДК 627.842

ГИДРОТЕХНИКА

А. Г. ЧАНТУРИЯ

ОПРЕДЕЛЕНИЕ КОЭФФИЦИЕНТА УДЕЛЬНОГО УПРУГОГО ОТПОРА ПОРОДЫ МЕТОДОМ РЕГРЕССИОННОГО АНАЛИЗА ПО РЕЗУЛЬТАТАМ ИСПЫТАНИЯ НАПОРНЫХ ВЫРАБОТОК ГИДРОТЕХНИЧЕСКИХ ТУННЕЛЕЙ

(Представлено академиком Э. А. Сехниашвили 29.6.1983)

Коэффициент удельного упругого отпора горной породы K_0 , как основная характеристика для назначения конструкций обделок напорных гидротехнических туннелей, определяется на основе допущения линейно деформируемой работы горной среды. Результаты многолетних испытаний горных пород в натурных условиях свидетельствуют о недостаточной обоснованности такого подхода. К аналогичным выводам привели и результаты модельных исследований [1]. Полученные при экспериментальном исследовании данные показывают, что основными параметрами, влияющими на величину K_0 в реальных условиях, являются модуль деформации и степень трещиноватости породы, а также внутреннее давление и диаметр выработки.

Для установления связи между K_0 и перечисленными факторами были использованы данные натурных экспериментов, полученных разными авторами в результате испытаний осадочных горных пород методом напорных камер в районах строительства Рагунского, Зеленчукского, Ингурского, Токтогульского, Нуракского и некоторых зарубежных гидроузлов. Подбор для практически одинаковых видов горных пород (преимущественно известняков), изученных одинаковым методом испытания, производился с целью конкретизации вопроса и рассмотрения в определенном диапазоне деформационных свойств горных пород, часто встречающихся в горном гидроэнергостроительстве. Таким образом, рассмотрены 29 случаев испытаний горных пород в натурных условиях, приведенные в табл. 1.

На основании логических или дедуктивных построений, что вполне допустимо в рассматриваемом случае [2], в качестве неизвестных переменных были отобраны:

$X_1 - D$, диаметр выработки, см;

$X_2 - P$, давление внутреннее, кгс/см²;

$X_3 - E$, модуль деформации породы, кгс/см²;

$X_4 - M_t$, модуль трещиноватости.

Как видно из табл. 1, пределы варьирования этих переменных были следующие: $200 < D < 460$; $4 < P < 30$; $40000 < E < 120000$; $3,2 < M_t < 17,6$.

Регрессионный анализ позволяет установить изменение (в среднем) случайной величины с изменением одной или нескольких неслучайных величин при фиксированном значении неучтенных факторов [3].



Уравнение регрессии определялось с использованием схемы [Джиттла] решения нормальных уравнений, предусматривающей вычисления в функциях последовательного элиминирования на промежуточных стадиях расчета и в функциях полного элиминирования — на заключительной стадии.

Таблица 1

№ пп	D , см	P , кГ/см ²	E , кГ/см ²	M_t	$K_0^{\text{оп}}$, кГ/см ³	$K_0^{\text{фор.}}$, кГ/см ³	$\frac{K_0^{\text{оп}}}{K_0^{\text{фор.}}}$
1	200	7,5	60000	7,8	470	564,58	0,832
2	200	30	50000	7,8	420	385,00	1,109
3	200	7,5	70000	5,6	560	647,81	0,864
4	200	30	60000	5,6	500	468,23	1,07
5	200	30	80000	8,5	640	619,84	1,03
6	200	30	65000	5,6	520	507,61	1,02
7	200	30	50000	8,5	400	383,58	1,04
8	200	30	45000	11,2	360	338,70	1,06
9	200	30	30000	17,6	200	207,54	0,96
10	200	15	70000	5,6	560	614,20	0,91
11	200	15	60000	17,2	460	511,83	0,90
12	200	13,5	75000	10,2	600	650,94	0,92
13	200	13,5	70000	11,4	570	609,12	0,94
14	220	11,5	50000	17,2	420	429,10	0,98
15	330	9,5	70000	17,5	600	486,85	1,23
16	200	13	40000	17,5	350	362,67	0,97
17	200	17,5	75000	12,5	610	628,33	0,97
18	200	20,5	40000	18	340	328,05	1,04
19	200	28,5	65000	17,5	520	490,10	1,06
20	200	15	100000	8,5	880	844,56	1,04
21	200	18	80000	11,5	640	667,50	0,96
22	300	15	120000	3,2	900	914,57	0,98
23	260	20	100000	10,2	650	759,72	0,86
24	200	6	100000	7,8	1000	886,38	1,13
25	300	5	80000	8,1	800	634,39	1,26
26	310	20	100000	8,5	650	714,04	0,91
27	210	12	80000	10,2	800	687,21	1,16
28	250	17	80000	15,6	600	614,49	0,98
29	460	4	80000	17,2	400	463,09	0,86

Весь ход обработки опытных данных и нахождения численных коэффициентов уравнения регрессии был проведен на ЭВМ ЕС10-22.

Было получено следующее уравнение регрессии:

$$K_0 = 338 - 0,98D - 4,48P + 0,0078E - 2,02M_t. \quad (1)$$

Сводный коэффициент корреляции, R , служащий мерой тесноты линейной связи между исследуемыми параметрами, оказался равным 0,934, что указывает на достаточно тесную связь между указанными величинами. Значимость уравнения проверялась по критерию Фишера (F -критерию) при 5% уровне значимости. Проверка показала, что $F_{\text{расч}} = 7,769 > F_{\text{табл}}^{0,95} (\nu_1 = 4, \nu_2 = 24) = 2,78$, а, следовательно, полученное уравнение значимо [3].

По зависимости (1) определены значения K_0^{Φ} и сопоставлены с результатами натурных экспериментов. Как видно из табл. 1, значения K_0^{Φ} удовлетворительно совпадают с опытными $K_0^{\text{оп}}$.

В табл. 2 приведены рассчитанные по данным модельных экспериментов [1] с помощью зависимости (1) значения K_0^{Φ} , а также опытные значения $K_0^{\text{оп}}$, полученные по результатам испытания моделей с пересчетом на натуру без учета трещиноватости породы. При опреде-

лении K_0^M использованы значения диаметра выработки D и внутреннего давления P , соответствующие пределам варьирования переменных при получении формулы (1), а модуль деформации — в пределах реальных значений рассматриваемого вида горных пород. Как видно из табл. 2, значения K_0^Φ удовлетворительно совпадают с опытными K_0^M , средний разброс между которыми составляет 7%.

Таблица 2

№ пп	Модели	D , см	P , кг/см ²	E , кг/см ²	K_0^M , кг/см ³	K_0^Φ , кг/см ²	$\frac{K_0^M}{K_0^\Phi}$
1	Однородные	200	5	371250	2970	3044	0,96
2			10	262100	2100	2164	0,97
3			15	213750	1710	1758	0,97
4			20	185000	1480	1509	0,98
5			25	165000	1320	1329	0,99
6			30	151250	1210	1199	1,01
7		400	5	309885	2490	2364	1,05
8			10	219000	1760	1626	1,08
9			15	178485	1430	1275	1,12
10			20	154395	1240	1075	1,15
11			25	137970	1110	824	1,34
12			30	125925	1010	804	1,25
13	Неоднородные	200	5	157500	1260	1360	0,93
14			10	111250	890	973	0,92
15			15	90630	725	789	0,92
16			20	78380	627	669	0,94
17			25	70000	560	581	0,96
18			30	63760	510	510	1,00
19		400	5	128765	1020	938	1,08
20			10	91000	720	618	1,16
21			15	74165	590	463	1,27
22			20	64155	510	361	1,41
23			25	57330	450	282	1,59
24			30	52325	410	224	1,83
25		200	5	81250	650	762	0,85
26			10	57500	460	550	0,84
27			15	46880	375	444	0,84
28			20	40500	324	371	0,87
29			25	36250	290	315	0,92
30			30	33125	265	269	0,99

Полученное уравнение регрессии (1) на основании результатов натурных исследований, охватывающих широкое изменение входящих в него параметров (практически охвачены диапазоны изменения параметров, имеющих место на практике, хорошо описывает полученные данные при модельных исследованиях). Поэтому учитывая, что уравнение регрессии является многопараметровым и обеспечивает хорошее соответствие опытным данным, оно рекомендуется для практического применения при определении коэффициента удельного упругого отпора породы в диапазоне изменения входящих в него параметров: $D=200 \div 500$ см, $P=5 \div 30$ кг/см² и $E=40000 \div 200000$ кг/см², а M_t — по реальным условиям.

Грузинский НИИ энергетики
и гидротехнических сооружений

(Поступило 30.6.1983)

A. განთურია

მოს კანგის ხვედრითი ძრეპალი ზონალობის კოეფიციენტის
 განსაზღვრა რეგრესული ანალიზის გეომეტრიული
 გვირაბის დაზნევითი ხველების გამოცდების უდიებების
 მიხედვით

რეზიუმე

რეგრესული ანალიზის მეთოდით დადგენილია მთის ქანების ხვედრითი
 წინამდების კოეფიციენტის დამოკიდებულება დეფორმაციის მოდულსა, ქანის
 ბზარიანობასა, ექსპერიმენტულ ხვრელის დაწნევის სიდიდესა და მის დია-
 მეტრზე.

HYDRAULIC ENGINEERING

A. G. CHANTURIA

**DETERMINATION OF SPECIFIC ELASTIC STRENGTH COEFFICIENT
 BY THE METHOD OF REGRESSION ANALYSIS ACCORDING
 TO THE RESULTS OF PRESSURE EXCAVATIONS OF
 HYDROTECHNICAL TUNNELS**

Summary

By the method of regression analysis the relation between the coefficient of specific elastic strength of rocks K_0 and the deformation modulus, degree of rock fracture, inner pressure in excavation and its diameter, the values of which have been obtained by model studies, has been established.

The regression equation obtained describes the data of model studies sufficiently well.

ლიტერატურა — ЛИТЕРАТУРА — REFERENCES

1. А. Г. Чантуря. Сообщение АН ГССР, 67, № 1, 1972.
2. М. Езекиел, К. Фокс. Методы анализа корреляций и регрессий (линейных и нелинейных). М., 1966.
3. А. А. Френкель. Математический анализ производительности труда. М., 1968.

ГИДРОТЕХНИКА

Л. П. КУПАРАДЗЕ

**РЕЗУЛЬТАТЫ ДЛЯ РАСЧЕТА ДЛИНЫ ПОДПОРА В ТУННЕЛЯХ
С КОРОБОВЫМИ СЕЧЕНИЯМИ ПРИ НЕРАВНОМЕРНОМ
ТЕЧЕНИИ**

(Представлено членом-корреспондентом Академии Ш. Г. Напетваридзе 5.11.1982)

Разработаны специальные таблицы для определения длины подпора при неравномерном движении воды в туннелях с коробовыми сечениями (рис. 1). Работа является непосредственным продолжением работы М. А. Мосткова [1, 2]. Постановка вопроса и подход к расчету даются в работе [3].

Таблица 1

a^0	h/r	ω/r^2	$h_0/r=1,4$		$h_0/r=1,45$	
			$F(y)$	$f(y)$	$F(y)$	$f(y)$
0	2,0000	3,382	0,00000000	0,00000000	0,00000000	0,00000000
5	1,9990	3,382	+0,00357021	+0,00005462	+0,00455434	+0,00006958
10	1,9962	3,382	+0,01318810	+0,000039184	+0,01664809	+0,000049328
15	1,9914	3,381	+0,02903240	+0,000129311	+0,03629258	+0,000161021
20	1,9848	3,378	+0,05002435	+0,000295337	+0,06199673	+0,000364262
25	1,9763	3,375	+0,07617095	+0,000560235	+0,09367154	+0,000685108
30	1,9659	3,370	+0,10722539	+0,000944549	+0,13094965	+0,001146385
35	1,9537	3,363	+0,14273143	+0,001464285	+0,17324823	+0,001765494
40	1,9397	3,354	+0,18261226	+0,002139201	+0,22046650	+0,00264534
45	1,9239	3,342	+0,22685708	+0,002990888	+0,27260069	+0,003568045
50	1,9063	3,329	+0,27552301	+0,004043787	+0,32974494	+0,004804341
55	1,8870	3,312	+0,32846661	+0,005319484	+0,39177775	+0,006299027
60	1,8660	3,291	+0,38590097	+0,006850016	+0,45901779	+0,008096863
65	1,8434	3,268	+0,44785281	+0,008666220	+0,53159138	+0,010218479
70	1,8192	3,241	+0,51472475	+0,010814489	+0,61009938	+0,012740616
75	1,7934	3,210	+0,58705043	+0,013353857	+0,69534728	+0,015733794
80	1,7660	3,176	+0,66554004	+0,016360943	+0,78842633	+0,019300017
85	1,7373	3,138	+0,75024905	+0,019898190	+0,88976085	+0,023531814
90	1,7071	3,097	+0,84299625	+0,024117573	+1,00206488	+0,028641420
95	1,6756	3,051	+0,94487199	+0,029168387	+1,12751102	+0,034861686
100	1,6428	3,002	+1,05827836	+0,035300021	+1,27047565	+0,042593025
105	1,6088	2,949	+1,18644949	+0,042866557	+1,43761915	+0,052463230
110	1,5736	2,892	+1,33508601	+0,052463337	+1,64168372	+0,065645035
115	1,5373	2,832	+1,51369185	+0,06102318	+1,90874701	+0,084561660
120	1,5000	2,768	+1,74143071	+0,082809985	+2,31160652	+0,111941987
125	1,4617	2,701	+2,06788663	+0,110792902	+3,29385577	+0,200770745
130	1,4226	2,631	+2,70407719	+0,171256197	+0,76815928	-0,038545155

Методика расчета, как отмечалось раньше, обосновывается на численном интегрировании уравнения неравномерного течения в туннеле. Здесь мы остановимся на численных методах расчета. Нами



было испробовано разложение подынтегральной функции в ряд Тейлора, с выделением особых точек. Вычисления получились громоздкими, так как ряд Тейлора медленно сходится, и при разложении ряда приходится брать большое количество членов. В данном случае методы вычисления Симпсона и трапеции не являются эффективными.

Таблица 2

α^0	h/r	ω/r^2	$h_0/r = 1,9$		$h_0/r = 1,95$	
			$F(y)$	$f(y)$	$F(y)$	$f(y)$
0	2,0000	3,382	0,00000000	0,00000000	0,00000000	0,00000000
5	1,9990	3,382	-0,00756810	-0,000011771	-0,00939596	-0,000014652
10	1,9962	3,382	-0,03198032	-0,000098244	-0,04072961	-0,000125869
15	1,9914	3,381	-0,08195546	-0,000384699	-0,10823777	-0,000513596
20	1,9948	3,378	-0,16655438	-0,001057819	-0,23174173	-0,001498402
25	1,9763	3,375	-0,30547335	-0,002472865	-0,46200448	-0,003850862
30	1,9659	3,370	-0,53284870	-0,00503101528	-0,94267356	-0,009860324
35	1,9537	3,363	-0,91383839	-0,010908506	-2,58310896	-0,034360415
40	1,9397	3,351	-1,60407359	-0,022660563	-0,93398086	-0,004313077
45	1,9239	3,342	-3,08200196	-0,051334287	+0,47688338	+0,022644363
50	1,9063	3,329	-8,41164989	-0,168379218	+1,42620217	+0,043124846
55	1,8870	3,312	+67,19304810	+1,635197980	+2,26189111	+0,063238414
60	1,8660	3,291	+76,82396300	+1,891576780	+3,10821861	+0,085789987
65	1,8434	3,268	-17,50098350	-0,969367226	+4,06985088	+0,111006901
70	1,8192	3,241	-26,58531610	-1,256712520	+5,35118711	+0,155267779
75	1,7934	3,210	-28,90964570	-1,337789650	+7,84525126	+0,243430682
80	1,7660	3,176	-30,09543550	-1,383015020	-0,91443532	-0,097792744
85	1,7373	3,138	-30,82659140	-1,413438400	-2,87545512	-0,178974927
90	1,7071	3,097	-31,33052120	-1,436293590	-3,72774627	-0,217561555
95	1,6756	3,051	-31,6982680	-1,454474760	-4,24620534	-0,243171465
100	1,6428	3,002	-31,97873580	-1,469598880	-4,60499966	-0,262508752
105	1,6088	2,949	-32,19888030	-1,482560420	-4,87039042	-0,278128900
110	1,5736	2,892	-32,37582860	-1,493953220	-5,07549741	-0,291331506
115	1,5373	2,832	-32,52025630	-1,504141930	-5,23838125	-0,302820185
120	1,5000	2,768	-32,63953590	-1,513382130	-5,37025104	-0,313034333
125	1,4617	2,701	-32,73917770	-1,521880140	-5,47877842	-0,322289192
130	1,4226	2,631	-32,82275190	-1,529749200	-5,56876846	-0,330761629

тивными, потому что подынтегральная функция имеет производные высокого порядка [4]. Как известно, в этом случае эффективной может быть обобщенная квадратурная формула Гаусса, где в интерполяции берется девять корней для многочлена Лежандра.

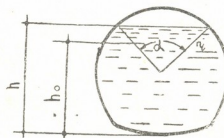


Рис. 1

Результаты, полученные методом Гаусса, совпали с результатами, ранее полученными М. А. Мостковым. Таким образом, удалось дополнить таблицы М. А. Мосткова для коробовых сечений с различными нормальными наполнениями и тем самым расширить диапазон применения этих таблиц.



Ниже даны новые таблицы для определения длины подпора в случае коробовых сечений. Формулу для определения длины подпора и способ использования этих таблиц здесь не приводим, они даются в работе [3].

В таблицах: h — глубина наполнения воды в туннеле; h_0 — нормальная глубина; α^0 — центральный угол наполнения в туннеле; $y=h/r$ — относительная глубина воды; r — линейный размер (радиус) (рис. 1); ω/r^2 — относительная площадь живого сечения в туннеле при h/r глубине наполнения.

Академия наук Грузинской ССР
Институт строительной механики
и сейсмостойкости
им. К. С. Завриева

(Поступило 5.11.1982)

© ГИДРОСТРОЕНИЯ

Л. П. КУПАРАДЗЕ

АКАДЕМИЯ НАУК ГРУЗИНСКОЙ ССР
Институт строительной механики
и сейсмостойкости
им. К. С. Завриева

Гидравлическая
инженерия

Большое внимание в гидравлической инженерии уделяется расчету длины подпора в туннелях с коробовыми сечениями. Для этого предложены специальные таблицы, позволяющие определить длину подпора в зависимости от различных параметров туннеля и режима движения воды. В работе [1,2] приведены результаты расчетов, полученные на основе метода конечных элементов, что позволяет учесть сложные гидравлические процессы в туннелях с коробовыми сечениями.

HYDRAULIC ENGINEERING

L. P. KUPARADZE

RESULTS FOR CALCULATING THE LENGTH OF HEADRACE AT IRREGULAR FLOW IN BOX-SECTION TUNNELS

Summary

Special tables are presented for calculating the length of backwater at non-uniform flow in multi-centred box-section conduits for various normal filling regimes.

The present results, together with those of M. A. Mostkov, extend the range of application of these tables.

Литература — REFERENCES

1. М. А. Мостков. Изв. ВНИИГ, № 5, 1933.
2. М. А. Мостков. ГТС, № 3, 1951.
3. Л. П. Купарадзе. Сообщения АН ГССР. 111 № 3, 1982.
4. Г. Корн, Т. Корн. Справочник для научных работников и инженеров. М., 1978.

АВТОМАТИЧЕСКОЕ УПРАВЛЕНИЕ И ВЫЧИСЛИТ. ТЕХНИКА

К. Г. КАХЕЛАДЗЕ, Г. К. АРУТИОНОВ, А. И. ДЖАНАШВИЛИ,
Н. П. БУЛИЯ

К ВОПРОСУ КОСВЕННОГО ОПРЕДЕЛЕНИЯ ПАРАМЕТРОВ ЭЛЕМЕНТОВ МНОГОКОМПОНЕНТНЫХ ЖИДКИХ СРЕД С ПРИМЕНЕНИЕМ СРЕДСТВ ВТ

(Представлено членом-корреспондентом Академии В. К. Чичинадзе 24.6.1982)

При создании автоматических систем управления технологическими процессами и производством химической и металлургической промышленности часто одним из основных, решающих факторов надежной и достоверной их работы является правильное определение параметров — плотностей, масс и объемов составных частей многокомпонентных жидкых сред.

Использование для этой цели существующих весовых, гидростатических, поплавковых измерителей плотности [1] не дает возможности проводить измерения с нужной точностью, и поэтому они мало применимы.

До настоящего времени проведено большое число теоретических и экспериментальных исследований, имеющих целью создание надежных систем определения параметров многокомпонентных сред, основанных на прямых и косвенных методах измерения, однако все известные способы и принципы измерения, осуществляемые в реальном масштабе времени, исключают или затрудняют получение достоверных результатов.

Предложенная система даст возможность по общим параметрам — общей плотности и массе, измеренным при различных температурах, и по введенным значениям плотностей составных элементов исследуемой жидкости определить массы или объемы последних.

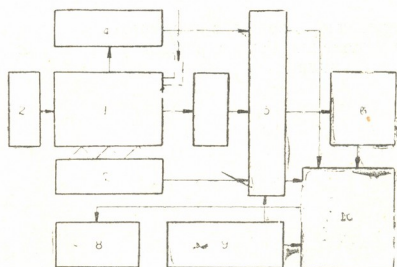


Рис. 1

Исследуемая жидкость поступает в сосуд 1 (рис. 1), и ее общие параметры определяются устройствами, измеряющими температуру 3, плотность 4, массу 7 автоматизированной системы, которая, кроме того, содержит нагреватель 2, устройство ввода исходных данных 9, узел разрешения на ввод измерительной информации 5, библиотеку значе-

ний зависимостей плотностей от температур — $\rho_i = F(t^0_i)$ для компонент среды 6, вычислительное устройство 10 и устройство отображения и регистрации информации 8.

Перед началом работы системы с устройства 9 вводятся исходные данные, характеризующие исследуемую жидкую среду: количество составляющих элементов; значения (вид) составляющих элементов; значения ступеней измерения температуры (дискретность изменения температуры).

Работа системы протекает в следующей последовательности: замеряются при помощи устройств 3, 4, 7 температура, плотность и масса жидкости — t^0_1, ρ_0, m_0 и по сигналу с устройства 9 данные замеры поступают через узел разрешения 5 на библиотеку значения зависимостей плотности от температуры 6 и вход вычислительного устройства 10. В зависимости от исходных данных устройства 9 и в библиотеке отбираются данные о значении плотностей элементов $\rho_{0,i}$ при начальной температуре t^0_1 , которые также поступают на вход вычислительного устройства 10. Затем осуществляется нагрев исследуемой жидкости посредством нагревателя 2 до температуры t^0_2 , заданной от устройства 9; после этого из библиотеки 6 извлекаются данные о новых значениях плотностей элементов $\rho_{1,i}$ соответственно для нового значения температуры, и эти значения также поступают на вход вычислительного устройства 10 вместе с новыми значениями плотности и массы.

Изменение массы исследуемой жидкости среды может быть вызвано испарением в процессе нагрева, а это может внести определенные искажения в результат измерения [2], и поэтому на каждой ступени изменения температуры осуществляется повторное измерение этого параметра.

Циклы подогрева исследуемой жидкости и снятие замеров осуществляются по числу определяемых элементов в исследуемой среде, и их количество задается, как это было указано выше, устройством ввода исходных данных (9).

После окончания процесса последовательного нагрева жидкой среды и циклов измерения по полученным результатам вычислительное устройство проводит определение масс составных частей в последней.

Для n -компонентной среды с помощью вычислительного устройства методом исключения Гаусса решается система n линейных неоднородных уравнений вида

$$\sum_{k=1}^n m_k = m_0;$$

$$\sum_{k=1}^n m_k \prod_{\substack{1 \leq j \leq n \\ j \neq k}} \rho_{j,i} = \frac{\prod_{1 \leq j \leq n} \rho_{j,i}}{\rho_{0,i}} m_0; \quad (1)$$

$$i = \overline{1, n-1},$$

где m_0 — суммарная масса всех компонентов, m_k — масса k -го компонента, i — число нагревания среды, $\rho_{0,i}$ — плотность среды при i -м нагревании, $\rho_{j,i}$ — плотность j -го компонента при i -м нагревании.

Система (1) является однозначно разрешимой и устойчивой.
 В частности, для трехкомпонентной среды

$$\begin{aligned}
 m_1 = m_0 & \frac{\rho_{1,1} \rho_{1,2} [\rho_{3,1} \rho_{0,1} \rho_{2,2} (\rho_{0,2} - \rho_{3,1}) -}{\rho_{0,1} \rho_{0,2} [\rho_{1,1} \rho_{3,1} \rho_{2,2} (\rho_{1,2} - \rho_{3,2}) -} \\
 & - \rho_{2,1} \rho_{3,1} \rho_{0,2} (\rho_{2,2} - \rho_{3,2}) - \rho_{2,1} \rho_{0,1} \rho_{3,2} (\rho_{0,2} - \rho_{2,2})] ; \\
 & - \rho_{1,1} \rho_{2,1} \rho_{3,1} (\rho_{1,2} - \rho_{2,2}) - \rho_{2,1} \rho_{3,1} \rho_{1,2} (\rho_{2,2} - \rho_{3,2})] \\
 m_2 = m_0 & \frac{\rho_{2,1} \rho_{2,2} [\rho_{1,1} \rho_{3,1} \rho_{0,2} (\rho_{2,2} - \rho_{3,2}) -}{\rho_{0,1} \rho_{0,2} [\rho_{1,1} \rho_{3,1} \rho_{2,2} (\rho_{1,2} - \rho_{3,2}) -} \\
 & - \rho_{1,1} \rho_{0,1} \rho_{3,2} (\rho_{1,1} - \rho_{0,2}) - \rho_{3,1} \rho_{0,1} \rho_{1,2} (\rho_{0,2} - \rho_{3,2})] ; \\
 & - \rho_{1,1} \rho_{2,1} \rho_{3,2} (\rho_{1,2} - \rho_{2,2}) - \rho_{2,1} \rho_{3,1} \rho_{1,2} (\rho_{2,2} - \rho_{3,2})] \\
 m_3 = m_0 & \frac{\rho_{3,1} \rho_{3,2} [\rho_{1,1} \rho_{2,2} \rho_{0,1} (\rho_{1,2} - \rho_{0,2}) -}{\rho_{0,1} \rho_{0,2} [\rho_{1,1} \rho_{3,1} \rho_{2,2} (\rho_{1,2} - \rho_{3,2}) -} \\
 & - \rho_{1,1} \rho_{2,1} \rho_{0,2} (\rho_{1,2} - \rho_{3,2}) - \rho_{2,1} \rho_{0,1} \rho_{1,2} (\rho_{2,2} - \rho_{0,2})] ; \\
 & - \rho_{1,1} \rho_{2,1} \rho_{3,2} (\rho_{1,2} - \rho_{2,2}) - \rho_{2,1} \rho_{3,1} \rho_{1,2} (\rho_{2,2} - \rho_{3,2})]
 \end{aligned}$$

Аналогично выводятся значения масс составных частей n -компонентной исследуемой среды.

Всесоюзный научно-исследовательский
 институт аналитической техники
 НПО «Аналитприбор»
 Тбилиси

(Поступило 25.6.1982)

ავტორატური მართვა და გამოთვლითი რეკონკის

გ. კახელაძე, გ. არუთინოვი, ა. ჯანაშვილი, ნ. ბულაძე

მრავალკომპონენტიანი თხევადი ნივთიერების
 კარაგერიანი განსაზღვრის საკითხისათვის გამოთვლითი ტექნიკის
 საშუალებით

რეზიუმე

ნაჩვენებია ახალი ხერხი მრავალკომპონენტიანი თხევადი ნივთიერების
 უმაღლენელი ნაწილების პარამეტრების (მასის და მოცულობის განსაზღვრის)
 რიბი მეთოდებით.

განვითარებული ავტომატიზებული სისტემის მეშვეობით განისაზღვ-
 რება თხევადი ნივთიერების საერთო სიმკერივე, მასა და მოცულობა გარ-
 კეული ტემპერატურის დროს და ამ უკანასკნელის მიხედვით გამომთვლელ
 მოწყობილობაში შეივანება ნივთიერების ელემენტების სიმკერივის მნიშვნე-
 ლობები მუდმივი სიდიდეების ბიბლიოთეკიდან.

პარამეტრების განსაზღვრა ხორციელდება ელექტრონული გამოთვლითი
 სისტემის მეშვეობით.

AUTOMATIC CONTROL AND COMPUTER ENGINEERING

K. G. KAKHELADZE, G. K. ARUTYUNOV, A. I. JANASHVILI, N. P. BULIA

TOWARDS INDIRECT DETERMINATION OF THE PARAMETERS
 OF ELEMENTS OF MULTICOMPONENT MEDIA WITH THE
 HELP OF COMPUTER FACILITIES

Summary

A new indirect method is considered for the determination of such component parameters of multicomponent media as mass and volume. Using an automated system the total density, mass and volume of the liquid medium are determined in the process of measurement and, according to the results obtained, the values of density of individual components, the number of measurement cycles and the number of temperature variation stages—depending on the number of components in the liquid—are entered into the computer from the library of constant values. The parameters are determined by an electronic computing system.

СОДЕРЖАНИЕ — ЛИТЕРАТУРА — REFERENCES

1. М. В. Кулаков, А. В. Казаков, М. В. Шелястин. Технологические измерения и аналитические приборы в химической промышленности. М., 1964.
2. К. Г. Кахеладзе. Автоматическое измерение и расчет параметров проката в динамическом режиме. Тбилиси, 1979.



АВТОМАТИЧЕСКОЕ УПРАВЛЕНИЕ И ВЫЧИСЛИТ. ТЕХНИКА

Н. В. ЦОМАЯ

ОБ АЛГОРИТМЕ УПОРЯДОЧЕННОЙ ВЫБОРКИ В АССОЦИАТИВНОМ ПАРАЛЛЕЛЬНОМ ПРОЦЕССОРЕ

(Представлено академиком И. В. Прангишвили 24.6.1982)

В статье предлагается новый алгоритм упорядоченной выборки, реализуемый в ассоциативном параллельном процессоре (АПП), обрабатывающем данные параллельно по словам и последовательно по группам разрядов [1], позволяющий в 2—3 раза уменьшить время выполнения алгоритма упорядоченной выборки по сравнению с существующим в АПП [2].

Размещение обрабатываемого массива размерностью N n -разрядных чисел (целых, двоичных, без знака) в матрице памяти АПП данной структуры размерностью M строк L столбцов приводится на рис. 1. Предполагается, что $N \leq M$ $n < L$. Массив A делится на подмассивы размерностью N m -разрядных чисел, где $m = \frac{n}{l}$ — целое число.

$$A = A_1 \cdot 2^{m(l-1)} + A_{(l-1)} \cdot 2^{m(l-2)} + \cdots + A_1 \cdot 2^0,$$

где A_j — подмассивы ($j = 1, 2, \dots, l$).

$A_j = a_{(jm-1)} \cdot 2^{(m-1)} + a_{(jm-2)} \cdot 2^{(m-2)} + \cdots + a_{(jm-m)} \cdot 2^0$,
где a_i — i -ые разряды всех чисел массива.

Каждый l -й подмассив записывается в соответствующую l -ю подматрицу, кроме того, в каждой подматрице имеются вспомогательные одноразрядные зоны c_l, d_l для меток.

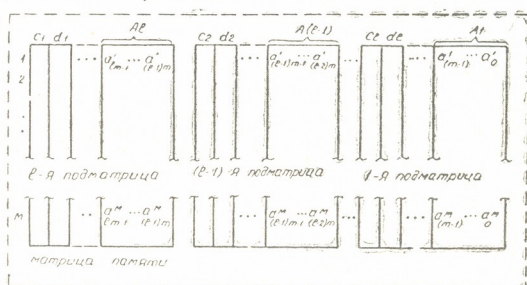


Рис. 1

Ниже приведем описание предлагаемого алгоритма, используя элементы теории множеств.

Рассмотрим сначала случай, когда $N=2^n$, $M=N$ и $n < L$.

Совокупность всех чисел обрабатываемого массива обозначим через множество A .



$A = \{a \mid a \text{ целое в двоичной системе счисления } 0 \leq a \leq N\}$, где $|A| = N$, т. е. все элементы данного множества различны.

Построим семейство $\mathbf{A} = \{A_{i_1} \mid i_1 \in I\}$ подмножеств множества A , где $I = \{i_1 \mid i_1 \text{ целое } 1 \leq i_1 \leq 2^m\}$ — индексное множество, удовлетворяющее условиям: 1—1. $A_{i_1} \subset A$ для $\forall i_1$; 1—2. $A_{i_1} \neq \emptyset$ для $\forall i_1$; 1—3. при $i_1 \neq k_1$, $A_{i_1} \cap A_{k_1} = \emptyset$; 1—4. $a_{i_1} > a_{(i_1+1)}$, где $a_{i_1} \in A_{i_1}$, $a_{(i_1+1)} \in A_{(i_1+1)}$ для $\forall i_1$; 1—5. $|A_{i_1}| = \frac{|A|}{2^m}$ для $\forall i_1$; 1—6. $\bigcup_{i_1 \in I} A_{i_1} = A$ и т. д.

Построим семейство $\mathbf{A}_{i_1, \dots, i_{(j-1)}} = \{A_{i_1, \dots, i_j} \mid i_j \in I_{i_1, \dots, i_{(j-1)}}\}$ ($j=2, 3, \dots, l$) подмножеств, соответствующих множеств $A_{i_1, \dots, i_{(j-1)}}$ для всех $i_1 \in I$, $i_2 \in I_{i_1, \dots, i_{(j-1)}}$, ..., $i_j \in I_{i_1, \dots, i_{(j-1)}}$, где $I_{i_1, \dots, i_{(j-1)}} = \{i_j \mid i_j \text{ целое } 1 \leq i_j \leq 2^{m-j}\}$ — индексное множество, удовлетворяющее условиям: $j-1$. $A_{i_1, \dots, i_j} \subset A_{i_1, \dots, i_{(j-1)}}$ для $\forall i_j$; $j-2$. $A_{i_1, \dots, i_j} \neq \emptyset$ для $\forall i_j$; $j-3$. при $i_j \neq k_j$, $A_{i_1, \dots, i_j} \cap A_{i_1, \dots, i_{(j-1)}, k_j} = \emptyset$; $j-4$. $a_{i_1, \dots, i_j} > a_{i_1, \dots, (i_j+1)}$, где $a_{i_1, \dots, i_j} \in A_{i_1, \dots, i_j}$, $a_{i_1, \dots, (i_j+1)} \in A_{i_1, \dots, (i_j+1)}$ для $\forall i_j$; $j-5$. $|A_{i_1, \dots, i_j}| = \frac{|A|}{2^{jm}}$; $j-6$. $\bigcup_{i_j \in I_{i_1, \dots, i_{(j-1)}}} A_{i_1, \dots, i_j} = A_{i_1, \dots, i_{(j-1)}}$; $j-7$.

$$\bigcup_{i_1 \in I} (\cdots (\bigcup_{i_j \in I_{i_1, \dots, i_{(j-1)}}} A_{i_1, \dots, i_j})) = A.$$

Запись «1» в строках c_j соответствует тому факту, что числа, записанные на данных строках, являются элементами множества, из семейства подмножеств которого выбирается элемент с максимальным значением. Запись «1» в строках d_j соответствует элементу с максимальным значением в семействе подмножеств данного множества, из которого выбирается максимальный элемент, после его нахождения.

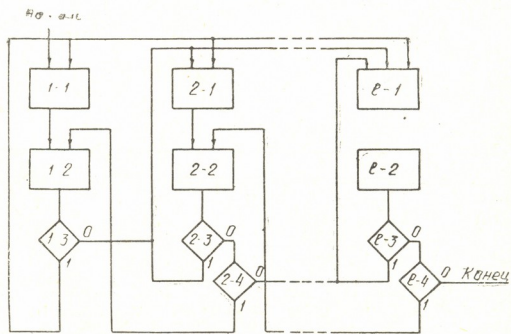


Рис. 2

Блок-схема алгоритма приведена на рис. 2. Ниже дается описание данного алгоритма.

Вначале во всех строках c_1 записываются „1“, а в c_2, \dots, c_l и d_1, d_2, \dots, d_l записываются „0“, что соответствует тому, что все числа являются элементами множества A , т. е. $A = \{A_{i_1} \mid i_1 \in I\}$; $\mathbf{A}_{i_1} = \emptyset, \dots, \mathbf{A}_{i_1, \dots, i_{(l-1)}} = \emptyset$; $i_1 = 1, i_2 = 0, \dots, i_l = 0$.

В блоке $j-1$ $\mathbf{A}_{i_1, \dots, i_{(j-1)}} = \mathbf{A}_{i_1, \dots, i_{(j-1)}}$, $i_j = i_j$ алгоритмом последовательно-поразрядной обработки в $l-(j-1)$ -й подматрице из $\mathbf{A}_{i_1, \dots, i_{(j-1)}}$ вы-

бирается A_{i_1, \dots, i_j} и записывается „1“ в тех строках d_j , где записаны числа, которые являются элементами данного подмножества.

В блоке $j=2$ если $j < l$, то в $c_{(j+1)}$ записывается содержимое d_j , d_j обнуляется, а в c_j записывается „0“ в тех строках, где в $c_{(j+1)}$ записаны „1“; если $j=l$, то считывается число с меткой „1“ в d_j из матрицы памяти, d_j обнуляется, а в c_j записывается „0“ в той строке, из которой было считано число, т. е.

$$A_{i_1, \dots, i_{(j-1)}} = A_{i_1, \dots, i_{(j-1)}} \setminus \{A_{i_1, \dots, i_j}\}, c_{(j+1)} = d_j, d_j = 0, i_{(j+1)} = 1.$$

В блоке $j=3$ проверяется содержимое c_j , имеются или нет строки с меткой „1“, т. е. $|A_{i_1, \dots, i_{(j-1)}}| \geq 0$, и переход по условию:

- a) если $|A_{i_1, \dots, i_{(j-1)}}| > 0$, то $i_j = i_j + 1$ и перейти к блоку $j=1$;
- б) если $|A_{i_1, \dots, i_{(j-1)}}| = 0$, то проверяется содержимое $d_{(j-1)}$, находятся или нет строки с меткой „1“, т. е. $|A_{i_1, \dots, (i_{(j-1)}+1)}| \geq 0$, и перейти по условию;
- в) если $|A_{i_1, \dots, (i_{(j-1)}+1)}| > 0$, то перейти к блоку $j=2$;
- г) если $|A_{i_1, \dots, (i_{(j-1)}+1)}| = 0$, то перейти к блоку $(j+1)-1$ и выполнить блоки $(j+1)-1, \dots, l-1$, параллельно, если $j < l$, и конец, если $j=l$.

Время выполнения данного алгоритма равно

$$T = \left\{ 2n + 3l + 3 \left[\sum_{i=1}^l (l-i)(2^{im} - 2^{(i-1)m}) \right] + (N-1) \left(2 \frac{n}{l} + 3 \right) \right\} \tau, \quad (1)$$

где τ — время выполнения одной микрокоманды.

Теперь рассмотрим случай, когда $N=2^s$, $N=M$, $n < L$, где $s=\log M$ и $s < n$ и все элементы данного массива различны.

В данном случае массив из N n -разрядных чисел может содержать: 1) числа, у которых различны старшие s разрядов; 2) числа, у которых различны младшие s разрядов; 3) числа, у которых различны и старшие и младшие разряды.

В первом случае время выполнения данного алгоритма равно

$$T_1 = \left\{ 2n + 3l + 3 \left[\sum_{i=1}^l (l-i)(2^{im} - 2^{(i-1)m}) \right] + (N-1) \left(2 \frac{n}{l} + 3 \right) \right\} \tau, \quad (2)$$

где

$$2^{im} = \begin{cases} 2^{im}, & \text{если } 2^{im} \leq M, \\ M, & \text{если } 2^{im} > M. \end{cases}$$

Во втором случае время выполнения алгоритма равно

$$T_2 = \left\{ 2n + 3l + 3 \left[\sum_{i=1}^Q (Q-i)(2^{im} - 2^{(i-1)m}) \right] + (N-1) \left(2 \frac{n}{l} + 3 \right) \right\} \tau, \quad (3)$$

где

$$Q = \left[\frac{s}{m} \right].$$

В третьем случае

$$T_3 = \frac{T_1 + T_2}{2}. \quad (4)$$

На рис. 3 приводится зависимость $\frac{T}{N}$, $\frac{T_1}{N}$, $\frac{T_2}{N}$, $\frac{T_3}{N}$ от l ,

по формулам (1), (2), (3), (4) для $n=24$, $M=256$.



Как видно из рис. 3, время выполнения алгоритма упорядоченной выборки в данном АПП при $l'=6$ уменьшается в 3 раза по сравнению

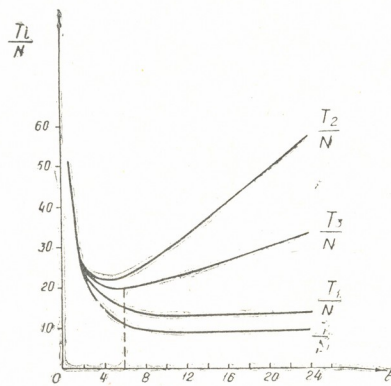


Рис. 1

с алгоритмом, реализуемым в АПП, обрабатывающим данные параллельно по словам и последовательно по разрядам.

Академия наук СССР
Институт проблем управления

(Поступило 25.6.1982)

© 1984 Издательство Академии Наук Грузинской ССР

б. Томасиа

Монография построена на основе работы А.Л. Гомберг и др.
Ассоциативный параллельный процессор

Редактор

Статья описывает новый алгоритм упорядоченной выборки, реализованный в ассоциативном параллельном процессоре (АПП), который обрабатывает данные в словах одновременно и группами категорий [1]. Предложенный алгоритм позволяет сократить время выполнения в 2-3 раза по сравнению с существующими АПП [2].

AUTOMATIC CONTROL AND COMPUTER ENGINEERING

N. V. TSOMAIA

CONCERNING AN ORDERED SAMPLING ALGORITHM IN AN
ASSOCIATIVE PARALLEL PROCESSOR

Summary

The paper presents a new algorithm of ordered sampling realized in an associative parallel processor (APP) that handles data in words simultaneously and in groups of categories [1] consecutively. The proposed algorithm permits a 2 to 3 times reduction of the time of performance of the algorithm of ordered sampling in comparison with the available APP [2].

СПИСОК ЛИТЕРАТУРЫ — REFERENCES

1. Н. В. Цомая. Труды ИСУ АН ГССР. Тбилиси, 1981.
2. К. М. Фостер. Ассоциативные параллельные процессоры. М., 1981.



АВТОМАТИЧЕСКОЕ УПРАВЛЕНИЕ И ВЫЧИСЛИТ. ТЕХНИКА

Р. А. ПЕТРИАШВИЛИ

О ВОЗМОЖНЫХ КРИТЕРИЯХ В ЗАДАЧЕ ОПТИМИЗАЦИИ СТАЦИОНАРНОГО ПРОЦЕССА РАЗДЕЛЕНИЯ ДВУХКОПМОНЕНТНОЙ ИЗОТОПНОЙ СМЕСИ В НАСАДОЧНЫХ КОЛОННАХ

(Представлено членом-корреспондентом Академии В. К. Чичинадзе 2.9.1982)

Производство стабильных изотопов связано с созданием и ведением реального технологического процесса, для чего требуются определенные материальные, энергетические и трудовые затраты. Оценку эффективности работ насадочных колонн можно осуществить, используя следующие показатели экономического характера [1]:

Себестоимость выпускаемой продукции

$$I_1 = \frac{1}{P} (K_F F - K_w W + A), \quad (1)$$

где F, P, W — материальные расходы питания, отбора и отвала, соответственно; K_F, K_w — стоимость единицы исходного сырья и отвала, соответственно; A — постоянные эксплуатационные расходы.

Сумма прибыли, получаемой в единицу времени

$$I_2 = P(C - I_1), \quad (2)$$

где C — цена готовой продукции.

Норма прибыли

$$I_3 = \frac{I_2}{PI_1}. \quad (3)$$

Можно использовать также другую оценку: из теории разделения известно, что колонна работает эффективно при соблюдении условия оптимального ввода $X_0 = X_F$. Здесь X_0, X_F — концентрация целевого изотопа соответственно в потоках орошения и питания в точке, где происходит смешивание этих потоков. Поэтому для оценки эффективности можно принять функцию

$$I_4 = X_F + |X_F - X_0|, \quad (4)$$

в которой X_F — заданная величина.

Вышеуказанные показатели эффективности (1) — (4) являются функциями переменных P, F, W, X_0 и при постановке задач статической оптимизации могут быть использованы в качестве целевых функций.



Отметим, что связь между параметрами P, F, W, X_0 представляется уравнениями математической модели объекта [2], которая для разделения двухкомпонентной изотопной смеси имеет вид

$$\frac{dx_l}{dz} = -S_l E \frac{x_l^2 - x_l \left[1 + \frac{P}{L_l E} (X_k E + 1 - E) \right] + \frac{P}{L_l E} X_k}{1 - E x_l},$$

$$\frac{dx_w}{dz} = -S_w E \frac{x_w^2 - x_w \left[1 - \frac{W}{L_w E} (X_w E + 1 - E) \right] - \frac{W}{L_w E} X_w}{1 - E x_w}, \quad (5)$$

$$F = P + W,$$

$$F X_F = P X_k + W X_w,$$

где i — текущий номер колонны; z — безразмерная координата ($0 \leq z \leq 1$); E — коэффициент обогащения; x — текущее значение молярной концентрации целевого изотопа вдоль колонн; X_F, X_k, X_w — молярные концентрации целевого изотопа в газовых потоках питания, отбора и отвала соответственно; L_l, L_w — жидкостные потоки орошения концентрирующей и отвальной секции соответственно; S_l, S_w — число теоретических ступеней концентрирующей и отвальной секций соответственно.

Решение систем уравнений (5) в виде $F = F(P)$, $W = W(P)$, $X_0 = X_0(P)$ дает возможность представить (1)–(4) как функции одной переменной:

$$I_j = I_j(P) \quad (j = 1, 2, 3, 4). \quad (6)$$

Целью оптимизации является поиск экстремума функции (1)–(4). Поэтому разработка эффективных алгоритмов поиска требует изучения функций (6) и определения вида их характеристик. Для решения этой задачи рассмотрена конкретная двухсекционная установка для получения изотопа Бор-10 со следующими параметрами: $X_F = 0,186$; $X_k = 0,9$; $L_k = L_w = 534$ моль/час; $S_k = 203$; $S_w = 44$; $E = 0,03$; $K_F = 3$ руб./моль; $K_w = 0,95$ руб./моль; $A = 120$ руб./чес; $C = 84,78$ руб./моль.

Составлены алгоритм и программа для решения систем уравнений (5), которые из-за громоздкости здесь не приводятся. Следует отметить, что (5) решается аналитически и получается система из трансцендентных уравнений. Для решения полученной системы были использованы численные методы. Расчеты проведены на ЭВМ «Электроника ДЗ-28».

Из приведенных результатов (характеристики см. на рис. 1) видно, что (1)–(4) являются непрерывными функциями аргумента P в интервале $(0, P_m)$, где $P_m = 3,09681$ моль/час. При условии $P > P_m$ решения для системы (5) не имеется, т. е. для заданного значения параметров технологического процесса не существует. Можно также сказать, что эти функции являются одноэкстремальными. Как и ожидалось, J_1 и J_3 имеют экстремум в одной и той же точке.

Таким образом, если задается один какой-нибудь функционал из (1)–(4) в качестве критерия, целью оптимизации является поиск та-



кого значения параметра P , при котором этот критерий принимает экстремальное значение.

Значительный интерес представляет задача, когда оптимизируются несколько показателей одновременно. Такую задачу можно решить с применением метода векторной оптимизации [3].

В соответствии с [3] для нашей задачи векторный критерий можно представить в следующем виде:

$$I = \sum_{j=1}^n \left(\frac{I_j - I_j^*}{I_j^*} \right)^2, \quad (7)$$

где n — число скалярных критерииев I_j ; I_j^* — экстремальное значение скалярного функционала.

Для рассмотренных выше критериев имеем $I_1^* = 62,2203$ руб./моль; $I_2^* = 64,5622$ руб./час; $I_3^* = 0,36257$; $I_4^* = 0,186$.

Векторный критерий (7) можно задавать при разных комбинациях I_1, I_2, I_3, I_4 . Из всех возможных комбинаций отпадает случай одновременной оптимизации критериев I_1, I_3 , так как эти функционалы не имеют конкурирующего свойства и задача превращается в задачу скалярной оптимизации.

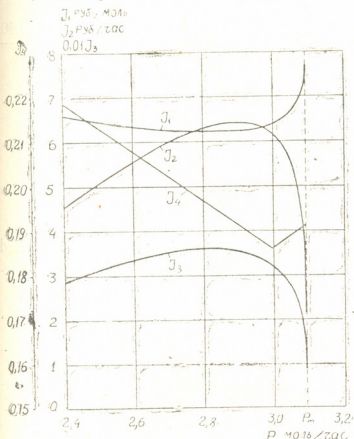


Рис. 1

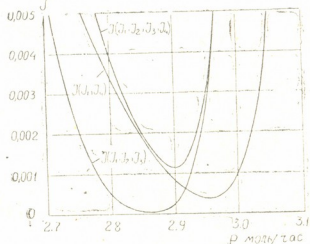


Рис. 2

Для определения вида функциональной зависимости (7) от параметра P проведены расчеты и построены графики векторных функционалов $I(I_1, I_4)$, $I(I_1, I_2, I_3)$, $I(I_1, I_2, I_3, I_4)$. Из полученных характеристик (см. рис. 2) можно заключить, что векторные функционалы (7) также являются непрерывными одноэкстремальными функциями параметра P в интервале $(0, P_m)$.

Таким образом, вышеуказанные критерии (1)–(4), (7) можно успешно использовать при решении задач скалярной и векторной оптимизации.



Полученные результаты исследования этих функционалов дают возможность разработки эффективных алгоритмов расчета.

ВНИПИавтоматпром

(Поступило 3.9.1982)

ავტომატური გარემოა და გამოთვლითი ტექნიკა

ၬ. အောက်ရှိတွေများ

ნაციონალური სეიმიგში ღრმულობისთვის იქოტოპური ნარვის
გაყოფის სტაციონარული პროცესის მდგრადი ამოცანაში

၄၁၈

შესწავლილია კრიტერიუმები, რომელთა საშუალებითაც შეიძლება შეფას-
დეს სამრეწველო ნაცმიანი დანაღვარების მუშაობის ეფექტურობა. მათ საფუ-
ძველზე შესაძლებელი ხდება სტაბილური იზოტოპების გაყოფის სტაციონა-
რული პროცესის ოპტიმიზაციის ამოცანის გაღაეყენება.

AUTOMATIC CONTROL AND COMPUTER ENGINEERING

R. A. PETRIASHVILI

ON THE POSSIBLE CRITERIA IN AN OPTIMIZATION PROBLEM OF A STATIONARY PROCESS OF BINARY ISOTOPE MIXTURE SEPARATION IN PACKED COLUMNS

Summary

The criteria of operation efficiency evaluation of industrial packed column plants have been studied, permitting to solve the problem of stationary process optimization of stable isotope separation.

ଲେଖକାରୀଙ୍କ ପରିଚୟ — LITERATURA — REFERENCES

1. А. И. Бояринов, В. В. Кафаров. Методы оптимизации в химической технологии. М., 1975.
 2. А. М. Розен. Теория разделения изотопов в колоннах. М., 1960.
 3. М. Е. Салуквадзе. Задачи векторной оптимизации в теории управления. Тбилиси, 1975.



ФИЗИОЛОГИЯ РАСТЕНИЙ

Ш. Л. ХОПЕРИЯ, М. С. ГЕРГАЯ

ВЛИЯНИЕ АЗОТНЫХ УДОБРЕНИЙ, ПРИМЕНЕННЫХ СОВМЕСТНО С ПЕСТИЦИДАМИ, НА НЕКОТОРЫЕ ФИЗИОЛОГИЧЕСКИЕ ПОКАЗАТЕЛИ И УРОЖАЙНОСТЬ ЦИТРУСОВЫХ

(Представлено академиком Л. А. Канчавели 30.12.1982)

Внекорневое питание давно известно как средство повышения урожайности сельскохозяйственных культур. Однако доказано, что потребность растений в основных питательных веществах невозможно полностью удовлетворить только через листья. Для этого понадобилось бы многократное подкармливание растения оптимальными концентрациями этих веществ с большим расходом воды [1], что практически нерентабельно. Если подкармливание проводить малыми количествами воды и эпизодически, то необходимо повышать в растворах концентрацию питательных веществ, что может оказывать на растение отрицательное влияние и даже вызвать его гибель.

Между тем, даже в оптимальных концентрациях пестициды действуют на защищаемые растения различно: нейтрально, угнетающе и стимулирующее [2].

Повреждающее действие пестицидов на растение сопровождается угнетением фотосинтеза, повышением энергии дыхания [3]. Преодоление угнетающего или повреждающего действия пестицидов на растение может быть достигнуто применением пестицидных смесей с удобрениями [4].

Увеличение урожая на обработанных пестицидами растениях является следствием уничтожения вредных организмов, а в некоторых случаях и стимуляции растений, которое может быть усилено при применении пестицидов совместно с удобрениями. При этом удобрения, по мнению А. А. Богдановой, оказывают как бы терапевтическое влияние на растения, состоящее в восстановлении нарушенного воздействием яда обмена веществ, а также являются источником дополнительного питания [4]. Взаимоотношения, возникающие между растениями и пестицидами в процессе их применения, достаточно сложны и мало изучены. Условия, активизирующие физиологические процессы в случае применения пестицидов с удобрениями, способствуют усилинию синтеза органических соединений в растениях, повышая содержание дисахаров и белкового азота, что в конечном счете создает условия для дополнительного увеличения урожая по сравнению с применением пестицидов без удобрений. Кроме того, усиление физиологических процессов в растениях должно способствовать быстрому уменьшению в них остатков пестицидов, т. е. быстрой детоксикации применяемых препаратов, поэтому представлялось интересным изучить усиление физиологических процессов и детоксикацию пестицидов.

Опыты проводились в Махвилaurском цитрусовом совхозе Хелвачаурского района в 1974—1980 гг. на плодоносящих мандаринах сорта Уншиу. Опытный участок был разделен на три варианта: I вариант — чистый контроль без обработок пестицидами; II вариант — обработка пестицидами согласно агроправилам, III вариант — обработка по агроправилам + 1% аммиачная селитра в те же сроки,



Наблюдения велись на 540 растениях. Обработка цитрусовых комбинированной смесью фосфорорганических препаратов с 1% аммиачной селитрой проводилась 3 раза за вегетационный период, с июля до конца сентября, в периодах, предусмотренных агроправилами. Параллельно изучались изменения некоторых физиологических свойств растений и динамика исчезновения остатков примененных препаратов в листьях цитрусовых. Учет урожая производился по вариантам опыта.

Так как рост и развитие растений связано с наличием органических веществ, а последние синтезируются в процессе фотосинтеза, нами была поставлена цель изучить интенсивность фотосинтеза в вышеуказанных вариантах.

Фотосинтез определялся манометрическим методом Варбурга на 7, 15 и 25-й день после обработки. В эти же сроки устанавливалась активность «дыхания» (см. таб. 1).

Таблица 1

Влияние обработки и внекорневого питания азотными удобрениями на некоторые физиологические процессы, происходящие в растении

Показатели физиологических процессов	Контроль			Обработка по агроправилам			Опытный вариант		
	7-й день	15-й день	25-й день	6-й день	15-й день	25-й день	7-й день	15-й день	25-й день
Фотосинтез, мл/дм ² час	4,55	5,10	5,32	5,80	6,05	6,25	6,10	6,35	6,70
Дыхание, мкл/г сырой массы в час	545	528	510	490	475	470	470	462	460
Хлорофилл «а»	0,760	0,760	0,750	0,890	0,895	0,890	0,910	0,920	0,925
Хлорофилл «б»	0,450	0,455	0,440	0,460	0,470	0,470	0,471	0,480	0,475
Каротиноиды	1,120	1,130	1,125	1,220	1,230	1,235	1,290	1,310	1,310

Как видно из таблицы, интенсивность фотосинтеза в листьях мандарина по вариантам опыта различная. Так, на 7-й день после обработки во II варианте интенсивность фотосинтеза составляет 5,8 мг CO₂ в час, в III варианте — 6,10 мг, а в контроле — 4,55 мг. Такая же закономерность наблюдается на 15 и 25-й день после обработки. Интенсивность фотосинтеза на 25-й день более высокая, чем на 15 и 7-й, что вызвано более интенсивным употреблением ассимиляントов плодами цитрусовых. Таким образом, из всех вариантов III вариант, где фосфорорганические препараты комбинируются с аммиачной селитрой, характеризуется более высокой интенсивностью фотосинтеза. Что касается активности дыхания растений, то здесь имеет место обратное явление. В частности, там где интенсивность фотосинтеза высокая, активность дыхания снижается. Так, на 7-й день активность дыхания в III варианте составляет 470 мкл O₂ в час, тогда как в растениях контрольного варианта она равняется 545.

Известно, что интенсивность фотосинтеза зависит от содержания и изменения в листьях пигментов. Исходя из этого, нами изучалось содержание хлорофиллов «а», «б» и каротиноидов. Для определения пигментов брались те листья, в которых определялась интенсивность фотосинтеза (табл. 1).

По данным таблицы, содержание пигментов в листьях мандарина по вариантам опыта меняется. Например, на 7-й день во II варианте содержание хлорофилла «а» равно 0,89 мг (1 г сырой массы), в III варианте — 0,91 мг, а в контроле — 0,76 мг. Такая же разница зарегистрирована на 15 и 25-й день после обработки. Она наблюдается для



хлорофилла «б» и каротиноидов. Более высокое содержание хлорофилла «а», «хлорофилла «б» и каротиноидов в листьях мандарина отмечается в III варианте, чем и обусловливается большая интенсивность фотосинтеза.

Активизация вышеотмеченных жизненных процессов растений в итоге обусловливает большую их продуктивность, что выражается в росте урожая.

Учет урожая в течение 4 лет по вариантам показал, что III вариант дает прибавку урожая в среднем на 9—12%, т. е. на 32—40 ц/га (табл. 2).

Таблица 2

Учет урожая на опытных участках с 1977—1980 гг.

Варианты опыта	Собрано с 1 раст., кг	В среднем на 1 га, кг	Среди них нестандартных, %	Средний вес 1 шт., кг
1977 г.				
I вариант (контрольный без обработки)	23,71	23710	2,9	54
II вариант (обработка по агроправилам)	26,06	26060	2,0	61
III вариант (опытный)	28,62	28620	1,7	66
1978 г.				
I вариант (контрольный без обработки)	28,26	28260	3,9	48
II вариант (обработка по агроправилам)	30,87	30870	2,7	52
III вариант (опытный)	34,10	34100	2,1	56
1979 г.				
I вариант (контрольный без обработки)	16,85	21300	3,2	48
II вариант (обработка по агроправилам)	21,30	23910	1,5	57
III вариант (опытный)	23,91	16850	1,3	62
1980 г.				
I вариант (контрольный без обработки)	19,21	19210	2,2	48
II вариант (обработка по агроправилам)	24,73	24730	1,2	56
III вариант (опытный)	28,31	28310	1,2	63

Для выяснения вопроса детоксикации фоспрепаратов (карбофос и фосфамид) в листьях и плодах цитрусовых при их совместном применении с 1% раствором аммиачной селитры исследована динамика разложения их остатков. Для этого через определенное время (3—5 дней) после обработки пестицидами и комбинированными смесями в образцах определялись остатки пестицидов. Обнаружено, что в случае добавления к пестицидам 1% аммиачной селитры процесс разло-



заживления этих препаратов заканчивается на 5—6 дней раньше по сравнению с вариантом без добавления аммиачной селитры.

Особенно четко выражена указанная закономерность в случае использования карбофоса. Так, при отдельном применении 0,3% карбофоса инактивация заканчивается через 26 дней, а в варианте с добавками 1% аммиачной селитры — через 18 дней.

Изучение активации физиологических процессов растений показало, что комбинация фосфорорганических препаратов с аммиачной селитрой при обработке мандаринов усиливает синтез органических соединений (сумма сахаров повышается на 0,74%, содержание витамина С — на 2,86%, кислотность в пересчете на лимонную кислоту — на 0,22%) и ускоряет детоксикацию пестицидов в среднем на 6–8 дней.

Очевидно, этим объясняется и тот факт, что опрыскивание лимонных насаждений сорта Мейер 0,2% эмульсией фосфамида вызывает опадение листьев на 80—90%, а при добавлении 1% аммиачной селитры опадение листьев составляет не более 10—15%.

Исследованием некоторых физиологических показателей цитрусовых растений при их обработке комбинированной смесью пестицидов азотными удобрениями установлены усиление фотосинтеза и снижение активности дыхания, способствующие повышению урожая цитрусовых, ускорение детоксикации применяемых пестицидов (сокращение времени инактивации на 6—8 дней). Последнее имеет большое значение для уточнения сроков последней обработки растений пестицидами и предотвращения загрязнения окружающей среды.

НИИ защиты растений
МСХ ГССР

(Поступило 30.12.1982)

მცხენარება ფიზიოლოგი

ሸ. ክጠዋዎንስ, ዓ. ምዕራቅዎንስ

ପ୍ରେସିଡ୆ନ୍ସିଆନ୍ ଏକଟାଙ୍ଗ ହାରମ୍ଭାନ୍ଧିତ ଅଳ୍ପକାଳୀନ ସାମାଜିକ ବିଦ୍ୟାରେ ପାଇଁ ପରିଚାରିତ ହେଲାମୁଁ ଏହାରେ ପରିଚାରିତ ହେଲାମୁଁ ଏହାରେ ପରିଚାରିତ ହେଲାମୁଁ

დადგვნილია, რომ 1%-იანი ამონიუმის გვარჩილის ხსნარის დამატება ციტრუსების დაცვადებათა წინააღმდეგ გამოყენებულ კომპინირებულ ნაზავებში იწვევს მცენარის სასიცოცხლო პროცესების აქტივიზაციას, რაც განაპირობებს მოსავლიანობის ზრდას 9—12%-ით ანუ 29—32 ც/ჰა-ზე, და დეტოქსიკაციის დროსარებას 6-8 თვით.

PLANT PHYSIOLOGY

Sh. L. KHOPERIA, M. S. GERGAIA

THE EFFECT OF NITROGEN FERTILIZERS USED IN COMBINATION WITH PESTICIDES ON SOME PHYSIOLOGICAL INDICES AND CROPPING CAPACITY OF CITRUS PLANTS

Summary

The addition of a 1% ammonium nitrate solution to combined mixture used against citrus pests was found to activate the plant vital processes increasing the fruit yield by 9-12%, or 29-32 centner per ha.

ЛІТЕРАТУРА — REFERENCES

1. М. П. Петухов и др. Агрохимия и система удобрений. М., 1979.
 2. Г. С. Груздев. Химическая защита растений. М., 1974.
 3. გ. გ. გ. გ. ბ. ვ. ა. მ. ე. ნ. ბ. რ. დ. ე. ც. ს. ა. მ. ე. ბ. ა. ნ. თ. ბ. ი. ლ. ი. ს. ი. 1976.
 4. И. Г. Берим. Химическая защита растений. Л., 1966.



გენეტიკა და ცოდნები

3. ნასეიდაჟვილი

საქართველოს ხორბლის (T. AESTIVUM × T. DURUM)
სახეობათა უძრისი ჰიბრიდების გეორგი თაობაში ცოდნათა
ზარაობრის შესწავლის საგითხისათვის

(წარმოადგინა აკადემიის წევრ-კორესპონდენტმა დ. ჭოხაძე 21.11.1982)

გვარი Triticum აერთიანებს პლოიდობის დონის და ბიოლოგიურ-ბოტანიკურ-სამეცნიერო ნიშან-თვისებათ მიხედვით ერთმანეთისაგან მკეთრად განსხვავებულ მრავალ სახეობას. ამის გამო სახეობათა შორის ჰიბრიდებში გვაქვს ფორმათა წარმოქმნის ფართო სპექტრი.

ჩბილი (T. aestivum L.) და მაგარი (T. durum Desf.) ხორბლის სახეობათა შორის ჰიბრიდიზაცია ჩატარებული აქვს მრავალ მკვლევარს საინტერესო თეორიული და პრაქტიკული მნიშვნელობის შედეგებით [1—7], მაგრამ საქართველოში ამ მხრივ მონაცემები უმნიშვნელო რაოდენობით მოგვეპოვება [8,9]. ამის გამო ჩვენი გამოკვლევის ძირითად ამოცანას შეადგენდა დაგვეღინა საქართველოს ჩბილი და მაგარი ხორბლის აბორიგენული ჯიშ-პოპულაციების შეჯვარებით მიღებულ მეორე თაობის ჰიბრიდებში ფორმათა წარმოქმნის თავისებურებანი. ამ მიზნით საწყის მასალად შერჩეულ იქნა რბილი ხორბლის შემდეგი ჯიშები: დოლის პური 35-4, დოლის პური 18-46, თეთრი დოლის პური, კახური დოლის პური, თეთრი იფქლი, კორბოულის დოლის პური — Var. aestivum, ახალციხის წითელი დოლის პური, ძალისურა, წითელი იფქლი — Var. ferrugineum, ლაგოდეხის გრძელთავთავა, ხულუგო — Var. lutescens. ჩბილი ხორბლის აღნიშნული ჯიშებიდან შესაჯვარებლად გამოყენებულ იქნა მაგარი ხორბლის ხაზოვანი ჯიში ცერულესცენს 19/28) — Var. caerulescens. შეჯვარება ჩატარდა რეციპროკულად და მიღებულ იქნა 12 ჰიბრიდული კომბინაცია.

ჩბილი და მაგარი ხორბლის შეჯვარებით მიღებული მეორე თაობის ჰიბრიდების 12000 მცენარის მორფოლოგიური ნიშნების შესწავლით დადგენილ იქნა, რომ დათიშვა მეტად რთული ხსიათისა და მიმღინარეობს ფორმათა წარმოქმნის ფართო პროცესი. საწყისი ფორმების ტიპის და მათი მსგავსი მცენარეების პარალელურად გამოითქნენ შუალედური ფორმები და ისეთი ტიპის მცენარეები, რომლებიც სახეობრივი ნიშნების მიხედვით სცილდებიან შეჯვარებაში მონაწილე საწყისი ფორმებს. მიღებულ იქნა T. compactum-ის, T. spelta-ს ტიპის და Speltiforme-ს მსგავსი მცენარეები. გამოთქმულ მცენარეებში იყო ისეთიც, რომელთა მიკუთვნება მორფოლოგიური ნიშნებით ხორბლის რომელიმე სახეობისადმი შეუძლებელი იყო. გამოყოფილ იქნა რბილი და მაგარი ხორბლის ახალი სახესხვაობები.



მეორე თაობის რთული პოპულაცია სახეობრივი ნიშნების მიხრდულობაზე ყოფილი იქნა რვა ჯგუფად: 1) რბილი ხორბლის ტიპი (21%), 2) რბილი ხორბლის მსგავსი (17,6%), 3) შუალედური (18%), 4) მაგრამ ხორბლის ტიპი (18%), 5) მაგარი ხორბლის მსგავსი (13%), 6) *T. compactum*-ის ტიპი (4,9%), 7) *T. spelta*-ს ტიპი (4,8%) და 8) *Speltiforme*-ს ტიპი (2,6%). თითოეული ჯგუფის შიგნით მცენარეები ერთმანეთისაგან განიჩრეოდნენ დათავთვების დროით (აღრეული — საგვიანო), დაავადების მიმართ გამძლეობით (გამძლე და მიმღებიანი), მცენარის სიმაღლით (მაღალი, საშუალო და მოკლედურობიანი), თავთავის შემარცვლის დონით (სტერილური, ნახევრად ფერტილური და ფერტილური) და სხვა. ფერტილობის მაღალი დონე ახასიათებდა რბილი და მაგარი ხორბლის ტიპის და მათ მსგავს მცენარეებს.

მეორე თაობაში მიღებულ მცენარეთა დეტალური შესწავლით დადგენილ იქნა, რომ გამოთხშულ მცენარეთა დიდი უმეტესობა საწყისი ფორმების ტიპისაა და რბილი და მაგარი ხორბლის ტიპის მცენარეები 1:1 შეფარდებით არის წარმოდგენილი. საწყის ფორმებთან შუალედური ტიპის მცენარეთა მცენარე რაოდენობით წარმოქმნა უნდა აისანას იმ ფაქტით, რომ ამ ტიპის მცენარეთა ზრდა-განვითარებაზე მკვეთრად იმოქმედა ჰიბრიდული ნეკროზის, წითელი ჰიბრიდული ქლოროზის და ჰიბრიდული ქონდარობის გამაპირობებელმა ლიტალურმა ფერტორებმა [9].

ამრიგად, დადგენილ იქნა, რომ საქართველოს ხორბლის აბორიგენული ჯიშ-პოპულაციები მაგარ ხორბალთან შეგვარებისას იძლევიან ფორმათა წარმოქმნის ფართო სპექტრს, ხოლო გენეტიკური და სელექციური ოვალსაზრისით საყურადღებო ფორმები გამოითხება ისეთ ჰიბრიდულ კომბინაციებში, სადაც მაგარი ხორბლის ჯიშ ცერულესცენს 19/28-თან მონაწილეობს რბილი ხორბლის ჯიშები — ხულუგო, თეთრი იცქლი, კორბოულის დოლის პური, ახალციხის წითელი დოლის პური და ლაგოდეხის გრძელთავთავა.

საქართველოს სასოფლო-სამეურნეო ინსტიტუტი

(შემოვიდა 21.11.1980)

ГЕНЕТИКА И СЕЛЕКЦИЯ

П. П. НАСКИДАШВИЛИ

К ВОПРОСУ ИЗУЧЕНИЯ ФОРМООБРАЗОВАНИЯ ВТОРОГО ПОКОЛЕНИЯ МЕЖВИДОВЫХ ГИБРИДОВ ПШЕНИЦЫ (T. AESTIVUM \times T. DURUM) ГРУЗИИ

Резюме

Изучение формообразования межвидовых гибридов F_2 , полученных путем реципрокного скрещивания аборигенных сортов мягкой (Долис Пури 35-4, Долис Пури 18-46, Тетри Долис Пури, Кахури Доли Пури, Тетри Ипкли, Корбоулис Долис Пури — Var. *aestivum*, Ахалцихис Цители Долис Пури, Цители Долис Пури, Дзалисуре, Цители Ипкли — Var. *ferragineum*, Хулуго, Лагодехис Грдзелтавтава —

Var. *lutescens*) с твердой (церулесценс 19/28) пшеницей Грузии, показало, что выщепляются следующие типы: тип мягкой пшеницы (21%), близкие к мягкой (17,6%), промежуточные (18%), тип твердой (18%), близкие к твердой (13%), тип *T. compactum* (4,9%), тип *T. spelta* (4,8%) и *Speltiforme* (2,6%). Выщепляются совершенно новые разновидности типа мягкой и твердой пшеницы. Растения внутри каждого типа различались по устойчивости к грибным заболеваниям, по времени вегетации, по высоте растений, по степени fertильности колосса. Более высокофertильными оказались растения типа мягкой и твердой пшеницы.

 GENETICS AND SELECTION

P. P. NASKIDASHVILI

 TOWARDS THE STUDY OF THE FORMATION OF THE SECOND GENERATION OF INTERSPECIFIC HYBRIDS OF GEORGIAN WHEAT *T. AESTIVUM X T. DURUM*

Summary

A study of the formation of interspecific hybrids, obtained through reciprocal selection of aboriginal varieties of soft wheat (*Dolis puri*, *Tetri Ipkli*, *Korboulis Dolis puri*, *Tsiteli Dolis puri*, *Dzalisuri*, *Tsiteli Ipkli* var. *ferrugineum*, *Khulugo*, *Lagodekhis grdzeltavtava* var. *lutescens*) with Georgian durum wheat (tserulestse 19/28—var *caeruleascens*), has shown that the following types show diversion in F_2 : that of soft wheat (21%), those drawing close to soft wheat (17%), intermediate (18%), durum type (18%), those approximating durum wheat (13%), *T. compactum* (4.9%), *T. spelta* (4.2%) and *speltiforme* (2.6%). Absolutely new variations of the type of soft and durum wheat emerge. The plants within each type differ in their resistance to fungal diseases, vegetation time, height of plant, and degree of spike fertility. Plants belonging to the type of soft and durum wheats proved to be more fertile.

ლიტერატურა — REFERENCES

1. П. Н. Константинов. Труды по прикладной бот., ген. и селекции, IV, М.—Л., 1930.
2. П. Н. Константинов. Избранные сочинения. М., 1963.
3. Г. К. Мейстер. Ж. опытной агрономии Юго-Востока, I, вып. 1. М., 1922.
4. А. А. Сапегин. Труды по прикл. бот. ген. и селекции, т. 2, Л. 1928.
5. А. А. Сапегин. Изв. АН СССР, сер. биол., № 3, 1938.
6. Ю. А. Филиппенко. Изв. бюро по генетике, № 6, 1928.
7. А. Д. Шулыдин. Труды Ин-та генетики и селекции АН СССР, т. IV, К. 1955.
8. М. А. Сихарулидзе. Автографат докт дисс. Тбилиси, 1968.
9. ვ. ნასკიდაშვილი. საქართველოს ხორბლის სახეობათა შორისი პიბრიდიზაცია: თბილისი, 1978.



ФИЗИОЛОГИЯ ЧЕЛОВЕКА И ЖИВОТНЫХ

А. Н. БАКУРАДЗЕ (член-корреспондент АН ГССР), Г. Г. ЭЛИАВА

ИЗМЕНЕНИЕ СКРЫТОГО ПЕРИОДА ДВИГАТЕЛЬНОЙ РЕАКЦИИ В СВЯЗИ С ФАЗАМИ ДЫХАНИЯ

Установлено, что дыхательные импульсы широко иррадиируют по всей центральной нервной системе, оказывая влияние также на двигательную реакцию скелетной мускулатуры [1, 2].

Взаимосвязь двигательной и дыхательной функций, начиная еще с онтогенетической стадии развития организма, носит строго координированный характер [3], отражая динамику процессов возбуждения и торможения.

Значительный интерес представляет изучение взаимосвязи фаз дыхания и времени реакции (ВР), поскольку она имеет большое практическое значение для физиологии труда и спорта, спортивной медицины, гигиены человека, психологии.

Время сенсомоторной реакции (ВР) является адекватным показателем функционального состояния центральной нервной системы [4, 5].

В ряде работ показано закономерное изменение скрытого периода двигательной реакции в фазе вдоха и дыхательной паузе [6], выявленна функциональная значимость отдельных фаз дыхательного цикла при формировании произвольной двигательной реакции [5].

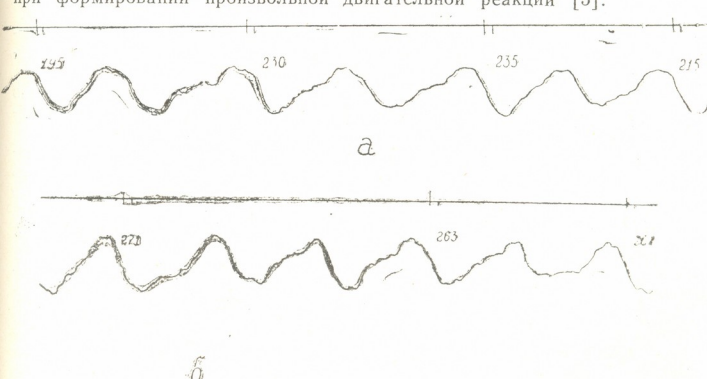


Рис. 1. ВР испытуемых в фазах выдоха при дыхании через нос (а) и через рот (б). На каждом фрагменте сверху вниз: отметка раздражения и реакции, дыхание; цифры соответствуют времени реакций в мс

Нашей целью было изучение изменения скрытого периода двигательной реакции в фазе выдоха при дыхании через нос и через рот в отдельности.

Испытуемыми были здоровые люди (студенты в возрасте 19—20 лет). После соответствующей тренировки и инструктажа испытуемых приступали к регистрации времени зрительно-двигательной реакции. „Знамёна“, № 111, № 3, 1983



ции на световой раздражитель. ВР измеряли электромиографом ЭМР-01. Испытуемые осуществляли глубокое дыхание. При дыхании через рот носовое дыхание выключали с помощью специального носового зажима. Регистрацию дыхания производили на полифизиографе фирмы «Галилео».

Над кривой дыхания регистрировались подача стимула и ответная реакция испытуемого в фазе выдоха через нос и через рот. Определяли среднее значение ВР. Исследования проведены на 60 испытуемых. Материалы исследования статистически достоверны ($P < 0,05$). ВР в фазе выдоха при дыхании только через рот увеличивается по сравнению с ВР при дыхании через нос (таблица).

Изменение ВР в фазе выдоха при дыхании через нос и через рот

№	Испытуемый	Время реакции на выдохе, мс (средние значения)	
		через нос	через рот
1	П. С.	230,2	261,4
2	К. Л.	282,8	332,3
3	М. К.	248,8	290,9
4	С. К.	170,4	202,1
5	Н. Т.	251,7	278,3
6	Н. Н.	217,8	235,3
7	К. Д.	196,6	220,1
8	Ш. Н.	186,6	215,5
9	С. Н.	221,0	301,8
10	К. К.	193,8	227,2
11	М. В.	275,0	308,5
12	Г. Г.	216,4	289,3

Носовое дыхание не только имеет гигиеническое значение (очищение воздуха от пыли, согревание воздуха и т. д.), но и играет характерную физиологическую роль.

Установлено, что при носовом дыхании потребление кислорода в коре головного мозга значительно возрастает по сравнению с дыханием через рот.

Условия эксперимента, когда каждый очередной сигнал ожидаем и, вместе с тем, стоит задача как можно быстрее «среагировать на сигнал», требующая неослабного внимания, позволяют считать, что реакция испытуемого представляет собой ориентировочную реакцию.

В 1947 г. был описан регулярный ритм электрических колебаний обонятельного мозга около 55 Гц, наблюдаемый у кроликов, а затем у всех высших позвоночных, и 55—70 Гц — у человека. Этот ритм считают выражителем внимания, ориентировочной реакции [7, 8]. В стимуляции высокочастотных составляющих ЭЭГ обонятельного мозга вместе с другими структурами имеет важное значение раздражение рецепторов слизистой оболочки носовой полости. Показано, что раздражение рецепторов слизистой оболочки при носовом дыхании стимулирует регулярный ритм и ослабляет его при отсутствии носового дыхания [9].

Таким образом, можно считать, что с прекращением носового дыхания у человека угнетение регулярного ритма сказывается на функциональном состоянии центральной нервной системы, на осуществлении ориентировочной реакции.

При выключении дыхания через нос ослабляется импульсация, вызванная раздражением слизистой оболочки носа, которая вместе сafferентацией от рецепторных образований дыхательного аппарата и ритмической импульсацией из дыхательного центра оказывает активирующую тонизирующую влияние на центральную нервную систему [10].

С другой стороны, форсированный вдох и выдох, действуя на дыхательные пути и оказывая сильное раздражающее действие на специальные носовые рецепторы, вызывают вегетативные рефлексы, расширяющие бронхи и бронхиолы, усиливая прохождение воздушной струи к легочным альвеолам.

В то время как у наших испытуемых глубокое дыхание через нос не вызывало никаких особых субъективных неприятных ощущений, при глубоком дыхании через рот испытуемые отмечали ощущение тяжести дыхания, развитие сухости во рту, чувство легкого головокружения и т. п. и просили не затягивать дыхание через рот.

Таким образом, суммируя ранее полученные данные [11], можно считать, что наблюдаемое нами при глубоком дыхании укорочение скрытого периода двигательной реакции в фазах вдоха и выдоха при дыхании через нос по сравнению с ВР при дыхании через рот обусловлено, по-видимому, теми функциональными, метаболическими, рефлекторно-вегетативными явлениями, связанными с раздражением рецепторных образований носовой полости, с сопутствующими субъективно-эмоциональными факторами, которые отражаются на функциональном состоянии дыхательного центра, центральной нервной системы.

Тот факт, что в фазе выдоха через нос по сравнению с фазой выдоха через рот скрытый период короче, должен указывать на то, что раздражение рецепторов дыхательных путей и в первую очередь носовой полости при выдохе через нос должно повышать возбудимость нервно-двигательного аппарата руки независимо и от иррадиации импульсов из дыхательного центра, раз в фазе выдоха центр вдоха заторможен и импульсы от них не могут распространяться на нервно-двигательный аппарат руки, или нужно допустить, что в это время иррадиация идет из центра выдоха.

Тбилисский государственный
медицинский институт

(Поступило 3.9.1982)

ადამიანისა და ცხოველთა ფიზიოლოგია

ა. გაგურაძე (საქ. სსრ მეცნ. აკადემიის წევრ-კორესპონდენტი), გ. მჭიათა

ადამიანის მოძრაობითი რჩაგვის ფარული პირობის ცვლილება
სუნთქვის ფაზების ფაზებში ცხვირით სუნთქვისას ხდება მოძრაობითი რეაქციის ფარული პერიოდის შემოკლება რეაქციის დროსთან შედარებით პირით სუნთქვისას, რაც, შესაძლოა, გაძირობებულია იმ ფუნქციური, მეტაბოლური, რეფლექსურ-ვეგეტატიური ძრებით, რომლებიც გამოწვეულია ცხვირის ლორწოვანი გარსის რეცეპტორული აპარატის გაღიზიანებით და თან მომდევარი სუბიექტურ-ემოციური ფაქტორებით. ეს ცვლილებები ახდენენ გავლენას სუნთქვითი ცენტრის, ცენტრალური ნერვული სისტემის ფუნქციურ მდგომარეობაზე.

რეზიუმე

შესწავლითი იყო ადამიანის მოძრაობითი რეაქციის ფარული პერიოდის ცვლილება სუნთქვის ფაზებთან დაკავშირებით. ლრმა სუნთქვის დროს ჩასუნთქვისას და ამოსუნთქვის ფაზებში ცხვირით სუნთქვისას ხდება მოძრაობითი რეაქციის ფარული პერიოდის შემოკლება რეაქციის დროსთან შედარებით პირით სუნთქვისას, რაც, შესაძლოა, გაძირობებულია იმ ფუნქციური, მეტაბოლური, რეფლექსურ-ვეგეტატიური ძრებით, რომლებიც გამოწვეულია ცხვირის ლორწოვანი გარსის რეცეპტორული აპარატის გაღიზიანებით და თან მომდევარი სუბიექტურ-ემოციური ფაქტორებით. ეს ცვლილებები ახდენენ გავლენას სუნთქვითი ცენტრის, ცენტრალური ნერვული სისტემის ფუნქციურ მდგომარეობაზე.

A. N. BAKURADZE, G. G. ELIAVA

CHANGES IN THE LATENT PERIOD OF THE HUMAN MOTOR REACTION IN RELATION TO THE RESPIRATION PHASES

Summary

The latent period of the human motor reaction has been studied in relation to the respiration phases. At deep respiration the latent period of the motor reaction in the inspiration and expiration phases was found to be shorter at respiration through the nose than at respiration through the mouth. This may be due to the functional, metabolic changes and to the vegetative reflexes arising at the stimulation receptors of the nasal mucous membrane, with accompanying subjective emotional factors. These changes affect the functional state of the respiration centre and of the central nervous system.

ЛІТЕРАТУРА — REFERENCES

1. Л. А. Орбелі. Избр. произв., т. 1. Л., 1961, 75—82.
2. А. И. Ройтбак. Сообщения АН ГССР, 14, № 6, 1953, 360—367.
3. А. Т. Худорожева. ЖВНД, т. IV, 1954, 93—103.
4. А. Н. Бакурадзе, Э. В. Атанелишвили. Сообщения АН ГССР, 60, № 2, 1970, 437—440.
5. Т. Д. Лоскутова. В кн.: «Нейрофизиологические исследования в экспертизе трудоспособности». М., 1978, 165—194.
6. А. И. Ройтбак, Ц. М. Дедабришвили, Н. К. Гоциридзе. Сб. «Современные проблемы морфологии, физиологии и патологии». Тбилиси, 1962, 89—98.
7. Д. М. Гедеванишвили. Некоторые актуальные вопросы физиологии и пути их решения. Тбилиси, 1970, 17—34.
8. Т. М. Ефремова, А. Т. Морозов, С. С. Соколов, Р. Шлихтхаяр. ЖВНД, 31, № 6, 1981, 1207—1215.
9. А. И. Ройтбак, С. Н. Хечинашвили. Физиол. ж. СССР, т. 28, № 3, 1952.
10. В. А. Сафонов, В. Н. Ефимов, А. А. Чумаченко. Нейрофизиология дыхания. М., 1980.
11. А. Н. Бакурадзе, Г. Г. Элиава, Н. Г. Начкебия. Сообщения АН ГССР, 106, № 1, 1982, 129—132.



ФИЗИОЛОГИЯ ЧЕЛОВЕКА И ЖИВОТНЫХ

Л. Р. ҚВИРКВЕЛИЯ, Л. Н. ҚОБИАШВИЛИ, Н. В. ДУМБАДЗЕ

ФУНКЦИОНАЛЬНОЕ ВЫКЛЮЧЕНИЕ КОРЫ ГОЛОВНОГО МОЗГА ПРИ ДЕЙСТВИИ НОВОКАИНА

(Представлено членом-корреспондентом Академии А. Н. Бакурадзе 1.7.1982)

Известно, что с целью функционального выключения отдельных структур центральной нервной системы могут быть использованы локальные анестетики [1—3]. Применение новокaina в качестве блокатора оправдано его воздействием на электрически возбудимые мембранны [4, 5]. Новокайн, как и тетрадотоксин, блокирует натриевые токи, тем самым вызывая стабилизацию мембрани. В настоящем сообщении показано действие новокaina на прямые электрические ответы коры, спонтанную ЭКГ и первичные зрительные ответы на ненаркотизированных кроликах в условиях острых опытов. Электрические эффекты регистрировались монополярно с помощью фитильковых электродов, смоченных в физиологическом растворе. Индифферентный электрод располагался на лобной кости. Через усилители переменного тока с постоянной времени 0,3 сек биопотенциалы записывались на осциллографе С1-18 или 4-канальном электроэнцефалографе ЭЭГПО2—04. Прямоугольные электрические стимулы наносились серебряными электродами от стимулятора с радиочастотным выходом. Световые вспышки подавались от фотостимулятора СФ-1. Корковые участки блокировались аппликацией фильтровальной бумаги, смоченной 10—20% раствором новокaina.

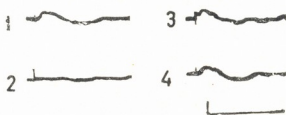


Рис. 1. Блокирующее действие новокaina на прямой электрический ответ коры: 1 — ПО правой лобной области, раздражение — 7В, 0,2 мсек; 2 — после аппликации новокaina; 3 — ПО левой лобной области коры; 4 — восстановление ПО правой стороны. Калибровка: 200 мкВ, 100 мсек

Эффекты блокирующего действия новокaina на прямой электрический ответ коры представлены на рис. 1. Показано, что после аппликации 20% раствора новокaina ПО почти полностью блокируется в участке аппликации (осциллограммы 1 и 2). В то же время в симметричной области контралатерального полушария прямой ответ коры на ипсилатеральное раздражение продолжает возникать (осциллограм-



ма 3). Через 40 мин после удаления новокaina в отравленном участке восстанавливается первоначальный ответ (осциллографма 4).

На рис. 2, А представлены записи спонтанной электрической активности коры головного мозга кролика и первичные зрительные ответы. После аппликации новокaina в ограниченном участке коры (указано стрелкой) локально угнетаются веретенообразные волны и первичные зрительные ответы (рис. 2, Б). Электрическая активность других участков коры (среди них и транскаллозального) не меняется. В транскаллозальном участке продолжают регистрироваться первичные зрительные ответы. После удаления новокaina восстанавливаются ответы в отравленном участке (В).

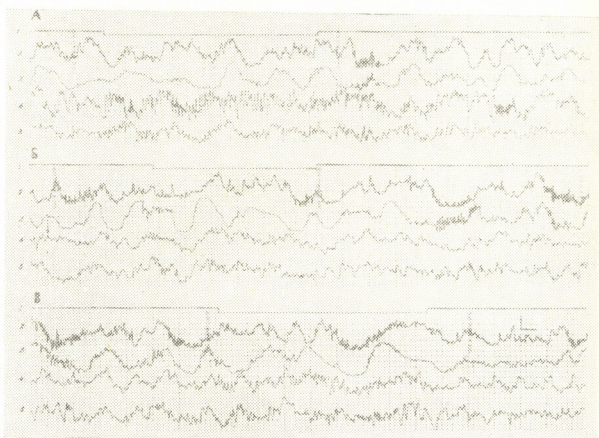


Рис. 2. Блокирующее действие новокaina на первичные зрительные ответы: 1 — отметка светового раздражения 6/сек; 2 — левая теменная область; 3 — правая теменная область; 4 и 5 — левая и правая затылочные области; А — фон; Б — после аппликации новокaina (указано стрелкой); В — через 40 мин после удаления новокaina. Калибровка: 100 мкВ, 1 сек

Угнетение прямых и первичных ответов коры, по-видимому, вызвано блокированием проведения импульсации в афферентных и эфферентных волокнах и падением возбудимости в постсинаптических структурах — дендритах и клеточных телах.

В контрольном опыте (рис. 3) сравнивали эффекты аппликации новокaina и физиологического раствора. В коре регистрируются генерализованные эпилептиформные разряды, вызванные электрическим раздражением дорсального гиппокампа (А). Корковые области билатерально с помощью пипетки обмываем физиологическим раствором (Б). Во всех регистрируемых областях электрические эффекты угнетаются, по-видимому, в результате механического раздражения поверхности коры [6], а также шунтирования биотоков в жидкости. Пос-



ле восстановления ЭЭГ активности (В) на один из корковых участков накладываем кусочек фильтровальной бумаги, смоченной физиологическим раствором (Г,2). Через 1—2 секунды полного торможения ЭЭГ активность возвращается к исходной величине (Д). Теперь на этот же участок накладываем фильтровальную бумагу, смоченную 20% раствором новокаина. Наступает длительное угнетение активности в участке аппликации (Е,2), распространяющееся частично и на симметричный участок коры.

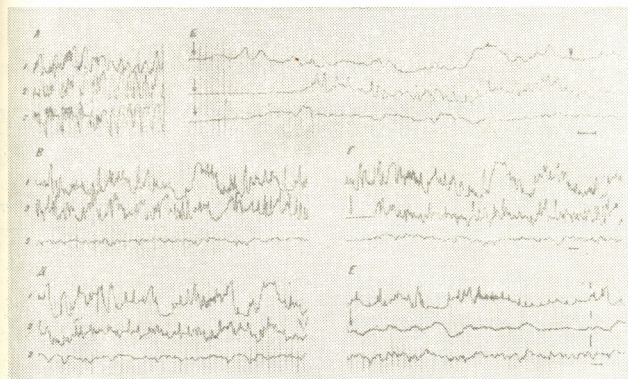


Рис. 3. Контрольный опыт: 1 — правая теменная область; 2 — левая теменная область; 3 — правая затылочная область; А — фон; Б — влияние накапывания физиологического раствора; В — восстановление ЭЭГ активности; Г — аппликация фильтровальной бумаги, смоченной физиологическим раствором; Д — восстановление; Е — аппликация 20% раствора новокаина. Калибровка: 100 мкВ, 1 сек.

Эти опыты показывают возможность и целесообразность применения новокаина с целью локального, обратимого функционального выключения корковых структур.

Академия наук Грузинской ССР

Институт физиологии

им. И. С. Бериташвили

(Поступило 2.9.1982)

ადამიანისა და ცემოლთა ფიზიოლოგია

ლ. პვირქვლია, ლ. კობიაშვილი, ნ. ჯუმაშვილი

თავის ტვინის ძირის ცუნციური გამოთიშვა ნოვოკაინის
მოძმევით

რეზიუმე

მწვავე ცდებში დაუნარებულ ბოცვრებზე შევისწავლეთ ქერქულ უბნებზე ნოვოკაინის ლოკალური აპლიკაციის ნეიროფიზიოლოგიური ეფექტები.

ნოვოკაინის მოქმედებით წარმოიქმნება ქერქის პირდაპირი და პირველადი პასუხების დეპრესია 30—40 წუთის განმავლობაში.



აღნაშნული ეფექტები, შესაძლებელია, მიიღება აფერენტულ და ეფერენტულ გზებში იმპულსაციის გატარების ბლოკირების და პოსტსინაპსურ სტრუქტურებში აგზნებალობის დაცემის გამო.

HUMAN AND ANIMAL PHYSIOLOGY

L. R. KVIRKVELIA, L. N. KOBIASHVILI, N. V. DUMBADZE

FUNCTIONAL BLOCKADE OF THE NEOCORTEX INDUCED BY THE ACTION OF PROCAINE

S u m m a r y

In acute experiments on unanaesthetized rabbits, the neurophysiological effects of local application of procaine in the neocortex were examined. Depression of direct and primary cortical responses, lasting 30-40 min., was observed.

These effects may be due to the blockade of impulse propagation in the afferent and efferent pathways and a decrease of excitability in postsynaptic structures.

ლიტერატურა — REFERENCES

1. A. A. Léao. J. Neurophysiol., 7, 359, 1944.
2. J. M. R. Delgado, L. M. Kitayata. J. Neurol. (Minn.), 8, 939, 1960.
3. D. R. Curtis, J. W. Phyllis. J. Physiol., 153, 17, 1960.
4. В. Н. Беляев. Бюлл. эксп. биол. и мед., 8, 24, 1963.
5. S. Hagiwara, H. Nakajima. J. gen. Physiol., 49, 793, 1966.
6. И. С. Беритов. Нервные механизмы поведения высших позвоночных животных. М., 1961.



УДК 612.826.1

ФИЗИОЛОГИЯ ЧЕЛОВЕКА И ЖИВОТНЫХ

А. Н. ЗИРАКАДЗЕ

МАТЕРИНСКИЕ МЕХАНИЗМЫ РЕГУЛЯЦИИ АДЕКВАТНОЙ ОКСИГЕНАЦИИ ПЛОДА

(Представлено членом-корреспондентом Академии С. П. Нарикашвили 28.2.1983)

Более чем полувековой период исследований кислородного режима плода позволил установить весьма важные факты, которые нуждались не только в объяснении механизмов их возникновения, но и в интерпретации биологической целесообразности. Еще Баркрофт, изучая физиологию внутриутробного развития на экспериментальных животных, нашел, что насыщение гемоглобина плода кислородом составляет всего 70%; основной вывод, который вытекал из проведенных наблюдений, был обложен им в образную формулу: «Плод развивается в условиях Эвереста». Совершенствование методов исследования с использованием современной медицинской аппаратуры полностью подтвердило положение Баркрофта о «физиологической гипоксии» плода. К этому в дальнейшем было добавлено и то, что относительный ацидоз в крови плода является характерной особенностью его существования. Универсальность вышеуказанной закономерности обосновывалась обнаружением ее у плодов всех видов изученных млекопитающих и человека. Из этого следовало, что необходимость адекватной оксигенации плода является условием его нормального развития и эта функция должна обеспечиваться совершенными механизмами регуляции, прежде всего матери. Последнее является предметом данного сообщения.

В ранней работе [1] нами был представлен фактический материал, свидетельствующий, что материнский организм в условиях гипоксии препятствует поступлению к плоду кислорода выше допустимых концентраций. Последнее реализуется уменьшением объемной скорости кровотока в сосудах матки вследствие их сужения.

Как показали эти исследования, пороги сосудистых реакций на концентрацию кислорода в крови у беременного животного понижается, причем, в отличие от небеременных, этот процесс выражен ярче в сосудах матки, чем в головном мозгу. Гемодинамический механизм регуляции адекватной оксигенации плода обусловлен нейрорефлекторным механизмом, доказательством чего служит не только быстрота реакции, но и снятие ее при глубоком наркозе.

Естественно, можно было предположить, что беременный организм не ограничится лишь одним механизмом регуляции, пусть даже совершенным, а должен использовать и другие возможности для создания постоянно действующих факторов, обеспечивающих физиологическую гипоксию плода. Здесь прежде всего привлекают внимание закономерности в изменении крови с увеличением гестационного срока.

На 15 крольчихах породы шиншилла массой 2300—3000 г в динамике до беременности (дважды), в середине, во второй половине и в конце ее изучалось количество гемоглобина (Hb) и эритроцитов (Er), а в остром опыте у тех же животных в последний день гестационного срока исследовались процент сатурации Hb кислородом в артериальной крови (HbO_2) и содержание железа (Fe) в печени и се-

лезенке. Цифровой материал обработан методом вариационной статистики.

Как показали наши исследования, в середине беременности уже имеется выраженное падение Hb, который в дальнейшем продолжает снижаться; так, до беременности Hb был равен $15,3 \pm 0,2$ г%, на 14-й день беременности — $13,6 \pm 0,2$ г%, на 21-й день — $12,0 \pm 0,2$ г% и на 28-й день — $10,4 \pm 0,2$ г%; разница статистически достоверна между всеми группами ($P < 0,001$). Анемическая картина наблюдалась и при изучении количества Eg: до беременности — $3,95 \pm 0,06$, на 14-й день — $3,72 \pm 0,05$, на 21-й день — $3,54 \pm 0,04$ и на 28-й день — $3,36 \pm 0,04 \times 10^{-2}$ в л; везде разница статистически достоверна ($P < 0,002$). HbO₂ до беременности — $97 \pm 2\%$, в конце ее — $86 \pm 2\%$ ($P < 0,001$). Статистически достоверно понижается Fe у беременной самки в печени и селезенке.

Исследование венозной крови крольчих

Срок	Hb, г/л			Eg $10^{12}/\text{л}$			HbO ₂ , %		
	M \pm m	t	P	M \pm m	t	P	M \pm m	t	P
До беременности	$15,4 \pm 0,2$			$3,96 \pm 0,07$			$65 \pm 0,5$		
До беременности	$15,3 \pm 0,2$	0,4	$> 0,5$	$3,95 \pm 0,06$	0,1	$> 0,5$	$65 \pm 0,4$	0,5	$> 0,5$
14-й день беременности	$13,6 \pm 0,2$	6,5	$< 0,001$	$3,72 \pm 0,05$	2,87	$< 0,01$	$60 \pm 0,6$	7,0	$< 0,01$
21-й день беременности	$12,0 \pm 0,2$	15	$< 0,001$	$3,54 \pm 0,04$	5,1	$< 0,001$	59 ± 1	5,5	$< 0,001$
28-й день беременности	$10,4 \pm 0,2$	22	$< 0,001$	$3,36 \pm 0,04$	7,3	$< 0,001$	59 ± 1	4,6	$< 0,001$

Таким образом, на основании проведенных исследований можно говорить о нескольких материнских механизмах регуляции адекватной оксигенации плода. Наиболее подвижным, обеспечивающим при экстремальных ситуациях ограничение поступления O₂ к плоду, является нейрорефлекторная регуляция гемодинамики маточно-плacентарного кровообращения. Вторым механизмом являются гематологические сдвиги, нарастающие с увеличением срока беременности. Эти закономерности были установлены не только на животных, но и у женщин, причем последнее традиционно трактовалось, исходя из критериев нормальных показателей Hb, Eg и Fe здорового взрослого человека, как патология, требующая соответствующей коррекции. Частота обнаруженных изменений и отсутствие при этом страдания плода говорят о закономерности указанных изменений, которые не могут быть объяснены только увеличением объема циркулирующей крови и повышенной потребностью в Fe и витамине B₁₂ в организме беременной женщины. Следует учитывать анемизирующее действие фолликулина [3], т. е. гематологические изменения обусловлены и гуморальной регуляцией. Роль последней особенно демонстративно иллюстрируется прогестероном, который ингибитирует дыхание в митохондриях клетки, препятствуя восстановлению системы цитохромов за счет NADH [3]. Все это свидетельствует о своеобразии обменных процессов в организме плода и новорожденного, обеспечивая специфическую биоэнергетику мембран на клеточном и субклеточном уровнях.

Мы далеки от того, чтобы отрицать существование патологической анемии беременной, однако, по нашему глубокому убеждению, гематологические критерии нормы у беременных женщин требуют уточнения. Практически важны данные, полученные на беременной женщине. В исследовании [4] установлено, что к концу физиологической беременности HbO₂ падает в артериальной крови, а Е. Н. Метревели [5] нашла сидеропению, уменьшение Hb и Eg. В обзорной



статье А. А. Ефимова [6] приводит результаты многолетних исследований, согласно которым при постоянном дефиците O_2 в среде, окружающей мать, плод не испытывает указанного дефицита, что автор объясняет «мощной защитой со стороны маточно-плацентарного кровообращения». Авторы работы [7] обнаружили отрицательное влияние гипероксии на новорожденных животных и считают допустимым, что в основе механизма его лежит подавление гликогенолиза как источника энергии; обсуждаются также вопросы об уменьшении развития капиллярной сети и подавлении синтеза нуклеиновых кислот из соответствующих субстратов. Такада [8] видит причину в том, что под воздействием высоких концентраций O_2 в организме новорожденных могут образоваться перекиси липидов, повреждающее влияние которых на мембранны тем более выражено, чем менее зрелыми являются биологические структуры.

На основании наших исследований и данных цитированной литературы можно следующим образом сформулировать биологическую целесообразность «физиологической гипоксии» и «относительного ацидоза» плода:

1. При окислении энергетических субстратов возникают промежуточные продукты, необходимые клеткам для построения других веществ, которые являются важными в обмене и синтезе липидов и белков [9, 10]. При гипероксии же незрелых организмов превалирование процессов терминальной оксидации приводит к нарушению процессов биосинтеза необходимых субстратов.

2. При гипероксии в организме плода образуются продукты, повреждающие биологические структуры.

3. Повышенная оксигенация плода угнетает нормальное развитие капиллярной сети.

Материнские механизмы регуляции адекватной оксигенации плода служат сохранению физиологической гипоксии и относительного ацидоза, необходимых для нормальной жизнедеятельности плода.

НИИ перинатальной медицины,

акушерства и гинекологии

им. К. В. Чачава

МЗ ГССР

(Поступило 3.3.1983)

ადამიანისა და ცხოველთა ფიზიოლოგია

ა. ზირაძეშვილი

საქართველოს სარეკონსულტაციო მედიცინული ნაკოდის აღმაშენებლი
ორგანიზაციის უზრუნველყოფისათვის მაკავშირი

რეზიუმე

ქრონიკულ და მწვავე ცდებში დაკვირვებით დადგენილი იქნა ნაყოფის ფექვატური ოქსიგენაციის უზრუნველყოფისათვის მაკავშირი სარეკონსულტაციო მექანიზმები:

1. ჰემოდინამიკური მექანიზმი, რომელიც გამოიხატება ჰიპეროქსიის პი- ანბებში საშვილოსნოში სისხლის მიმოქცევის შემცირებით.

2. ჰემოტოლოგიური მექანიზმი გამოვლინდა ორსულობის ვადის ზრდას- თან ერთად ჰემოგლობინის, ერთობლივიტების და არტერიულ სისხლში ოქსი- გლობინის რაოდენობის შემცირებით; აგრეთვე მაკავშირი ცხოველის ღვიძლსა და ელექტრო-რენტოგრამის დაქვეითებით.

მაკე ცხოველის ორგანიზმში არსებული სარეგულაციო მექანიზმები მაყვანის უზრუნველყოფების ფიზიოლოგიური პარამეტრებისა და შედარებითი აციდოზის მდგრადობას, რომელიც აუცილებელი არიან ნაყოფის ნორმალური განვითარებისათვის.

HUMAN AND ANIMAL PHYSIOLOGY

A. N. ZIRAKADZE

MATERNAL MECHANISMS REGULATING ADEQUATE OXYGENATION OF THE FETUS

Summary

Experiments involving chronic and acute animals have revealed the hemodynamic and hematological mechanisms regulating adequate oxygenation of the fetus:

1. The hemodynamic mechanism was reduced to a decrease in volume velocity of the blood flow in the uterus at an increased oxygen supply to the organism of the pregnant female;

2. Blood change regularities with an increase of the gestation period consisted in a decrease in the content of hemoglobin, red blood cells, and percentage of hemoglobin saturation by arterial blood oxygen. All this was accompanied, and partially caused, by a decrease in the iron content in the liver and spleen of the pregnant female.

Maternal mechanisms regulating adequate oxygenation of the fetus serve to maintain physiological hypoxia and relative acidosis necessary for the normal life activity of the fetus.

ლიტერატურა — REFERENCES

1. А. Н. Зирақадзе, Л. М. Махарадзе. Сообщения АН ГССР, 110, № 1, 1983.
2. Г. А. Алексеев. Руководство по внутренним болезням. М., 6. 1962.
3. Д. Мецлер. Биохимия. М., 1980.
4. V. Stenger, D. Eitzman, T. Andersen, J. Coftter, H. Prystovsky. Amer. J. Obstet. Gynecol. 93, № 3, 1965.
5. გ. მეტრიკალი. ანემია და პრეანემია ორსულებში, მთი პროფილაქტიკა და მკურნალობა. 1983, თბილისი.
6. А. А. Ефимова. Педиатрия, 4, № 7, 1983.
7. G. Grave, D. Kennedy, L. Sokoloff. J. Neurochemistsy 19, № 1, 1972.
8. M. Takada. Nagoya med. J. 25, № 3, 1981.
9. А. Уайт, Ф. Хандлер, Е. Смит, Р. Хилл, И. Леман. Основы биохимии. М., 1981.
10. Ж. Крю. Биохимия. М., 1979.

БИОХИМИЯ

Н. Г. АЛЕКСИДЗЕ, Т. А. БАХАНАШВИЛИ, М. В. БАЛАВАДЗЕ,
Н. О. ГОГВАДЗЕ

К ВОПРОСУ ИНАКТИВАЦИИ СЕРОТОНИНА В КЛЕТКАХ ГЛИИ КОНЪЮГАЦИЕЙ С ГЛЮКУРОНОВОЙ КИСЛОТОЙ

(Представлено академиком П. А. Кометиани 30.11.1981)

Ранее проведенными исследованиями нами было установлено, что после внутрибрюшинного введения ипразида содержание серотонина в разных областях мозга крыс сначала возрастает, а затем в течение 48—72-часовой экспозиции животных уменьшается [1]. Принимая во внимание факт идентифицирования в моче крыс и кроликов биологически неактивного конъюгированного продукта серотонина с глюкуроновой кислотой [2—4], мы предположили существование аналогичного механизма и в головном мозге, в частности в клетках глии.

Исходя из вышесказанного мы предприняли исследование по идентификации глюкуронидов серотонина и активности β -глюкуронидазы в гомогенатах, синаптосомах и обогащенных глиальными клетками фракциях головного мозга крыс и кроликов в норме и в условиях предварительного торможения МАО.

Объектом исследования служили белые крысы и 4 группы кроликов весом 2,5—3,0 кг. Животным первых 3 групп вводили внутрибрюшинно 50 мг/кг ингибитора МАО ипразида в физиологическом растворе, четвертой группе кроликов (контроль) — физиологический раствор.

Животных первой и второй групп декапитировали через 1,5—3 часа после введения ипразида, собирали кровь и быстро извлекали мозг. Из коры мозга получали фракции, обогащенные глиальными клетками, по методике, описанной ранее [5]. Синаптосомы выделяли по методу [6] в модификации В. В. Шевцова и соавторов [7]. Затем осадки клеток глии и синаптосом гомогенизировали в 5 объемах 0,1 N HCl. Гомогенаты разбавляли вдвое, добавляли 10% ZnSO₄ и 1 N NaOH и центрифугировали 16000 g/15 мин. Супернатант выпаривали на водяной бане с продуванием воздуха. Температура в фарфоровых чашках не превышала 45°C. Сухой остаток растворяли в 0,4 мл дистиллированной воды и наносили на бумагу (Ленинградская-М) микрошлипцирем. Глюкуронид серотонина идентифицировали с помощью его R_f и характерных цветных реакций. Хроматограммы проявляли реактивом Эрлиха при 100°C для обнаружения индолинового кольца. Наличие глюкуроновой кислоты идентифицировали нафтрезорциновой реакцией [8]. Описанным выше способом обрабатывали также кровь и мочу кроликов и крыс.

Активность β -глюкуронидазы определяли в 0,2 мл 20% суспензии синаптосом или глиальных клеток. Инкубацию проводили при 37°C в среде, содержащей 0,7 мл 0,1 M ацетатного буфера (pH 4,4) и 0,1 мл 0,01 M β -фенолфталенинглюкуроновой кислоты в качестве субстрата [9].

Предварительно было установлено, что скорость ферментной реакции при 37°C и концентрации субстрата 0,01 M нарастает линейно в течение 2 часов. Поэтому в последующих опытах активность фермента исследовали с периодами инкубации в 1 час. Реакцию останавливали



добавлением 1 мл 0,5% трихлоруксусной кислоты. Смесь центрифугировали 3000 g/10 мин. Из надосадочной жидкости отбирали по 1 мл и добавляли 2 мл 0,2 М глицина (рН 10, 4), 0,5 мл 0,5 N NaOH и 0,5 мл дистиллированной воды. Раствор окрашивался в розово-фиолетовый цвет. Активность энзима определяли на «Спеколе» при длине волны 550 нм. Калибровочную кривую строили по фенолфталеину.

Хроматографированием экстрактов гомогенатов и клеток глии головного мозга кролика было найдено, что в 20% растворе хлористого калия R_f глюкуронида серотонина равен $0,63 \pm 0,03$, а в смеси бутанола, уксусной кислоты и воды — $0,16 \pm 0,02$, что совпадает с данными Н. Н. Суворова и соавт. [4]. ИК-спектры элюированного вещества с $R_f=0,63$ показали наличие в нем индольного кольца и группировок $-\text{C}-\text{O}-\text{C}-$, $-\text{COOH}$ и $-\text{H}$. Спектры стандартного вещества совпадали со спектрами элюированного глюкуронида серотонина. При воздействии на этот продукт β -глюкуронидазой происходило накопле-

Таблица 1

Характерные константы глюкуронида серотонина и его содержание в крови, головном мозге и моче разных животных и человека. ИК-спектры определены на инфракрасном спектрофотометре 457 («Перкин-Эльмер»). Не опр.— не определено. Плюсом условно обозначено количественное содержание глюкуронида серотонина.

Глюкуронид серотонина, элюированный из хроматограммы водой

Среда	ИК-спектры	Цветные реакции	
		Эрлиха на индольное кольцо	нафтрезорциновая на глюкуроновую кислоту
20% водный раствор KCl	3200—3500 1730	+	+
$R_f=0,63 \pm 0,03$	1410—1480		
Бутанол:уксусная кислота:вода	1150—1180		
$R_f=0,16 \pm 0,02$			

Содержание глюкуронида серотонина

Мозг			Моча		
Кролик					
Крыса	Гомогенат	Глиальные клетки	Крыса	Кролик	Человек

Норма

Следы	+	++	+	++	+++
Через 3 часа после в/бр введения трансамина (20 мг/кг)					
++	не опр.	не опр.	++	не опр.	не опр.
Через 20 часов после в/бр введения ипразида (50 мг/кг)					
++	++	++++	++++	не опр.	не опр.

ние свободного серотонина в среде инкубации в количестве, эквивалентном глюкурониду. ИК-спектры окси-индолосусной и галактуроновой кислот убедили нас в идентичности элюированного вещества с глюкуронидом серотонина. Методом цветной реакции в полученном препарате идентифицировано наличие индольного кольца (реакция Эрлиха) и глюкуроновой кислоты (нафтрезорциновая реакция) [8]. Как видно из табл. 1, глюкуронид серотонина обнаруживается в крови крыс,



в мозге крыс и кролика, а также в моче крыс, кролика и человека. Содержание конъюгированной формы серотонина в мозге, аналогично опытам с мочой [3], заметно возрастало при торможении МАО ипразидом или трансамином. Важно отметить, что уровень глюкуронида серотонина в обогащенных фракциях глии коры головного мозга кролика в норме был больше, чем в гомогенате мозга. Аналогичные сдвиги в содержании глюкуронида серотонина были обнаружены и в условиях предварительной перфузии головного мозга физиологическим раствором.

Имея в виду способность глиальных клеток легко поглощать из внеклеточной среды биогенные амины, в частности серотонин [10], и факт возрастания содержания глюкуронида серотонина в мозге животных при торможении МАО, можно было предположить, что синтез глюкуронида серотонина в клетках глии является одним из механизмов инактивации серотонина в мозге.

Впервые на наличие реакции конъюгации с серной кислотой в головном мозге указали Янсен и др. [11]. Авторы предполагают, что ферменты сульфотрансферазной реакции локализованы преимущественно в клетках олигодендроглии. С этим выводом согласуется и факт повышения содержания серотонина в клетках глии после судорожного шока [12] и после восстановления памяти на фоне заторможенной МАО [13].

Из совокупности вышеизложенных данных приходим к заключению, что глюкуронид серотонина может образовываться в мозге и клетках глии и затем кровотоком, путем последующего его перехода в мочу, выводится из организма.

Более вероятно, что этот путь метаболизма серотонина включается в патологические состояния, связанные с резким ростом концентрации серотонина или при понижении активности МАО. Имеются данные о наличии этого пути обмена у больных злокачественными новообразованиями [14].

В связи с затронутым выше вопросом представляло интерес изучение β -глюкуронидазной активности, т. е. активности фермента, расщепляющего глюкуронид серотонина, в синаптосомах и клетках глии коры головного мозга в связи с возможностью повторного использования серотонина в синаптических реакциях. Активность β -глюкуронидазы исследовали в синаптосомах и клетках глии коры головного мозга крыс до и через 3 часа после введения ингибитора МАО ипразида в дозе 50 мг/кг.

Таблица 2

Активность β -глюкуронидазы в синаптосомах и глиальных клетках коры головного мозга крыс в норме и после в/бр введения ипразида в дозе 50 мг/кг. Активность фермента выражена в мкг образовавшегося фенолфталеина на мг белка за 1 час.

Род ткани	Активность β -глюкуронидазы	
	Норма	Через 3 часа после введения ипразида
Синаптосомы	$27,0 \pm 3,0$	$18,7 \pm 1,6$
Клетки глии	$2,4 \pm 0,3$	$6,11 \pm 0,7$

Как видно из табл. 2, в синаптосомах β -глюкуронидазная активность в норме в 2 раза выше, чем после введения ипразида. В клетках глии, наоборот, наблюдается повышение активности β -глюкуронидазы по отношению к норме после торможения МАО. Объяснение этому факту нужно искать в сдвигах содержания серотонина в синаптосомах и клетках глии на фоне заторможенной МАО. Более вероятно, что накоп-



ление продукта конъюгации серотонина с глюкуроновой кислотой несет за собой изменения в активности β -глюкуронидазы.

Таким образом, выясняется, что синтез глюкуронида серотонина является одним из возможных путей инактивации серотонина в головном мозге и он в большей степени проявляется в клетках глии при торможении МАО.

Тбилисский государственный университет

(Поступило 25.12.1981)

გიორგიანი

ნ. ალექსიძე, თ. ბახანაშვილი, მ. ბალავაძე, ნ. გოგვაძე

გლის უჯრედებში გლუკურონის მუავაციან პონიგაციის გზით
სეროტონინის ინაქტივაციის შესახებ

რეზიუმე

თვის ტვინში და გლის უჯრედებში იღენტიფიცირებულია ბიოლოგურად არააქტიური გლუკურონის მეგას კონიუგატი სეროტონინთან. გამოვქმულია მოსაზრება, რომ კონიუგაციის ჩატარება, კერძოდ, გლუკურონიდ სეროტონინის სინთეზი არის ნერვულ ქსოვილში სეროტონინის ინაქტივაციის კიდევ ერთი შესაძლებლობა.

BIOCHEMISTRY

N. G. ALEKSIDZE, T. A. BAKHANASHVILI, M. V. BALAVADZE,
N. O. GOGVADZE

ON THE INACTIVATION OF SEROTONIN IN GLIAL CELLS BY GLUCURONIC ACID CONJUGATION

Summary

A biologically inactive conjugate of glucuronic acid with serotonin has been detected in the brain and in the glial cells. It is suggested that the conjugation reaction, namely glucuronide-serotonin synthesis, constitutes yet another possibility of the inactivation of serotonin in the nerve cell.

Лიтература — REFERENCES

1. Н. Г. Алексидзе, Д. Т. Мешвелишвили, М. В. Балавадзе. Сообщения АН ГССР, 76, № 1, 1974, 157.
2. W. M. McIsaac, I. H. Page. J. Biol. Chem. 234, № 4, 1959, 858.
3. H. Weeissbach *et al.* Pharmac. Expt. Ther. 131, № 1, 1961, 26.
4. Н. Н. Суворов и др. ДАН СССР, 212, № 1, 1973, 250.
5. Н. Г. Алексидзе. и др. Сообщения АН ГССР, 75, 1974, № 3, 701.
6. E. G. Gray, V. P. Whittaker. J. Anatomy, 96, № 1, 1962, 79.
7. В. В. Шевцов, О. М. Поздняков, И. И. Мусин. Бюлл. эксп. биол. и мед., № 1, 1972, 94.
8. Z. Dishe. J. Biol. Chem. 167, № 1, 1947, 189.
9. П. Джорджеску, Е. Пэунеску. Биохимические методы диагноза и исследования. Бухарест, 1963, 440.
10. F. A. Napp, A. Hamberger. Proc. Nat. Acad. Sci. (USA), 68, 1971, 2686.
11. G. S. I. M. Jansen *et al.* J. Neurochem. 23, 1974, 329.
12. W. B. Essmann. Biology of Memory. Budapest, 1971, 213.
13. Н. Г. Алексидзе. Автореферат докт. дисс. Тбилиси, 1977.
14. V. Davis, J. Huff, H. Brown. J. Lab. Clin. Med., 1965, 66, 390.



ვ. ჩუბინიძე, ს. მოლოდინავაილი

ეთივრხელის რაოდენობრივი ჟემცველობის სტატური დინამიკა
საქართველოს სხვადასხვა რაიონში გაცრდელებულ ამბობის

(წარმოადგინა ვალემის წევრ-კორესპონდენტმა ნ. ნუცუბიძემ 12.1.1983)

სარეველა მცენარე ამბროზია ფართოდაა გავრცელებული თითქმის მთელ
საქართველოში და ჩვენი ქვეყნის სხვა რესპუბლიკებშიც. ცნობილია, რომ ივი
ეთერზეთოვანი მცენარეა [1—3], მაგრამ პრაქტიკული გამოყენების თვალსა-
ზრისით მისი ეთეროვანი ზეთი შესწავლილი არაა. ასევე არაა შესწავლილი
საქართველოში გავრცელებული ავშანფოთოლა ამბროზის ეთეროვანი ზეთის
ქმიური შედგენილობა და რაოდენობრივი შემცველობის ცვალებადობა სა-
ვავეტაციო სეზონის განმავლობაში. ნატურალური ეთეროვანი ზეთების მისა-
ღებად ახალი წყაროების გამოვლენის თვალსაზრისით ზემოთ ჩამოთვლილი სა-
კითხების შესწავლა მნიშვნელოვანია. აქედან გამომდინარე, ჩვენი კვლევის მი-
ზანს, პირველ რიგში, შეადგენდა ეთერზეთების რაოდენობრივი შემცველობის
ცვალებადობის სეზონური რიტმის ზუსტი დადგენა საქართველოს სხვადასხვა
რაიონში გაფრცელებულ ამბროზის ფოთლებში, რაც პასუხს გასცემდა კით-
ხებზე: თუ როგორია, საერთოდ, ეთერზეთების რაოდენობრივი შემცველობა
ამბროზიაში, საქართველოს რომელი რაიონის ბუნებრივ-კლიმატურ პირობებ-
ში და წლის რომელ ვადებში უფრო მეტი ზეთი გროვდება მცენარეში და გა-
დაწყდება საკითხი ამა თუ იმ რაიონში ნედლეულის აღების ოპტიმალური ვა-
დების შესახებ.

სანალიზო მასალას ვიღებდით ოთხ პუნქტში: თბილისში, მარნეულის,
ზესტაფონისა და ლაგოდეხის რაიონებში. თბილისში და მარნეულის რაიონში
თვეში ორჯერ, ხოლო ზესტაფონისა და ლაგოდეხის რაიონებში თვეში ერ-
თხელ, 1982 წლის მაისიდან ოქტომბრის ჩათვლით. ეთეროვან ზეთის გხედიდით
წყლის ორთქლთან ერთად გადადენის მეთოდით, კონდენსატიდან ზეთის ექს-
ტრაქციას ვატარებდით პენტანით [4,5]. ცდებს ვატარებდით 3—4-ჯერადი გან-
მეორებით. ზეთის გამოსავალს ვანგარიშობდით პროცენტობით სანალიზო მა-
სალის ნედლი წონის მიხედვით. შედეგები წარმოდგენილია ცხრილში.

წარმოდგენილი მასალიდან ჩანს, რომ ეთერზეთების რაოდენობრივი შემ-
ცველობა სავავეტაციო სეზონის განმავლობაში იცვლება და ცალკეული პუნ-
ქტისათვის შემდეგ სურათს იძლევა: მარნეულის რაიონისა და თბილისის პირო-
ბში ამბროზის ფოთლებში ზეთის მაქსიმალური რაოდენობა აღინიშნება
სექტემბრის პირველ დეკადაში და აღწევს შესაბამისად 0,13 და 0,12 %-ს, ხოლო
ზესტაფონისა და ლაგოდეხის რაიონებში — აგვისტოს მესამე დეკადაში და
აღწევს შესაბამისად 0,09 და 0,15 %-ს. ზეთის საერთო გამოსავლიანობის თვალ-
40. „მოამბე“, ტ. 111, № 3, 1983



ສະຖრიສით ຕັ້ງ ວິມບັງລູງແດກ, ສົງຄົດລູງແດກ ໂອກງານ, ຮົມ ສົວໂລກ ດ້ວຍຮົງທີ່ຕອນ-
ວານ ກ່າວໆໃຫຍ່ຮົງທີ່ຕອນ ສົງຄົດຮົງທີ່ຕອນ ໄດ້ ປັກຕົ້າ ອົບ ອົບ. ອັນໄດ້ນູ້ລູ້ລົດ
ກຳມົງງຽບແດກ ເງົາຮົງທີ່ຕອນທີ່ມີສາລູງແດກ ກະທຳຮົງທີ່ຕອນ ສົງເປົ້າ. ປົກລູ້ລົດ
ອັນໄດ້ນູ້ລູ້ລົດ ພົມ ດັກກົງເຈົ້າ, ຮົມ ເງົາຮົງທີ່ຕອນທີ່ມີສາລູງແດກ ສົງມູນ
ອັນໄດ້ນູ້ລູ້ລົດ ພົມ ດັກກົງເຈົ້າ ສົງມູນ ສົງມູນ ສົງມູນ ສົງມູນ ສົງມູນ
ສົງມູນ ສົງມູນ ສົງມູນ ສົງມູນ ສົງມູນ ສົງມູນ ສົງມູນ ສົງມູນ ສົງມູນ

საანალიზო რაოდენობა, გ	ეფერზეცხბის შემცველობა (%) რაიონების მიხედვით							
	საანალიზო მასალის აღების თარიღი	თვე	საანალიზო მასალის აღების თარიღი	გარეული	საანალიზო მასალის აღების თარიღი	წელი	საანალიზო მასალის აღების თარიღი	ლაგი
300	2 მაისი	—	4 მაისი	0,02	20 მაისი	0,03	27 მაისი	0,07
	16 მაისი	0	18 მაისი	0,02	—	—	—	—
	2 ოქტომბერი	0,03	4 ოქტომბერი	0,03	21 ოქტომბერი	0,07	29 ოქტომბერი	0,07
	15 ოქტომბერი	0,06	20 ოქტომბერი	0,05	—	—	—	—
	2 ივლისი	0,08	5 ივლისი	0,06	18 ივლისი	0,07	25 ივლისი	0,09
	16 ივლისი	0,09	22 ივლისი	0,09	—	—	—	—
	2 აგვისტო	0,10	4 აგვისტო	0,09	23 აგვისტო	0,09	25 აგვისტო	0,15
	16 აგვისტო	0,11	19 აგვისტო	0,11	—	—	—	—
	2 სექტემბერი	0,13	6 სექტემბერი	0,12	20 სექტემბერი	0,06	22 სექტემბერი	0,14
	18 სექტემბერი	0,03	19 სექტემბერი	0,09	—	—	—	—
	12 ოქტომბერი	0,04	14 ოქტომბერი	0,03	17 ოქტომბერი	0,04	19 ოქტომბერი	0,08

დის, ხოლო ყველაზე მცირე რაოდენობით ზეთის შემცველობა ზესტაგონის რაიონში აღებულ მასალებში აღინიშნება. აქედან გამომდინარე, შეიძლება თქვას, რომ აღმოსავლეთ საქართველოს ბუნებრივ-კლიმატური პირობები გაფალებით ხელშემწყობია ამბროზიის ფოთლებში ეთერზეთების დაგროვებისთვის, ვიდრე დასავლეთისა. თუმცა გასათვალისწინებელია ის გარემოებაც, რომ დასავლეთ საქართველოს სხვადასხვა რაიონის მიკროკლიმატურ პირობებში გამოკვლევები ჯერ კიდევ არ ჩატარებულა და შესაძლოა ზემოთ გამოთქმული აზრი შემდგომში რამდენადმე შეიცვალოს. ამჟამად მიმდინარეობს ამბროზიის ეთეროვანი ზეთის ფიზიკურ-ქიმიური მაჩვენებლების დადგენა და ქიმიური შედგენილობის გამოკვლევა.

საქართველოს სსრ მეცნიერებათა აკადემია

მცენარეთა ბიოქიმიის ინსტიტუტი



В. В. ЧУБИНИДЗЕ, С. З. МОЛОДИНАШВИЛИ

СЕЗОННАЯ ДИНАМИКА КОЛИЧЕСТВЕННОГО СОДЕРЖАНИЯ ЭФИРНЫХ МАСЕЛ В АМБРОЗИЯХ, ПРОИЗРАСТАЮЩИХ В РАЗНЫХ РАЙОНАХ ГРУЗИИ

Резюме

Исследован сезонный ритм колебания количественного содержания эфирных масел в листьях амброзий *Ambrosia artemisiifolia* L из разных районов Грузинской ССР.

Установлено, что максимальное содержание эфирных масел в растениях из Лагодехского и Зестафонского районов отмечается в третьей декаде августа (0,15 и 0,09%, соответственно), а в условиях Тбилиси и Марнеульского района в первой декаде сентября (0,12 и 0,13%, соответственно).

Показано также, что по количественному содержанию эфирных масел преобладают растения из восточных районов Грузии.

BIOCHEMISTRY

V. V. CHUBINIDZE, S. Z. MOLODINASHVILI

SEASONAL DYNAMICS OF QUANTITATIVE CONTENT OF ESSENTIAL OILS IN AMBROSIAS (*AMBROSIA ARTEMISIIFOLIA* L.) GROWING IN DIFFERENT PARTS OF GEORGIA

Summary

The seasonal rhythm of quantitative content variation of essential oils in *Ambrosia* leaves from different parts of Georgia has been investigated. Maximal content of essential oils in plants from Lagodekhi and Zestaponi was noted in the third decade of August (0.15 and 0.09% respectively), and in Tbilisi and Marneuli in the first decade of September (0.12 and 0.13% respectively). It is also shown that by their quantitative content of essential oils eastern Georgian varieties predominate.

ЛІТЕРАТУРА — REFERENCES

1. Б. Н. Рутовский, И. В. Виноградова. Труды Научн. хим.-фарм. ин-та, вып. 22, 1930.
2. Д. С. Васильев. Вестн. с.-х. наук, № 5, 1958.
3. Д. С. Васильев. Бот. журн., 44, № 6, 1959.
4. Н. Н. Иванов. Методы физиологии и биохимии растений. М.-Л., 1946.
5. Н. Я. Демьянин, В. И. Нилов, В. В. Вильямс. Эфирные масла, их состав и анализ. М.—Л., 1933.



ФИТОПАТОЛОГИЯ

И. И. МИНКЕВИЧ, М. С. МИКАБЕРИДЗЕ

ИЗУЧЕНИЕ НЕКОТОРЫХ ОСОБЕННОСТЕЙ РАЗВИТИЯ МУЧНИСТОЙ РОСЫ ДУБА С ЦЕЛЬЮ ПРОГНОЗИРОВАНИЯ ЗАЩИТНЫХ МЕРОПРИЯТИЙ

(Представлено академиком Л. А. Канчавели 2.9.1982)

Для выбора сроков проведения эффективных мер борьбы с мучнистой росой дуба устанавливались возможность заражения растения-хозяина в природных условиях и продолжительность инкубационного периода в зависимости от погодных условий. Подготовка споровой суспензии возбудителя и инокуляция восприимчивого вида *Quercus imeretina* Stev. проводились по общепринятой методике [1, 2] с ежедневным фиксированием температуры и относительной влажности воздуха при помощи термографа и гидрографа.

Предварительные лабораторные опыты были поставлены на горшечных культурах трехлетних саженцев. Как видно из табл. 1, после проведения инокуляции при температуре 20°C и средней относительной влажности воздуха 80% болезнь проявилась на 6-е сутки. Этому периоду соответствует сумма эффективных температур, равная 87°C, с учетом, что нижний порог развития мучнистой росы составляет около 5,5°C [3, 4].

Таблица 1

Инкубационный период в зависимости от суммы эффективных температур

Дни наблюдения	Температура, С	Влажность воздуха (средняя), %	Эффективная температура		Проявление болезни
			среднесуточная	с нарастающим итогом	
1-й	20	80	14,5	14,5	—
2-й	20	80	14,5	29	—
3-й	20	80	14,5	43,5	—
4-й	20	80	14,5	58	—
5-й	20	80	14,5	72,5	—
6-й	20	80	14,5	87	+

Проведенные в полевых условиях наблюдения подтвердили, что продолжительность инкубационного периода в основном зависит от температуры воздуха, а относительная влажность воздуха имеет существенное значение только в период заражения.



Как видно из табл. 2, при проведении инокуляции полновозрастных деревьев 1. 6, когда температура воздуха была 13,3°C, средняя относительная влажность воздуха за предыдущий день — 65%, за текущий — 70%, инфицирование растения хозяина произошло и 11. 6 было отмечено проявление болезни. Продолжительность инкубационного периода в этом случае равнялась 10 дням, а сумма эффективных температур составляла 89,2°C. Проявление болезни в естественных условиях (без инокуляции) было отмечено 19.6, продолжительность инкубационного периода составляла 6 дней, причем в период с 11.6 по 13.6 инфицирование не могло произойти ввиду сравнительно низкой относительной влажности воздуха. Инфицирование произошло 14.6, что полностью подтвердилось фактическим проявлением болезни 19.6, когда сумма эффективных температур за этот период составила

Таблица 2

Инкубационный период мучнистой росы дуба и сроки проведения защитных мероприятий

Дата	Температура (среднесуточная), °C	Влажность воздуха		Эффективная температура, °C		Инкубационный период	Фактическое проявление болезни	Срок проведения хим. мероприятий
		предыдущий день	текущий день	среднесуточная	с нарастающим итогом			
1.6	13,4	65	70	7,8	7,8			
2.6	12,4	70	60	6,9	14,7			
3.6	13,1	60	60	7,6	22,3			
4.6	14,2	60	55	8,7	31,0			
5.6	14,2	55	60	8,7	39,7			
6.6	14,7	60	65	9,2	49,9			
7.6	14,4	65	55	8,9	57,8			
8.6	12,3	55	50	6,8	64,6			
9.6	12,6	50	60	7,1	71,7			
10.6	14,1	60	55	8,6	80,3			
11.6	14,4	55	50	8,9	89,2			
11.6	15,4	50	50	—	—			
18.6	17,5	50	55	—	—			
14.6	18,1	55	70	12,6	12,6			
15.6	19,3	70	60	13,8	26,4			
16.6	21,2	60	65	15,7	42,1			
17.6	19,3	65	60	13,8	55,9			
18.6	22,2	60	60	16,7	72,6			
19.6	20,4	60	70	14,9	87,5			
20.6	21,7	70	60	16,2	16,2			
21.6	22,8	60	60	17,3	33,5			
22.6	22,1	60	50	16,6	50,1			
23.6	25,0	50	45	18,7	68,6			
24.6	25,4	45	50	19,9	88,5			
						+		19.06
							+	24.06

87,5°C. Продолжительность третьего инкубационного периода была равна 5 дням, болезнь проявилась 24.6. Отсюда следует, что инфицирование растения произошло 20.6, когда средняя температура воздуха была 21,7°C, средняя относительная влажность воздуха за предыдущий день — 70%, за текущий — 60%. Проявление болезни фактически подтвердилось 24.6, сумма эффективных температур за этот период составила 88,5°C.



Таким образом, сравнивая продолжительность инкубационных периодов, полученных в лабораторных и природных условиях, можно заключить, что она зависит от суммы эффективных температур, равной в нашем случае 87°C. Следовательно, профилактические мероприятия против первичной инфекции надо проводить при достижении суммы эффективных температур 40—45°C [3]. Последующие защитные мероприятия против вторичных инфекций проводятся при достижении суммы эффективных температур 87—90°C. При этом следует учитывать частоту выпадения осадков, продолжительность сохранения росы на листьях, степень восприимчивости растения к болезни, свойства применяемых препаратов, а также микроклиматические особенности участков.

(Поступило 2.9.1982)

ଓଡ଼ିଆ ଲେଖକ

Q. କେତେଟିବେଳୀରୁ ଏହା ପାଇଁ ଆମେ କାହାରେ ଥିଲା ?

ଓଡ଼ିଆ କୁର୍ରାଙ୍ଗ ପାଇଁ ତାବିଶେଷଜ୍ଞଙ୍କାଙ୍କିରି ଆମ୍ବାଙ୍ଗିଲା ଏବଂ ବେଳିକା
ଦୟନୀଯକିରଣ କାହାର କାହାରିର କାହାରିର କାହାରିର କାହାରିର

၁၃၀၆

დაღვენილია მუხის ნაცრის სინკუბაციო პერიოდის ხანგრძლივობის და-მოვიდებულება ეფექტურ ტემპერატურათა გამზე. იგი სინკუბაციო პერიოდის გავლისათვის საჭიროებს 87°C ეფუძნება ტემპერატურათა გამს.

პირველი დაცუთი ღონისძიების ჩატარება აუცილებელია, მაშინ, როდესაც ეფექტურ ტემპერატურათა გამი მიაღწევს $40-45^{\circ}\text{C}$, ხოლო შემდგომი ღონისძიება ტარდება, როდესაც ეფექტურ ტემპერატურათა გამი $87-90^{\circ}\text{C}$ მიაღწევს.

PHYTOPATHOLOGY

J. J. MINKEVICH, M. S. MIKABERIDZE

A STUDY OF SOME PECULIARITIES OF DEVELOPMENT OF THE POWDERY MILDEW OF OAK WITH A VIEW TO FORECASTING PROTECTIVE MEASURES

Summary

The duration of the incubation period of powdery mildew of oak on the susceptible species *Quercus imeretina* depends on the sum of effective temperatures (87°C). The first protective measure should be taken at the sum of effective temperatures of about 40-45°C, and subsequently at the end of the incubation period, at the sum of about 87-90°C. The climatic factors should be taken into consideration.



ЛІТЕРАТУРА — REFERENCES

1. З. Кирай, З. Клемент, Ф. Шойшмоши, И. Вереш. Методы фитопатологии. М., 1974, 212—214.
2. А. Е. Чумаков, И. И. Минкевич, Ю. И. Власов, Е. А. Гаврилова. Основные методы фитопатологических исследований. М., 1974, 93—98.
3. Л. А. Макарова, И. И. Минкевич. Погода и болезни культурных растений. Л., 1977, 119—124.
4. К. М. Степанов. Грибные эпифитотии. М., 1962, 304—344.

ЭНТОМОЛОГИЯ

Ш. Г. СИЧИНАВА, Г. Ю. ШЕНГЕЛИЯ

ЧИСЛО ГЕНЕРАЦИЙ И ПРОДОЛЖИТЕЛЬНОСТЬ ЖИЗНИ
КОМАРОВ *CULEX PIPiens LINNÆUS*, 1758 В КОЛХИДСКОЙ
НИЗМЕННОСТИ

(Представлено академиком Л. А. Канчавели 4.6.1982)

В Подмосковье комары *C. pipiens* в сезоне дают 4 генерации [1], а в Новочеркасске — 5—6 [2]. В лаборатории при температуре воздуха 25° продолжительность жизни московской популяции *C. p. molestus* — 43 суток, а при 20° — 57 [3]. В Грузии о количестве генераций и продолжительности жизни комаров *C. pipiens* данных нет. Поэтому мы поставили перед собой задачу изучить эти вопросы в указанной низменности Западной Грузии.

Наблюдения о развитии I поколения *C. pipiens* от кровососания перезимовавших самок до вылета генерации проводили в природе в окрестностях г. Сухуми (сс. Мачара, Эшера) в 1979 г., после чего собрали самок I генерации этих комаров с кровью для получения в лаборатории II поколения. В течение сезона в лаборатории с момента начала массового вылета каждой генерации, на 3-й день производили сбор подопытных комаров на II стадии пищеварения в тех же населенных пунктах для продолжения последующих опытов. Опыты проводили на открытой веранде, где температура и относительная влажность почти равнялись таковым наружного воздуха. Вылупившихся из яиц личинок этих комаров содержали в эмалированной посуде с водой из естественных биотопов и подкармливали сушенной дафией и дрожжами. Для установления продолжительности жизни самок *C. pipiens* их помещали по 50 экземпляров в садки и подкармливали сахарным сиропом и кровью. Самцов этих комаров, помещенных в другие садки, подкармливали сахарным сиропом.

Результаты подсчета числа поколений *C. pipiens* за сезон 1979 г. представлены в таблице. Сезон данного года характеризовался средней продолжительностью и обычной температурой для Колхидской низменности. Весной в связи с понижением температуры развитие I генерации рассматриваемого вида в природе от переваривания крови до вылета имаго было значительно растянутым. В лаборатории срок развития последующих генераций параллельно с повышением температуры воды и воздуха постепенно сократился и июльско-августовские генерации (IV—VI) этих комаров развились в течение 23—20 дней. Однако осенью в соответствии с понижением температуры срок развития последней (VII) генерации значительно повысился и большинство вылетевших самок находились на III степени ожирения



и диапаузирировали. Единичные диапаузирующие особи у этих комаров появились еще с V поколения. Полная порция крови, принятая самками указанных комаров, была достаточной для завершения гонотрофического цикла.

Неоднократные наблюдения показали, что в Западной Грузии подопытные комары *C. pipiens* характеризуются гетеродинамностью, созревание яичников у них не происходит без приема крови и в природе в вечерние часы как у мест выплода, так и вдали от него они копулируют в основном с роением. Однако копуляция небольшого числа этих комаров перед заходом и после захода солнца наблюдается также в зарослях без предварительного роения.

Число генераций комаров *C. pipiens* в 1979 г. и температуры воздуха и воды, им соответствующие

Дата	Среднесуточная темпера- тура воды, °C	Среднесуточная темпера- тура воздуха, °C	Сроки явления, сутки				Вылет генерации	Число суток от кровосо- сания до вылета имаго
			переваривания крови и отклад- ки яиц	развития яиц	развития личи- нок I—IV ста- дий	развития куко- лок		
13/III—4/V	14,1	13,2	12	9	27	5	I	53
7/V—5/VI	19,9	20,1	6	5	15	4	II	30
8/VI—2/VII	22,1	22,3	5	4	13	3	III	25
5/VII—27/VII	22,3	22,6	4	3	13	3	IV	23
30/VII—19/VI	23,7	24,0	4	3	11	3	V	21
22/VIII—10/IX	24,8	25,1	4	2	11	3	VI	20
13/IX—15/X	18,6	18,8	6	5	18	4	VII	33

При среднесуточной температуре воздуха 22,3—24,8° и относительной влажности 75—85% (июль-сентябрь) среди 50 самок *C. pipiens* до 20 дней дожили 43, до 30 дней — 35, до 40 дней — 13, до 43 дней — 4 и до 45 дней — 1. Соответственно этим срокам число живых самок *C. p. molestus* составило 44, 37, 17, 6 и 2, а последние особи этих комаров погибли на 46-е и 47-е сутки соответственно. Единичные самцы указанных комаров дожили до 16 суток и большая часть погибла на 7—10 сутки.

Таким образом, в Колхидской низменности неавтогенная, гетеродинамная и стено-эвригамная форма *C. pipiens* в сезоне даёт 7 поколений. В лаборатории большинство самок этих комаров при кормлении их сахарным сиропом и кровью доживают до 30 суток, а единичные — до 46 суток. Продолжительность жизни самцов при кормлении сахарным сиропом не превышает 16 дней, и гибель значительного числа наблюдается на 7—10-й день.

Институт медицинской паразитологии
и тропической медицины
им. С. С. Вирсаладзе
МЗ ГССР

(Поступило 3.9.1982)



შ. სიჩინავა, გ. შენგელია

CULEX PIPiens LINNaeus, 1758 თაობათა რიცხვი და სიცოცხლის
ხანგრძლივობა კოლხეთის დაბლობზე

რეზიუმე

გამოკვლევებით დადასტურდა, რომ არავტოგენური, ჰეტეროდინამური და
სტენო-ექტოგენური *C. pipiens* სეზონში იღლევა 7 თაობას. ლაბორატორიაში
შეკვეთების დედლების უმრავლესობა შაქრის ხსნარითა და სისხლით კვებისას
ციცხლობენ 30 დღემდე, ხოლო ერთეულები კი 46 დღემდე. მამლების სიცო-
ცხლის ხანგრძლივობა შაქრის ხსნარით კვებისას არ აღმატება 16 დღეს და მა-
თი მნიშვნელოვანი ნაწილი იღლუბება 7-დან 10 დღემდე.

ENTOMOLOGY

Sh. G. SICHINAVA, G. Yu. SHENGEGLIA

THE NUMBER OF GENERATIONS AND THE LENGTH OF LIFE
OF *CULEX PIPiens LINNaeus*, 1758 IN THE KOLKHETI
LOWLAND

Summary

The nonautogenous, heterodynamic and steno-urygamic form of *C. pipiens* gives 7 generations during a season. Under laboratory conditions the majority of females—when fed with sugar syrup and blood—live to 30 days, only a few to 46 days. The length of life of males—when fed with sugar syrup—does not exceed 16 days, death of a large number of the genus being observed within 7 to 10 days.

ლიტერატურა — REFERENCES

1. Е. С. Куприянова, Л. М. Воротникова. Мед. параз. и паразит. болезни, т. 36, 1967.
2. Л. Я. Ильченко. Автореферат канд. дисс. Ростов-на-Дону, 1973.
3. Н. А. Тамарина. Вестник МГУ, сер. биол.-почв., т. 2, 1966.

ГИСТОЛОГИЯ

Г. Г. САМСОНИДЗЕ, К. Н. БАРАБАДЗЕ

АНАЛИЗ ВОССТАНОВИТЕЛЬНОЙ РЕАКЦИИ
ПОДЖЕЛУДОЧНОЙ ЖЕЛЕЗЫ ПОСЛЕ ОБЛУЧЕНИЯ
НА ТКАНЕВОМ УРОВНЕ

(Представлено академиком Н. А. Джавахишвили 2.6.1982)

В ранее выполненных нами работах по количественному изучению компенсаторно-приспособительной реакции поджелудочной железы (ПЖ) после резекции тощей кишки [1, 2], повреждения надпочечников [3, 4], ранения сердца [5] и повреждения десны [6] было выявлено изменение ее строения. В настоящей работе мы изучали эту реакцию ПЖ после облучения.

Использовали крыс-самцов весом 130—140 г. 25 крысам произвели облучение при помощи рентгеновского аппарата РУМ-17 (условия облучения: напряжение 200 кВ, сила тока 15 мА, фильтр 1 мм Al, 0,5 мм Cu, мощность дозы 250:4,5=5,5 г/мин, дистанция 50 см). При данных условиях облучения возникали обратимые патологические изменения. Подопытных и контрольных животных [25] забивали путем декапитации по [5] через 1, 5, 15, 30 и 90 суток после облучения. Железу фиксировали в смеси Карнума. Определяли абсолютный вес органа. Заливку материала производили в парафине. Срезы толщиной 5 мк, бравшиеся через каждые 25—30 мк, окрашивали гематоксилин-эозином. На гистологических препаратах методом зарисовки и взвешивания [7] определяли истинную площадь в одном поле зрения (об. $\times 40$, ок. $\times 7$), занятую паренхимой (раздельно ацинозной и островковой частью), стромой, одной доллькой, ацинусом, его клетками и просветом. Одновременно в том же поле зрения определяли число островков, в долльке — число ацинусов и число клеток в ацинусе. Винтовым окулярмикрометром измеряли просвет междолльковых и внутридольковых выводных протоков по формуле $S = 0,785 dD$, измеряли диаметр ацинозных и островковых капилляров. Вычисляли отношение площади паренхимы к площади стромы. Определение параметров производили из 50—100 измерений и подсчетов. Нижеприведенные данные статистически значимы.

Из табл. 1, 2 видно, что после заданного облучения крыс в основном все анализируемые показатели изменяются в течение первого месяца опыта. При этом отмечается уменьшение таких параметров, как абсолютный вес ПЖ, площадей, занятых паренхимой и стромой в ней, площади одной долльки, площади просвета междолльковых и внутридольковых выводных протоков, площади ацинуса, площади, занятой клетками и просветом в них, площади, занятой островками. Другие показатели (число ацинусов в долльке, островков в одном поле зрения, клеток в ацинусе) увеличиваются. Увеличивается также диаметр ацинозных капилляров и островковых капилляров. Хотя на 5-е сутки опыта диаметр капилляров островка уменьшается на 7%.

Из анализируемых данных видно, что в ответ на подобранное облучение животного, при котором развиваются обратимые патологические изменения, ПЖ отвечает проявлением компенсаторно-приспособительной реакции. Эта реакция на тканевом уровне сводится к перестройке органа в течение одного месяца после облучения. Уменьша-

Таблица 1

Изменение веса поджелудочной железы и величины ее структурных элементов (паренхимы, стромы, долеки и просвета выводных протоков железы) в условиях облучения у крыс ($M \pm m$)

Сроки наблюдения и группа животных (О — опытные, К — контрольные)	Абсолютный вес поджелудочной железы, мг	Площадь (мм^2), занятая		Площадь одной долеки мм^2	Площадь просвета выводных протоков, $\mu\text{к}^2$	
		паренхимой	stromой		междольковых	внутридольковых
1 сутки О К	$346 \pm 0,9$ $478 \pm 0,0$	$0,78 \pm 0,1$ $0,99 \pm 0,0$	$0,64 \pm 0,1$ $0,64 \pm 0,0$	$0,22 \pm 0,0$ $0,34 \pm 0,1$	$240 \pm 0,0$ $395 \pm 0,0$	$198 \pm 0,0$ $256 \pm 0,0$
5 суток О К	$264 \pm 0,8$ $476 \pm 0,1$	$0,66 \pm 0,1$ $0,98 \pm 0,1$	$0,44 \pm 0,1$ $0,63 \pm 0,1$	$0,17 \pm 0,0$ $0,32 \pm 0,0$	$222 \pm 0,0$ $492 \pm 0,0$	$181 \pm 0,0$ $254 \pm 0,0$
15 суток О К	$350 \pm 0,1$ $474 \pm 0,2$	$0,72 \pm 0,0$ $0,97 \pm 0,0$	$0,50 \pm 0,0$ $0,64 \pm 0,0$	$0,19 \pm 0,0$ $0,33 \pm 0,1$	$232 \pm 0,0$ $394 \pm 0,1$	$190 \pm 0,0$ $252 \pm 0,1$
30 суток О К	$410 \pm 0,0$ $472 \pm 0,6$	$0,85 \pm 0,0$ $0,96 \pm 0,0$	$0,65 \pm 0,0$ $0,64 \pm 0,0$	$0,24 \pm 0,0$ $0,34 \pm 0,1$	$239 \pm 0,0$ $393 \pm 0,0$	$210 \pm 0,0$ $254 \pm 0,0$
90 суток О К	$469 \pm 0,1$ $470 \pm 0,1$	$0,96 \pm 0,0$ $0,97 \pm 0,0$	$0,63 \pm 0,0$ $0,64 \pm 0,0$	$0,31 \pm 0,0$ $0,32 \pm 0,0$	$389 \pm 0,0$ $394 \pm 0,0$	$253 \pm 0,0$ $255 \pm 0,0$

* Различие между опытом и контролем статистически достоверно.

Таблица 2

Изменения величины ацинуса, его структурных элементов, площади, занятой островками, числа островков, ацинусов, ацинозных клеток и диаметров капилляров ацинусов и островков поджелудочной железы в условиях облучения у крыс ($M \pm m$)

Сроки наблюдений и группы животных (О — опытные, К — контрольные)	Площадь, мк^2				Число			Диаметр капилляров, мк	
	среза ацинуса	занятая ацинозными клетками	просвета	занятая островкой тканью	ацинусов в одной дольке	островков	клеток в ацинусе	ацинусов	островков
1 сутки О / К	$582 \pm 0,1$ + $649 \pm 0,1$	$568 \pm 0,1$ + $631 \pm 0,0$	$14 \pm 0,1$ + $18 \pm 0,0$	$310 \pm 0,0$ + $321 \pm 0,0$	$14 \pm 0,0$ + $8 \pm 0,0$	$0,0 \pm 0,1$ + $0,0 \pm 0,0$	$10 \pm 0,0$ + $7 \pm 0,0$	$9 \pm 0,0$ + $6 \pm 0,0$	$15 \pm 0,0$ + $16 \pm 0,1$
5 суток О / К	$543 \pm 0,0$ + $650 \pm 0,0$	$533 \pm 0,0$ + $632 \pm 0,1$	$10 \pm 0,0$ + $18 \pm 0,0$	$280 \pm 0,0$ + $320 \pm 0,0$	$18 \pm 0,1$ + $7 \pm 0,0$	$0,2 \pm 0,0$ + $0,0 \pm 0,0$	$12 \pm 0,0$ + $7 \pm 0,1$	$11 \pm 0,0$ + $6 \pm 0,0$	$14 \pm 0,0$ + $15 \pm 0,1$
15 суток О / К	$565 \pm 0,1$ + $648 \pm 0,0$	$553 \pm 0,0$ + $630 \pm 0,0$	$12 \pm 0,0$ + $18 \pm 0,0$	$256 \pm 0,0$ + $320 \pm 0,0$	$16 \pm 0,0$ + $8 \pm 0,1$	$0,4 \pm 0,0$ + $0,0 \pm 0,0$	$11 \pm 0,0$ + $7 \pm 0,0$	$10 \pm 0,0$ + $6 \pm 0,1$	$22 \pm 0,1$ + $16 \pm 0,0$
30 суток О / К	$592 \pm 0,0$ + $649 \pm 0,0$	$577 \pm 0,0$ + $631 \pm 0,0$	$15 \pm 0,1$ + $18 \pm 0,1$	$250 \pm 0,0$ + $320 \pm 0,0$	$11 \pm 0,1$ + $7 \pm 0,0$	$0,1 \pm 0,0$ + $0,0 \pm 0,0$	$9 \pm 0,0$ + $7 \pm 0,0$	$8 \pm 0,0$ + $6 \pm 0,0$	$20 \pm 0,0$ + $15 \pm 0,0$
90 суток О / К	$645 \pm 0,0$ **	$627 \pm 0,0$ **	$18 \pm 0,0$ **	$320 \pm 0,0$ **	$8 \pm 0,0$ **	$0,0 \pm 0,0$ **	$7 \pm 0,1$ **	$6 \pm 0,0$ **	$15 \pm 0,0$ **
	$648 \pm 0,0$	$630 \pm 0,1$	$18 \pm 0,0$	$320 \pm 0,0$	$8 \pm 0,0$	$0,0 \pm 0,0$	$7 \pm 0,0$	$6 \pm 0,0$	$16 \pm 0,1$

* Различие между опытом и контролем статистически достоверно.



ются вес органа и величина его структурных элементов, наиболее резко в течение 5—15 суток опыта. К концу месяца эта реакция менее выражена. Увеличение числа структурных элементов вполне закономерно и связано с уменьшением их величины. Увеличение диаметра капилляров указывает на усиление прилива крови, что и связано с проявлением компенсаторно-приспособительной реакции. Однако эта реакция в островках на 5-е сутки опыта заметно угнетена в связи с их преимущественным поражением.

Точное количественное изучение изменений в истинных величинах анализом до получения повторяющихся результатов уже на тканевом уровне дает возможность задуматься о более точных и надежных рекомендациях. В литературе аналогичных сведений нет.

Таким образом, в ПЖ облученного животного с сохранившейся обратимостью патологических изменений проявляется компенсаторно-приспособительная реакция, характерная по своим особенностям течения и проявления.

Академия наук Грузинской ССР

Институт экспериментальной морфологии

им. А. Н. Натишивили

(Поступило 3.9.1982)

308604080

გ. სამსონიძე, ქ. ბარაბაძე

პაციენტების აღდგენითი რეაციის ანალიზი ქსოვილოვან დონის
დასხივების შემდეგ

რეზიუ მე

ვირთავებზე შესწავლითი პანკრეასის აგებულებისა და წონის რაოდენობრივი ცვლილებები დასხივებიდან 1, 5, 15, 30 და 90 დღედამის შემდგამოვლენილია ორგანოს წონისა და აგებულების შეცვლა დასხივებიდან ერთ თვის განმავლობაში. ეს ცვლილება ატარებს კომპენსატორულ-შეგუებითი რეაციის ხასიათს.

HISTOLOGY

G. G. SAMSONIDZE, K. N. BARABADZE

ANALYSIS OF THE RESTORATIVE REACTION OF THE PANCREAS AFTER IRRADIATION AT TISSUE LEVEL

Summary

Quantitative changes of the structure and weight of the pancreas within 1, 5, 15, 30 and 90 days of irradiation were studied in rats. The weight and structure of the pancreas were found to change during a month after irradiation. This restructuring has the character of compensational-adaptive reaction.

ლიტერატურა — REFERENCES

- К. Н. Барабадзе. Сб. «Общие закономерности морфогенеза и регенерации». Тбилиси, 1974.
- К. Н. Барабадзе. Бюлл. эксп. биол. и мед., 7, 1975.
- Г. Г. Самсонидзе, К. Н. Барабадзе. Здравоохран. Белоруссии, 7, 86, 1975.
- К. Н. Барабадзе. Матер. I Закавк. конф. морфологов. Тбилиси, 1975.
- Г. Г. Самсонидзе, К. Н. Барабадзе. Матер. конф., посв. 60-летию Великой Октябрьской Социалистической революции. Тбилиси, 1977.
- К. Н. Барабадзе, Ц. З. Самсонидзе, Д. С. Голембовская, И. Ш. Каркузашвили. Матер. конф. Ин-та эксп. мор., каф. госп. хир. леч. ф-та Тбилгосмедин-та, Респ. клин. б-цы, О-ва врачей г. Батуми. Тбилиси, 1978.
- Г. Г. Самсонидзе. Сообщения АН ГССР, 67, № 1, 1972.

ЭКСПЕРИМЕНТАЛЬНАЯ МЕДИЦИНА

М. А. АРВЕЛАДЗЕ

ДЕЙСТВИЕ НЕКОТОРЫХ ДЕЗИНТОКСИКАЦИОННЫХ СРЕДСТВ НА ВОДНО-ЭЛЕКТРОЛИТНЫЙ И БЕЛКОВЫЙ ОБМЕН ПРИ ОСТРЫХ АЛКОГОЛЬНЫХ ИНТОКСИКАЦИЯХ

(Представлено академиком А. Д. Зарабашвили 29.4.1983)

При активной дезинтоксикационной терапии острых алкогольных отравлений принято применять препараты, позволяющие не только восстанавливать нарушения водно-электролитного баланса, но и регулировать обмен белков и аминокислот [1, 2]. Повышение коллоидно-осмотического давления плазмы, форсирование перехода интерстициальной жидкости в сосудистое русло [3] обычно осуществляется с помощью низкомолекулярных белковых фракций или многоатомных спиртов.

Однако работ, дающих объективную характеристику эффективности действия гемодиализации на отдельные показатели обмена веществ, почти не проводилось. Недостаточно также изучена способность алкоголя и его метаболитов активно действовать на отдельные звенья обмена веществ, изменение которых сопутствует алкогольной интоксикации. Указанное влечет за собой противоречивость оценок одних и тех же препаратов, в результате чего создаются исключительные трудности при выработке обоснованных мер дезинтоксикации [4—6].

Целью работы является изучение в условиях острой алкогольной интоксикации действия некоторых широко применяемых в рутинной реаниматологии дезинтоксикационных средств на концентрацию электролитов в сыворотке и форменных элементах, а также уровня белковых фракций и свободных аминокислот.

Концентрацию электролитов (Na , K , Ca) определяли с помощью пламенной фотометрии на фотометре высокого разрешения ВТП-ВТИ.

Белковые фракции и свободные аминокислоты сыворотки идентифицировали качественно и количественно методами тонкослойной и газовой хроматографии (хроматограф серии Цвет-104) после предварительного перевода в N' -трифтормаслянистые бутиловые эфиры. Режимы хроматографирования соответствовали [7].

Модели острых алкогольных интоксикаций созданы на восьми половозрелых собаках путем внутримышечной инъекции 15% водного раствора этилового спирта в расчете 0,1 мг/кг веса животного. За уровнем этианола в крови следили с помощью газо-хроматографических методов исследования. Его средняя концентрация составляла 0,01 мг/кг в плазме и 0,008 мг/кг в форменных элементах.

В качестве купирующих средств выбраны сложные коктейли, основу которых представляли гемодез (I группа экспериментов), мани-41, „Фенил“ (II группа), „Фенил“ + гемодез (III группа), мани-41, „Фенил“, фенотиазин (IV группа), мани-41, „Фенил“ + фенотиазин (V группа).

тол (II группа), реополиглюкин (III группа) и раствор Филлипса (IV группа) в сочетании с витаминами группы В и глюкозой в различных концентрациях [8].

Наблюдения проведены до начала острого алкогольного отравления (полученные данные использованы в качестве фоновых, контрольных показателей) и на уровне максимального патерна интоксикации, о котором судили по уровню алкоголя в бедренной вене животного с помощью газо-жидкостной хроматографии.

Исследования показали, что на уровне острой алкогольной интоксикации концентрация Na в плазме снижена, а в форменных элементах не изменена. Уровень K в плазме также оказался ниже фоновых показателей, однако в форменных элементах был сильно увеличен. Количество Ca в плазме также незначительно возросло.

Таким образом, обнаруженный нами сдвиг баланса электролитов проявился главным образом в виде плазменной гипокалиемии и натриемии. Несмотря на то обстоятельство, что на уровне острого отравления этанолом наступают серьезные нарушения среди всех исследуемых нами электролитов, наиболее важным, по нашему мнению, является дефицит K в клеточном секторе, что, видимо, вызывает серьезные нарушения в энергетическом балансе.

Плазменная гипокалиемия продолжает стойко держаться, несмотря на значительное поступление K в организм во время интенсивных дезинтоксикационных мероприятий.

На высоте острого алкогольного отравления меняется распределение в белковых компонентах сыворотки. Наибольшие сдвиги перпекают альбумины, количество которых резко падает, в то время как сумма глобулиновых фракций увеличивается. Повышение глобулиновых фракций проявляется в первую очередь за счет альфа-2- и гамма-глобулинов. Таким образом, альбумин-глобулиновый коэффициент резко нарушается.

Наши данные показали, что после проведения интенсивной дезинтоксикационной терапии восстановление дефицита Na в плазме происходит в I и II группах исследования неполностью, в то время как нормализация K во всех четырех группах наблюдений совпадает с моментом выхода экспериментального животного из состояния опьянения.

Среди примененных дезинтоксикационных средств наиболее предпочтительным оказался раствор Филлипса, использование которого способствовало более полному редуцированию изменений, развившихся в результате острой алкогольной интоксикации, а также выводило животное из коматозного состояния в более ранние сроки.

Выравнивание гипопротеинемии имело место только в IV группе исследования, в то время как в остальных группах, где применялся манитол или реополиглюкин, уровень белков плазмы опустился ниже контрольных показателей.

Диспротеинемия сохранялась в основном за счет высокого уровня глобулинов. Альбумин/глобулиновый коэффициент почти не менялся.

Динамика уровня свободных аминокислот плазмы при проведении интенсивных дезинтоксикационных мероприятий почти полностью пов-



торяла описанные выше изменения в белковых фракциях плазмы. В результате проведенной гемодилюции восстановление спектра свободных аминокислот проявилось в статистически достоверном повышении концентрации аргинина, глицина, аспарагина, серина и тирозина. Одновременно уровень серина, лейцина и пролина, а также глутаминовой кислоты и треонина снижался.

Диспропорция аминокислотного спектра сыворотки на фоне тенденции к генерализованной гипераминоацидемии постепенно сглаживалась, что наиболее ясно обнаружилось в IV группе наблюдений.

Таким образом, действие примененных нами дезинтоксикационных средств на отдельные показатели внутренней среды организма (баланс электролитов, уровень белковых фракций плазмы, соотношение и спектр свободных аминокислот) оказалось неравнозначным.

Институт психиатрии

им. М. М. Асатиани

МЗ ГССР

Республиканский хроматографический центр

(Поступило 29.4.1983)

0520000000000 00000000

ა. არველაძე

ზოგიერთი დაზინტოქსიკაციური საუზალებების მოქმედება
ელექტროლიტურ და ცილოვან ცვლაზე მფავა ალკოჰოლური
აოჭავლის შემთხვევაში

რეზიუმე

ნაშრომში ნაჩვენებია, რომ სხვადასხვა დეზინტოქსიკაციური ნაერთების გამოყენება მწვავე ალკოჰოლური მოწამვლის შემთხვევაში არაერთნაირად ახდენს გავლენას ელექტროლიტურ ცილოვან და ამინომჟავების ცვლაზე.

აღნიშნულს მნიშვნელობა აქვს მწვავე ალკოჰოლური ინტოქსიკაციის სწრაფ და დროულ კუპირებაში.

EXPERIMENTAL MEDICINE

M. A. ARVELADZE

THE INFLUENCE OF DISINTOXICATIONAL THERAPY ON SOME INDICES OF WATER-ELECTROLYTIC AND PROTEIN EXCHANGE DURING ACUTE ALCOHOL INTOXICATION

Summary

The various mixtures used in disintoxicational therapy during acute alcohol intoxication alter the indices of water-electrolytic and protein exchange in different ways.

ЛІТЭРАТУРА — REFERENCES

1. В. В. Соседова, А. А. Легос, Л. Т. Фантихова, Л. Г. Хлолменко-ва. Сб. «Актуальные вопросы догоспитальной медицинской помощи». Уфа, 1980.
2. Я. М. Неплох. Сб. «Алкогольные и экзогенно органические психозы». Л., 1979.
3. А. С. Субханбердин. Здравоохранение Казахстана, № 7, 1982.
4. В. Ф. Грицай. Сб. работ Куйбышевского мед. ин-та. Куйбышев, 1977.
5. И. В. Стрельчук. Вопросы алкоголизма. М., 1973.
6. Е. И. Щорс, Р. Е. Либинzon. Хим.-фарм. ж., № 7, 1978.
7. З. А. Зурабашвили, М. М. Кладиашвили. Повреждение и регуляторные механизмы в организме. М., 1982.
8. А. И. Шохирев. Актуальные вопросы скорой медицинской помощи. М., 1972.



ЭКСПЕРИМЕНТАЛЬНАЯ МЕДИЦИНА

М. С. КОКИЧАШВИЛИ

ИЗМЕНЕНИЯ АКТИВНОСТИ КИСЛЫХ ГИДРОЛАЗ В СКЕЛЕТНЫХ МЫШЦАХ НЕАДАПТИРОВАННЫХ И АДАПТИРОВАННЫХ КРЫС НЕПОЛОВОЗРЕЛОГО ВОЗРАСТА ПОСЛЕ ОДНОКРАТНОЙ ФИЗИЧЕСКОЙ НАГРУЗКИ

(Представлено членом-корреспондентом Академии А. Н. Бакурадзе 23.6.1983)

В результате систематической физической нагрузки в скелетных мышцах происходит адаптационная перестройка метаболизма, в реализации которой на клеточном, субклеточном и молекулярном уровнях непосредственно участвуют многие ферменты различных метаболических путей [1, 2]. В настоящее время роль лизосомных кислых гидролаз как в срочной, так и в долговременной адаптации метаболических процессов скелетных мышц при физических нагрузках, особенно в возрастном аспекте, почти не изучена и в литературе имеются лишь единичные сообщения [3—6].

Целью нашей работы явилось исследование активности некоторых кислых гидролаз в скелетных мышцах крыс неполовозрелого возраста, не адаптированных и адаптированных к физическим нагрузкам предварительной тренировкой плаванием.

Опыты проводили на белых беспородных крысах неполовозрелого, 1,5—2-месячного, возраста массой 80—100 г. Животные были разделены на две группы. Крыс первой группы предварительно адаптировали к физической нагрузке тренировкой в течение 4 недель плаванием ступенчато возрастающей длительности при температуре воды 33—35°C по методике В. А. Пыжовой [7]. Последнюю неделю тренировочного периода животные ежедневно плавали 60 мин. Крыс второй группы не тренировали. Адаптированных животных брали в опыт спустя 48 часов после завершения тренировочного цикла. Как адаптированных, так и неадаптированных крыс подвергали однократной физической нагрузке плаванием в течение 60 минут. Сразу же, спустя 1 и 24 часа после однократной нагрузки животных декапитировали. Немедленно извлеченную четырехглавую мышцу правого и левого бедра гомогенизировали в среде, содержащей 0,15 М KCl, 0,05 М K₂CO₃ и 0,006 М ЭДТА (рН 7,4).

Для определения общей и свободной активности исследуемых кислых гидролаз полученные гомогенаты обрабатывали по методу, разработанному А. А. Покровским и соавт. [8]. В гомогенатах и надсадочной фракции определяли активность: кислой фосфатазы (КФ 3.1.3.2) по методу Gianetto и De Duve [9], кислых протеиназ (КФ 3.4.23.—) по методу Ансона в модификации Ikezawa et al. [10], кислой β -галактозидазы (КФ 3.2.1.23) и кислой β -глюкозидазы (КФ 3.2.1.21) по методу Patel и Tappel [11]. Белок определяли по методу Lowry et al. [12]. Полученные цифровые данные обрабатывали методом вариационной статистики с использованием для определения статистической достоверности критерия Стьюдента.

Результаты наших исследований представлены в таблице. В состоянии покоя в скелетных мышцах неполовозрелых крыс, адаптированных к физической нагрузке предварительной тренировкой, общая

активность кислых гидролаз достоверно выше, чем у неадаптированных (контрольных) животных. Ранее нами было показано, что в результате адаптации к физическим нагрузкам в скелетных мышцах крыс молодого, 6—8-месячного, возраста также наблюдается повышение активности кислых гидролаз [13]. Аналогичные изменения общей активности лизосомных кислых гидролаз в скелетных мышцах были отмечены и другими авторами [4, 5]. Такая активация лизосомного аппарата скелетных мышц крыс, вероятно, направлена прежде всего на сохранение гомеостаза миоцитов при усилении их деятельности в результате систематической физической нагрузки.

Активность кислых гидролаз в скелетных мышцах неполовозрелых крыс после однократной физической нагрузки плаванием (нмоль субстрата в минуту на мг белка)

Фермент	Вид активности	Стат. показатель	Неадаптированные				Адаптированные			
			Плавание 1 час				Плавание 1 час			
			Покой	Отдых		Покой	Отдых			
				Сразу	1 ч.		Сразу	1 ч.	24 ч.	
Кислая фосфатаза	OA	M	6,39	5,45+	7,57+	6,76	7,23*	8,55+	7,61	7,43
	CA	M	± m	0,25	0,24	0,42	0,28	0,30	0,23	0,20
Кислые протеиназы	OA	M	2,31	3,39+	3,80+	3,16+	2,38	2,84+	2,59	2,43
	CA	M	± m	0,12	0,13	0,16	0,12	0,13	0,16	0,20
β-Галактозидаза	OA	M	0,93	1,88+	1,34+	1,01	1,01	1,32+	1,20	1,13
	CA	M	± m	0,08	0,13	0,07	0,06	0,09	0,09	0,07
β-Глюкозидаза	OA	M	0,095	0,203+	0,107	0,102	0,098	0,123	0,112	0,116
	CA	M	± m	0,008	0,010	0,019	0,015	0,016	0,009	0,007

Примечания: в таблице представлены средние величины из 10—12 опытов; OA — общая активность ферментов; CA — свободная активность ферментов; статистически достоверные различия ($P \leq 0,05$) между величинами в состоянии покоя и после физической нагрузки обозначены знаком +, а между величинами у неадаптированных и адаптированных животных в состоянии покоя — знаком *.

Однократная физическая нагрузка плаванием в течение 1 часа вызывает неодинаковые изменения общей активности кислых гидролаз у предварительно адаптированных и неадаптированных крыс.

Сразу после нагрузки у адаптированных животных общая активность всех исследованных ферментов достоверно повышается, а спустя 1 час снижается и только для кислых протеиназ остается выше, чем в состоянии покоя. В отличие от них, у неадаптированных крыс общая активность кислых протеиназ и β-глюкозидазы сразу после нагрузки повышается, β-галактозидазы достоверно не изменяется, а



кислой фосфатазы уменьшается. Следовательно, наблюдается разнонаправленное изменение общей активности кислых гидролаз.

По-разному изменяется и свободная активность кислых гидролаз. У адаптированных крыс нагрузка плаванием в течение 1 часа увеличивает свободную активность лишь кислых гликозидаз, а у неадаптированных животных — всех исследованных ферментов.

Одним из показателей состояния проницаемости лизосомных мембран считается процент свободной активности ферментов от общей [14]. Этот показатель у неадаптированных крыс после физической нагрузки существенно выше, чем у адаптированных животных, поскольку у последних увеличение общей активности ферментов не сопровождается столь значительным повышением свободной активности. Поэтому и процент свободной активности ферментов от общей у адаптированных животных увеличивается незначительно по сравнению с неадаптированными крысами.

Полученные сдвиги активности кислых гидролаз, а именно разностно-направленное изменение общей и одновременно повышение свободной активности, а также увеличение процента свободной активности ферментов от общей в скелетных мышцах неадаптированных крыс после однократной физической нагрузки указывает на то, что применяемая нами физическая нагрузка вызывает нарушение проницаемости лизосомных мембран и обладает определенным повреждающим эффектом. В свою очередь, повреждение, которое оставляет определенный структурный след и наблюдается при срочной адаптационной реакции, согласно Ф. З. Мирсону [15], является необходимым условием для перехода срочной адаптационной реакции в долговременную адаптацию.

Таким образом, в результате предварительной тренировки в скелетных мышцах крыс неполовозрелого возраста наблюдается некоторая стабилизация лизосомных мембран, поэтому у адаптированных крыс однократная физическая нагрузка плаванием не вызывает значительной лабилазии мембран лизосом.

Тбилисский государственный медицинский институт

(Поступило 23.6.1983)

ଓଡ଼ିଆ ଲେଖକ ପରିଚୟ

a. გორისა მცხოვრის

სერიოგროვად მოუმჯობესებილი ასაკის არააღატიტირებული და
აღატიტირებული ვინთაგვების ჩონჩხის კუნთებული მავავი
ჰიდროლაზის აგტივობის ცვლილება ერთჯერადი ფიქტური
ჭატვირთვის შეაძლებ

ՀԵՖՈՒԹ

M. S. KOKICHASHVILI

CHANGES OF ACID HYDROLASE ACTIVITY IN SKELETAL
MUSCLES OF ADAPTED AND NON-ADAPTED PREADOLESCENCE
RATS AFTER PHYSICAL EXERCISE

Summary

The study of total and free acid hydrolase activities in skeletal muscles of preadolescence rats has demonstrated that certain stabilization of lysosomal membranes takes place in rat skeletal muscles adapted to physical loads of preliminary training. After physical exercise changes of lysosomal membrane permeability in skeletal muscles of adapted animals is less pronounced than in non-adapted ones.

ЛІТЕРАТУРА — REFERENCES

1. Н. Н. Яковлев. Укр. биохим. ж., 48, № 3, 1976, 388—397.
2. J. O. Holloszy, F. Booth. Ann. Rev. Physiol., 38, 1976, 273-291.
3. V. Vihko, A. Salminen, J. Rantamäki. Acta physiol. scand., 104, № 1, 1978, 74-81.
4. L. Pilström, V. Vihko, E. Aström, A. Arstila. Acta physiol. scand., 104, № 2, 1978, 217-224.
5. V. Vihko, A. Salminen, J. Rantamäki. J. Appl. Physiol., 47, № 1, 1979, 43-50.
6. Л. Е. Панин. Биохимические механизмы стресса. Новосибирск, 1983.
7. В. А. Пыжова. Физиол. ж. СССР им. И. М. Сеченова, 59, № 3, 1973, 428—433.
8. А. А. Покровский, А. И. Арчаков, А. М. Герасимова и др. Цитология, 9, № 5, 1967, 561—567.
9. R. Gianetto, C. de Duve. Biochem. J., 59, 1955, 433-438.
10. H. Ikezawa, T. Aoyagi, T. Takeuchi, H. Umezawa. J. Antibiotics, 24, № 7, 1971, 488-490.
11. V. Patel, A. Tappel. Biochim. Biophys. Acta, 191, № 1, 1969, 86-94.
12. O. H. Lowry, N. J. Rosebrough, A. L. Farr, R. J. Randall. J. Biol. Chem. 193, 1951, 265-275.
13. М. С. Кокиашвили. Сб. «Актуальные проблемы современной спортивной медицины и лечебной физкультуры». Тбилиси, 1982, 95—97.
14. А. А. Покровский, В. А. Тутельян. Лизосомы. М., 1976.
15. Ф. З. Меерсон. Адаптация, стресс и профилактика. М., 1981.

языкознание

Д. А. ЖОРЖОЛИАНИ, О. М. МАТЕШВИЛИ

К ПРОБЛЕМЕ МЕЖЪЯЗЫКОВОЙ СООТНЕСЕННОСТИ
ФРАЗЕОЛОГИЧЕСКИХ ЕДИНИЦ (НА МАТЕРИАЛЕ
АНГЛИЙСКОГО И РУССКОГО ЯЗЫКОВ)

(Представлено академиком Ш. В. Дзидзигури 10.2.1983)

В данной работе проводится синхронно-сопоставительное исследование фразеологических единиц (далее ФЕ) с точки зрения выявления меры их межъязыковой соотнесенности.

Выбор данного направления в исследовании обусловлен прежде всего недостаточной разработанностью общей теории типологии неродственных языков, в частности, на уровне фразеологической системы в целом, а также возросшим интересом лингвистов к номинативной природе ФЕ.

Одной из кардинальных проблем в исследовании номинативной природы ФЕ является проблема фразеологического значения как особого вида лингвистической категории. Фразеологическое значение понимается как системное единство сигнификативно-денотативного, коннотативно-прагматического и образного значений, а сопоставительно-типологическое исследование ФЕ с точки зрения меры их межъязыковой соотнесенности сводится, с одной стороны, к установлению видов эквивалентности их совокупного фразеологического значения, т. е. к сопоставлению их смысловой нагрузки, а с другой стороны, к их лексико-грамматической оформленности, заключающейся в сопоставлении их материального состава и структурной организации. Таким образом, в основе сопоставительно-типологических исследований ФЕ с точки зрения их межъязыковой соотнесенности лежат характеристики смысловой и структурной организации исследуемых ФЕ. Иными словами, сопоставительно-типологическое исследование ФЕ на предмет их смысловой организации сводится к установлению меры межъязыковой соотнесенности их фразеологического значения, а исследование структурной организации — к выявлению межъязыковой соотнесенности их структур, т. е. грамматической организации. «Контрастивное исследование должно содержать систематическое сравнение форм и значений единиц структуры сопоставляемых языков, исходя из предположения о существовании некоего базового сходства между языками» [1].

Такой комплексный подход к исследованию межъязыковой соотнесенности ФЕ позволяет с большей точностью установить виды межъязыковых связей, выявить основные и промежуточные группы соотнесенных единиц, дать их качественную и количественную характеристики.

Известно, что подавляющее большинство собственно фразеологизмов возникло путем переосмыслиния переменных словесных комплексов (далее ПСК), что, в свою очередь, означает, что ФЕ являются единицами вторичного порядка и характеризуются двуплановостью, а отношение ПСК — ФЕ сводится к отношениям безобразного аналитического и образного синтетического именования. Так, to tighten one's belt — затянуть потуже пояс (ПСК) и to tighten one's belt — пойти на лишения, терпеть лишения (ФЕ); to take the bull by the horns — взять быка за рога (ПСК) и to take the bull by the horns — действовать решительно, напрямик, мужественно преодолевать затруднения (ФЕ).

Как уже отмечалось выше, совокупное фразеологическое значение понимается как системное единство трех моментов. Следовательно, устанавливая меру межъязыковой эквивалентности ФЕ, следует исходить из последовательного сопоставления ФЕ по параметрам их понятийного содержания субъективной модальности и образной направленности.

Исследование смысловой организации ФЕ английского и русского языков с точки зрения их межъязыковой уровневой принадлежности позволяет выделить две принципиально различные группы: одноуровневые ФЕ и разноуровневые ФЕ.

В первую группу входят единицы, представленные в обоих сопоставляемых языках на уровне фразеологической системы, т. е. ФЕ в английском языке соответствует ФЕ в русском языке. Исследование данных единиц, естественно, не выходит за рамки исследования фразеологической системы и ограничивается сопоставлением идентичности набора признаков. Так, *stab in the back*—всегда нож в спину; *перен. предательски нападать, клеветать, злословить за спиной, или keep one's balance*—сохранять равновесие; *перен. оставаться спокойным, сохранять душевное спокойствие*.

Вторая группа представлена единицами разноуровневого порядка, т. е. в одном из сопоставляемых языков ФЕ на межъязыковом уровне соответствует нефразеологическое образование, т. е. образование иноуровневого порядка. Обычно это образование лексического или синтаксического уровней или же свободное словосочетание. Так, *sharpen one's tools* — готовиться, подготавливаться; *white caps (horses)* — „барашки“; *welsh rabbit (rarebit)*—гренки с сыром; *that's a horse of the same colour*—это одно и то же.

Следует отметить, что при установлении меры межъязыковой соотнесенности ФЕ не все компоненты совокупного фразеологического значения являются в равной степени релевантными. Так, к числу релевантных признаков следует, в первую очередь, отнести предметную направленность и объективное понятийное содержание сопоставляемых единиц, т. е. сигнификативно-денотативное значение комплекса, а также лексико-грамматическую организацию. Полное совпадение этих параметров позволяет выделить межъязыковые эквивалентные ФЕ. К числу нерелевантных признаков следует отнести модификации коннотативно-прагматического и образного значений, обуславливающих ту или иную степень межъязыковой соотнесенности ФЕ.

1. Одноуровневые ФЕ. а) Полные эквиваленты. Среди ФЕ данной группы встречаются полные межъязыковые фразеологические эквиваленты, представляющие собой т. н. абсолютные аналоги. Это совпадающие по материальному составу и структурной организации единицы, характеризующиеся наличием одного и того же сложного денотата, тождественных коннотаций и, следовательно, идентичного образного заполнения. «Такое совпадение, как правило, имеет место при аспектном тождестве, т. е. при аналогичной лексической и структурной организации фразеоглизмов в обоих языках» [2]. Так, *tear the mask off smb.*—сорвать маску с к.-л.

Таким образом, абсолютными межъязыковыми фразеологическими аналогами следует признать такие одноуровневые ФЕ, совокупное фразеологическое значение и лексико-структурная организация которых полностью тождественны.

б) Неполные эквиваленты. ФЕ данной группы характеризуются частично тождественным материальным составом и структурной организацией, тождественным сигнifikативно-денотативным значением, разной коннотативно-прагматической и образной насыщенностью.



стью. Так, *to have an ace (a card) up one's sleeve* — иметь козырь про запас.

В данном случае, по-видимому, уместно говорить о неполных межъязыковых фразеологических аналогах. Мера эквивалентности ФЕ данной группы находится в прямой зависимости от лексической наполненности комплекса и его структурной организации.

Компоненты ФЕ данной группы, представленные на межъязыковом уровне как различительные, в большинстве случаев соотносятся друг с другом по общему семантическому инварианту. Так, *up one's sleeve* про запас имеют инвариантное значение «чего-то спрятанного, неявного».

Говоря об инвариантном значении различительных компонентов, мы имеем в виду их семантическую соотнесенность лишь в пределах конфигурации ФЕ, создающую модификации коннотативно-прагматического и образного значений на межъязыковом уровне.

Таким образом, неполными межъязыковыми фразеологическими аналогами следует считать такие одноуровневые ФЕ, которые характеризуются частично совпадающей лексико-грамматической организацией, тождественным сигнификативно-денотативным значением при модификациях коннотативно-прагматического и образного значений.

в) Соотнесенные аналоги. К ФЕ данной группы относятся фразеоглизмы, характеризующиеся различным материальным составом и структурной организацией, объединяемые тождественным сигнификативно-денотативным значением и разным коннотативно-прагматическим и образным заполнением. Так, *to find a mare's nest* — попасть пальцем в небо; *bet one's bottom (last) dollar* — дать голову на отсечение.

Рассматриваемая группа ФЕ на межъязыковом уровне представляет наиболее обширный фразеологический пласт. Это явление легко объясняется тем фактом, что тождество материального состава и структурной организации ФЕ неродственных языков — явление нетипичное. Каждый народ, давая наименование тому или иному процессу, явлению, предмету и т. д., использует свой арсенал лексических средств, свое отношение и видение того или иного процесса или явления. Это особенно ярко проявляется во фразеологии, — наиболее эмоциональном уровне языка.

ФЕ данной группы объединяются, как правило, вокруг одной образной модели, одного образного стержня, а заполнения этой модели могут быть совершенно разные, равно как и структурная организация.

Существование подобных фразеоглизмов в самых различных, в том числе разноструктурных языках, и их типологическое сходство «основаны на общности логических и образно-ассоциативных процессов мышления разных народов» [3].

II. Разноуровневые ФЕ. Здесь также можно выделить три подгруппы: а) ФЕ соответствует лексема (в одном из сопоставляемых языков); б) ФЕ соответствует свободное словосочетание и в) ФЕ соответствует пропозитивная единица. Так, *God's acre* — кладбище; *brown study* — марочное раздумье; *skipper's daughters* — высокие волны с белыми гребнями; *that cat won't jump* — этот номер не пройдет.

Ограниченный объем статьи не позволяет дать более развернутую типологическую характеристику разноуровневых ФЕ; выявлены лишь соответствующие группы и намечены уровни анализа.

Исследуя феномен межъязыковой соотнесенности ФЕ и устанавливая меру этой соотнесенности, мы постарались выявить и установить сумму сходных и различных релевантных/нерелевантных признаков, определяющих межъязыковые соответствия ФЕ на материале английского и русского языков. Однако, на наш взгляд, выводы, полученные



в результате исследования, могут быть приложимы и к другим языкам, что, безусловно, говорит об обобщенном характере выявленных критериев и повышает эффективность работы.

Тбилисский государственный
педагогический институт
иностранных языков
им. И. Чавчавадзе

(Поступило 11.2.1983)

მნათამდებირება

დ. შორქოლიანი, მ. გამაზვილი

სხვადასხვა ენის ფრაზეოლოგიურ ერთოულთა ურთიერთობის კონტაქტში და რეზლი ენების გასაღავზე

რეზიუმე

ფრაზეოლოგიურ ერთოულთა სინქრონულ-შეპირისპირებით შესწავლას სხვადასხვა ენაში მათი ურთიერთობიმართების დადგენის თვალსაზრისით საფუძვლად უდევს საკვლევი ერთოულების სემანტიკური და სტრუქტურული მახასიათებლები.

ფაქტობრივი მასალის ანალიზი გვიჩვენა, რომ სხვადასხვა ენაში ფრაზეოლოგიურ დონეზე ოღიშეულ ერთოულებს შორის ურთიერთობიმართების დასადგენად ჩატარდება და ერთოულების გვევლინება ფრაზეოლოგიურ ერთოულთა დენტიურ-სიგნიფიკატური მნიშვნელობა და ლექსიკურ-გრამატიკული შედგენლობა.

LINGUISTICS

D. A. ZHORZHOI IANI, O. M. MATESHVILI

THE PROBLEM OF INTERLINGUAL CORRELATION OF PHRASEOLOGICAL UNITS (ON THE MATERIAL OF ENGLISH AND RUSSIAN LANGUAGES)

Summary

Semantic and structural features of the analyzed units are in bases of synchronic-comparative studies of phraseological units from the point of view of their interlingual correlation.

In distinguishing the degree of interlingual correlation on the phraseological level referential-significative meaning and lexicogrammatical organization are considered to be relevant.

ლიტერატურა — ЛИТЕРАТУРА — REFERENCES

1. В. Н. Ярцева. Контрастивная грамматика. М., 1981, 29.
2. А. Д. Райхштейн. Сопоставительный анализ немецкой и русской фразеологии. М., 1980, 25.
3. M. D. Stepanova, I. I. Cernyseva. Lexicologie der deutschen Gegenwartssprache. М., 1975, с. 211.

ლ. გოგიაძე, გ. გიგიძე მარიამი

არტიკლის საკითხის შესახებ თანახმადროვე ინგლისურში

(წარმოადგინა აკადემიკოსმა თ. გამყრელიძემ 4.3.1983)

არტიკლის პრობლემა თანამედროვე ინგლისურში მეტად საკამათოა. აზრ-თა სხვადასხვაობას იწვევს როგორც არტიკლის ცალკე მეტყველების ნაწილად გამოყოფის, ისე მისი რაოდენობის საკითხი.

ზოგიერთი მკვლევარი არტიკლს ცალკე, დამხმარე მეტყველების ნაწილად გამოყოფს და მიიჩნევს, რომ არტიკლში წამყვანია გრამატიკული მნიშვნელობა, რომ მას აქვს შესიტყვების წარმოქმნის უნარი და მის დამოუკიდებელ კომპონენტის შეაღებენ [1]. ზოგი მკვლევარის აზრით კი არტიკლი არსებითი სახელის გრამატიკულ კატეგორიას წარმოადგენს, და ამდენად, არსებით სახელს ინგლისურ ენაში, გარდა ბრუნვისა და რიცხვისა, აქვს განსაზღვრულობა/განუ-საზღვრულობის გრამატიკული კატეგორიაც, რომელიც გამოხატულია ანალიზური ფორმით — არტიკლი+არსებითი სახელი [2]. ბევრი არგუმენტის მოყვანა შეიძლება თითოეული ამ თვალსაზრისის სასარგებლოდ და საპირისპიროდაც. უფრო მიზანშეწონილად მივვაჩნია, არტიკლი მივაკუთვნოთ დეტერმინანტთა კლასს, რადგან ეს საშუალებას მოგვცემს უკეთ გამოყოფა არტიკლის რელევნობური თვისებები.

რაც შეეხება არტიკლის რაოდენობას ინგლისურში, აქ საკამათოა ე. წ. ნულოვანი არტიკლის საკითხი. ნულოვან არტიკლს, ანუ არტიკლის ისეთ არ-ხმარებას, რაც მნიშვნელობის ცვლილებას იწვევს, ჩვეულებრივ უპირისპირებენ ე. წ. „არტიკლის გამოტოვებას“ სტილისტური მიზნით განხეთის სათაურებში, დეპეშებში, აბრებზე და სხვა.

ჩვენი აზრით, უმართებულობა ნულოვანი არტიკლისა და „არტიკლის გამოტოვების“ ურთიერთდაპირისპირება, რადგან ორივე შემთხვევაში უარტიკლობა გაპირობებულია კომუნიკაციით, კომუნიკაციის სივრცის კი ერთნაირად უცილებელია როგორც გრამატიკული, ისე სტილისტური ნორმების დაცვა. უფრო მეტი, სტილისტური ნორმების დარღვევა ხშირად უფრო აფერხებს ხოლმე კომუნიკაციას, რადგან იგი იწვევს არასწორი ინფორმაციის გადაცემას და ამდენად განაპირობებს ინფორმაციის მიმღების არასწორ რეაქციას. გრამატიკული ნორმის დარღვევის შემთხვევაში კი, სიჭარბის ფაქტორის ფართოდ მოქმედების გამო, აღვილად ხდება სწორი ფორმის აღდგენა. ამდენად, სწორად მივვაჩნია იმ მკვლევართა აზრი, რომლებიც ინგლისურ ენაში გამოყოფენ ორი სახის არტიკლს — განსაზღვრულს და განუსაზღვრელს. არტიკლის ამ ორ სახეს, ჩვენი აზრით, უნდა დაუპირისპირდეს არსებითი სახელის უარტიკლობა/ხმარება, სადაც გაერთიანდება ე. წ. ნულოვანი არტიკლისა და „არტიკლის გამოტოვების“ შემთხვევები.

არტიკლის საშუალებით არსებით სახელს ენიჭება სხვადასხვა მიმართებების გადმოცემის უნარი. განსაზღვრულობა/განუსაზღვრელობის კატეგორიის არტიკლით ხორციელდება და სწორედ ამ კატეგორიის გამოხატვაში მდგომარეობს არტიკლის ძირითადი მნიშვნელობა. არტიკლის ძირითად ფუნქციას ნო-



მინალიზაცია წარმოადგენს. არტიკლს შესწევს უნარი არსებითი სახელის მცირებულების მიანჭოს ნებისმიერ მეტყველების ნაწილს, ცალკეულ შესიტყვებას, ამ მთელ წინადაღებასაც კი, მაგალითად

Better to be a "has been" than a "never-waser".

მართალია, არტიკლს ლექსიკური მნიშვნელობა არ გააჩნია, მისი სემანტიკური დატვირთულობა უდაოა, რადგან მოლპარაკე არსებითი სახელის მიმართებას კონკრეტული სიტუაციისადმი ახდენს მხოლოდ არტიკლის მეშვეობით. არტიკლი აზუსტებს არსებითი სახელით გაღმოცემული შინარსის სხვადასხვანიუანსს და აზრის ვარირების მეტ საშუალებას გვაძლევს. ამა თუ იმ არტიკლის შერჩევა ყოველთვის გაპირობებულია საკომუნიკაციო გამიზნულობით, გარეული ინფორმაციის გადაცემის საჭიროებით.

როგორც ცნობილია, ცალკეული წინადაღების სინტაქსის შესწავლა კონტექსტისა და რეალური სიტუაციისაგან მოწყვეტით, საკომუნიკაციო დანიშნულების გაუთვალისწინებლად, უაზრობაა. როგორც ეს "Syntax and Semantics" კრებულის [3] წინასიტყვაობაშია აღნიშნული, კომუნიკაციური ფუნქციის გათვალისწინების გარეშე შეუძლებელია ენის სტრუქტურის სრულყოფილად შესწავლა, აღწერა, გავება, ან ახსნა. ასევეა არტიკლის შემთხვევაშიც. მისი ხმარების სრულყოფილად გავება, აღწერა, ან ახსნა შეიძლება მხოლოდ დისკურსისა და ტექსტის ფარგლებში, რამდენადაც სწორედ ტექსტში (ენობრივ კონტექსტში და რეალურ სიტუაციაში (ე. წ. სიტუაციურ კონტექსტში) ხდება გასაგები, თუ როგორ და რატომ შემოჰყავს განუსაზღვრელ არტიკლს რაღაც ახალი, უცნობი, განსაზღვრულ არტიკლს კი შემოჰყავს მსმენელისათვის ნაცნობი რამ, ის, რაც ნაცნობია ადრეული რეფერენციის წყალობით. მხოლოდ ტექსტის ფარგლებში ხდება ნათელი არტიკლის ანაფორული და კატაფორული ხმარება, სახელდობრ ის, რომ განსაზღვრული არტიკლი მსმენელის ყურადღებას მიმართავს პრე-ინფორმაციისაკენ, ე. ი. ნაცნობი ინფორმაციისაკენ, ხოლო განუსაზღვრელი არტიკლი — პისტ-ინფორმაციისაკენ, ე. ი. ახალი ინფორმაციისაკენ.

ავტონომიურ სინტაქსში დაყრდნობით დამკიდრებულია აზრი, რომ აღწერილობითი განსაზღვრება განაპირობებს არსებითი სახელის ხმარებას განუსაზღვრელი არტიკლით, ხოლო შემზღვდველი განსაზღვრება განაპირობებს არსებითი სახელის ხმარებას განსაზღვრული არტიკლთ. დისკურსისა და ტექსტის ღონებზე კი ეს კრიტერიუმი სავსებით იღვვევა. რეკვესა, რომ განსაზღვრების ტიპი არ წარმოადგენს არტიკლის შერჩევის რელევანტურ კრიტერიუმს. ხშირია შემთხვევები შემზღვდველი ტრიბუტის დროს განუსაზღვრელი არტიკლის ხმარებისა და პირუკუ:

A girl who makes me weak in the knees has just come into the room.

He had turned off the light and her face shone in the fierce red glow of the fire as if she lay in the full sun.

განსხვავებული პრესუპოზიცია და ინფორმაციული დატვირთულობა გაპირობებულია არტიკლის ხმარებით.

არტიკლის შერჩევისას დიდი მნიშვნელობა აქვს აბსტრაქციის ხარისხი. ერთი და იგივე არსებითი სახელი შეიძლება ვიზმაროთ როგორც განსაზღვრული ან განუსაზღვრელი არტიკლით, ასევე უარტივილოდ. აბსტრაქციის მაღალ ხარისხი განაპირობებს არსებითი სახელის უარტივილოდ ხმარებას. ამ წესს ექვემდებარება ყველა არსებითი სახელი. ასეთი აბსტრაქციისას თვლადი კონ-

ქრეტული არსებითი სახელებიც კი გადაინაცვლებენ ხოლმე უთვლად სახელთ რიგში:

Letter was the one means of communication he had.

გარევეული შეზღუდვები, რომლებიც არსებით სახელს ედება, განაპირობებენ არსებითი სახელის ამა თუ იმ არტიკლით ხმარებას. განუსაზღვრული არტიკლით ხდება შემდეგ მნიშვნელობათა ჩეალიზაცია: საგანთა კლასის ერთ-ერთი, ნებისმიერი, წარმომადგენელი; რომელიც; საგნის რაღაც ასპექტი (მხარე).

შემდგომი, კიდევ მეტი, შეზღუდვა (კონკრეტიზაცია) იწვევს განსაზღვრული არტიკლის ხმარებას. ეს უკანასკნელი შემდგომ მნიშვნელობათა ჩეალიზაციას ახდენს: სახელდობრები (საგანი); სწორედ ამ ტიპის (რამ). განსაზღვრული არტიკლი ხახს უსვამს იმ ფაქტს, რომ წარმომადგენილი არსებითი სახელი ერთადერთია მოცემულ სიტუაციაში. მოყვანილი დებულება კარგად ჩანს შემდეგ მაგალითში:

Fear is inherent in everybody, especially in women. Julie's feeling is a fear that is different from the fear of soldiers during the war.

კონკრეტიზაცია ხორციელდება ენობრივად ან სიტუაციურად. სიტუაციური რეფერენციისას კონკრეტიზაცია მიიღწევა მოლაპარაკისა და მსმენელის კულტურული და ყოფითი პირობითობების საფუძველზე:

John came home from work. First he read the paper for a while, then he got up from the chair and turned on the radio, then he went out into the garden and began watering the flowers.

ამ მაგალითში განსაზღვრული არტიკლის ხმარება სიტუაციითა გაპირობებული. ყველა ხაზგასმული არსებითი სახელი უნიკალურია მოცემულ სიტუაციაში.

საგულისხმოა, რომ სიტუაციურია ისეთი არსებითი სახელების უნიკალურობაც, როგორიცაა the sun, the moon, the sky, the earth და მისთ. მაგრამ ეს უნიკალურობა უფრო ფართო, უნივერსალური მასშტაბისაა. ამგვარად, განსაზღვრულ არტიკლს შემოჰყავს უნიკალური არსებითი სახელები, რომლებიც საყოველთაოა ან მოცემული კოლექტივისათვის, ან მთელი კაცობრიობისათვის.

თბილისის სახელმწიფო უნივერსიტეტი

(შემოვიდა 25.3.1983)

ЯЗЫКОЗНАНИЕ

Л. С. ГОКСАДЗЕ, М. А. ГИГИНЕЙШВИЛИ

К ВОПРОСУ ОБ АРТИКЛЕ В СОВРЕМЕННОМ АНГЛИЙСКОМ ЯЗЫКЕ

Резюме

Вместо укоренившихся терминов «нулевой артикль» и «опущение артиклия» следует применять термин «отсутствие артиклия», так как, с точки зрения коммуникативной грамматики, нарушение стилистических норм чаще вызывает неправильную передачу информации и, следовательно, неправильное поведение слушателя, чем нарушение грамматических норм.

На уровне автономного синтаксиса наличие описательного или лимитирующего определения является релевантным критерием для выбора определенного или неопределенного артикла. На уровне текста вид определения оказывается нерелевантным в выборе артикла.

Выбор артикля обусловливается степенью абстракции. Высокая степень абстракции приводит к употреблению имен без артикля. Все имена существительные (исчисляемые и неисчисляемые) подчиняются этому правилу. Определенные конкретизирующие ограничения, накладываемые на существительное, обуславливают применение неопределенного или определенного артикля.

LINGUISTICS

L. S. GOKSADZE, M. A. GIGINEISHVILI

SOME POINTS OF ARTICLE USAGE IN PRESENT-DAY ENGLISH

Summary

The paper is an attempt to prove that

1. The terms "zero article" and "omission of the article" should be united under the term "absence of article", as from the communicative point of view the stylistic usage is of no less importance than the purely grammatical one.
 2. From the point of view of text linguistics the presence of descriptive or limiting attributes is irrelevant to the choice of article.
 3. The choice of article is determined by the degree of abstraction. A noun in its abstract, general sense is used with no article. All kinds of nouns (count or mass) seem to obey this rule. Certain limitations imposed on the noun condition the use of the indefinite or the definite article.

ଲୋକାନ୍ତରିଷ୍ଣବାଦୀ — ЛИТЕРАТУРА — REFERENCES

1. И. П. Иванова, В. В. Бурлакова, Г. Г. Почепцов. Теоретическая грамматика современного английского языка. М., 1981, 30.
 2. M. Y. Blokh. A Course in Theoretical English Grammar. М., 1983, 85.
 3. Syntax and Semantics. Volume 12. New York, 1979, 15.



6. ჩიგალაზვილი

რეული მიტონიმური ნომინატივის სემასიოლიგიური კლასები

(წარმოადგინა აკადემიკოსმა შ. ძიძიგურმა 12.4.1983)

მეტონიმური ხასიათის შედგენილი სიტყვები უფრო ნათლად ასახვენ საზოგადოების შემადგენლობისა და განვითარების ყველა საფეხურს, მის შემოქმედებით გარდასახვებს.

ახალი მნიშვნელობის შექმნისას აუცილებელია დადგინდეს ობიექტური რეალობის აღმნიშვნელ საგანსა და მეტაფორულ (მსგავსი) ან მეტონიმურ (მომიჯნავე) საგანს შორის არსებული კავშირის ხასიათი. ასეთ ურთიერთობებში შეინიშნება ასოციაციური კავშირების რამდენიმე სახე ფორმის, ფერის, დანიშნულების, მასალის მიხედვით და ა. შ.

შედგენილ სიტყვებში ერთი კომპონენტის მნიშვნელობა იცვლება მეორე კომპონენტის მნიშვნელობის გავლენით სინტაგმატიკურ ჭრილში.

ჩვენი მიზანია შედგენილი მეტონიმური ნომინატების სტრუქტურულ-სემანტიკური პარამეტრების გამოკვლევა. იგი შეეხება მსაზღვრელ-საზღვრულის სემანტიკურ ურთიერთობას, თუ როგორ იცვლება მსაზღვრელ-საზღვრულის სტრუქტურაში მსაზღვრელი და რა მეტონიმურ ურთიერთობას ამყარებს მეორე კომპონენტან. ამდენად შეიძლება გამოვყოთ გაუფებად მსაზღვრელ-საზღვრულის შემდეგი ურთიერთობები: იცვლება მსაზღვრელი, საზღვრული უცვლელი რჩება; მსაზღვრელი რჩება უცვლელი, ხოლო საზღვრული კი იცვლება, ორივე იცვლება ანდა არც ერთი არ იცვლება.

განსაკუთრებული მნიშვნელობის მქონე სემებზე დაყრდნობით, რომელიც ახალი მეტონიმური ნომინატების წარმოქმნაში წამყვან როლს თამაშობენ, ჩვენ შევძლით გამოგვეყო რთული მეტონიმური ნომინატების რამდენიმე სემასიოლოგიური კლასი:

- I — დანიშნულების ნიშანი;
- II — მოქმედების ნიშანი;
- III — მასალის აღმნიშვნელი ნიშანი;
- IV — ზომის აღმნიშვნელი ნიშანი;
- V — რაოდენობის აღმნიშვნელი ნიშანი;
- VI — აღვილმდებარეობის ნიშანი.

ქვემოთ მოვიყვანთ რამდენიმე ნიშანს რთული მეტონიმური ნომინატების სემანტიკური სტრუქტურის ნათელსაყოფად.

საილუსტრაციოდ ავილოთ მასალის აღმნიშვნელი ნიშნის მიხედვით წარმოქმნილი რთული მეტონიმური ნომინატი:

lemon-squash—a soft drink of lemon juice and soda water

(ლიმონის წვენი სოლით).

მეტონიმური ნომინატის საზღვრული სიტყვა „squash“ არ კარგავს თავის პირვენდელ მნიშვნელობას და ისევ „წვენის“ მნიშვნელობით გვევლინება, ხოლო მსაზღვრელი სიტყვის „lemon“ სემანტიკურ სტრუქტურაში პოტენციუ-
42. „მოამზე“, ტ. 111, № 3, 1983



რი სემებიდან გამოიყოფა და წამყვანი ხდება გადატანის ნიშანი — მასალა. ეს აღნიშვნას იმ წევნს, რომელიც მიღებულია ხილიდან. მივიღეთ — ლიმონის წვენი, როგორც სასმელი, რომელსაც ურევენ სოდას. ახალმა მნიშვნელობამ ნათლად დაგვანახა ამ ორ კომპონენტს შორის არსებული სემანტიკური ურთიერთობა. მასზღვრელი სემანტიკურად ძლიერი წევრია და პარტნიორის შერჩევაში აქტიურ როლს თამაშობს, იქრთებს ისეთ წევრს, რომელიც მისი ერთ-ერთი პოტენციური სემის გამოვლენას წარმოადგენს.

e. g. Mouth-friend—talk, esp. loud, empty, or boastful or an inclination to such talk;

(ცრუ მეგობარი)

პირველი კომპონენტის ანუ მსაზღვრელი სიტყვის „mouth“ სემანტიკურ სტრუქტურაში შემავალი პოტენციური სემებიდან გამოიყოფა და წამყვანად იქცევა — მეტყველების უნარი, დამატებით სემად მთლიან შესიტყვებაში ინდუცირდება ახალი სემა — „ლაყბობა, უაზრო ლაპარაკი“, რის შედეგადაც სიტყვა „mouth“ ამ შესიტყვებაში წარმოდგენილა მისი საგნობრივ-ლოგიკური მნიშვნელობით კი არა, არამედ ზემოთ დასახელებული სემების გადანაწილების შედეგად, როგორც ლაყბობა. სწორედ ამ მნიშვნელობის საფუძველზე „ლაყბობა“ იძენს მთლიან შესიტყვებაში მნიშვნელობას — ცრუმეგობარი, ან მეგობარი, რომელიც მხოლოდ ლიტონი სიტყვებით გამოხატავს თავის დამოკიდებულებას მეგობრისადმი. ამავე დროს მეორე კომპონენტი ინარჩუნებს თავის საგნობრივ-ლოგიკურ მნიშვნელობას და მსაზღვრელის ზეგავლენით ახალ იმპლიკაციას იძენს, ამ მაგალითში მეტონიმური ურთიერთობა დანიშნულების სემის მიხედვით ხდება.

“Mouth-friend” სიტყვის სემანტიკური სტრუქტურის წარმოქმნის პროცესი გრაფიკულად შეიძლება წარმოვიდგინოთ შემდეგნაირად:

mouth

↓ talk, esp. boastful, empty

↓ false, mere word

↓ mouth-friend.

არის შემთხვევები, როდესაც რთული მეტონიმური ნომინატის ორივე კომპონენტი უცვლელი რჩება.

შედგენილ სიტყვაში: grape-cure—a method or course of remedial treatment by grape

(ყურძნის მკურნალობა)

მეტონიმური გადატანა მოქმედების ნიშნის საფუძველზე ხდება. ერთი შეხედვით, თითქოსდა ორივე კომპონენტი ინარჩუნებს თავის პირვანდელ მნიშვნელობას, მაგრამ სინამდვილეში სიტყვა „grape“ იძენს დამატებით ფუნქციას და გვევლინება უკვე როგორც არა უბრალოდ ხილი, არამედ ხილი, რომლის საშუალებითაც წარმოებს მკურნალობა.

შედგენილ სიტყვაში “headwork”—mental labour, thought

(გონებრივი სამუშაო)

საზღვრული სიტყვა „work“ არ იცვლება, ხოლო მსაზღვრულ სიტყვაში „head“ ხდება სემათა გადანაწილება; ამ სიტყვის სემანტიკურ სტრუქტურაში პოტენციური სემა — ფუნქცია — გონებრივი მოქმედება, წამყვან სემად იქცევა, რის შედეგადაც მთლიანად ეს შესიტყვება იძენს მნიშვნელობას — გონებრივი სამუშაო.



ამის გასახელებთ ისეთ შედგენილ სიტყვებს, საღაც კომპონენტებს შორის და ურთიერთობაა:

handgrip	head-stand
hairdo	hairsplitting
haircut	

განვიხილოთ ზომის აღმნიშვნელი ნიშნის მიხედვით მიღებული მეტონი-მური ნომინატი:

handbreadth—a unit of linear measure from $2\frac{1}{2}$ to 4 inches

(ජ්‍යෙෂ්ඨ පිටපත)

ამ შესიტყვებაში საზღვრული უცლელია და მეტონიმური ძვრები მიმღინარეობს მსაზღვრელ სიტყვაში „hand“, აქტუალიზდება პოტენციური სემა ფართის ნიშანი ხელის მნიშვნელობაში და ვიღებთ ზომის ერთეულის მნიშვნელობას.

hairbreadth

(സ്ഥാപിതംസ്വഭാവം)

გავანალიზოთ ისეთი შედეგები სიტყვა, სადაც რთული მეტონიმური ნიშინაჲთ რაოთონობის ნიშინის საონდენობის მიღების:

ඇම මෙයිගි

handful—the quantity or amount that the hand can hold; a small amount or quantity.

(ନୀତି ମନ୍ତ୍ର)

Mouthful—as much as is taken into the mouth at one time; a small quantity.

(ପ୍ରକାଶ ମହିନା)

მსაზღვრელი სიტყვის „hand“ სემანტიკური შემადგენლობიდან გამოიყოფა და ინდუცირდება პირთვში პოტენციური სემა — ხელის სიღილე, მისი ქომა. მსაზღვრელი სიტყვა განსაზღვრავს რაოდენობას, რაც საფუძვლად იდენტური მითონირობის გადასაწყისა.

როგორც დასაწყისში აღვნიშნეთ, მნიშვნელობათა მეტონიმური გადატანა ჩთულ მეტონიმურ ნომინატებში ხდება კიდევ ერთი ნიშნის, კერძოდ, ადგილ-მდგბარეობის ნიშნის მიხედვით.

საილეტსტრაკიოლ ავილოთ შესიტყვება:

foot-note—an explanatory comment at the bottom of a page, keyed to a specific part of the text on the page

(სემლიონ)

საზღვრული სიტყვა „note“ ექცევა მსაზღვრელი სიტყვის „foot“ ერთ-ერთი მნიშვნელობის გავლენის ქვეშ, კერძოდ, მსაზღვრელი სიტყვის სეპტრი შემადგენლობიდან გამოიყოფა პოტენციური სემა — ქვემოთა ნაწილი, ფერის ქვედა (ნაწილი) — მისი ადგილმდებარეობა — ინდუკტიდება სიტყვის მნიშვნელობის ბირთვში და ხდება წამყვანი ღიფერენციალური შედეგენილი სიტყვის მსაზღვრელ კომპონენტში და განსაზღვრავს მეორე კომპონენტსაც, რის შედეგადც ვლებულობთ შესიტყვებას „foot-note“ ადგილსამყოფელის ორინიშვნილო მიმოხინობრივ ნიშნის მიხევთვა.

ამგვარად, სტატიაში ჩვენ წარმოვადგინეთ რთული მეტონიმური ნომინაციების ექვსი სემასიოლოგიური კლასი, რომლებიც ურთიერთისაგან განსხვავდება ძირითადი წამყვანი სემბის (არჩისემბის) სათვალზე. რომელიც მას- ც არ გვიხდება.

ლის ანალიზით დასტურდება, მსაზღვრელი სემანტიკურ პლანში ას ძლიერი კომპონენტია რთულ სიტყვაში, რომელიც თავისი სემური მონაცემებით იჩჩევ პარტნიორს.

თბილისის სახელმწიფო უნივერსიტეტი

(შემოვიდა 14.4.1983)

ЯЗЫКОЗНАНИЕ

Н. Н. ЧИБАЛАШВИЛИ

СЕМАСИОЛОГИЧЕСКИЕ КЛАССЫ СЛОЖНЫХ МЕТОНИМИЧЕСКИХ НОМИНАТОВ

Резюме

В статье анализируется образование метонимических номинатов на уровне языка. Надо отметить, что воспроизведение метонимических номинатов активный процесс и тем самым обогащает лексический состав языка. В языковых номинатах метонимические переносы образуются по системным данным, на основе разных признаков. Вполне допустимо, что, единицы, не являющиеся метонимическими номинатами на уровне языка, стали ими на уровне речи.

LINGUISTICS

N. N. CHIBALASHVILI

SEMASIOLOGICAL CLASSES OF COMPLEX METONYMICAL NOMINATA

Summary

The formation of metonymical nominata on the language level is analysed. It is noted that reproduction of metonymical nominata is a very active process, enriching the vocabulary of a language. In such nominata metonymical transfers are formed on the basis of systems data, based on different features. It is also quite possible for some units not being metonymical nominata on the language level to have become such on the speech level.

111-ი ტომის აპტორთა საქითხები

- აბშიძე ლ. 359
 აღიშვილი თ. 64
 აგზაშვილი ი. 375
 აღესიძე გ. 107
 აღესიძე მ. 507
 აღესიძე ხ. 624
 ანრაზაშვილი მ. 417
 ანდრონიკშვილი თ. 528
 ანდლულაძე ი. 79
 ანთლავა ი. 437
 აზშიძე ქრ. 519
 აზვლაძე გ. 643
 არუთინოვი გ. 591
 ავლელიანი ხ. 556
- ბაირამაშვილი ი. 576
 ბაკურაძე ა. 568
 ბაკურაძე ა. 611
 ბალაგაძე მ. 624
 ბარაძე ქ. 640
 ბარამიძე ხ. 276
 ბარდაველიძე გ. 149
 ბარელაძე გ. 23
 ბაქრაძე შ. 52, 296
 ბაშალეიშვილი დ. 484
 ბაცყაძე თ. 351, 568
 ბახანაშვილი თ. 624
 ბახტაძე ე. 76, 559
 ბახტაძე რ. 109
 ბახტაძე ჭ. 579
 ბელოგლაზოვი ვ. 523
 ბერიოზინი ვ. 528
 ბერიძე ლ. 523
 ბერიძე ჭ. 551
 ბერძენიშვილი ი. 323
 ბერძენიშვილი ლ. 425
 ბირიუქოვა ე. 271
 ბიჩქოვა ლ. 495
 ბიწაძე ლ. 243
 ბრეგვაძე გ. 125
 ბუაჩიძე გ. 507
 ბუაჩიძე ჭ. 279
 ბულევიშვილი მ. 540
 ბულია ხ. 591
 ბურჟულაძე გ. 133
- გარსევანიშვილი გ. 292
 გელაშვილი ხ. 523
 გელაძე გ. 337
 გეგვაია გ. 604
 გერაძე გ. 316, 535
 გელესიანი ხ. 528
 გიგინეიშვილი გ. 653
 გირორაშვილი გ. 107
 გობეგიშვილი გ. 441
 გოგავა ვ. 271
 გოგაძე ხ. 624
 გოგოლაძე ლ. 258
 გოგონია ხ. 392
 გოგუა ხ. 351
 გოგუაძე ლ. 653
 გორგიძე ა. 115, 381
 გორგიძე დ. 479
 გორგიძე ე. 367
 გოცკე ო. 411
 გუმუნავა გ. 507
 გუმუნეშვილი გ. 385
 გურია ხ. 475
- დავარაშვილი ო. 495
 დათუეიშვილი ქ. 145
 დალაქიშვილი ც. 79
 დანიელაშვილი მ. 551
 დარბაძე ი. 500
 დევდარიანი ა. 407
 დევალეშვილი ა. 72
 დიღმამიშვილი ლ. 119
 დონტურიშვილი ხ. 523
 დუღურიანი რ. 467
 ლუმბაძე ხ. 618
- ეგორენკოვი ვ. 47
 ელია გ. 611
 ესაიაშვილი ჭ. 556
- ფაშავიძე დ. 52
 ფაშავიძე ი. 87
 ფახნიანი ხ. 247
 ფეხუა ლ. 304
 ფოშჩევი ვ. 523
- ჭარდიაშვილი თ. 381
 ჭირაქაძე ა. 619
- თავარტკილაძე ქ. 512
 თავაძე ფ. 91, 351, 568
 თევზაძე გ. 35
 თევზაძე ი. 500
 თოფურიძე ლ. 319
- იაკობძე ე. 87
 ინანიშვილი გ. 441
 ინასარიძე ხ. 31
 ინაშვილი ა. 292
 იორამაშვილი დ. 311
 ირემაძე ხ. 307
- ქაჯულია ვ. 304
 ქაჯულია ზ. 332
 ქალანდაძე გ. 576
 ქანდელაჟი გ. 115
 ქანდელაჟი ვ. 381
 ქაპანაძე ა. 59
 ქაშინი ა. 492
 ქაჭარავა გ. 279
 ქახელაძე ქ. 591
 ქეშელავა ბ. 347
 ქვანტალიანი ი. 364
 ქვირკველია ლ. 615
 ქვიტშვილი ა. 67
 კილასონია ო. 401
 კილასონია ჭ. 355
 კირიკვა ა. 307
 კილურაძე ი. 243
 კლარჯეიშვილი ხ. 515
 კლდიაშვილი რ. 72
 კობიაშვილი ლ. 615
 კობახიძე თ. 59
 კობახიძე მ. 551
 კოზაევა ხ. 379
 კონიკოვი ს. 495
 კოკიჩაშვილი გ. 647
 კუკულაძე გ. 52, 296
 კუპრავა შ. 72
- ლანდია გ. 515
 ლანჩავა მ. 351, 568
 ლალიძე რ. 72, 307
 ლალიძე ჭ. 72, 307
 ლეჭავა ი. 101, 421
 ლეჭავა ი. 421



ლიპარტელიანი გ. 429
ლოლოძე ზ. 107
ლოლოძე თ. 44, 268
ლოლოძე შ. 576
ლომაშვილი ა. 571
ლომინძე ქ. 47
ლომიძე გ. 576
ლურსმანშვილი გ. 307

მაზმიშვილი ს. 532
მათეიშვილი ო. 652
მაისაა ი. 115, 361
მაისურაძე ბ. 441
მამაცაშვილი გ. 124
მამრაძე პ. 47
მამურაძა ნ. 393
მანაგაძე გ. 64
მანჯავიძე ა. 271
მარქარიანი ს. 435
მაქსიმოვი გ. 492
მალეკელიძე ღ. 571
მაჭავარიანი ღ. 311
მაჭავარიანი, ჩ. 347
მადიანი ს. 125
მეგრელიშვილი გ. 19
მელქეძე ლ. 319
მელნიკოვა ლ. 332
მენაბდო ჩ. 571
მეტრუველი გ. 263, 487
მითაიშვილი ჩ. 411
მილნიკოვა ა. 107
მინაშვილი ც. 335
მინდინი გ. 532
მინჯევაჩი ი. 631
მიროტაძე შ. 568
მიქაელიძე გ. 101, 631
მიხაილოვა გ. 504
მოლოდინაშვილი ს. 625
მოროზოვი გ. 279
მოსიძე ი. 141
მუშევრიანი ზ. 571
მუგირი თ. 441
მძინარიშვილი თ. 299
მჭედლიშვილი ქ. 76, 559

ნაგორნაა ლ. 67
ნადარიანი ნ. 157
ნარსია ნ. 124
ნასყიდაშვილი პ. 605
ნახუცრიშვილი გ. 153

ოთხმეტერი ლ. 107
ომელიანოვსკი ე. 504

პაპავა გ. 523
პატარაა ა. 55
პეტრიაშვილი ჩ. 600
პეტლინი ვ. 283
პლეტრიოვი ვ. 279
პუგაჩი ვ. 292
ჟიფილი ქ. 365
ჟორჟოლაძე თ. 556
ჟორჟოლანი ღ. 652
ჟღერტი ი. 141

საგინური გ. 495
სალაყაა ა. 124
სალუქევაძე ნ. 83
სამარგაშვილი გ. 337
სამისონია გ. 72
სამისონიძე გ. 640
სარიშვილი ვ. 413
სემიონოვი ა. 279
სერგებრიაკოვი ვ. 79
სეფიაშვილი, ლ. 311
სვანიძე ც. 87
სიჭინავა შ. 635
სიხარულიძე ა. 130
სიხარულიძე ნ. 76, 559
სიხარულიძე შ. 556
სლეპჩენკო ლ. 500
სოლოვევი ი. 576
სულაბერიძე თ. 471

ტაბატაძე გ. 268
ტარასაშვილი ქ. 361
ტარიელაძე ვ. 247
ტატიშვილი თ. 347
ტურიაშვილი თ. 67
ტულუში ა. 165

ფეიქრიშვილი ა. 91
ფინჩენკო ა. 556
ფიოლოროვა ვ. 271
ფირცხალავა ნ. 316, 535
ფროლოვი ა. 559
ფურცელაძე ზ. 101
ფურცელაძე ხ. 220, 328
ფუტურიძე ზ. 252

ქამუშაძე თ. 504
ქარელი ე. 375
ქარუმიძე გ. 292
ქეგბაძე ა. 399

ქემერტელიძე ჭ. 507
ქირია გ. 507
ქობულაძე ბ. 125
ქოქრაშვილი გ. 55
ქოჩორაძე გ. 504
ქუთელია ე. 44, 91, 268,
276
ქურდიანი ნ. 276

ლურსუმელია ა. 287
ყაზახაშვილი ქ. 328
ყუფარაძე ლ. 587

შაიხაევი ა. 399
შენგელია გ. 635
შენგელია ი. 512
შერაძე გ. 547
შეყურშვილი ბ. 559
შეიურპელო ა. 67
შილო ს. 271
შოტოვი ა. 495

ჩიბალაშვილი ნ. 657
ჩივაძე გ. 519
ჩიქოვანი ზ. 492
ჩიქოვანი ჩ. 495
ჩიბინძე ვ. 97, 625
ჩიმაევი ც. 316, 335, 540
ჩხაიძე ლ. 369
ჩხეტიანი ი. 94
ჩხოლარია ნ. 393

ცაგარელი ე. 83
ცერცვაძე ლ. 332
ცინცაძე გ. 67
ცანცაძე ი. 564
ცირეკიძე თ. 287
ცირეკიძე ლ. 543
ცირეკიძე მ. 287
ციციშვილი გ. 528
ციციშვილი ვ. 79
ცომაა ნ. 596
ცხადაა ზ. 261
ცხადაა ბ. 137

ძიგვაშვილი ჩ. 299
შივწივაძე თ. 67
წიქარიძე ო. 101

- | | | |
|----------------------|------------------|--------------------|
| კანტურია ა. 355, 584 | ხარლამოვი ი. 351 | ჯაბიშვილი ნ. 515 |
| კეიშვილი თ. 323 | ხაჩიძე ო. 381 | ჯალაბაძე ნ. 44,268 |
| კელაძე თ. 507 | ხახელიძე გ. 519 | ჯანაშვილი ა. 591 |
| კეღაშვილი ლ. 109 | ხიტიშვილი გ. 319 | ჯანდიერი გ. 283 |
| კირაძე ა. 279 | ხოვერია შ. 604 | ჯაფარიძე ა. 328 |
| კოხონელიძე გ. 332 | ხუციშვილი გ. 287 | ჯვარშეიშვილი ა. 27 |
| ხარაზიშვილი ა. 39 | ჯაბუა შ. 556 | ჯობევა გ. 576 |
| | | ჯოლოვა ლ. 256 |

УКАЗАТЕЛЬ АВТОРОВ 111 ТОМА

- | | |
|----------------------|----------|
| Абашидзе Л. Я. | 357 |
| Адейшвили Т. Г. | 61 |
| Айвазашвили И. М. | 373 |
| Алексидзе Г. Н. | 105 |
| Алексидзе М. А. | 505 |
| Алексидзе Н. Г. | 621 |
| Андгуладзе И. Г. | 77 |
| Андразашвили М. Г. | |
| | 419 |
| Андроникашвили Т. Г. | |
| | 525 |
| Антелава И. П. | 440 |
| Арвеладзе М. А. | 641 |
| Арешидзе Х. И. | 517 |
| Арутюнов Г. К. | 589 |
| Ахвледиани Н. В. | 553 |
| Байрамашвили И. А. | |
| | 573 |
| Бакрадзе Ш. Р. | 49, 293 |
| Бакурадзе А. И. | 565 |
| Бакурадзе А. Н. | 609 |
| Балавадзе М. В. | 621 |
| Баргбадзе К. Н. | 637 |
| Барамидзе Н. В. | 273 |
| Бардавелидзе Б. К. | 151 |
| Бареладзе Г. П. | 21 |
| Бахлашвили Т. А. | 621 |
| Бахтадзе Д. А. | 577 |
| Бахтадзе Р. Д. | 112 |
| Бахтадзе Э. И. | 73, 557 |
| Бацикадзе Т. А. | 349, |
| | 565 |
| Башалейшвили Д. И. | |
| | 481 |
| Белоглазов В. А. | 521 |
| Бердзенишвили И. Г. | |
| | 321 |
| Бердзенишвили Л. Н. | |
| | 427 |
| Березкин В. Г. | 525 |
| Беридзе Л. А. | 521 |
| Беродзе З. И. | 549 |
| Бирюкова Е. А. | 269 |
| Бицадзе Д. Г. | 241 |
| Брегвадзе Г. Л. | 128 |
| Буачидзе Г. И. | 505 |
| Буачидзе З. Э. | 277 |
| Булейшвили М. И. | 537 |
| Булия Н. П. | 589 |
| Бурчуладзе Г. Т. | 135 |
| Бычкова Л. П. | 493 |
| Вахания Н. Н. | 245 |
| Вашакидзе Д. З. | 49 |
| Вашакидзе И. Г. | 85 |
| Векуа Л. В. | 301 |
| Воищев В. С. | 521 |
| Габисиани А. Г. | 569 |
| Гавриленко В. Г. | 281 |
| Гарсеванишвили Г. Н. | |
| | 289 |
| Гвелесиани З. А. | 525 |
| Геладзе Г. Л. | 540 |
| Гелашвили Н. С. | 521 |
| Гергая М. С. | 601 |
| Гещадзе Г. Я. | 313, 533 |
| Гигинейшвили М. А. | |
| | 655 |
| Гикорашвили Г. С. | 105 |
| Гобеджишвили Г. Г. | |
| | 443 |
| Гогава В. В. | 269 |
| Гогвадзе Н. О. | 621 |
| Гоголадзе Л. Д. | 257 |
| Гогохия Н. Л. | 389 |
| Гогуа Н. А. | 349 |
| Гоксадзе Л. С. | 655 |
| Горгидзе А. Д. | 113, |
| | 384 |
| Горгидзе А. Д. | 477 |
| Горгидзе Л. А. | 367 |
| Гоцадзе О. Б. | 409 |
| Гугунава Г. Е. | 505 |
| Гугушвили Г. К. | 386 |
| Гуния Н. Г. | 473 |
| Гурчумелия А. Д. | 285 |
| Даварашивили О. И. | |
| | 493 |
| Далакишвили Ц. М. | 77 |
| Даниелашивили М. А. | |
| | 553 |
| Дарбандзе Я. З. | 497 |
| Датукашвили К. Т. | 148 |
| Двалишвили А. И. | 69 |
| Девдарiani А. D. | 405 |
| Джабишивили Н. А. | 513 |
| Джабуа Ш. А. | 553 |
| Джалабадзе Н. В. | |
| | 41, |
| | 265 |
| Джанашвили А. И. | 589 |
| Джандиери Г. В. | 281 |
| Джапаридзе И. Н. | 325 |
| Джваршевишили И. А. | |
| | 25 |
| Джгаркава Д. Т. | 253 |
| Джобава Дж. И. | 573 |
| Дзингвашвили Р. М. | 297 |
| Дидмамишвили Л. П. | |
| | 117 |
| Дохтуришвили Н. С. | |
| | 521 |
| Дудучава Р. В. | 465 |
| Думбадзе Н. В. | 613 |
| Егоренков В. Д. | 45 |
| Жгенти И. Г. | 143 |
| Жижилашвили К. М. | |
| | 367 |
| Жоржоладзе Т. П. | 553 |
| Жоржолиани Д. А. | 649 |
| Зардиашвили Т. Г. | 384 |
| Зирақадзе А. Н. | 617 |



- Инанишвили Г. В. 443
 Инасадидзе Х. Н. 29
 Инашвили А. В. 289
 Иорамашвили Д. Ш.
 309
 Иремадзе Н. К. 305
 Казахашвили Ж. Р. 325
 Какулия В. К. 301
 Какулия З. Г. 329
 Каландадзе Г. И. 573
 Камушадзе Т. Д. 501
 Канделаки В. И. 384
 Канделаки Г. В. 113
 Капанадзе А. А. 57
 Караджашвили Э. А. 373
 Караджашвили Г. С. 289
 Кахеладзе К. Г. 589
 Качарава Г. П. 277
 Кашин А. П. 489
 Кванталиани И. В. 341
 Квирквелия Л. Р. 613
 Квиташвили А. И. 65
 Кебадзе А. Н. 397
 Кемертелидзе Э. П. 77
 Кешелава Б. Ф. 345
 Кигурадзе И. П. 241
 Киласония Д. Н. 353
 Киласония О. Ш. 401
 Кирия Д. К. 505
 Кирякова А. В. 305
 Кларджейшвили Н. А.
 513
 Клдиашвили Р. Ш. 69
 Кобахидзе М. О. 549
 Кобахидзе Т. Б. 57
 Кобиашвили Л. Н. 613
 Кобулия Б. Г. 128
 Козаева Н. В. 377
 Кокичашвили М. С.
 645
 Кокрашвили Г. З. 53
 Конников С. Г. 493
 Кочорадзе Г. И. 501
 Кукуладзе Г. В. 49, 293
 Купарадзе Л. П. 589
 Куправа Ш. Д. 69
 Курдиани Н. И. 273
 Кутелия Э. Р. 41, 89,
 265, 273
 Лагидзе Д. Р. 69, 305
 Лагидзе Р. М. 69, 305
 Ландия М. В. 513
 Ланчава М. Д. 349, 565
 Лежава И. И. 424
 Лежава И. Л. 104
 Липартелиани Г. Н. 432
 Лоладзе З. П. 105
 Лоладзе Т. Н. 41, 265
 Лоладзе Ш. А. 573
 Ломашвили А. Н. 569
 Ломидзе Г. П. 573
 Ломинадзе Д. Г. 45
 Лурсманашвили М. О.
 305
 Маглакелидзе Д. Л. 569
 Мазмишвили С. М. 529
 Маисая И. И. 113, 636
 Майсурадзе Г. Г. 443
 Максимов М. З. 489
 Мамацашвили М. Д.
 121
 Мампория Н. М. 396
 Мамрадзе П. Г. 45
 Манагадзе Г. Г. 61
 Манджавидзе А. Г. 269
 Маркарян С. А. 433
 Матешвили О. М. 649
 Мачавариани Д. Н. 309
 Мачавариани Р. Н. 345
 Мдзинашвили Т. Г.
 297
 Мдивани С. Д. 128
 Мегрелишвили М. Г. 17
 Меликадзе Л. Д. 317
 Мельникова Л. Г. 329
 Менабде Р. А. 569
 Метревелі Д. Г. 261,
 485
 Микаберидзе М. С. 104,
 629
 Минашвили Ц. Д. 333
 Миндин В. Ю. 529
 Минкевич И. И. 629
 Миротадзе Ш. А. 565
 Миташвили Р. А. 409
 Михайлов Г. Б. 501
 Молодинашвили С. З.
 627
 Морозов В. Н. 277
 Мосидзе Ю. Л. 143
 Муджири Т. П. 443
 Мушкудиани З. А. 569
 Мчедлишвили К. М.
 73, 557
 Мыльников А. А. 105
 Нагорная Л. К. 65
 Надарая Н. К. 160
 Нарсия Н. Н. 121
 Наскидашвили П. П.
 606
 Нахуцришвили М. Г.
 155
 Омельяновский Э. Г. 501
 Отхмеладзе Л. Т. 112
 Папава Г. Ш. 521
 Патарая А. Д. 53
 Пейкришвили А. Б. 89
 Петриашвили Р. А. 597
 Пикулин В. Д. 281
 Пирцхалава Н. И. 313,
 533
 Плетнев В. А. 277
 Пугач В. Д. 289
 Пурцеладзе З. С. 104
 Пурцеладзе Х. Н. 325
 Путуридзе З. Ш. 249
 Сагинури М. И. 493
 Салакая А. Н. 121
 Салуквадзе Н. Ш. 81
 Самарджишвили Г. С.
 340
 Самсонидзе Г. Г. 637
 Самсония Г. Г. 69
 Саришвили Э. Р. 415
 Сванидзе Ц. И. 85
 Семенов А. С. 277
 Сепиашвили Л. М. 309
 Серебряков В. Ш. 77
 Сихарулидзе А. К. 129
 Сихарулидзе Н. Г. 73,
 557
 Сихарулидзе Ш. Р.
 553
 Сичинава Ш. Г. 633
 Слепченко Л. А. 497
 Соловьев Ю. И. 573
 Сулаберидзе Т. Г. 469
 Табатадзе Г. С. 265
 Тавадзе Ф. Н. 89, 349,
 565
 Тавартиладзе К. А. 509
 Тарасашвили К. М. 363
 Тариеладзе В. И. 245
 Татишвили Т. И. 345
 Тевзадзе Г. Н. 33
 Тевзадзе Ю. В. 497
 Топуридзе Л. Ф. 317
 Тугуши А. Г. 166
 Туриашвили Г. Н. 65
 Федоров В. М. 269
 Финченко И. П. 553



Фролов А. В. 557
Харазишвили А. Б. 37
Харламов Ю. И. 349
Хахнелидзе В. В. 517
Хачидзе О. Т. 384
Хитири Г. Ш. 317
Хоперия Ш. Л. 601
Хуцишвили О. Г. 285

Цагарели Е. А. 81
Церцвадзе Л. А. 329
Цивцвадзе Т. И. 65
Цикаридзе О. Н. 104
Цинцадзе Г. В. 65
Цинцадзе Ю. Д. 561
Цирекидзе Л. Р. 541
Цирекидзе М. А. 285

Цирекидзе Т. А. 285
Цицишвили В. Г. 77
Цицишвили Г. В. 525
Цомая Н. В. 593
Цхарадзе Б.-А. 140
Цхадая З. Д. 163

Чантuria A. G. 353, 581
Чешишвили Т. Ш. 321
Челидзе Т. Л. 505
Чибалиашвили Н. Н. 660
Чивадзе Г. О. 517
Чиковани З. Е. 489
Чиковани Р. И. 493
Чилашвили Л. Г. 112
Чиракадзе А. А. 277
Чохонелидзе Г. И. 329
Чубинидзе В. В. 99, 627
Чумак В. Л. 313, 533,
537

Шайхаев А. Я. 397
Шеклашвили Б. И. 557
Шенгелия Г. Ю. 633
Шенгелия И. А. 509
Шерадзе Г. В. 545
Шило С. И. 269
Шкурпело А. И. 65
Шотов А. П. 493

Элиава Г. Г. 609
Эсанишвили Д. В. 553

Якобидзе Е. Б. 85

AUTHOR INDEX TO VOLUME 111

Abashidze L. I. 360
Adeishvili T. G. 64
Aivazashvili I. M. 375
Akhvlediani N. V. 556
Aleksidze G. N. 108
Aleksidze M. A. 508
Aleksidze N. G. 624
Andguladze I. G. 80
Andrazashvili M. G. 419
Andronikashvili T. G.
528
Antelava I. P. 440
Arashidze Ch. I. 519
Arutyunov G. K. 592
Arveladze M. A. 643

Bairamashvili I. A. 576
Bakhanashvili T. A. 624
Bakhtadze E. I. 76, 560
Bakhtadze J. A. 579
Bakhtadze R. D. 112
Bakradze Sh. R. 52, 296
Bakuradze A. I. 568
Bakuradze A. N. 612
Balavadze M. V. 624
Barabadze K. N. 640
Baramidze N. V. 276
Bardavelidze B. K. 152
Bareladze G. P. 23
Bashaleishvili D. I. 484
Batsikadze T. A. 352,
568

Beloglazov V. A. 524
Berdzenishvili I. G. 323
Berdzenishvili L. N. 427
Berezkin V. G. 528
Beridze L. A. 524
Berodze Z. I. 552
Biryukova E. A. 271
Bitsadze D. G. 244
Bregvadze G. L. 128
Buachidze G. I. 508
Buachidze Z. E. 280
Buleisvili M. I. 540
Bulia N. P. 592
Burchuladze G. T. 136
Bychkova L. P. 496

Chanturia A. G. 356, 584
Cheishvili T. Sh. 323
Chelidze T. L. 508
Chibalachvili N. N. 660
Chikovani R. I. 496
Chikovani Z. E. 492
Chilashvili L. G. 112
Chirakadze A. A. 280
Chivadze G. O. 519
Chkhaidze L. K. 371
Chkhetiani I. D. 95
Chkheloria N. D. 396
Chokhonelidze G. I. 332
Chubinidze V. V. 99, 627
Chumak V. L. 316, 532,
540

Dalakishvili Ts. M. 80
Danielashvili M. A. 556
Darbaidze Ya. Z. 500
Datukishvili K. T. 148
Davarashvili O. I. 496
Devdariani A. D. 407
Didmamishvili L. P. 120
Dokhturishvili N. S. 524
Duduchava R. V. 467
Dumbadze N. V. 616
Dvalishvili A. I. 71
Dzgvashvili R. M. 300

Egorenkov V. D. 47
Eliava G. G. 612
Esaiaashvili D. V. 556

Fedorov V. M. 271
Finchenko I. P. 556
Frolov A. V. 560

Gabisiani A. G. 571
Garsevanishvili G. N. 292
Gavrilenko V. G. 283
Geladze G. L. 340
Gelashvili N. S. 524
Gergaia M. S. 604
Getsadze G. I. 316, 536
Gigineishvili M. A. 656



- Gikorashvili G. S. 108
 Gobejishvili G. G. 443
 Gogava V. V. 271
 Gogokhia N. L. 392
 Gogoladze L. D. 259
 Gogua N. A. 352
 Gogvadze N. O. 624
 Goksadze L. S. 656
 Gorgidze A. D. 115, 384
 Gorgidze D. A. 480
 Gorgidze L. A. 367
 Gotsadze O. B. 412
 Gugunava G. E. 508
 Gugushvili G. K. 387
 Gunia N. G. 475
 Gyelesiani Z. A. 528
 Gurchumelya A. D. 288
- Iakobidze E. B. 88
 Inanishvili G. V. 443
 Inasaridze H. N. 31
 Inashvili A. V. 292
 Ioramashvili D. Sh. 311
 Iremadze N. K. 308
- Jabishvili N. A. 515
 Jabua Sh. A. 556
 Jalabadze N. V. 44, 268
 Janashvili A. I. 592
 Jandieri G. V. 283
 Japaridze I. N. 328
 Jgarkava D. T. 256
 Jobava D. Sh. 576
 Jyarsheishvili I. A. 27
- Kacharava G. P. 280
 Kakheladze K. G. 592
 Kakulia V. K. 304
 Kakulia Z. G. 332
 Kalandadze G. I. 576
 Kamushadze T. D. 504
 Kandelaki G. V. 115
 Kandelaki V. I. 379
 Kapanadze A. A. 59
 Kareli E. A. 375
 Karumidze G. S. 292
 Kashin A. P. 492
 Kazakhshvili Zh. R. 328
 Kebadze A. N. 399
 Kemertelidze E. P. 80
 Keshelava B. F. 348
 Khachidze O. T. 384
 Khakhnelidze V. V. 519
 Kharazishvili A. B. 40
 Kharlamov Yu. I. 352
- Khitiri G. Sh. 320
 Khutsishvili O. G. 288
 Khoperia Sh. L. 604
 Kiguradze I. T. 244
 Kilasonia D. N. 356
 Kilasonia O. Sh. 404
 Kiria D. K. 508
 Kiryakova A. V. 308
 Klarjeishvili N. A. 515
 Kldiashvili R. Sh. 71
 Kobakhidze M. O. 552
 Kobakhidze T. B. 59
 Kobiashvili L. N. 616
 Kobulia B. G. 128
 Kochoradze G. I. 504
 Kokichashvili M. S. 648
 Kokrashvili G. Z. 56
 Konnikov S. G. 496
 Kozaeva N. V. 379
 Kukuladze G. B. 52, 296
 Kurdiani N. I. 276
 Kuparadze L. P. 487
 Kuprava Sh. D. 71
 Kutelia E. R. 44, 91,
 268, 276
 Kvartaliani I. V. 344
 Kvirkvelia L. P. 616
 Kvritashvili A. I. 68
- Lagidze D. R. 71, 308
 Lagidze R. M. 71, 308
 Lanchava M. D. 352, 568
 Landia M. A. 515
 Lezhava I. I. 424
 Lezhava I. L. 104
 Liparteliani G. N. 432
 Loladze Sh. A. 576
 Loladze T. N. 44, 268
 Loladze Z. P. 108
 Lomashvili A. N. 571
 Lomidze G. P. 576
 Lominadze J. G. 47
 Lursmanashvili M. O.
 308
- Machavariani D. N. 311
 Machavariani R. N. 348
 Maglakelidze D. I. 571
 Maisaia I. I. 115, 363
 Maisuradze V. G. 443
 Maksimov M. Z. 492
 Mamatsashvili M. D. 124
 Mamporia N. M. 396
 Mamradze P. G. 47
 Managadze G. G. 64
 Manjavidze A. G. 271
 Markaryan S. A. 435
- Mateshvili O. M. 652000
 Mazmishvili S. M. 532
 Mchedlishvili K. M. 76,
 560
 Mdivani S. D. 128
 Mdzinarishvili T. G. 300
 Megrelishvili M. G. 19
 Melikadze L. D. 320
 Melnikova L. G. 332
 Menabde R. A. 571
 Metreveli J. G. 264, 487
 Mikaberidze M. S. 104,
 631
 Mikhailov G. B. 504
 Minashvili Ts. D. 335
 Mindin V. Yu. 532
 Minkevich I. I. 63
 Mirotadze Sh. A. 568
 Mitaishvili R. L. 412
 Molodinashvili S. Z. 627
 Morozov V. N. 280
 Mosidze I. L. 144
 Mujiri T. P. 443
 Mushkudiani Z. A. 571
 Mylnikov A. A. 108
- Nagornaya L. K. 68
 Nadaraia N. K. 160
 Nakhutsrishvili M. G. 155
 Narsia N. N. 124
 Naskidashvili P. P. 607
- Omeljanovski E. M. 504
 Otkhmezuri L. T. 112
- Papava G. Sh. 524
 Pataraiia A. D. 56
 Peikrishvili A. B. 91
 Petriashvili R. A. 600
 Pikulin V. D. 283
 Pirtskhalava N. I. 316,
 536
 Pletnyov V. A. 280
 Pugach V. D. 292
 Purtseladze Kh. N. 328
 Purtseladze Z. S. 104
 Putridze Z. Sh. 252
- Saginuri M. I. 496
 Salakaia A. N. 124
 Salukvadze N. Sh. 83
 Samarishvili G. S. 340
 Samsonia G. G. 71
 Samsonidze G. G. 640



- Sarishvili E. R. 416
 Semyonov A. S. 280
 Sepiashvili L. M. 311
 Srebryakov V. Sh. 80
 Soloev Yu. I. 576
 Shaikhaev A. Ya. 399
 Sheklashvili B. I. 560
 Shengelia I. A. 512
 Shengelia G. Yu. 635
 Sheradze G. V. 547
 Shilo S. I. 271
 Shkurpelo A. I. 68
 Shotov A. P. 496
 Sichinava Sh. G. 635
 Sikharulidze A. K. 131
 Sikharulidze N. G. 76,
 560
 Sikharulidze Sh. P. 556
 Slepchenko L. A. 500
 Sulaberidze T. G. 472
 Svanidze Ts. I. 88
 Tabatadze G. S. 268
 Tarasashvili K. M. 363
 Tarieladze V. I. 248
 Tatishvili T. I. 348
 Tavadze F. N. 91, 352,
 568
 Tavartkiladze K. A. 512
 Tevzadze G. N. 36
 Tevzadze Yu. V. 500
 Topuridze L. F. 320
 Tsagareli E. A. 83
 Tsertsvadze L. A. 332
 Tsikaridze O. N. 104
 Tsintsadze G. V. 68
 Tsintsadze I. D. 564
 Tsirekidze L. R. 543
 Tsirekidze M. A. 288
 Tsirekidze T. A. 288
 Tsitsishvili G. V. 528
 Tsitsishvili V. G. 80
 Tsivtsivadze T. I. 68
 Tskhadadze B. A. 140
 Tskhadaia Z. V. 160
 Tsomaia N. V. 596
 Tugushi A. G. 167
 Turiashvili T. N. 68
 Vakhania N. N. 248
 Vashakidze D. Z. 52
 Vashakidze I. G. 88
 Vekua L. V. 304
 Voishchhev V. S. 524
 Zardiashvili T. G. 384
 Zhgenti I. G. 144
 Zhizhilashvili K. M. 367
 Zhorzholidze T. P. 556
 Zhorzholiani D. A. 652
 Zirakadze A. N. 620

К СВЕДЕНИЮ АВТОРОВ

1. В журнале «Сообщения АН ГССР» публикуются статьи академиков, членов-корреспондентов, научных работников системы Академии и других ученых, содержащие еще не опубликованные новые значительные результаты исследований. Печатаются статьи лишь из тех областей науки, номенклатурный список которых утвержден Президиумом АН ГССР.

2. В «Сообщениях» не могут публиковаться полемические статьи, а также статьи обзорного или описательного характера по систематике животных, растений и т. п., если в них не представлены особенно интересные научные результаты.

3. Статьи академиков и членов-корреспондентов АН ГССР принимаются непосредственно в редакции «Сообщений», статьи же других авторов представляются академиком или членом-корреспондентом АН ГССР. Как правило, академик или член-корреспондент может представить для опубликования в «Сообщениях» не более 12 статей разных авторов (только по своей специальности) в течение года, т. е. по одной статье в каждый номер, собственные статьи—без ограничения, а с соавторами—не более трех. В исключительных случаях, когда академик или член-корреспондент требует представления более 12 статей, вопрос решает главный редактор. Статьи, поступившие без представления, передаются редакцией академику или члену-корреспонденту для представления. Один и тот же автор (за исключением академиков и членов-корреспондентов) может опубликовать в «Сообщениях» не более трех статей (независимо от того, с соавторами она или нет) в течение года.

4. Статья должна быть представлена автором в двух экземплярах, в готовом для печати виде, на грузинском или на русском языке, по желанию автора. К ней должны быть приложены резюме—к грузинскому тексту на русском языке, а к русскому на грузинском, а также краткое резюме на английском языке. Объем статьи, включая иллюстрации, резюме и список цитированной литературы, приводимой в конце статьи, не должен превышать четырех страниц журнала (8000 типографских знаков), или шести стандартных страниц машинописного текста, отпечатанного через два интервала (статьи же с формулами—пяти страниц). Представление статьи по частям (для опубликования в разных номерах) не допускается. Редакция принимает от автора в месяц только одну статью.

5. Представление академика или члена-корреспондента на имя редакции должно быть написано на отдельном листе с указанием даты представления. В нем необходимо указать: новое, что содержится в статье, научную ценность результатов, насколько статья отвечает требованиям пункта 1 настоящего положения.

6. Статья не должна быть перегружена введением, обзором, таблицами, иллюстрациями и цитированной литературой. Основное место в ней должно быть отведено результатам собственных исследований. Если по ходу изложения в статье сформулированы выводы, не следует повторять их в конце статьи.

7. Статья оформляется следующим образом: вверху страницы в середине пишутся инициалы и фамилия автора, затем — название статьи; справа вверху представляющий статью указывает, к какой области науки относится она. В конце основного текста статьи с левой стороны автор указывает полное название и местонахождение учреждения, где выполнена данная работа.

8. Иллюстрации и чертежи должны быть представлены по одному экземпляру в конверте; чертежи должны быть выполнены черной тушью на кальке. Надписи на чертежах должны быть исполнены каллиграфически в таких размерах, чтобы даже в случае уменьшения они оставались отчетливыми. Подрисуночные подписи, сделанные на языке основного текста, должны быть представлены на отдельном листе. Не следует приклеивать фото и чертежи к листам оригинала. На полях оригинала автор отмечает карандашом, в каком месте должна быть помещена та или иная иллюстрация. Не должны представляться таблицы, которые не могут умест-

ститься на одной странице журнала. Формулы должны быть четко вписаны *чернилами* в оба экземпляра текста; под греческими буквами проводится одна черта красным карандашом, под прописными — две черты черным карандашом снизу, над строчными — также две черты черным карандашом сверху. Карандашом должны быть обведены полукругом индексы и показатели степени. Резюме представляются на отдельных листах. В статье не должно быть исправлений и дополнений карандашом или чернилами.

9. Список цитированной литературы должен быть отпечатан на отдельном листе в следующем порядке. Вначале пишутся инициалы, а затем — фамилия автора. Если цитирована журнальная работа, указываются сокращенное название журнала, том, номер, год издания, а если цитирована книга, — полное название книги, место и год издания. Если автор считает необходимым, он может в конце указать и соответствующие страницы. Список цитированной литературы приводится не по алфавиту, а в порядке цитирования в статье. При ссылке на литературу в тексте или в сносках номер цитируемой работы помещается в квадратные скобки. Не допускается вносить в список цитированной литературы работы, не упомянутые в тексте. Не допускается также цитирование неопубликованных работ. В конце статьи, после списка цитированной литературы, автор должен подписаться и указать место работы, занимаемую должность, точный домашний адрес и номер телефона.

10. Краткое содержание всех опубликованных в «Сообщениях» статей печатается в реферативных журналах. Поэтому автор обязан представить вместе со статьей ее реферат на русском языке (в двух экземплярах).

11. Автору направляется корректура статьи в сверстном виде на строго ограниченный срок (не более двух дней). В случае невозврата корректуры к сроку редакция вправе приостановить печатание статьи или печатать ее без визы автора.

12. Автору выдается бесплатно 25 оттисков статьи.

(Утверждено Президиумом Академии наук Грузинской ССР 10.10.1968; внесены изменения 6.2.1969)

Адрес редакции: Тбилиси 60, ул. Кутузова, 19, телефоны: 37-22-16, 37-93-42.

Почтовый индекс 380060

Условия подписки: на год — 12 руб.

କବିତା ଓ ଗୀତର ପରିଚୟ

3. საქართველოს სსრ მეცნიერებათა აკადემიის აკადემიკოსთა და წევრ-კორესპონდენტთა შერიცხვი უშუალოდ გადაეცემა გამოსაქვეყნებლად „მოაბძის“ რედაქციის, ხოლო სხვა ავტორთა წერილები ქვეყნება აკადემიკოსთა ან წევრ-კორესპონდენტთა წარდგინებით. როგორც წესი, აკადემიკოსს ან წევრ-კორესპონდენტს „მოაბძში“ დასახელდად წელიწალში შეკრისა წარმოადგინოს სხვა აგრძორთა არა უმეტეს 12 წერილისა (მხოლოდ თავისი სპეციალობის მიხედვით), ე. ი. თითოეულ ნომერში თითო წერილი. საკუთარი წერილი — რამდენიც უსქის, ხოლო თანააგრძორებათან ერთა — არა უმეტეს სამი წერილისა. გამონაკლის შემთხვევას ა როგორ აკადემიკოსი ან წევრ-კორესპონდენტი მოითხოვს 12-ზე მეტი წერილის წარდგენას, ესთოს წევდეს მთავრი რეაქტორი. წარმოადგინოს გარეშე შემსრულ წერილს „მოაბძის“ რეკუფერი წარმოსადგრად გადასცემს აკადემიკოსს ან წევრ-კორესპონდენტს. ერთსა და იმავე ეტორის (გარდა აკადემიკოსისა და წევრ-კორესპონდენტისა) წელიწალში შეუძლია „მოაბძში“ გამოაქვეყნოს არა უმეტეს სამი წერილისა (სულ ერთია, თანააგრძორებათან ექნება იგი, თუ არა?)

4. წერილი წარმოდგენილი უნდა იყოს ორ ცალიად, დასაბეჭდად სასესხით მზა სახით, ავტორის სურვილისამბეჭრ ქართულ ან რუსულ ენაზე. ქართულ ტექსტს თან უნდა ახლდეს იუსტიციური და მოკლე ინგლისური ტექსტების — ქართული და მოკლე ინგლისური რეზიუმე. წერილის შოცულობა ილუსტრაციებითურთ, რეზიუმებითა და დაწესებული ლიტერატურის ნუსხითურთ, რომელიც მას ბოლოში ერთოვის, არ უნდა აღემატეოდეს ეურინალის 4 გვერდს (8000 სატაბბო ნიშანი), ანუ საწერ მანქანაზე ორი ინტერვალით ადგერებულ 6 სტანდარტულ გვერდს (ფორმულებით წერილი კი 5 გვერდს). არ შეიძლება ერთლების ნაწილებად დაყოფა სხვადასხვა ნომერში გამოისავეთნაბლად. ვეტორისაგან ჩე- აძერება ლეტულობს თვეში მხოლოდ ერთ წერილს.

5. აკლემისთვის ან აკლემის წევრ-კორესპონდენტთა წარდგინება ჩერაჭის სახელშე აუცირილი უნდა ყოს. ცალკე ფურცელზე წარდგნების თარიღის აღნიშვნით. მასში აუცირებლად უნდა აღნიშვნოს, თუ რა არის ახალი წერილში, რა მეცნიერული ღირებულება აქვს ას და რამდენად უპისუხებებს ამ წერილს 1 მეტრის მოთხოვნას.

6. წერილი ას უნდა იყოს გადატვირთული შესავლით, მიმოხილვით, ცხრილებით, ილუს-
რაციებითა და დამოწმებული ლიტერატურით. მაშინ მთავარი აღვილდებუნდეს დამო-
ილი საკუთარი გამოკვლევის შედეგებს. თუ წერილში გზადაგზა, ქვეთავაების მიხედვით გად-
ოცემულია დისკუნძება, მაშინ საჭირო არა მათი გამოიტენა წერილის ბოლოს.

7. წერილი ასე ფორმირდება: თავში ზემოთ უნდა დაიწეროს ავტორის ინიციალები და გვა-
რი, კვერთ — წერილის სათაური. ზემოთ მარჯვნივ მხარეს, წარმომდგენერალუნდა წაწერის,
აუ მეცნიერების რომელ დარგს განკუთვნება წერილი. წერილის ძირითადი ტექსტის ბოლოს,
არცხენა მხარეს, ავტორმა უნდა აღნიშვნის იმ დაწესებულების სრული სახელწოდები და ი-

8. ილუსტრაციები და ნახაზები წარმოლგვინილ უნდა იქნეს თითო ცალიან კონკრეტით. მასთან, ნახაზები შესრულებული უნდა იყოს კალკულიზე შეავი ტუშით. წარწერები ნახაზებს უნდა გაუკეთდეს კალიგრაფიულად და ისეთი ზომისა, რომ შემცირების შემთხვევაშიც არგად იყიდებოდეს. ილუსტრაციების ჭვემონ წარწერების ტექსტიზე წერილის ძირითადი ტექსტის ენაზე წარმოლგვინილ უნდა იქნეს ცალკე უზრულებელი. ას შეიძლება ფოტოებისა და ახაზების დაზებება დენისის გვერდებზე. აგრძომ დენისი კიდევ უანჭრით უნდა აღნიშვნოს, ამავე აღნიშვნის გრძელების გარეშე ის ილუსტრაცია. ას შეიძლება წარმოლგვინილ იქნეს ისეთი გრძელილი, რომელიც კურნალის ერთ გვერდზე ეყრ მოთავსდება. ფოტოშრულები მეურნით მკა-

უნდა იყოს ჩატერილი ტექსტის ორივე ეგზემპლარში, ბერძნულ ასოებს ქვემოთ გან უნდა გაესვას თთო ხაზი წითელი ფანჯრით, მთავრულ ასოებს—ქვემოთ ორცაზე არა ხაზი შევი ფანჯრით, ხოლო არამთავრულ ასოებს — ზემოთ ორ-ორი პატარა ხაზი ფანჯრით. ფანჯრითვე უნდა შემოიფარგლოს ნახევარწრით ნიშანებიც (ინდექსები და ხარისხის მაჩვენებლები). არზიუმები წარმოდგენილ უნდა იქნეს ცალ-ცალკე ფურცლებზე. წერილში არ უნდა იყოს ჩატერებები და ჩამატებები ფანჯრით ან მელნით.

9. დამოწმებული ლიტერატურა უნდა დაიბეჭდოს ცალკე ფურცლზე. საჭიროა დაცულ ფენების ასეთი თანამდევრობა: ავტორის ინიციალები, გვარი. თუ დამოწმებული ის საუჩელო შერმა, ვუჩენოთ ეუჩელნის შემოკლებული სახელწოდება, ტომი, ნომერი, გამოცემის წელი. თუ დამოწმებულია წიგნი, აუცილებელია ვუჩენოთ მისი სრული სახელწოდება, გამოცემის აღგილი და წელი. თუ ავტორი საჭიროდ მიიჩნევს, ბოლოს შეუძლია გვერდების ნუშერაცია უჩენოს. დამოწმებული ლიტერატურა უნდა დალგილოს არა აბანური წესით, ასევე დამოწმების თანამდევრობით. ლიტერატურის მისათითებლად ტექსტისა თუ შენიშვნებზე კვალრატულ ფრჩხილებში ნაჩვენები უნდა იყოს შესაბამისი ნომერი დამოწმებული შერმასა ან შეიძლება დამოწმებული ლიტერატურის ნუსხაში შევიტანოთ ისეთი შერმა, რომელიც ტექსტში მითითებული არ არს. ასევე ან შეიძლება გამოუქვეყნებელი შერმის დამოწმებული ლიტერატურის ბოლოს ავტორმა უნდა მოაწეროს ხელი, აღნიშნოს საჭირობს და არ არა თანამდებობაზე, უჩენოს თავისი ზუსტი მისამართი და ტელეფონის ნომერი.

10. „მთამბეჭიში“ გამოქვეყნებული კვლევა წერილის შოკე შინაარსი იძებელება რეფირ ტულ კურნალში. მიიღომ ავტორმ წერილთან ერთად აუცილებლად უნდა წარმოდგენის მისი რეფერატი რუსულ ენაზე (ორ ცალი).

12. ავტორს უფასოდ ეძლევა თავისი წერილის 25 ამონაბეჭდი.

(დამტკიცებულია საქართველოს სსრ მეცნიერებათა აკადემიის
პრეზიდიუმის მიერ 10.10.1968; შეტანილია ცვლილებები 6.2.1969)

რედაქციის მისამართი: თბილისი 60, კუტუხოვის ქ. № 19; ტელ. 37-22-16, 37-93-42.

საფოსტო ინდექსი 380060

ხელმოწერის პირობები: ერთი წლით 22 მან. 80 კაპ.